

Petrologie sedimentárních hornin

Literatura:

Kukal, Z.: Základy sedimentologie, Academia Praha, 1986
Hsu, K. J. (2004): Physics of Sedimentology
Tato prezentace, letní semestr 2008/2009

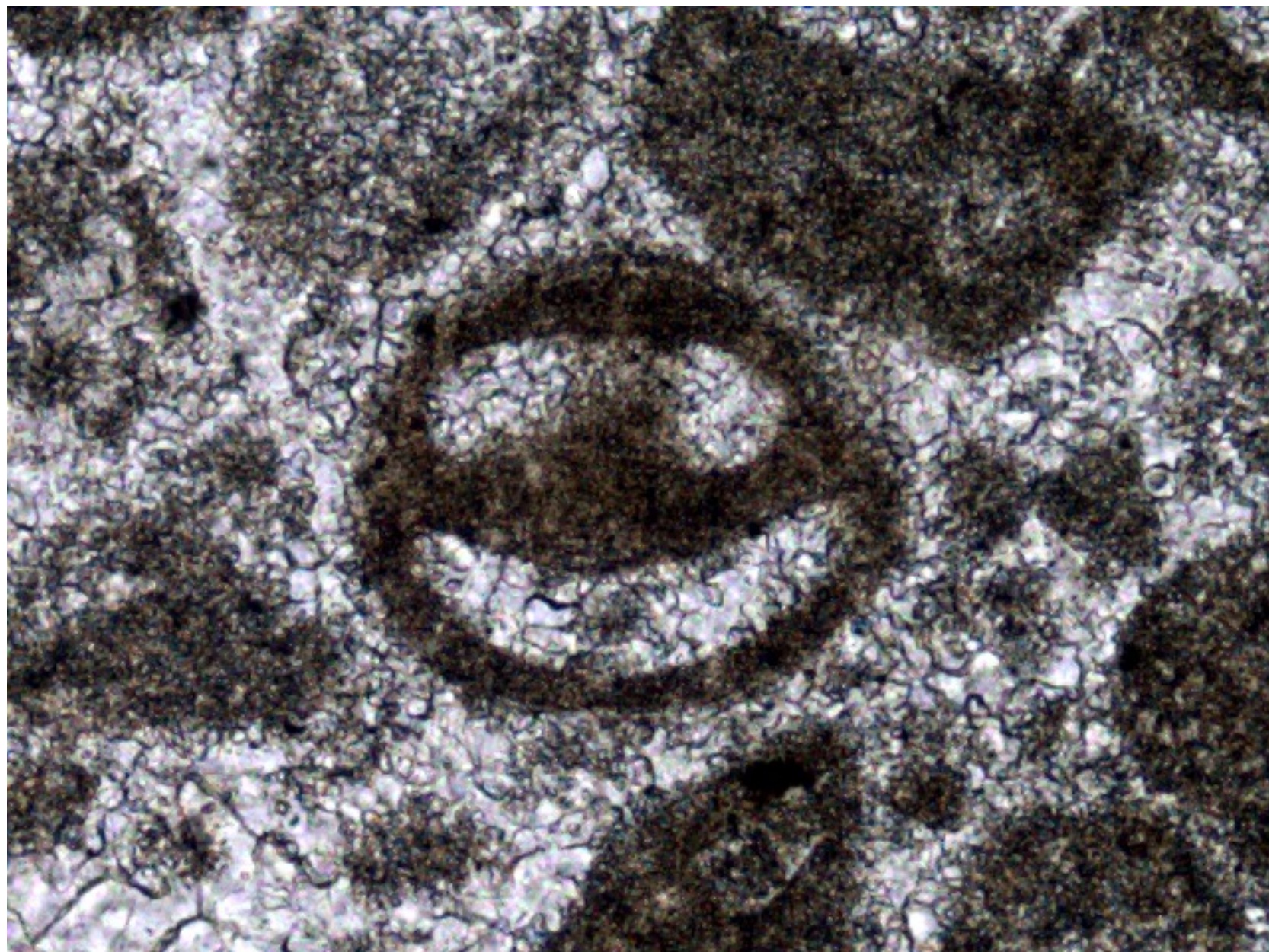
Úvod

Sedimenty:

- 72% povrchu souše (bez kvartéru)
- 99% povrchu dna moří a oceánů
- Mohou být užitečné:
 - nejdůležitější nerudní suroviny
 - velmi důležitá rudní surovina (menší koncentrace kovů – obrovské objemy)
 - drtivá většina ložiskových pastí na ropu a zemní plyn
 - obsahují záznam událostí na Zemi
 - záznam vývoje života na Zemi
- Mohou být i nebezpečné:
 - absorbují polutanty
 - Padají, klouzají, sesouvají se a ničí ...

na souši ...





Úvod

vztah sedimentologie k jiným geologickým disciplínám:

- ložisková geologie,
- stratigrafie,
- paleontologie
- mořská geologie,
- geochemie,
- mineralogie,
- petrografie(logie)

Sedimentologie

Studuje procesy, které erodují,
transportují a ukládají sedimenty

Sedimentární petrologie

Studuje charakteristiku a původ
sedimentárních hornin

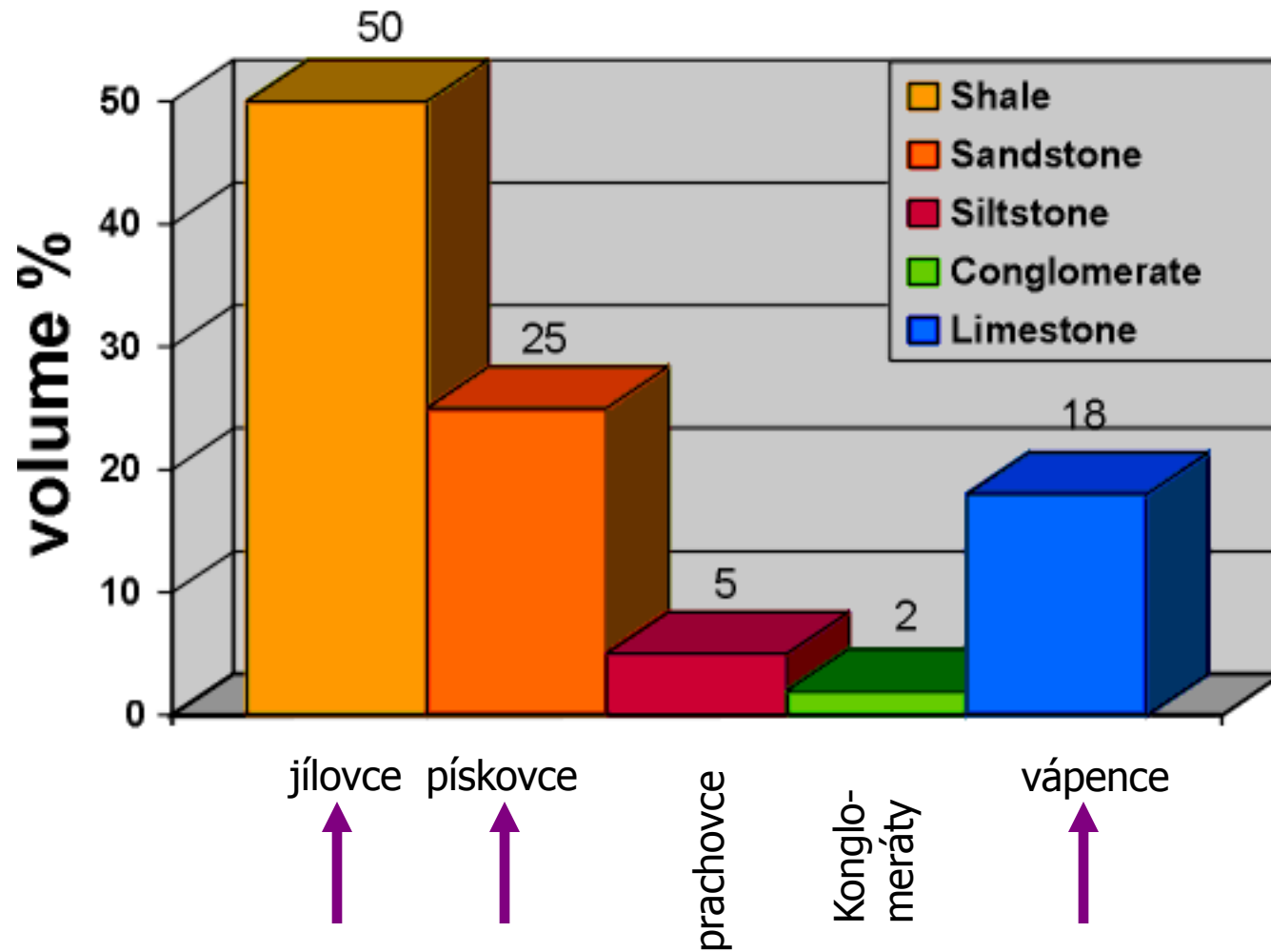
Stratigrafie

Studuje původ, vztahy a rozsah horninových poloh
(vrstev), Studuje vrstvy s cílem stanovit pořadí a časový
sled událostí v historii Země

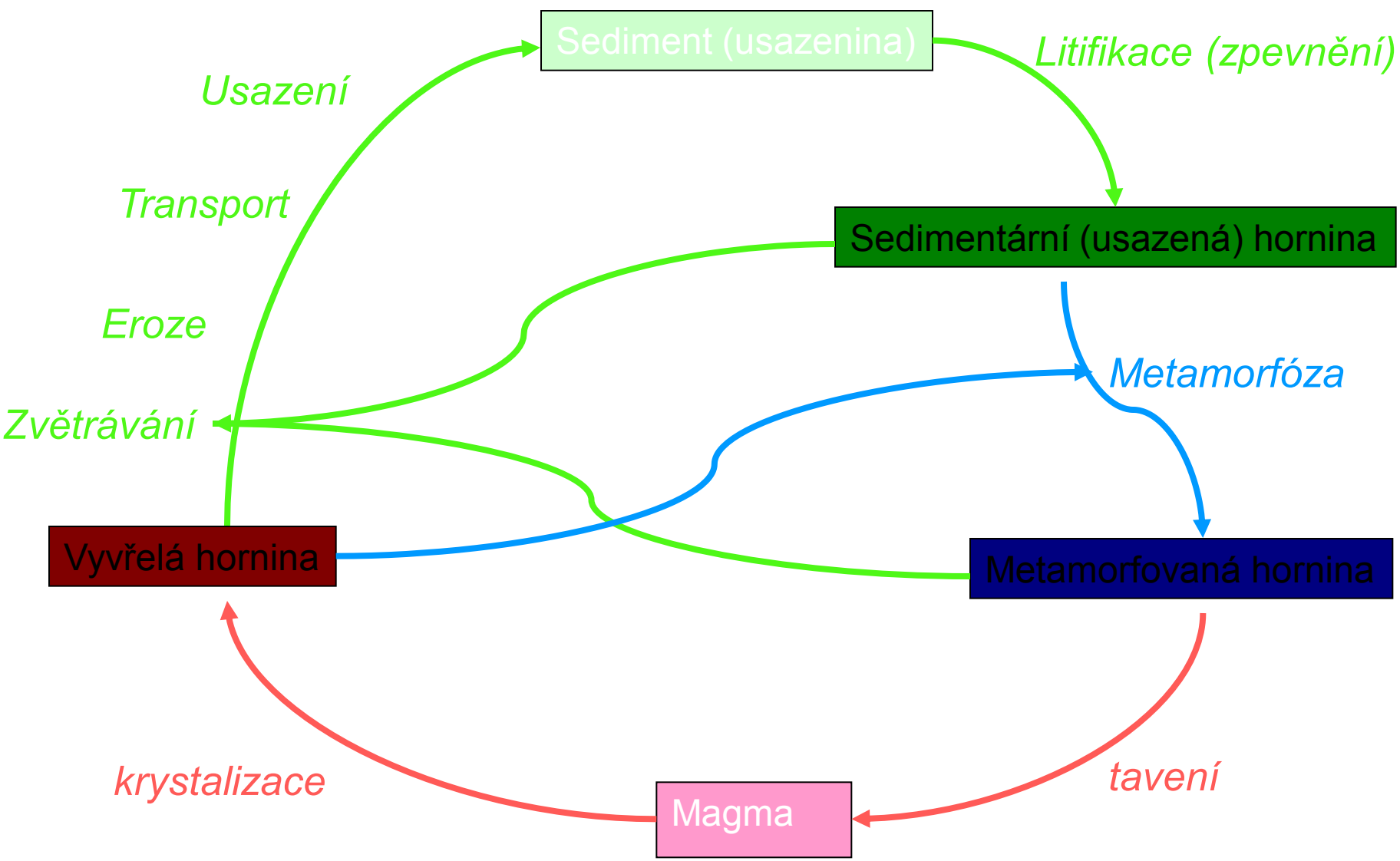
Časové a prostorové měřítko

- **Sedimentologie** se soustředí na procesy → menší prostorové a kratší časové měřítko
- **Stratigrafie** se soustředí na interpretaci toho kde a kdy sedimentární horniny vznikaly → větší prostorové a delší časové měřítko
- **Stratigrafický záznam** je téměř vždy neúplný v důsledku omezeného potenciálu zachování, který s prodlužujícím se časovým měřítkem klesá

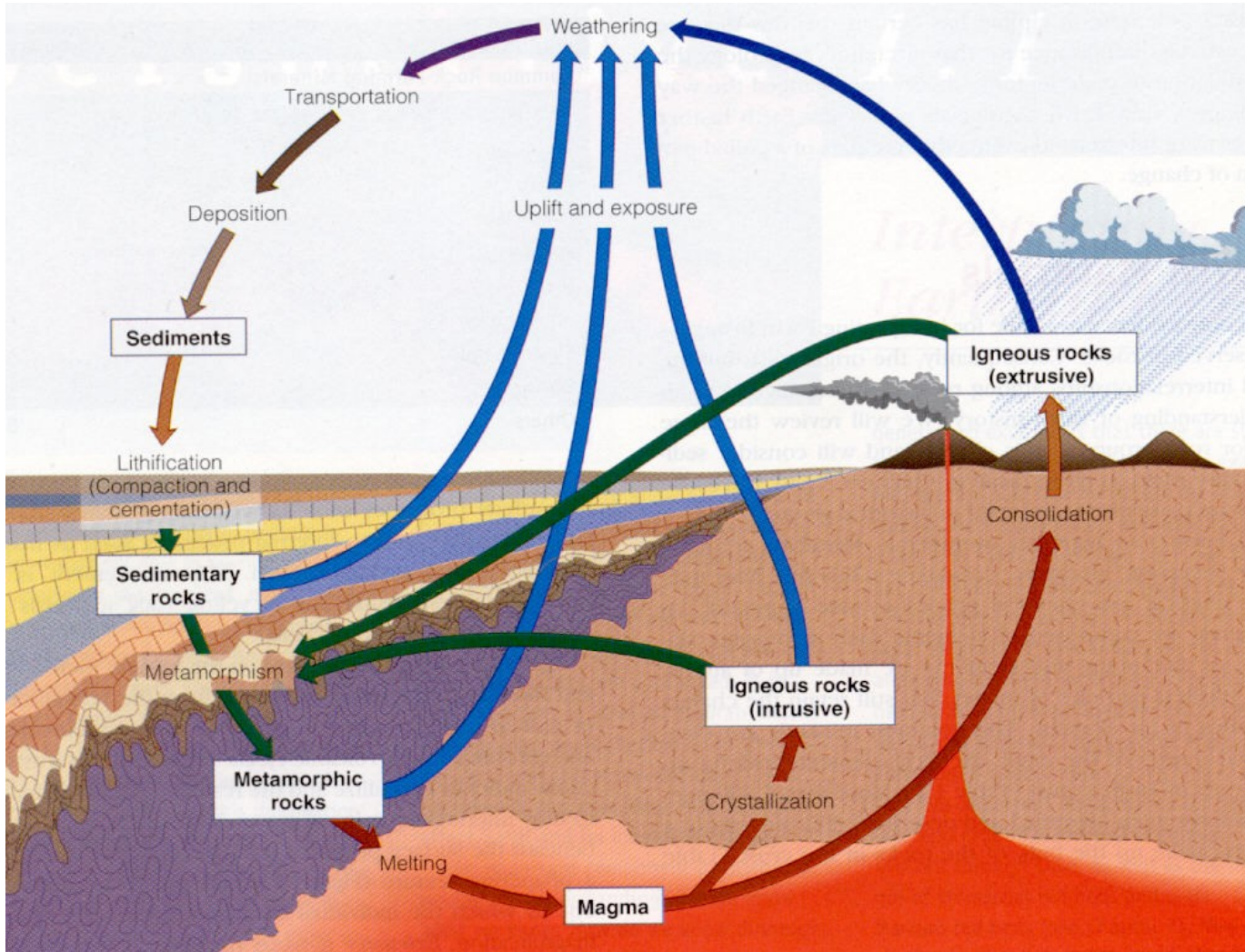
Rozšíření usazených hornin na Zemi



Co usazené horniny zaznamenávají?



horninový cyklus



Horninový cyklus: horotvorná činnost nebo výzdvih; zvětrávání a eroze; **transport, ukládání a diageneze sedimentů**; metamorfóza, tavení a tvorba vyvřelých hornin; opětovný výzdvih... atd.

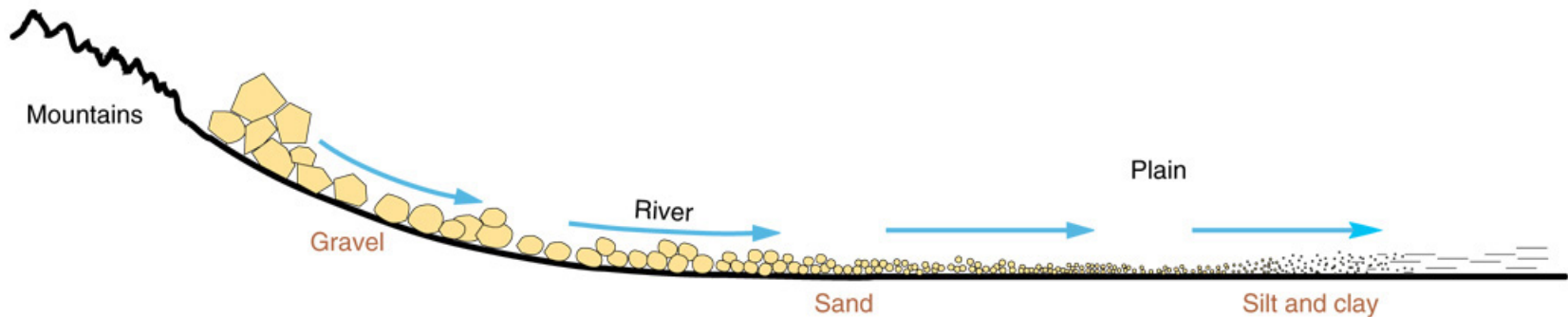
Co usazené horniny zaznamenávají?

- zdroj (provenienci) sedimentu
- faktory působící při erozi a transportu
- prostředí sedimentace
- Paleogeografii / tektonické prostředí
- diagenezi (co se dělo po ukládání)

Sediment → sedimentární hornina

- **Transport**

Copyright © McGraw-Hill Companies, Inc. Permission required for reproduction or display.



- **Zaoblení:** – vzrůstá se vzdáleností od zdroje
- **Vytrídění:** - vzrůstá se vzdáleností od zdroje
- **Velikost zrna:** - klesá se vzdáleností od zdroje

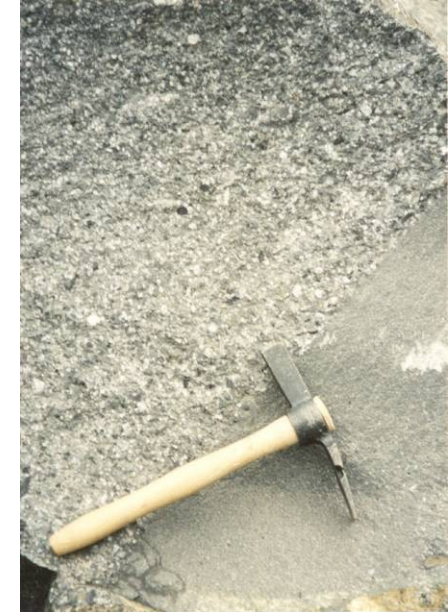
Klíčové okamžiky v dějinách sedimentární geologie

- Zákon superpozice (Nicolas Steno, 1669)
- Rozvoj „klasické“ stratigrafie okolo 1800 (lito-, chrono-)
- **Uniformitarianismus** (“přítomnost je klíčem k minulosti”) (Charles Lyell, 1830), “dnešní procesy jsou základem k interpretaci fosilních produktů” (uniformitarianismus funguje v mnoha případech, ale ne vždy)
- Princip **facií**, A. Gressley, pol. 19. století
- Zákon faciálních sukcesí Jonathana Walthera (Waltherův zákon)
- „hlad“ po ropě, ½ 20. století – mikropaleontologie, sed. petrologie
- 80. a 90. léta 20. stol., stratigrafické „obrození“ (sekvenční stratigrafie)
- DSDP, ODP projekty – Glomar Challenger, Joides Resolution, od 1968



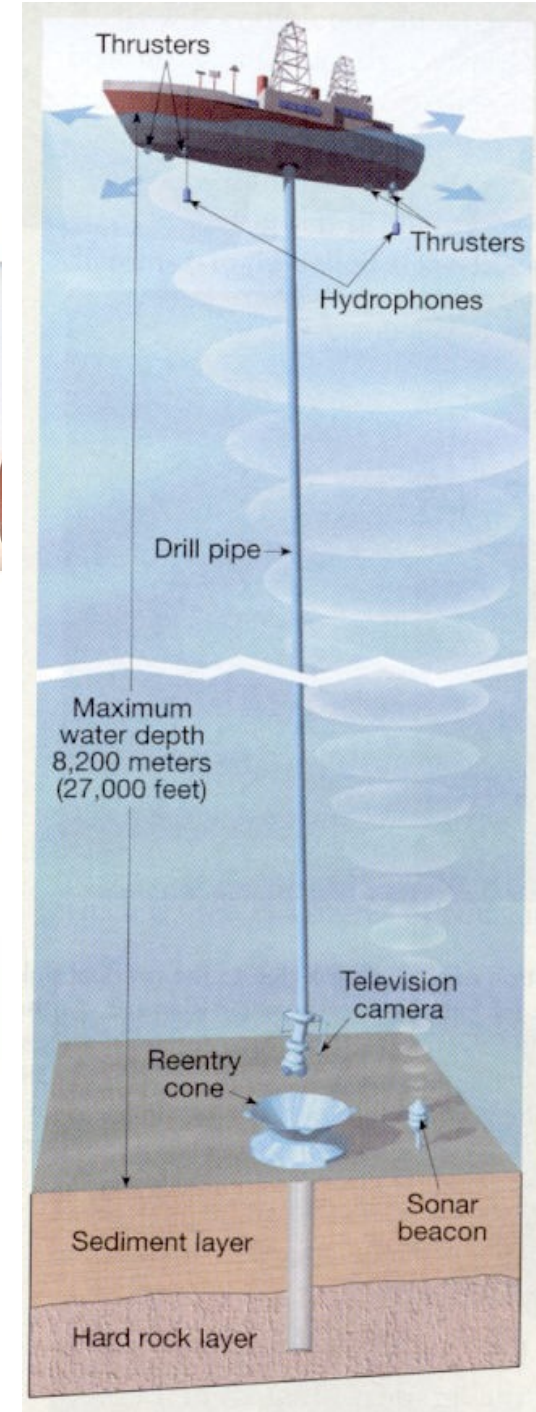
Metody výzkumu usazených hornin, zdroje dat

- Výchozy (zpevněné vs. nezpevněné sedimenty)



Metody výzkumu usazených hornin, zdroje dat

- Vrtná jádra (ruční vs. strojová)



Metody výzkumu usazených hornin, zdroje dat

- Karotážní data (např. odporová karotáž, gamakarotáž, neutronová karotáž, spontánní potenciál, dipmetr)

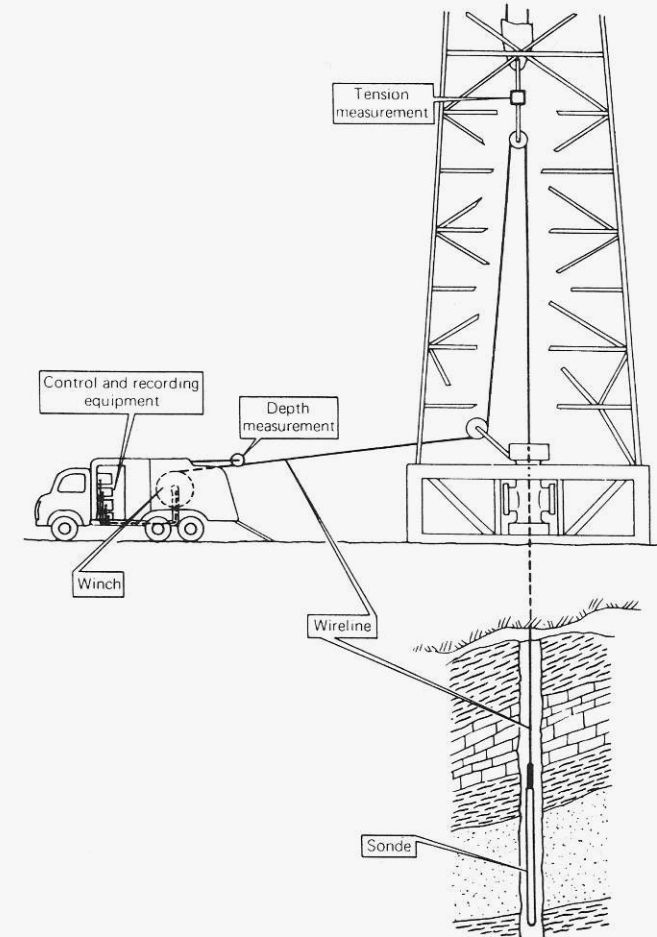
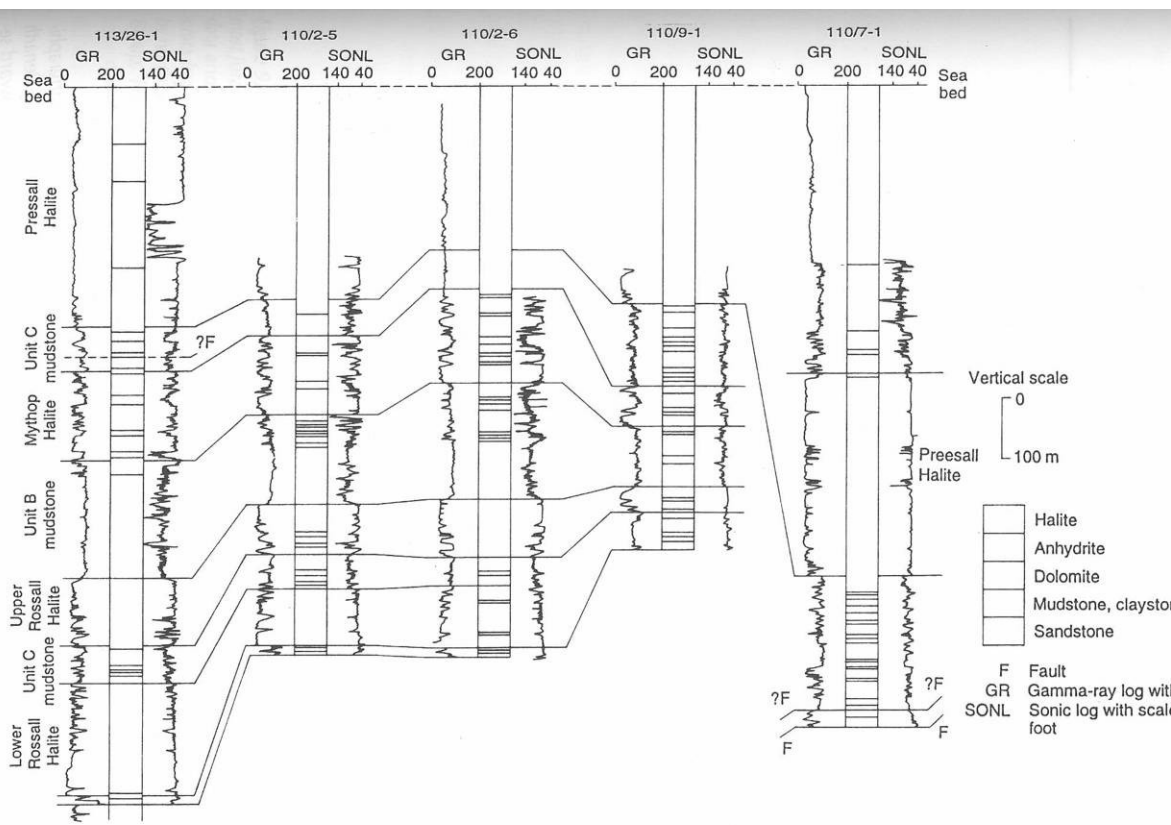


Figure 9.10 Large-scale regional lithostratigraphical and log correlation of the Mercia Mudstone Group (Triassic) in selected East Irish Sea Basin. [Modified from Jackson et al. (1995)]

Metody výzkumu usazených hornin, zdroje dat

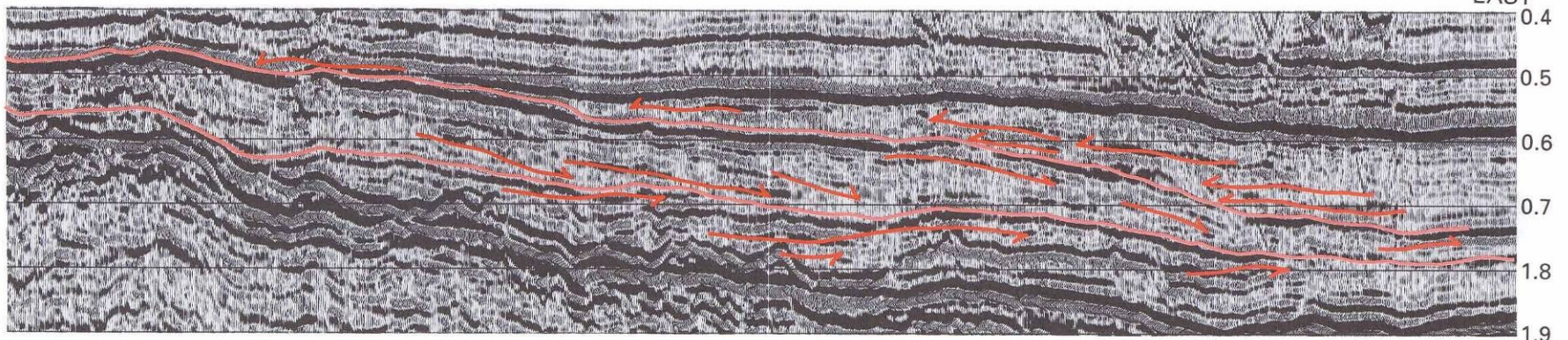
- Geofyzikální profily (např. reflexní seismické profilování, georadar)





WEST

EAST

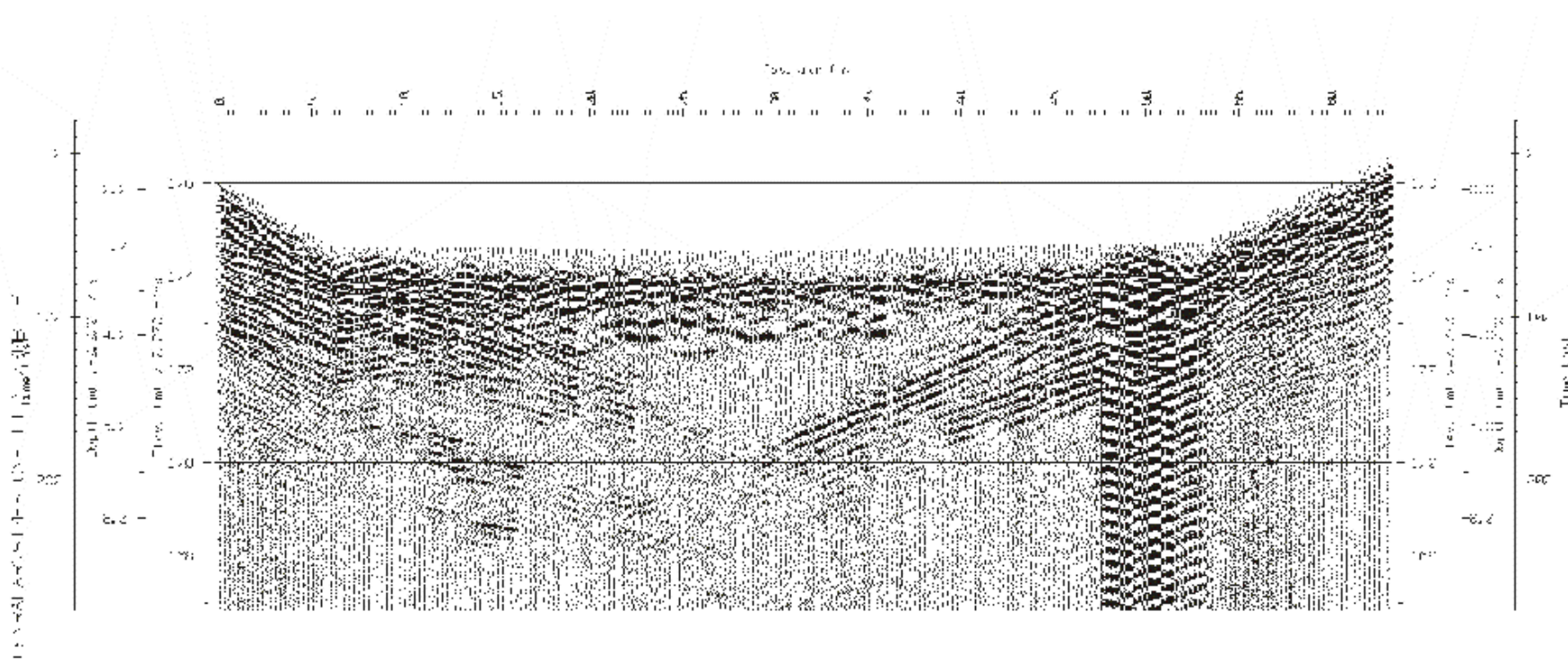


Key:

- ~~~~ Seismic surface
- ~~~~~ Reflection termination

Scale:

1 km



Laboratorní metody výzkumu usazených hornin

MIKROSKOPICKÉ TECHNIKY (výbrusy, leštěné nábrusy)

- Optická mikroskopie (polarizační mikroskop)
- Katodoluminiscenční mikroskopie (CL mikroskop)
- Fluorescenční mikroskopie
- Rastrovací elektronová mikroskopie (SEM)
- Digitální analýza obrazu

MINERÁLNÍ SLOŽENÍ

- RTG difraktometrie
- EDX, WDX analýza

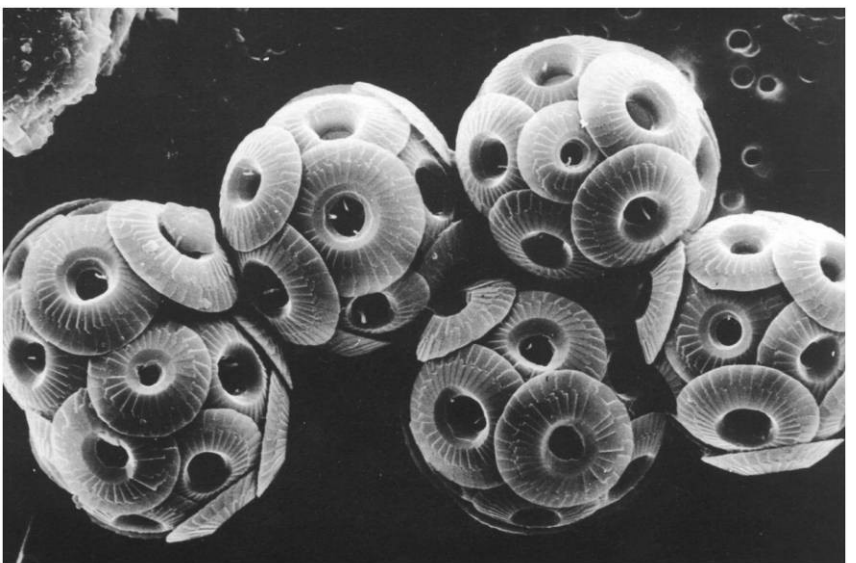
GRANULOMETRIE

- Laboratorní vibrační sítová analýza (za sucha / za mokra)
- Laserová granulometrie
- Mikroskopické techniky

CHEMICKÉ SLOŽENÍ

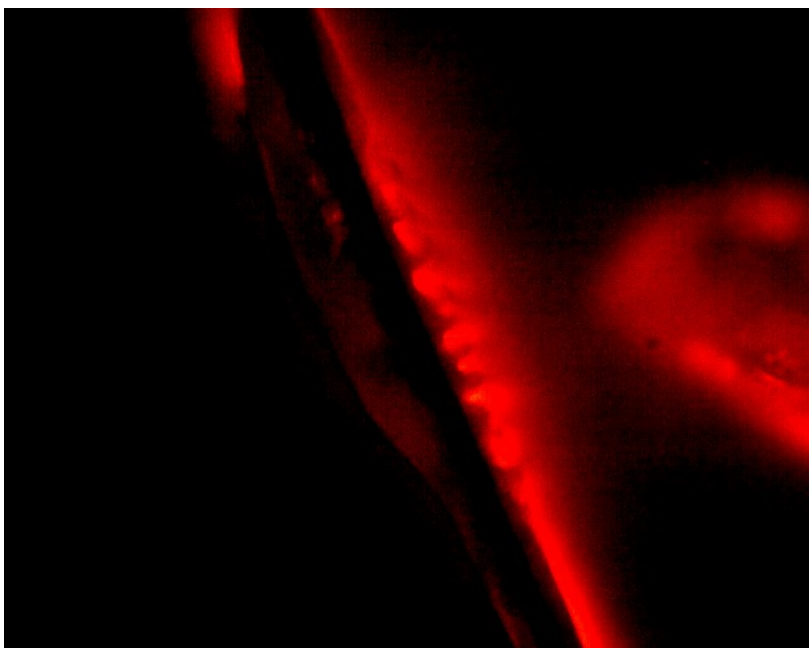
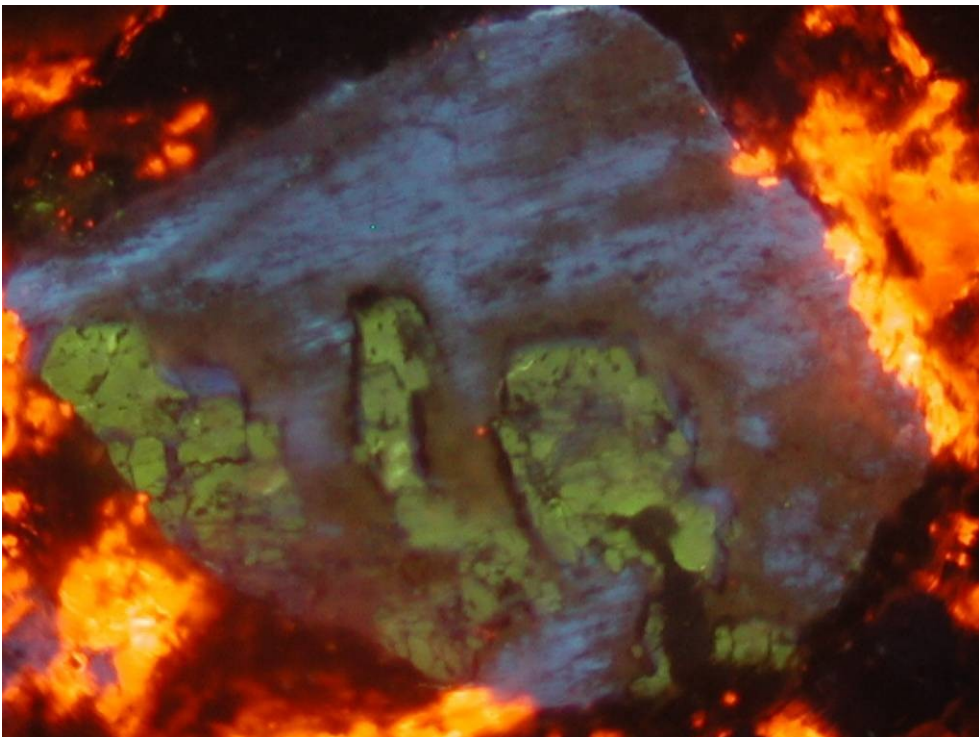
- EDX a WDX analýza (elektronová mikrosonda)
- Hmotnostní spektrometrie (MS) (např. s laserovou ablací LA ICP MS)
- RTG fluorescence
- Ramanská spektroskopie
- a mnoho dalších

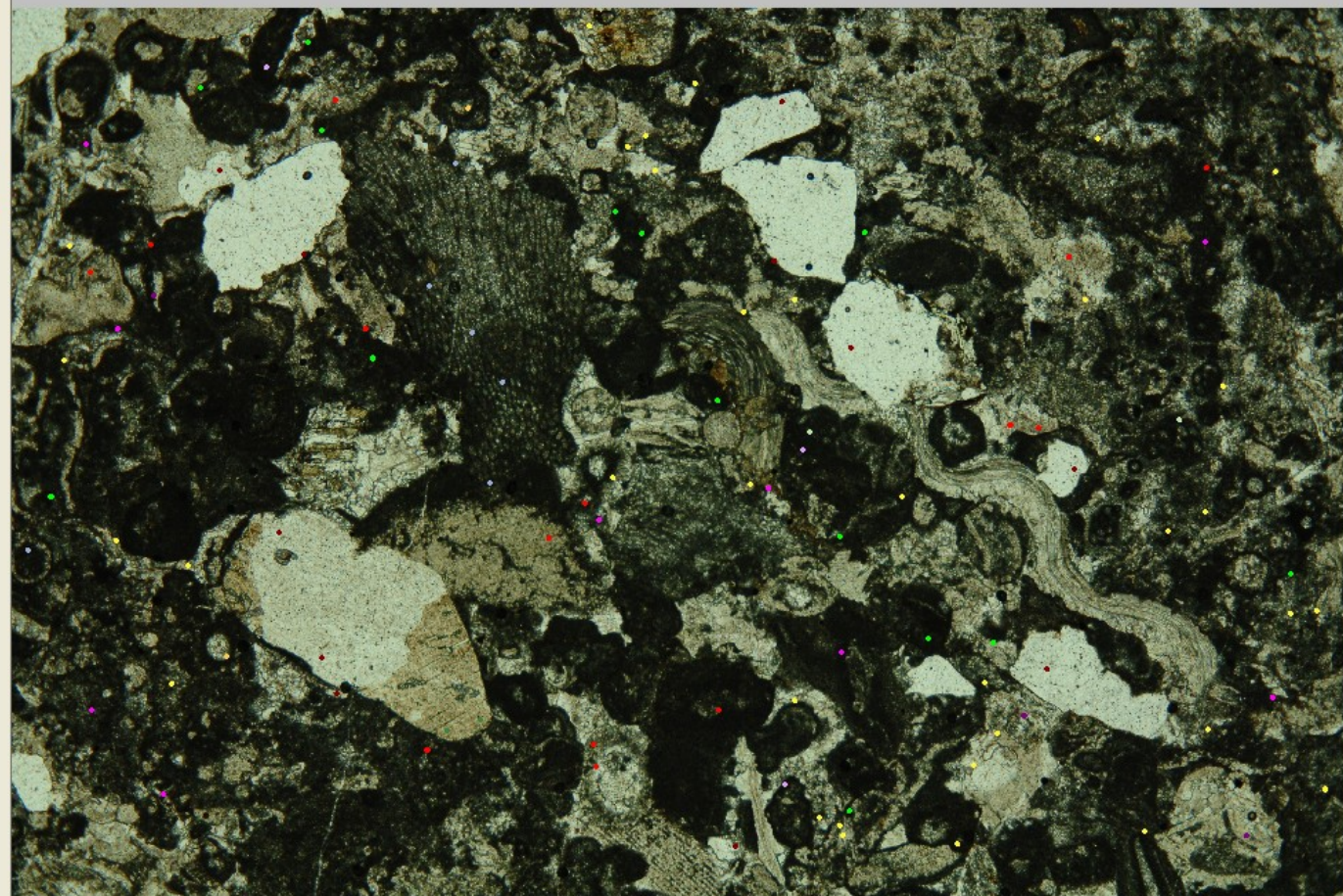
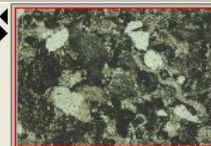




(a)

Copyright © 2005 Pearson Prentice Hall, Inc.





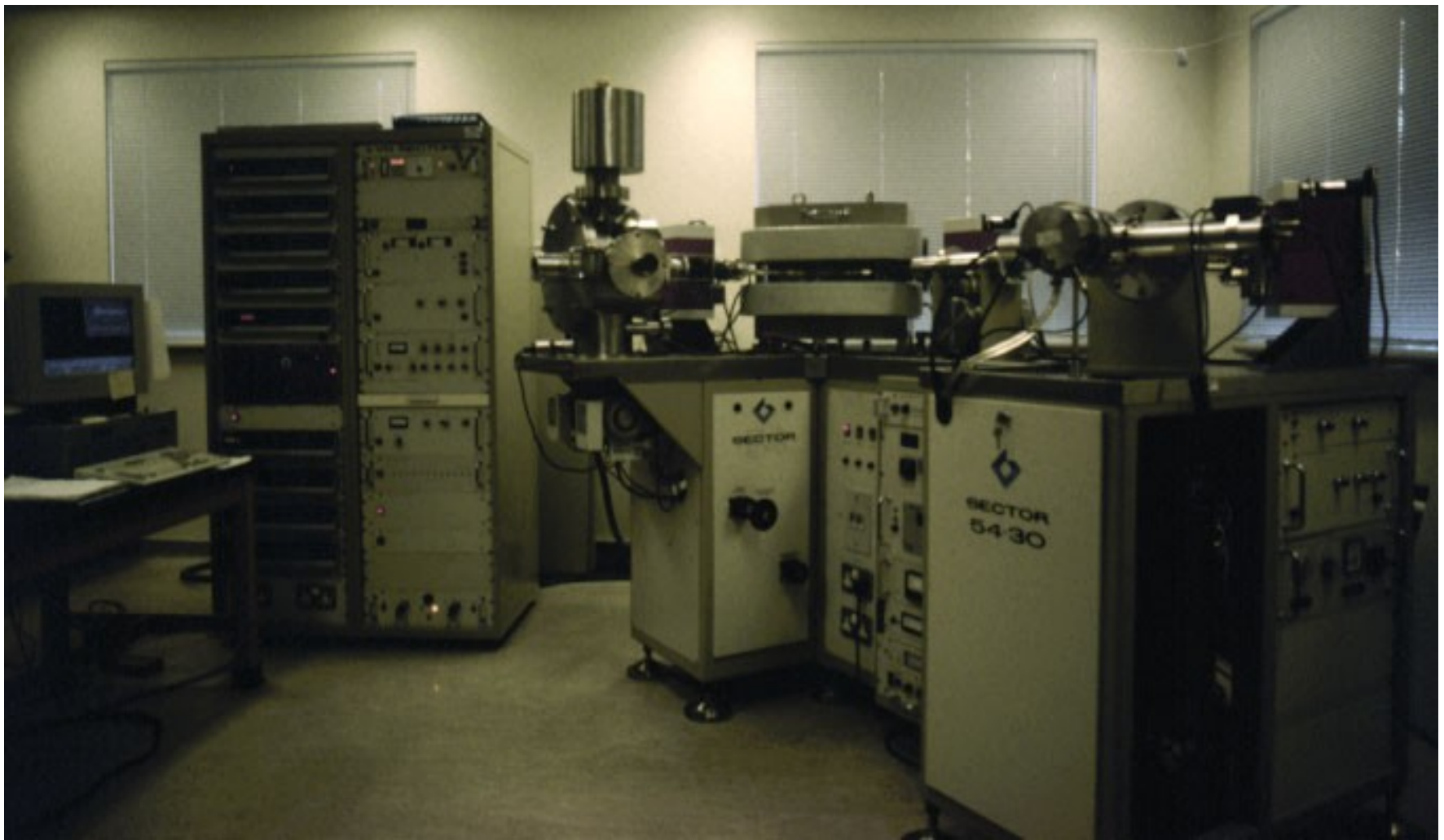
- Main Image
- Thumbnail
- Lens
- Scale (Calibration)
- Drawings
 - Note
 - 1D Measurement
 - 2D Measurement
 - 3D Measurement

General Description

Property

-  General Description
-  Spatial Calibration
-  Note
-  1D Measurement
-  2D Measurement
-  Object Extraction
-  Background
-  Point Counting
-  Profile
-  Image Factory

Thermal Ionization Mass Spectrometer (TIMS)



From: http://www.es.ucsc.edu/images/vgms_c.jpg

Pojmy k osvojení

Procesy vzniku sedimentárních hornin

- Zvětrávání
- Eroze
- Transport
- Ukládání
- Sedimentární textury
- Sedimentární struktury
- Klasifikace sedimentů
- Bioturbace, diageneze
- Prostředí sedimentace,

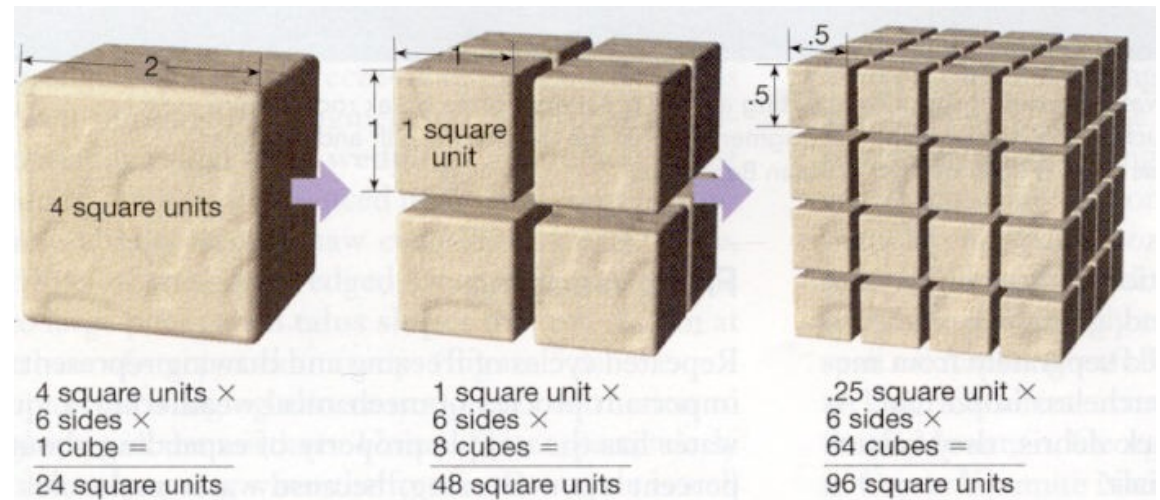
Zvětrávání

Chemické (chemický rozklad hornin)

Mechanické (mechanický rozpad hornin při zachování jejich původního chemického složení a snižování velikosti zrna materiálu)

Součinnost mechanického a chemického zvětrávání

Biologické (činností živých organismů, živočichů, rostlin)



CHEMICKÉ ZVĚTRÁVÁNÍ

ROZPOUŠTĚNÍ

OXIDACE / REDUKCE

HYDROLÝZA

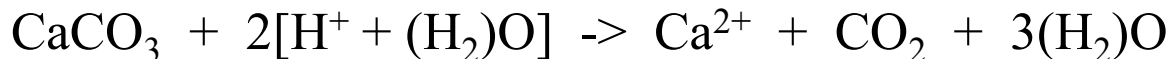
HYDRATACE

Rozpouštění

rozpustnost ve vodě (halit)

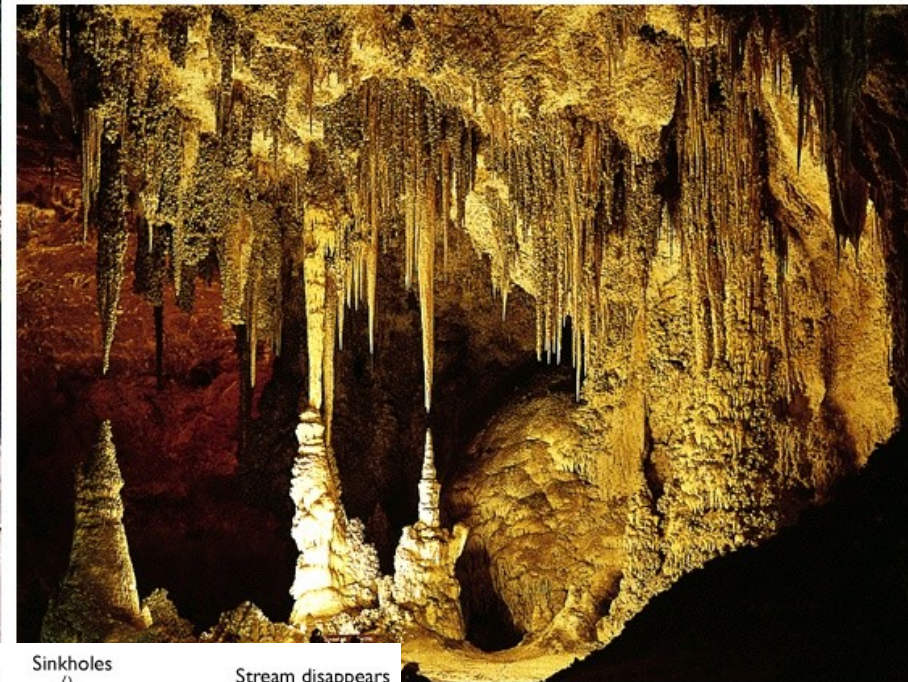
polární molekuly vody - na straně vodíku v H_2O je kladný náboj, na straně kyslíku v H_2O je záporný náboj, rozbití iontové vazby -> roztok
většina minerálů ve vodě nerozpustné

- **rozpustnost závislá na pH**, čím nižší pH vody, vyšší **kyselost roztoku** (obsah kationtu H^+), tím **rozpustnější**
- obsah kyselin ve vodě - rozklad organické hmoty v půdě, obsah CO_2 v atmosféře
- rozpouštění karbonátů ve slabých kyselých roztocích



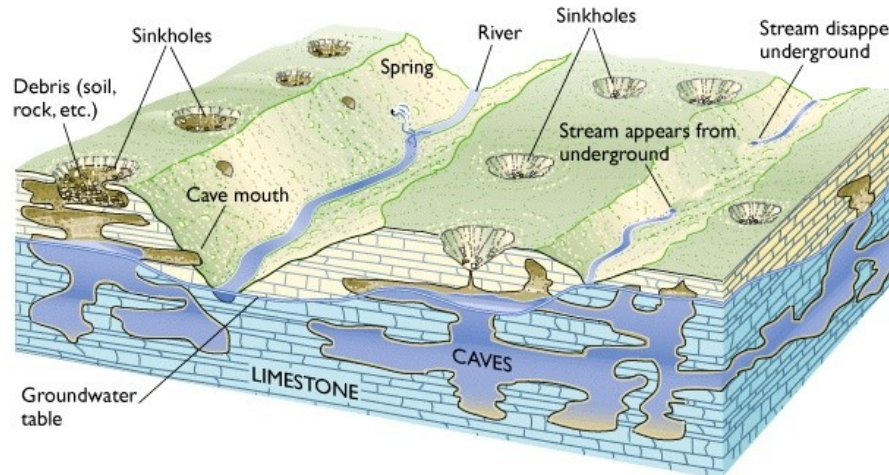
kalcit + vodný roztok kyseliny -> iont vápníku (rozpustný) + oxid uhličitý + voda

- Některé minerály jsou rozpustné v kyselé vodě, aniž by po sobě zachovávaly nerozpustný zbytek
 - Nejhojnějším z nich je kalcit: $\text{CaCO}_3 + \text{H}_2\text{CO}_3 = \text{Ca}^{2+} + 2\text{HCO}_3^-$
 - Účinky rozpouštění (a srážení) kalcitu mohou být dramatické.



Závrt

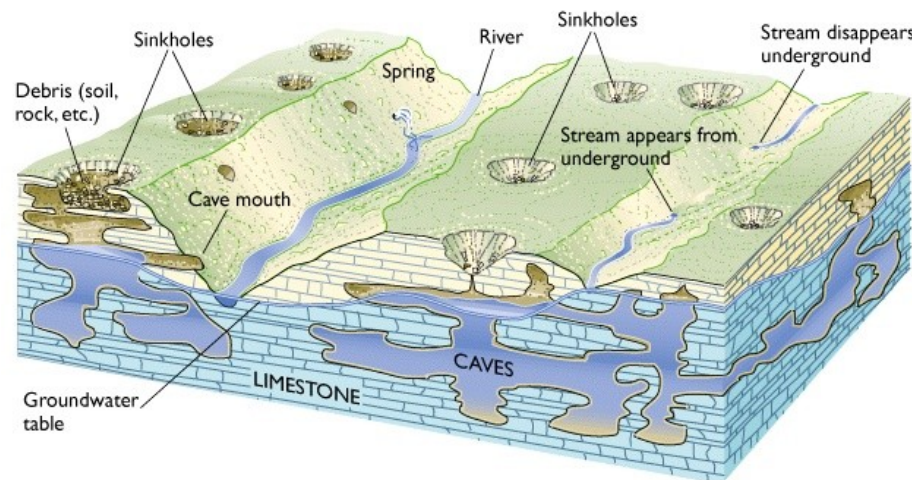
Krasový terén



Speleotémy

Tvary krasovění

- Exokras
 - Závrt
 - Slepá a poloslepá údolí
 - Škrapy
 - Ponory a vývěry
- Endokras
 - Jeskyně a propasti
 - Speleotémy (sintry, krápníky, stala-gmity, -ktity, -gnáty)



Žlábkové škrapy, vysokohorský kras, Karnské Alpy,
Rakousko



Škrapy, tropický kras, Guilin, Jižní Čína



Mogoty, tropický kras, Guilin, Jižní Čína



Mogoty, tropický kras, Guilin, Jižní Čína



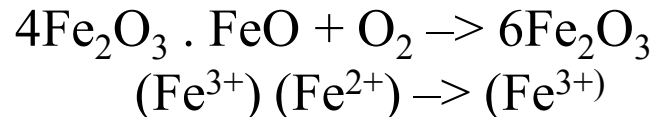
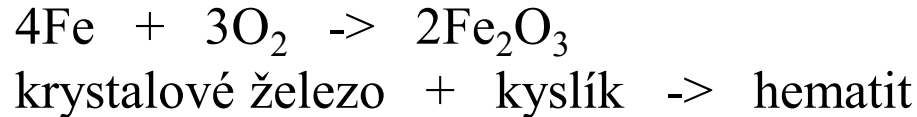
Speleotémy, stalagmity, stalaktity, stalagnáty (Koněpruské jeskyně)



Oxidace a redukce

OXIDACE: zvyšování oxidačního čísla /valence/

- zpravidla **kyslík rozpuštěný ve vodě**, působí společně s hydrolyzou
- rozklad **minerálů obsahujících železo** - olivín, pyroxen, amfibol
- konečné produkty - oxidy a hydroxidy železa (hematit, goethit, limonit)



REDUKCE: snižování oxidačního čísla /valence/

Např. vznik pyritu redukcí železitého iontu na železnatý ion

Hydrolýza

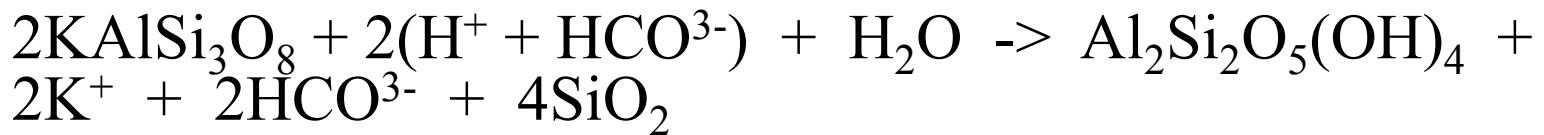
(disociace molekuly + nahrazení kladných iontů v mřížce kladnými produkty disociace)

Disociace kyseliny hydrogenuhličité:



Kys. hydrogenuhličitá \rightarrow vodíkový kation +
hydrogenuhličitanový anion

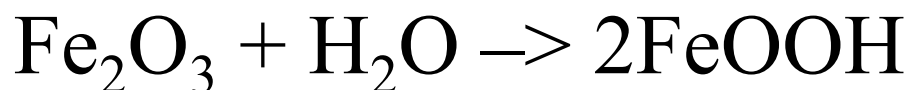
Hydrolýza ortoklasu:



ortoklas + kys. hydrogenuhličitá + voda \rightarrow kaolinit + draselný kat. + hydrogenuhličitan. an. + křemíkový gel

Hydratace

Příjem molekuly vody



Hematit + voda \rightarrow goethit

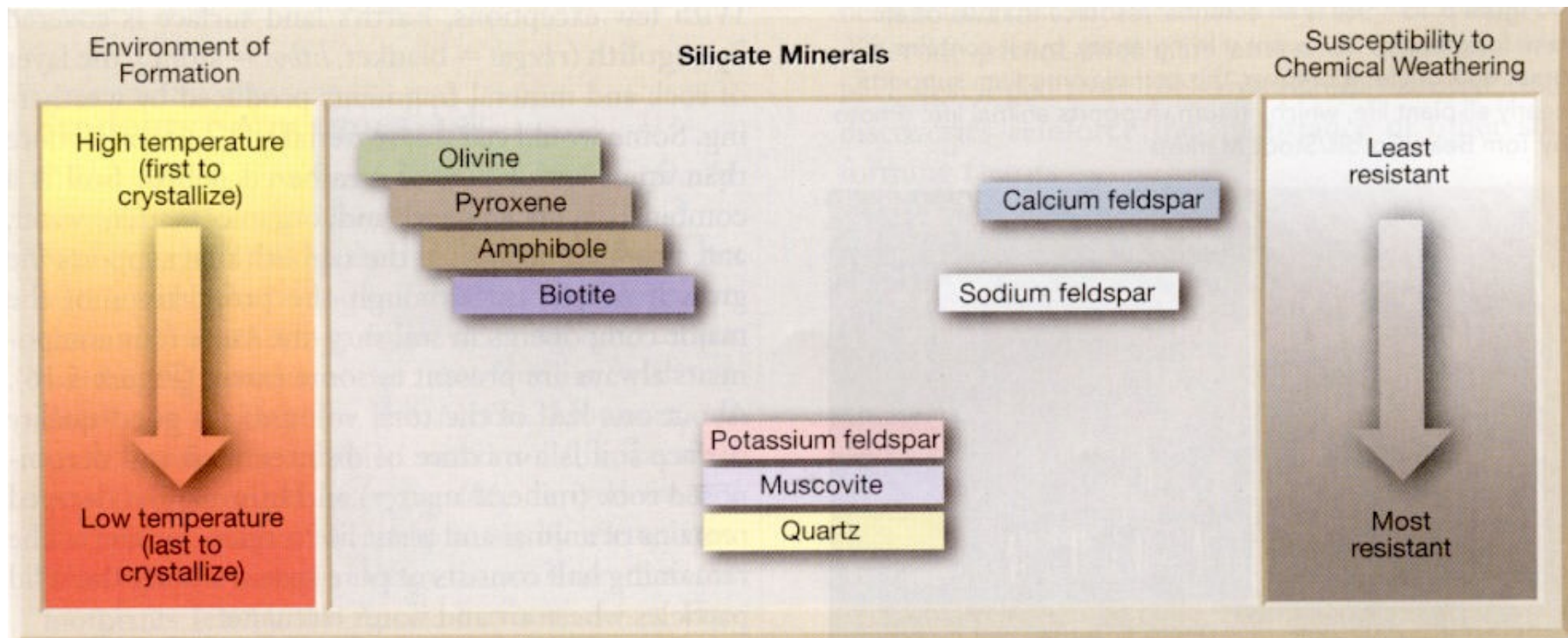
Produkty chemického zvětrávání

<u>Minerál podléhající zvětrávání</u>	<u>Produkty zvětrávání</u>
Křemen	křemen, rozpuštěný křemík (molekula kyseliny křemičité)
Živce	jílové minerály, ionty Ca, Na, K, rozpuštěný křemík
Muskovit	jílové minerály, ionty Na, K, rozpuštěný křemík, gibsit
Biotit	jílové minerály, oxidy železa, K, Mg, Fe, rozpuštěný křemík
Amfiboly	oxidy železa, ionty Na, Ca, Fe, Mg, jílové minerály, rozpuštěný křemík
Pyroxeny	oxidy železa, ionty Ca, Fe, Mg, Mn, jílové minerály, rozpuštěný křemík
Olivín	oxidy železa, ionty Fe, Mg, rozpuštěný křemík, jílové minerály
Granáty	ionty Ca, Mg, Fe, oxidy železa, rozpuštěný křemík
Alumosilikáty	jílové minerály, křemík, gibsit
Magnetit	hematit, goethit, limonit
Kalcit	ionty Ca, ionty HCO_3^-
Dolomit	ionty Ca a Mg, ionty HCO_3^-
<u>Železité karbonáty (siderit, ankerit)</u>	<u>ionty Ca, Mg, Fe, oxidy železa, ionty HCO_3^-</u>

Goldrichovo schéma

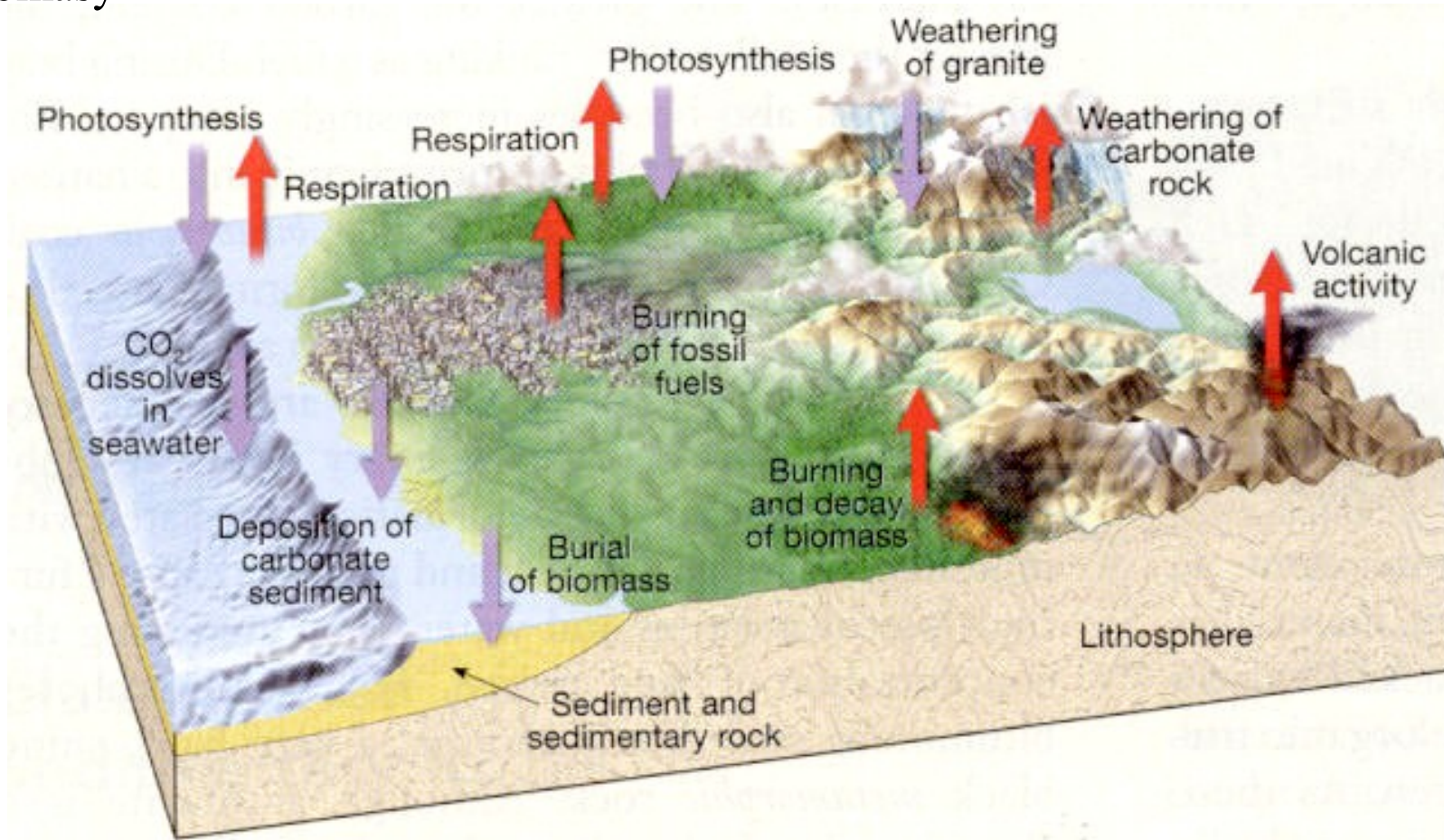
Chemicky nestabilní minerály (ostatní)

Chemicky stabilní minerály (křemen, muskovit)



Chemické zvětrávání: uhlíkový cyklus

- **Produkce:**
odplynění pláště, zvětrávání karbonátů, dýchání, spalování fosilních paliv, spalování a rozklad biomasy
- **Spotřeba:**
Sedimentace karbonátů, fotosyntéza, dýchání, pohřbení biomasy, zvětrávání granitu, rozpouštění CO_2 v mořské vodě



Globální ochlazení?

Apocalypse



... nebo oteplení ??



18.
století 1900 1950 1970 1980 1990

MECHANICKÉ ZVĚTRÁVÁNÍ

Mrazové zvětrávání

- opakovaný cyklus mrznutí (zvětšování objemu o 9%) a tání (snižování objemu) vody

Teplotní výkyvy

- teplotní výkyvy > 30 stupňů Celsia, bez přítomnosti vody - různé koeficienty tepelné roztažnosti u různých minerálů, problém s laboratorním potvrzením

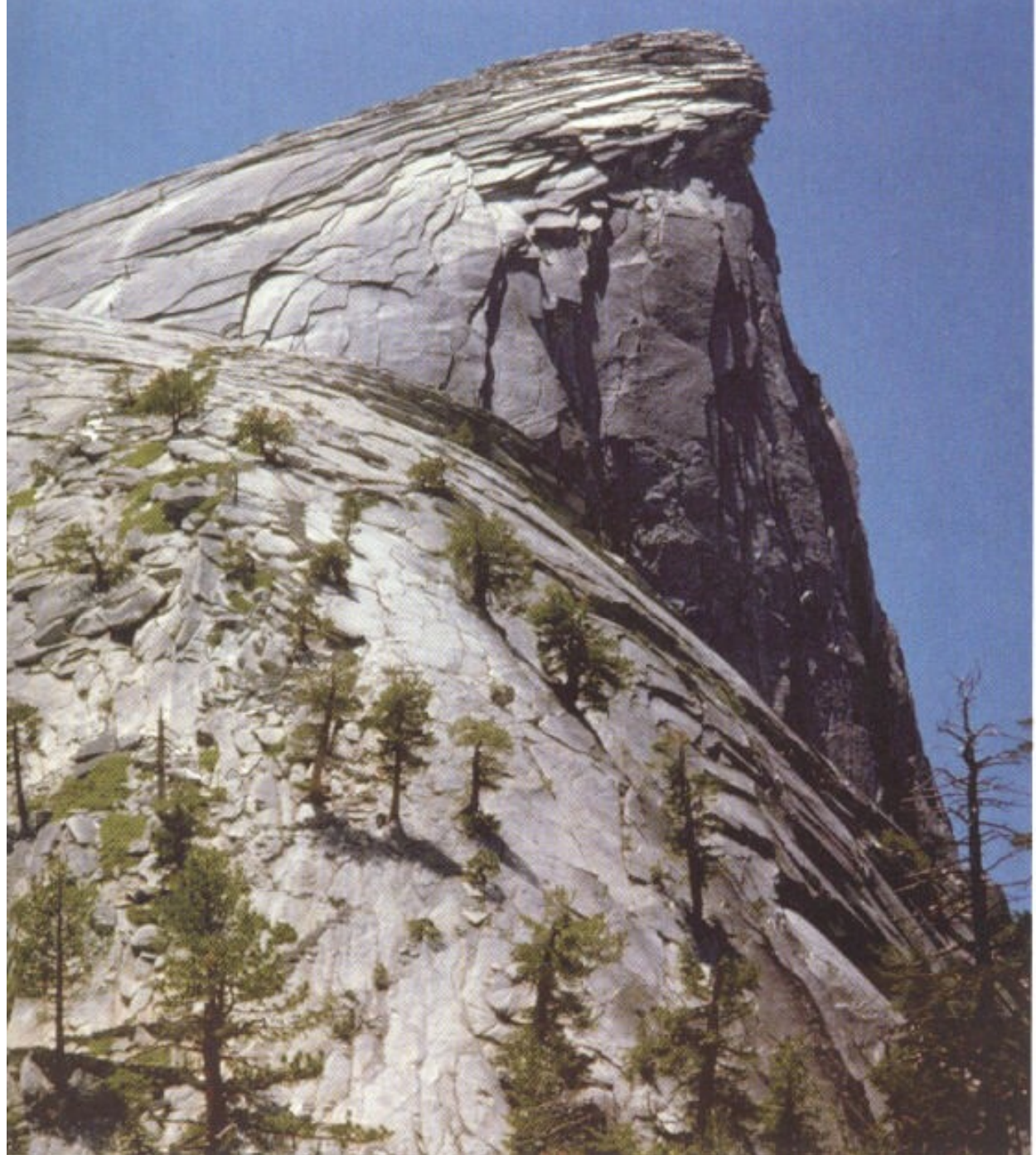
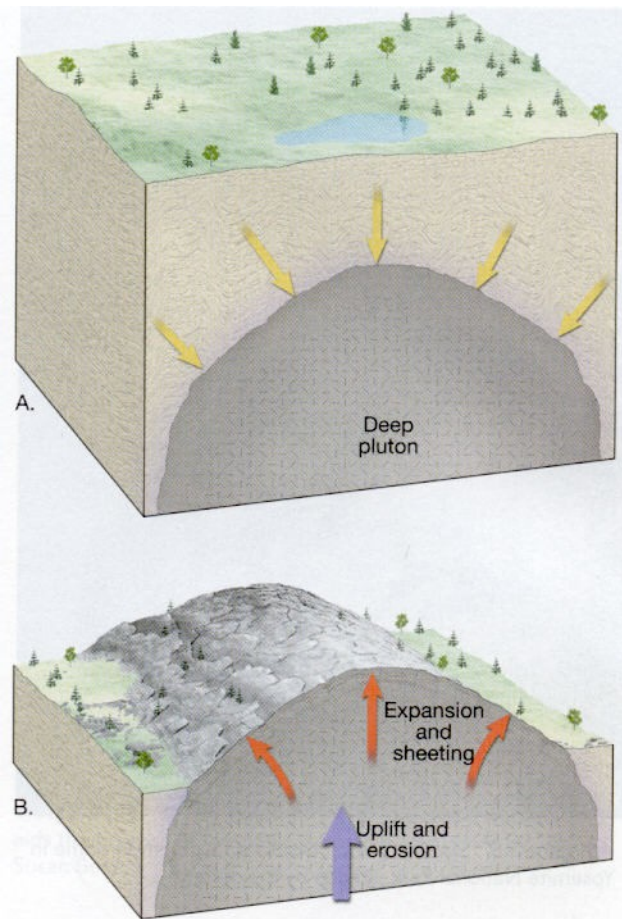
Odtížení horninových komplexů (EXFOLIACE)

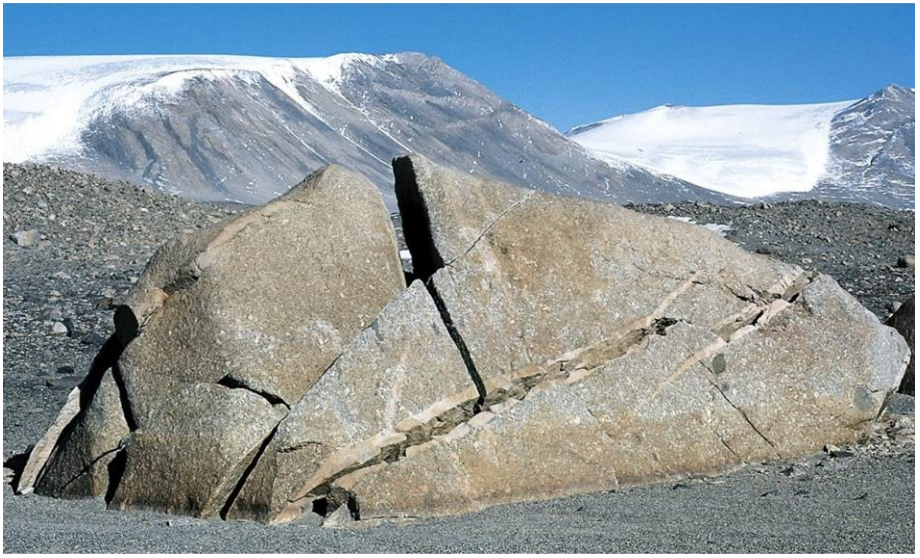
- vyvřelé horniny - odstranění tíhy nadloží vede k roztažení horniny a odlučování, viz situace v nově ražených důlních chodbách

Abraze (koraze, eroze)

- Obrušování hornin dynamikou nějakého média (voda, vzduch, led), které obsahuje pevné částice

Exfoliate





Mechanické zvětrávání



Solné zvětrávání

evaporace a srážení solí na povrchu a těsně pod povrchem porézních hornin (pískovce)

morfologické tvary:

- Voštiny
- tafoni

Voštiny
Pískovce, svrchní
karbon
Canning Basin
Západní Austrálie



Tafoni, skalní město Pulčín-Hradisko, východní Morava





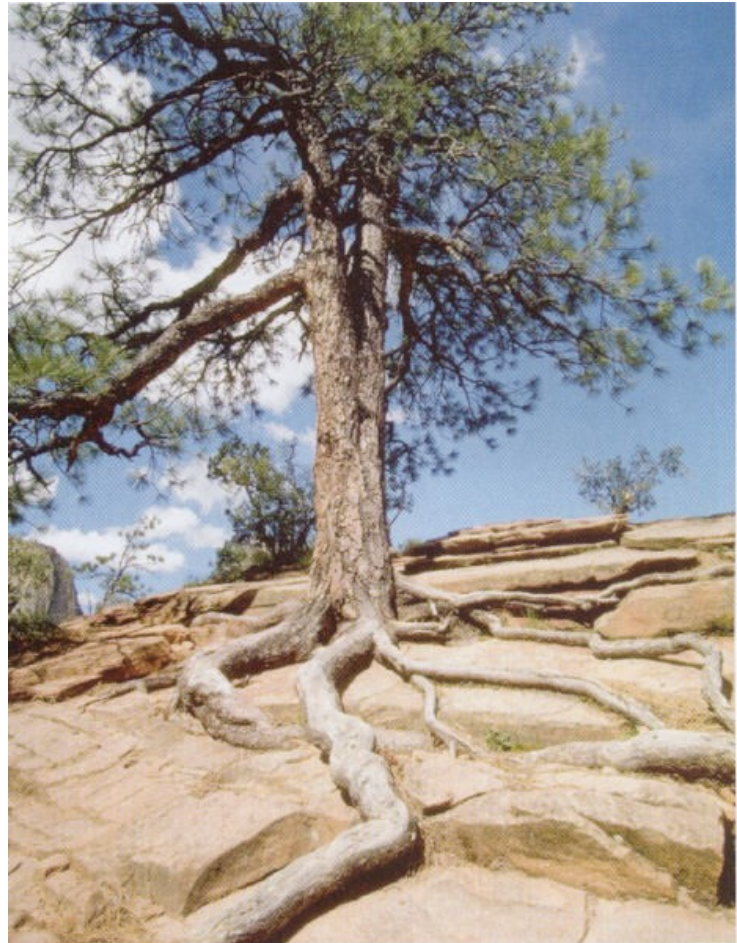
Produkty mechanického a chemického zvětrávání

- **Litické (horninové) fragmenty**
(granit, bazalt, rula, atd.)
- **Rozpuštěné ionty**
(vápník, draslík, sodík, atd.)
- **Sekundární minerály** (hematit, goethit, atd.)
- **Jílové minerály**
(illit, kaolinit, montmorillonit, atd.)
- **Reziduální minerály**
(**křemen**, *ortoklas*, *muskovit*, atd.)



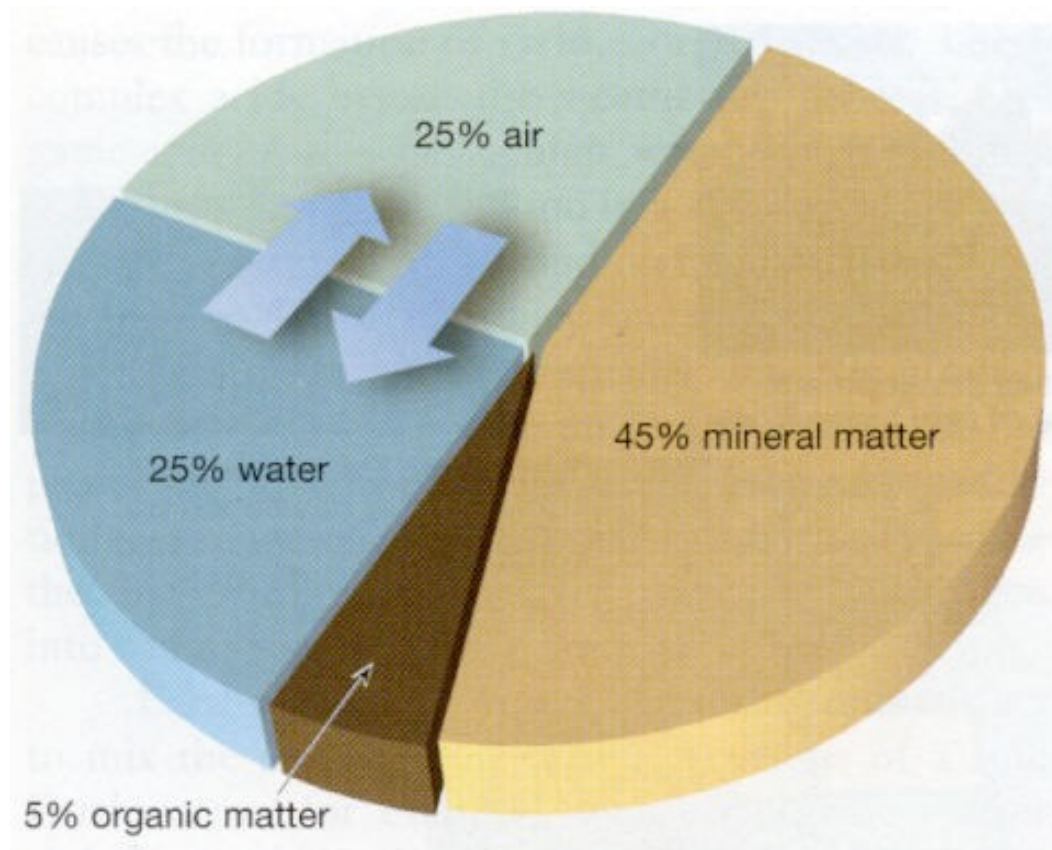
Biologické zvětrávání

- kořeny rostlin,
- vrtavá a hrabavá činnost živočichů,
- rozklad odumřelých těl - chemické reakce za vzniku kyselých roztoků,
- činnost člověka



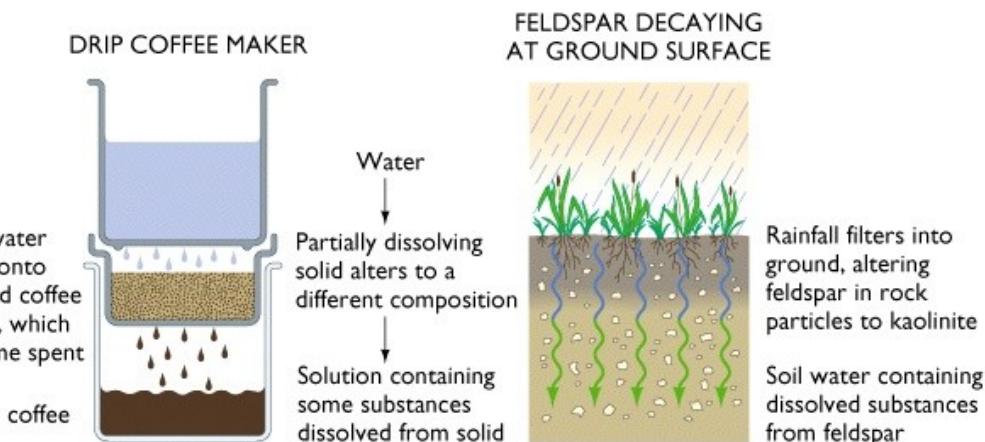
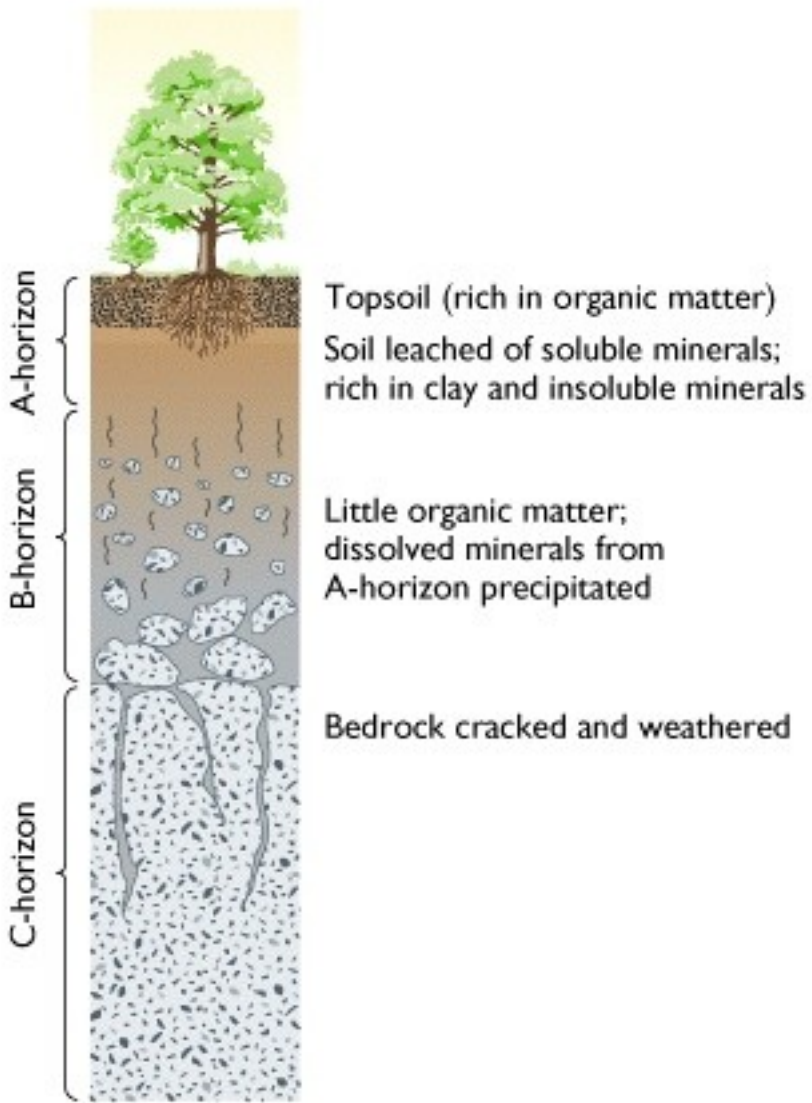
Regolit, půda

- půda - pokryv litosféry, který umožňuje růst rostlin
- složení - úlomky hornin a minerálů, organická hmota (humus), voda, vzduch
- průměrné složení dobré úrodné půdy:



Tvorba půd

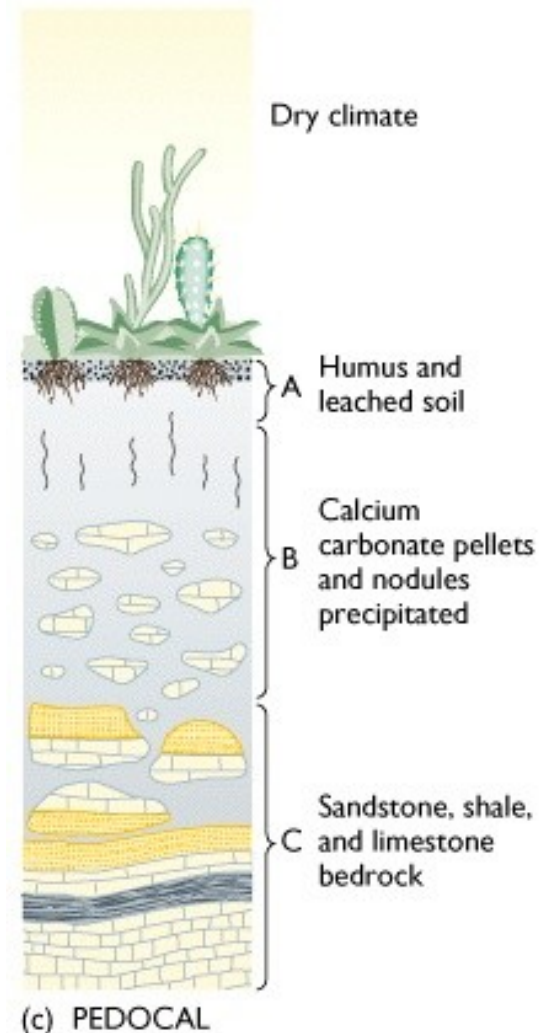
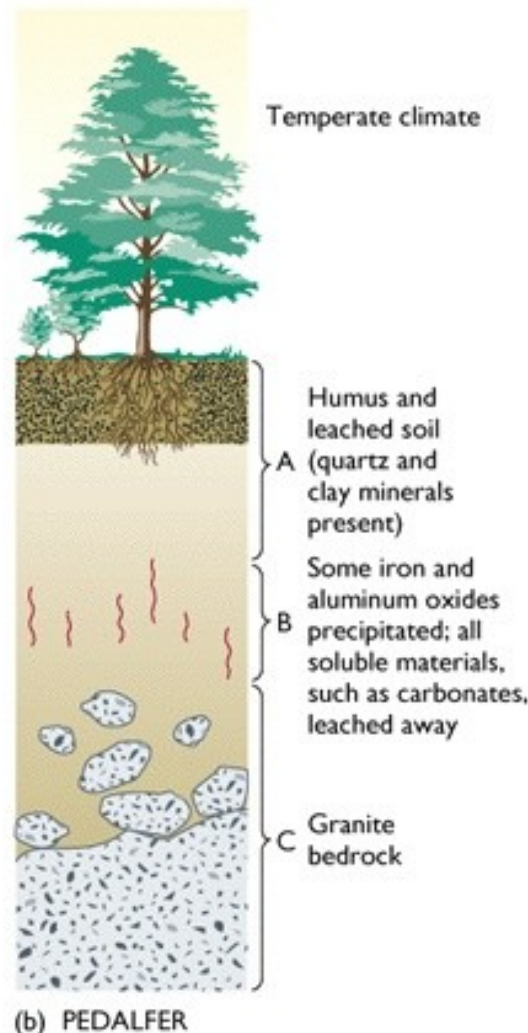
- Chemicky a mechanicky zvětralá hornina, která nebyla oderodována nebo odnesena pryč a zůstává na místě se stává *půdou*



- Povrch zvětrávání: vrstevnatá struktura:
 - Celistvé horniny úplně dole
 - Maximálně zvětralé horniny úplně nahore
 - Vyluhované ionty putují dolů s pohybem podzemní vody
 - Znovu se srážejí: voda směruje k chemickému ekvilibriu
- Půdní profil.

Tvorba půd

- Mineralogie a mocnost půdních vrstev je závislá na zdrojových horninách, klimatu (teplota a srážky), a stáří.
- Kterou z následujících půd byste obdělávali nejraději ? (žádnou !)



Holocenní černozem, oblast Kursk, Rusko



Tropická půda, Chiang Mai, Thajsko



Eroze: mechanické odstraňování materiálů prostřednictvím nějakého hybného média

Hybná média:

Gravitace

Dešťová a skapová voda

Tekoucí voda

Led(ovec)

Vítr

Moře

SELEKTIVNÍ EROZE

Eroze a transport vlivem gravitace,

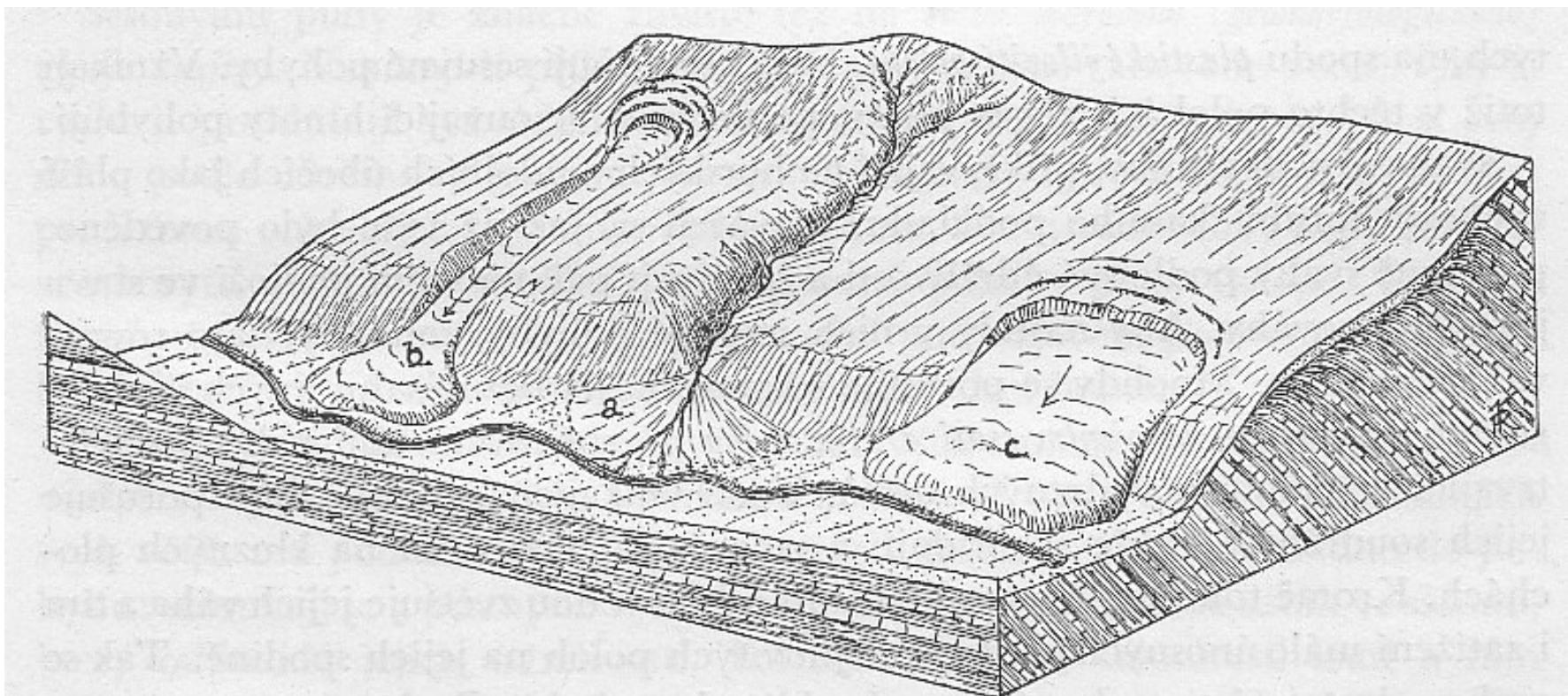
Gravitační

- gradient (sklon) svahu, horské oblasti x nížiny, podmořské oblasti

Morfologické tvary

- **Svahové osypy a sut'ové (dejekční) kuže**
- **Sesuvy**
- **Skluzy**
- **Rotace bloků**
- **Hákování vrstev**

Svahová eroze: dejekční kužely, sesuvy

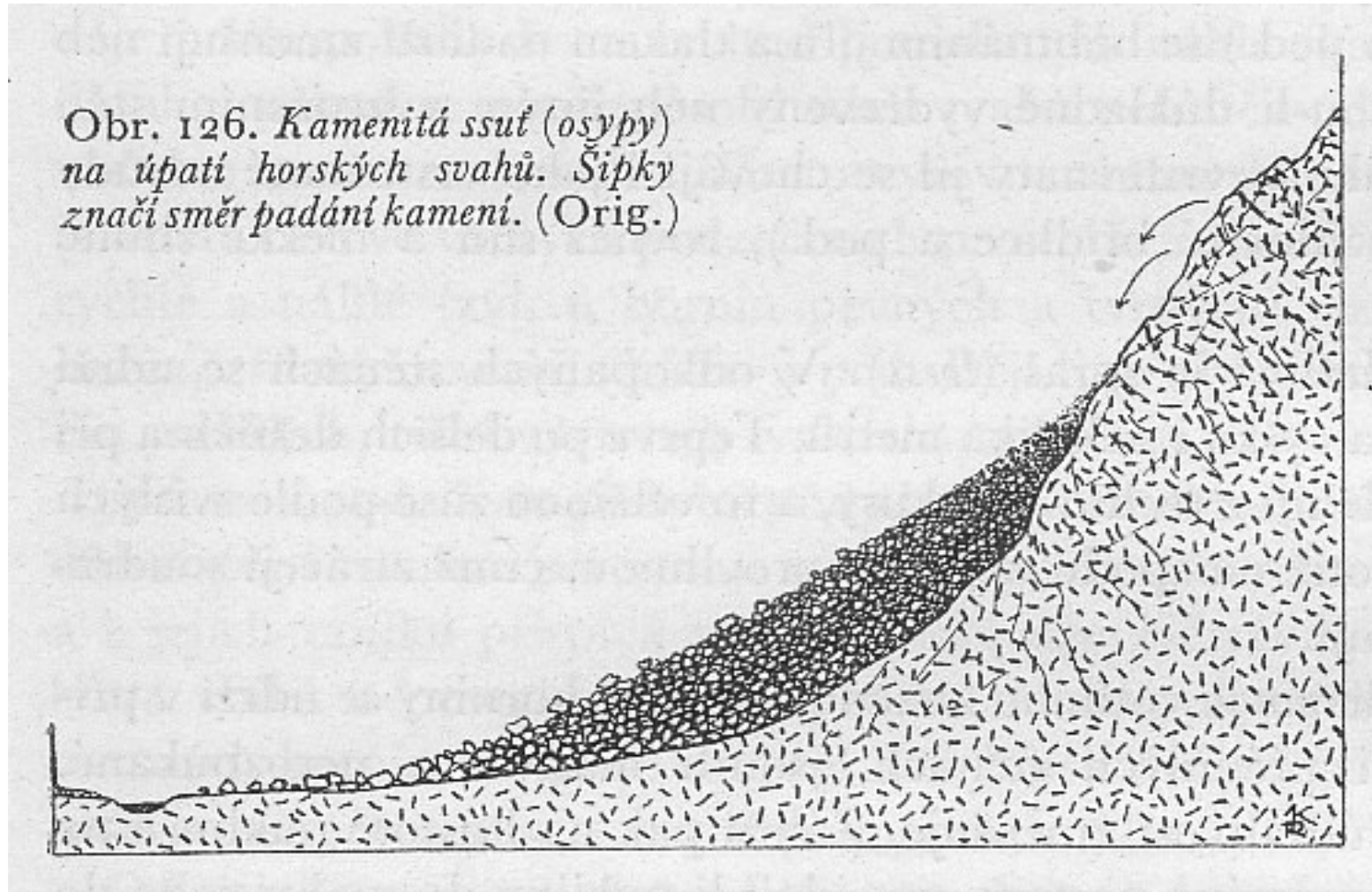


Obr. 137. Blokdiagram znázorňující tři různé způsoby pohybu ssuti na údolních svazích. a. = naplavený (dejekční) kužel ssuti při vyústění rokle do hlavního údolí, b. = proudový sesuv svahové ssuti, c. = plošný sesuv svahové ssuti. (Blokdiagram sestavili společně Dr QUIDO ZÁRUBA a autor.)

Suťové osypy - kamenitá sut'

převaha mechanické eroze /zvětrávání/ nad chemickým zvětráváním
horské, aridní, chladné oblasti

Obr. 126. Kamenitá ssut' (osypy)
na úpatí horských svahů. Šipky
značí směr padání kamení. (Orig.)





Svahové osypy, Severní vápencové Alpy, Rakousko

Svahové osypy, údolí Tamar, Julské Alpy, Slovinsko

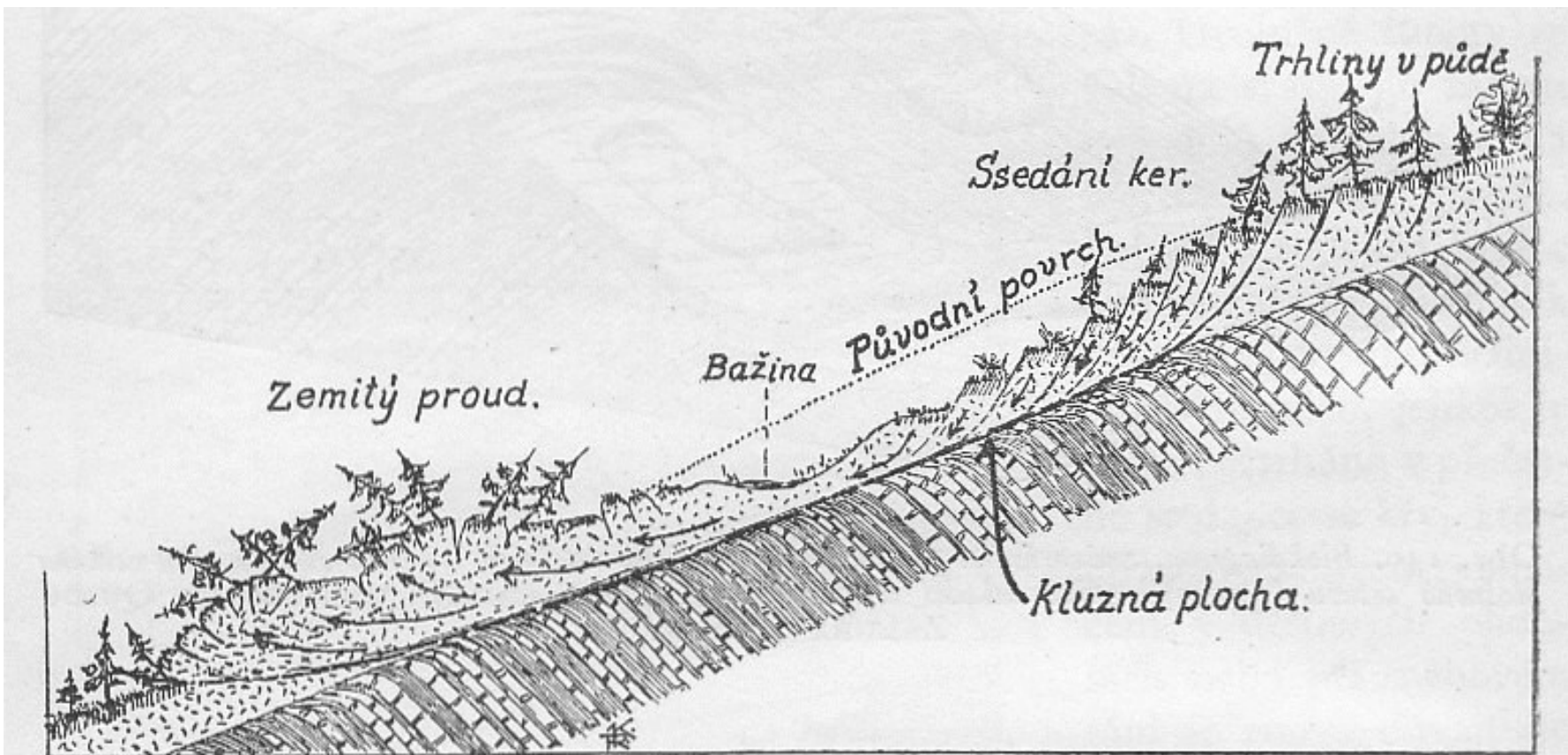


Suťové kužele, Rio Mendoza, Andy, Argentina



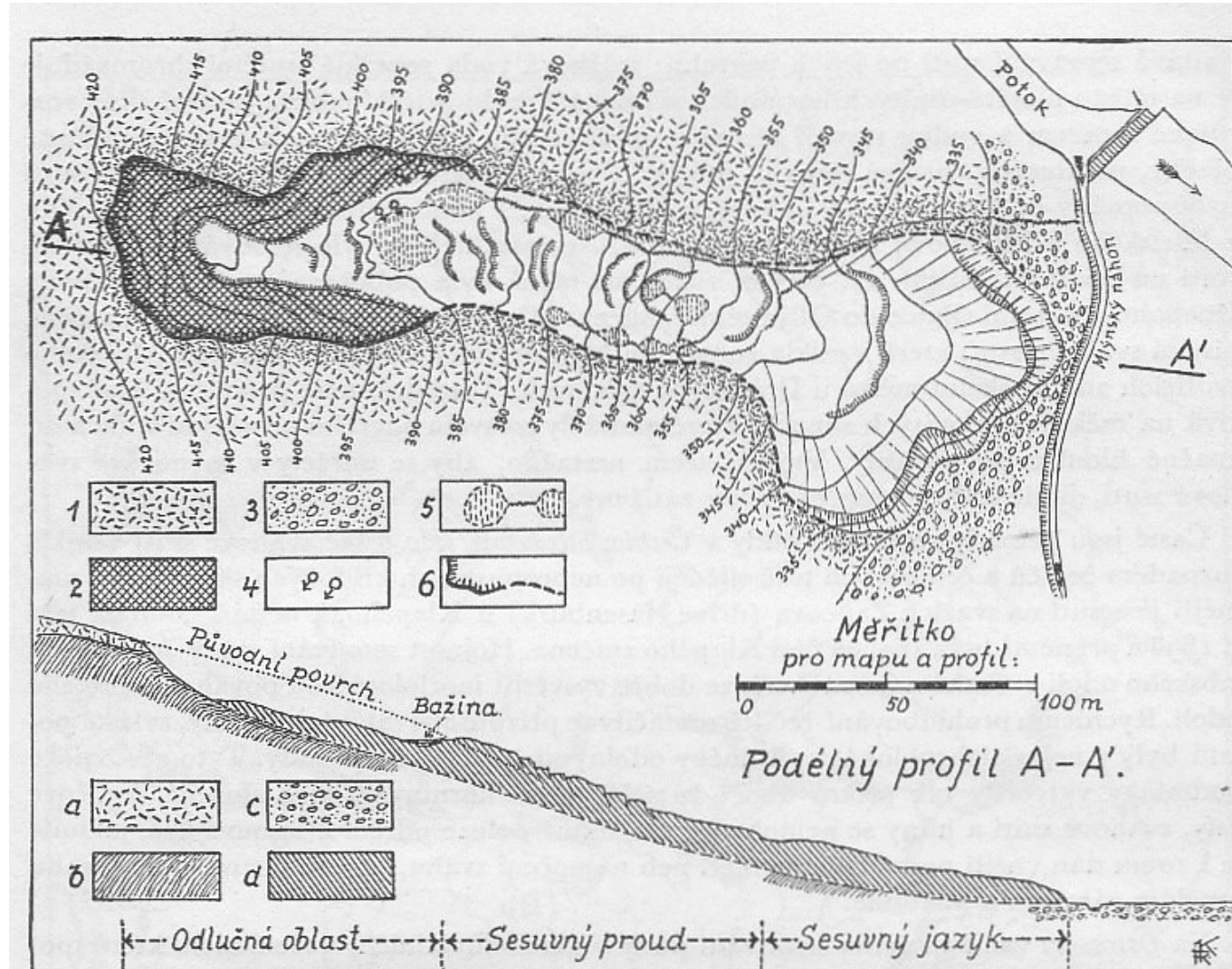
Sesuvy

- významný podíl jílovité frakce (jemnozrnné horniny)
 - důležitá úloha chemického zvětrávání
 - humidní oblasti



Obr. 142. Schematický průřez sesuvním územím. Ve svahových uloženinách spočívajících na souvrství střídajících se pískovců a břidlic se rozevírají nahoře trhliny, podle nichž se půda, ve kry roztrhaná, ssedá po svahu. Sesouvající se hmota svahových uloženin vytvářejí dole v akumulační oblasti bochníkovité vyklenutý jazyk ve kry roztrhaný, který se nasunuje přes svahové uloženiny sesouváním nepostřízené. (Originál.)

Sesuv

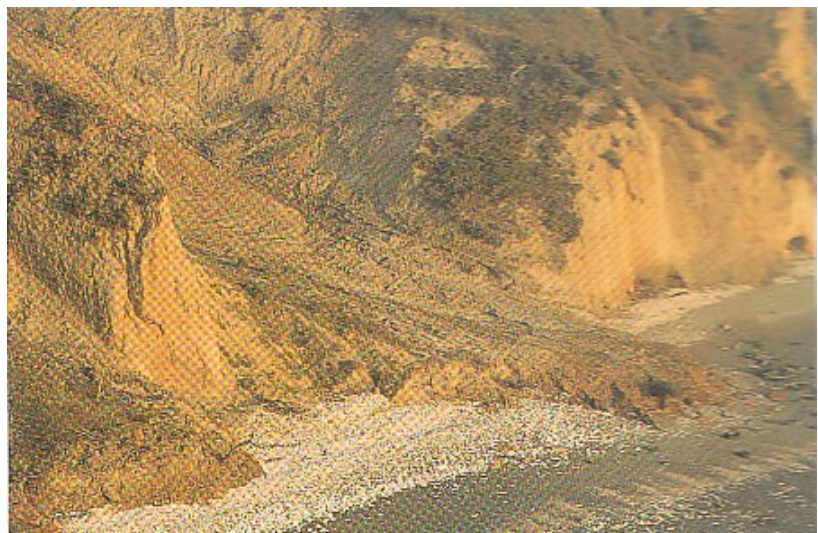


Obr. 143. Půdorys a průřez sesuvného území u Zarieče na slovenské straně Lyského průsmyku. Vysvětlivky k půdorysu: 1 = jílovité svahové ssuti, 2 = jílovité břidlice s lavicemi pískovců (paleogén), 3 = štěrky a píska — náplavy Bielé vody, 4 = význačné prameny, 5 = bažiny, 6 = hranice sesuvného území. Vysvětlivky k průřezu: a = jílovité svahové ssuti, b = jílovité břidlice s lavicemi pískovců (paleogén), c = píska a štěrky — náplavy Bielé vody, d = uvolněný materiál sesuvného proudu. (Podle prof. Dr Q. ZÁRUBY.)

Recentní sesuv, ostrov Ko Samui, Thajsko

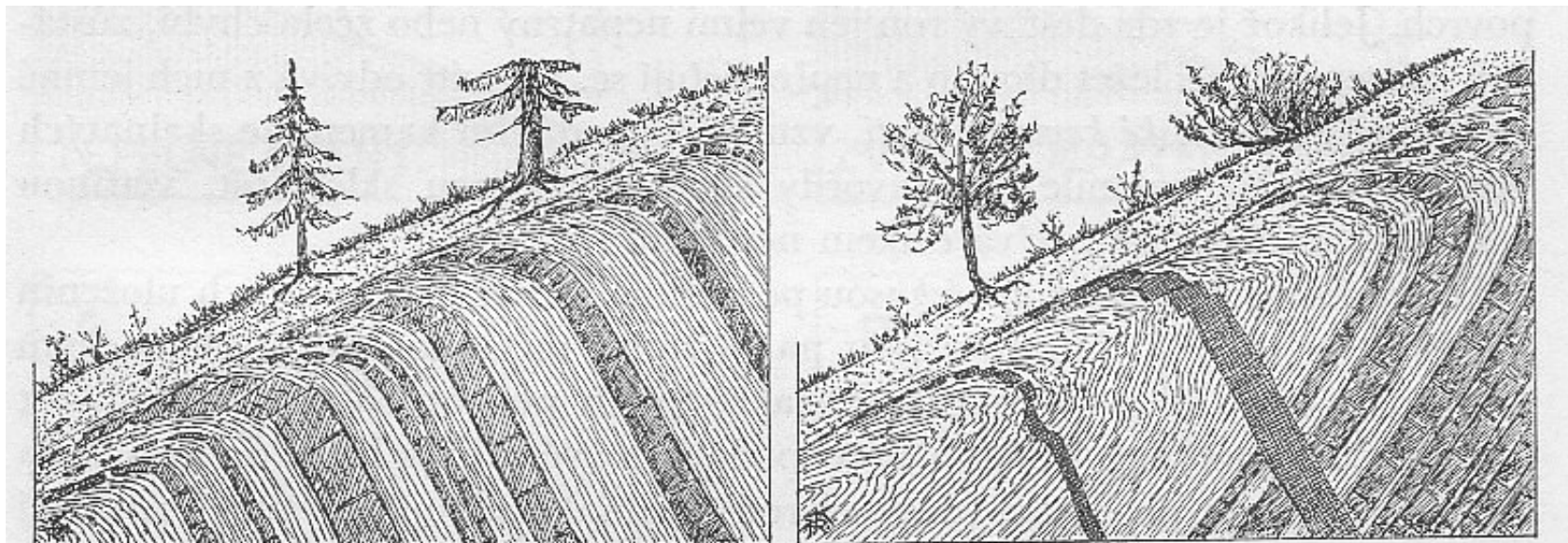


Recentní sesuv, Santa Tecla, Salvador



OSUDNÝ SESUV
Sesuv postihnul město Santa Tecla v Salvadoru zničil všechna obydlí, které mu stála v cestě, zatímco jen v malé vzdálenosti od něho zůstala obydli nepoškozena.

Hákování vrstev



Obr. 132. Hákování vrstev. Vlevo: V souvrství příkře do svahu skloněných břidličných a pískovcových vrstev ohýbají se pod pláštěm svahové ssuti břidličné vrstvy po svahu, lavice křehkých pískovců se trhají v kry, které se posunují po svahu. Vpravo: Příkře po svahu skloněné vrstvy se pod pláštěm svahové ssuti ohýbají do překocené polohy; žily vyvřelých hornin, prorážejících souvrstvím, se pod ssutí trhají v kry, které se posunují po svahu dolů. (Originál.)

Hákování vrstev, lom Svobodné Heřmanice, Nízký eseník



Doklad pro rotaci bloků v jeskyni, Suťový dóm, Javoříčské jeskyně

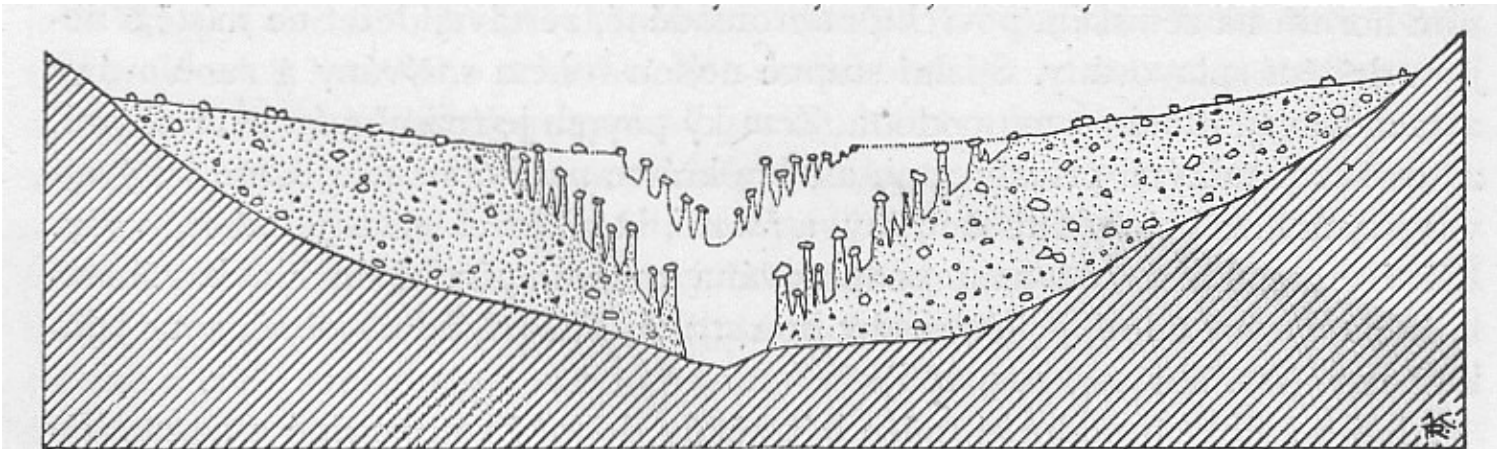


Eroze a transport vlivem skapové vody,

Dešťové srážky, měkké materiály, půdní eroze (antropogenní monokultury)

Morfologické tvary

- **Zemní pyramidy**
- **Skalní hřiby**
- **Ronové rýhy**



Obr. 45. Vznik zemních pyramid v sypkých uloženinách (morénách, ssuti a pod.) působením stékající vody za dešťových přívalů. (Podle G. WAGNERA.)

Ronové rýhy, údolí Rio Mendoza, Argentina

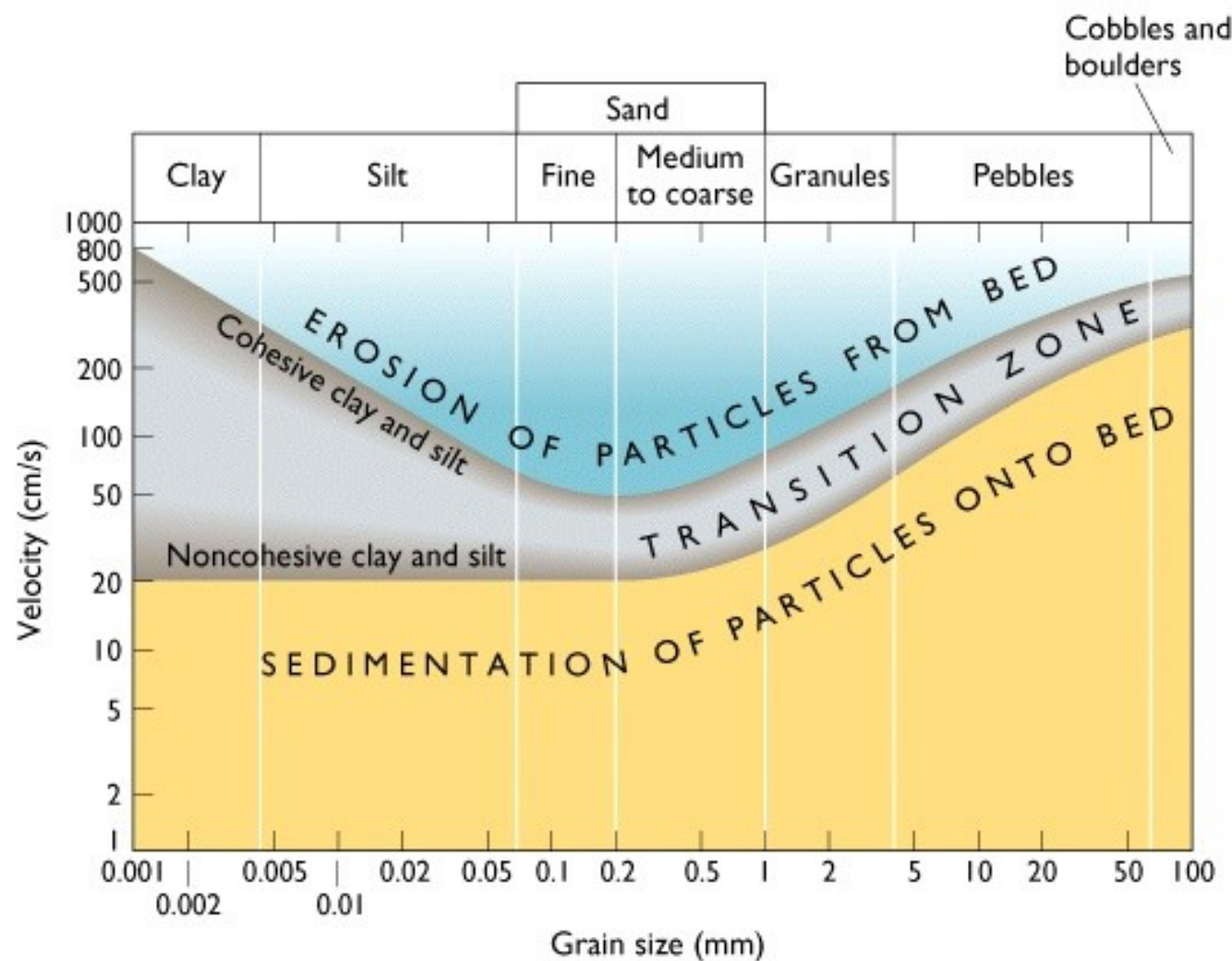


Eroze a transport tekoucí vodou, Hjustromova křivka

Proudění o dané rychlosti může nést všechny nesoudržné částice menší než kritická velikost;

Rychlosť proudění klesá s klesajícím sklonem svahu od pohoří k nížinám,

sedimenty se proto vyvíjejí od špatně vytříděných, hrubozrnných sedimentů k dobře vytříděným a jemnozrnným sedimentům s rostoucí vzdáleností od zdroje.



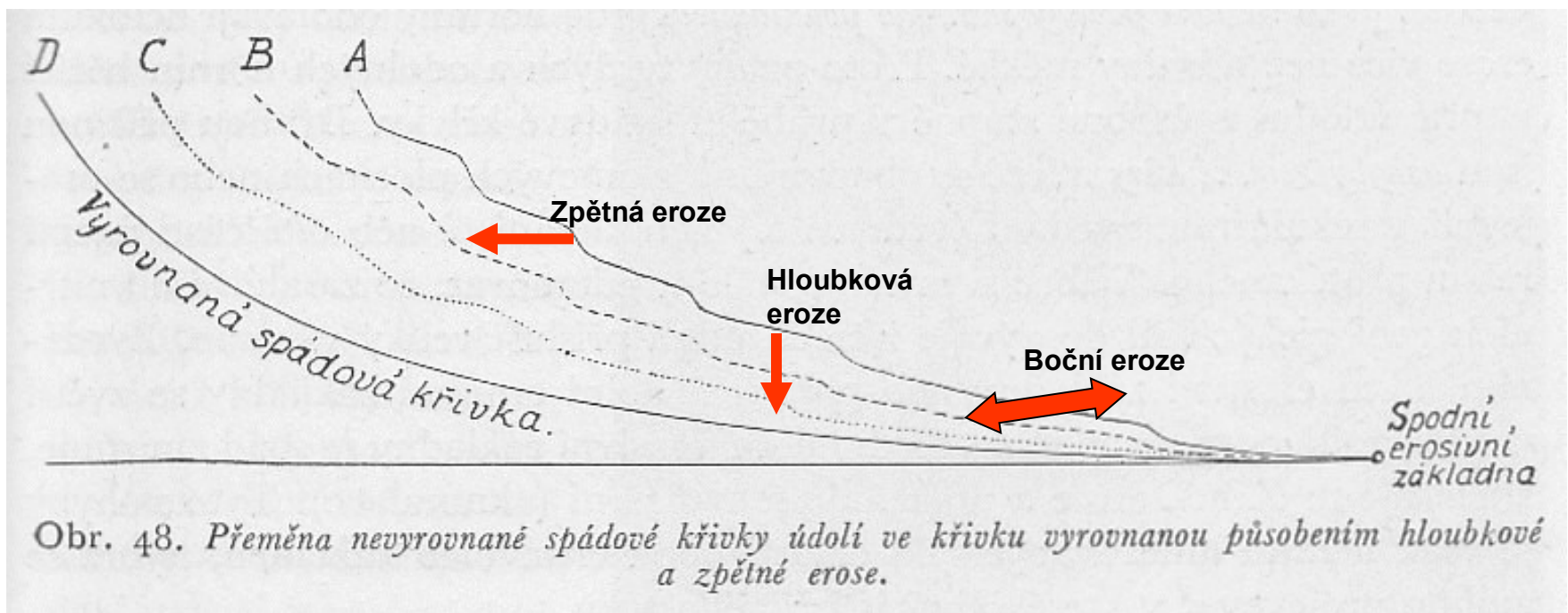
Eroze a transport tekoucí vodou (říční eroze)

Tekoucí voda, erozní energie závislá na sklonu podloží (spád), spádová křivka a množství a velikosti transportovaného sedimentu (sediment load)

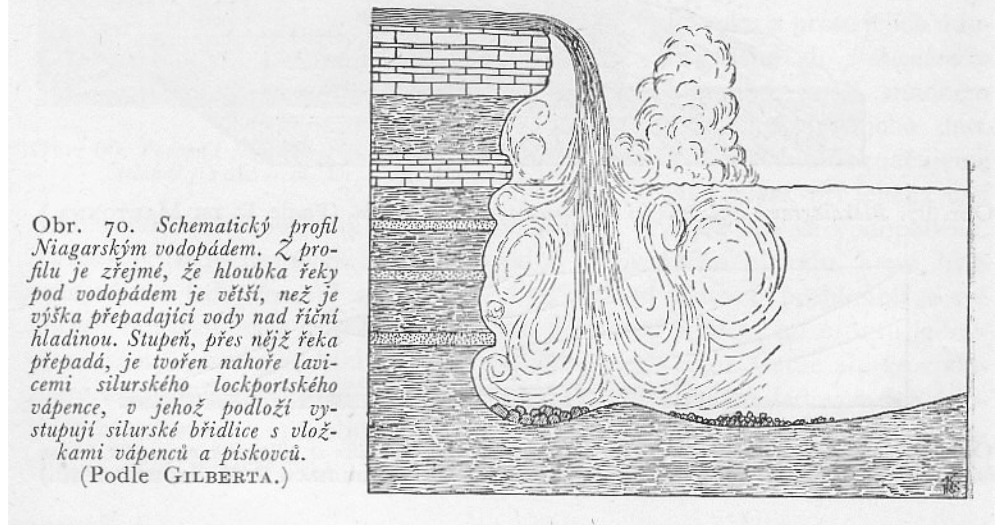
Typy eroze a morfologické tvary

- hloubková eroze (říční terasy, údolí typu V)
- zpětná eroze (vodopády, údolí typu V)
- boční eroze (meandry, říční terasy)
- Evorze (obří hrnce)

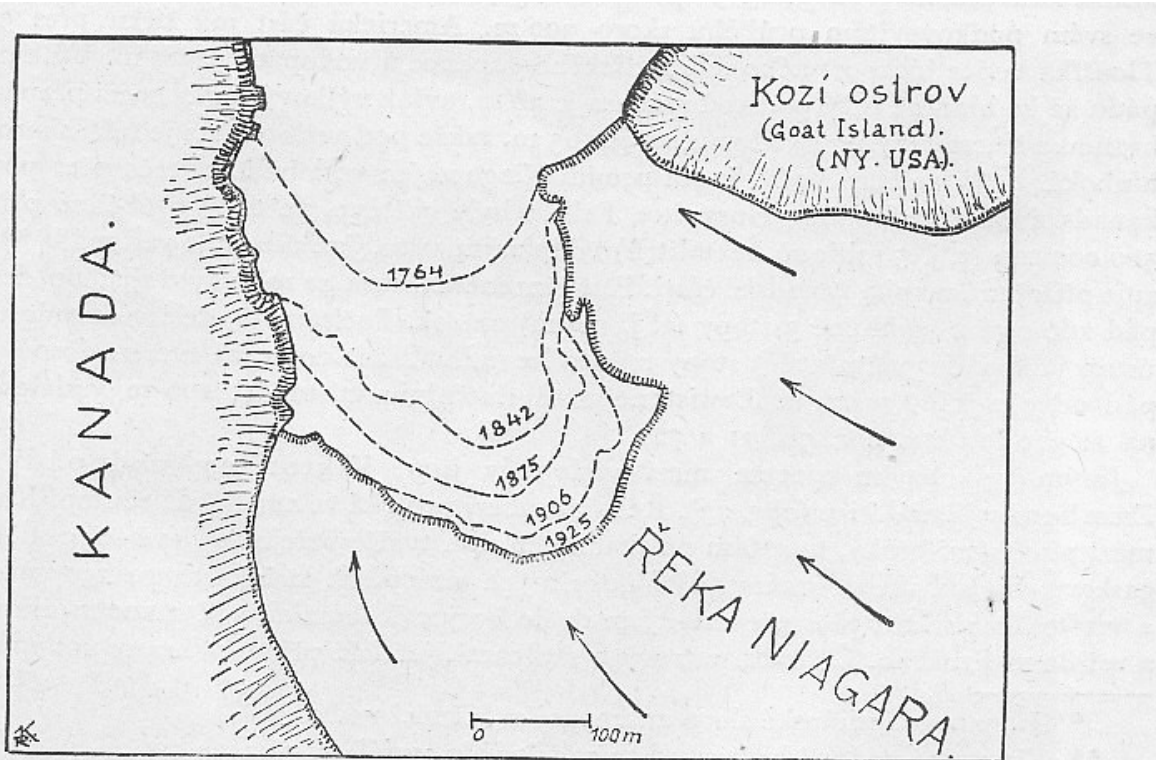
Spádová křivka řeky



Zpětná eroze



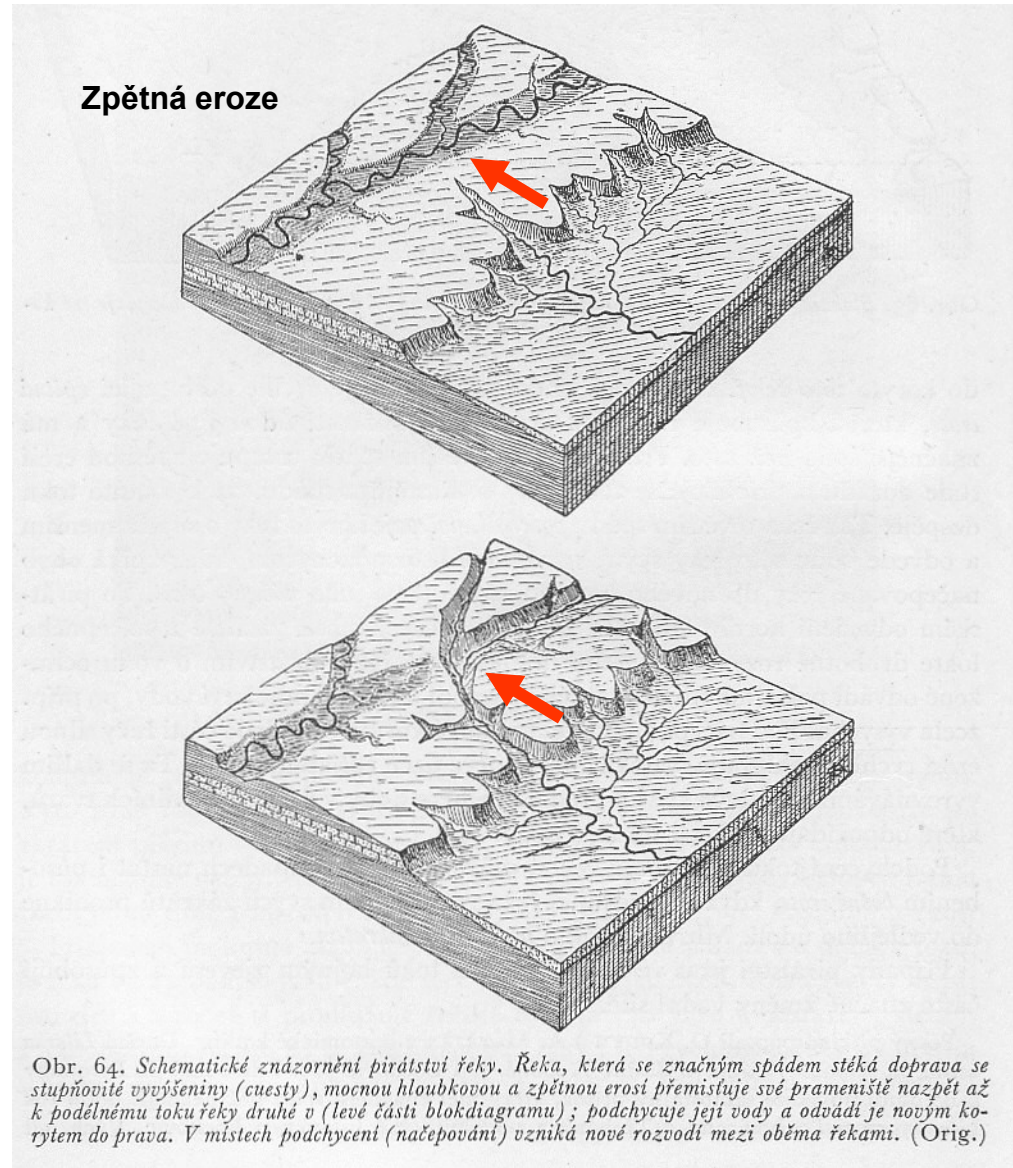
Obr. 70. Schematický profil Niagarským vodopádem. Z profilu je zřejmé, že hloubka řeky pod vodopádem je větší, než je výška přepadající vody nad říční hladinou. Stupeň, přes než řeka přepadá, je tvorené nahoře lavicemi silurského lockportského vápence, v jehož podloží vystupují silurské břidlice s vložkami vápenců a pískovců.
(Podle GILBERTA.)



Obr. 72. Mapka znázorňující velikost ustupování kanadské části Niagarského vodopádu (Horseshoe Falls) od r. 1764 do r. 1925. (Podle Niagara Power Co.)

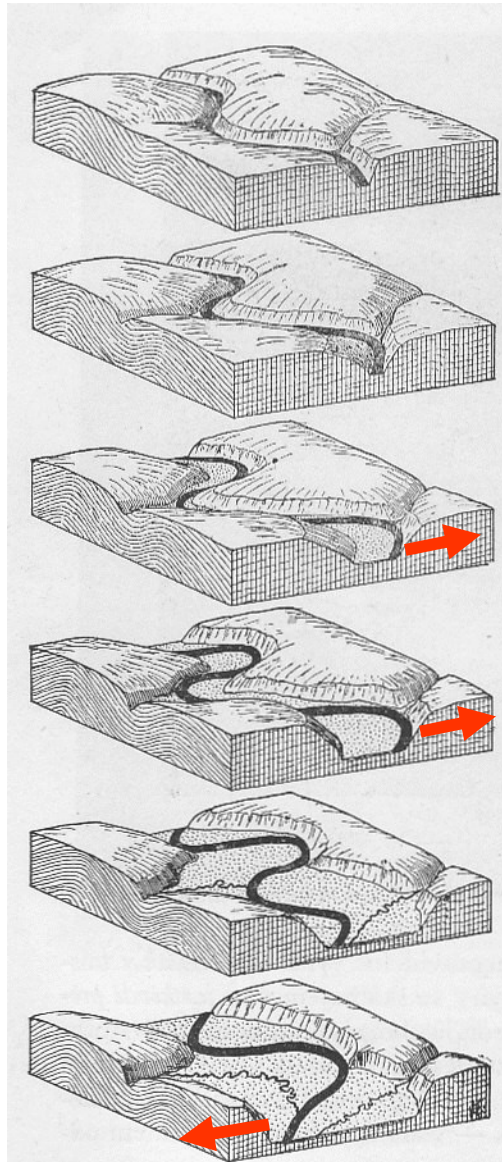
- ◆ Ústup niagarských vodopádů o cca 300 m za cca 150 let

Zpětná eroze: pirátství řek



Boční eroze

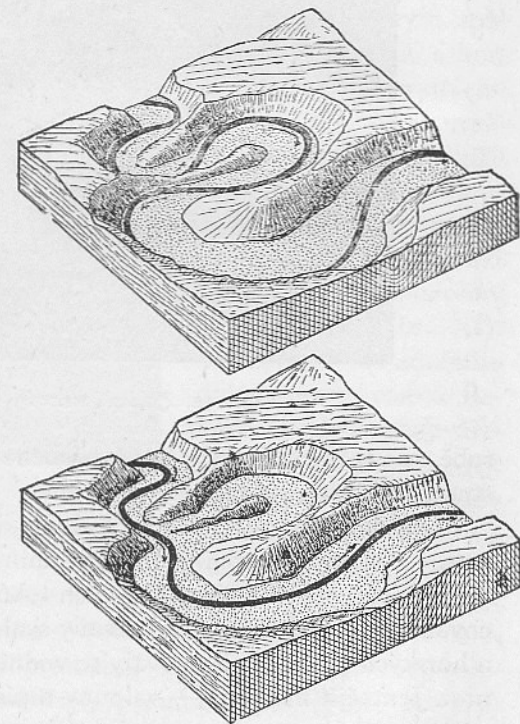
- Meandrující řeka
- Vznik opuštěných meandrů (mrtvých ramen)



Obr. 53. Prohlubování a rozširování údolí meandrující řekou. Účinky bočné eroze a vznik údolní nivy. (Sestavil autor.)

takže se řeka zarezava do skalního podkladu. Bočná eroze se projevuje v zákrutech (meandrech) podemiláním břehů (srov. obr. 53). Příkré skalnaté srázy nárazových břehů, které obklopují půlkruhovitě zákrut řeky, označujeme obyčejně jako *amfiteatry*.

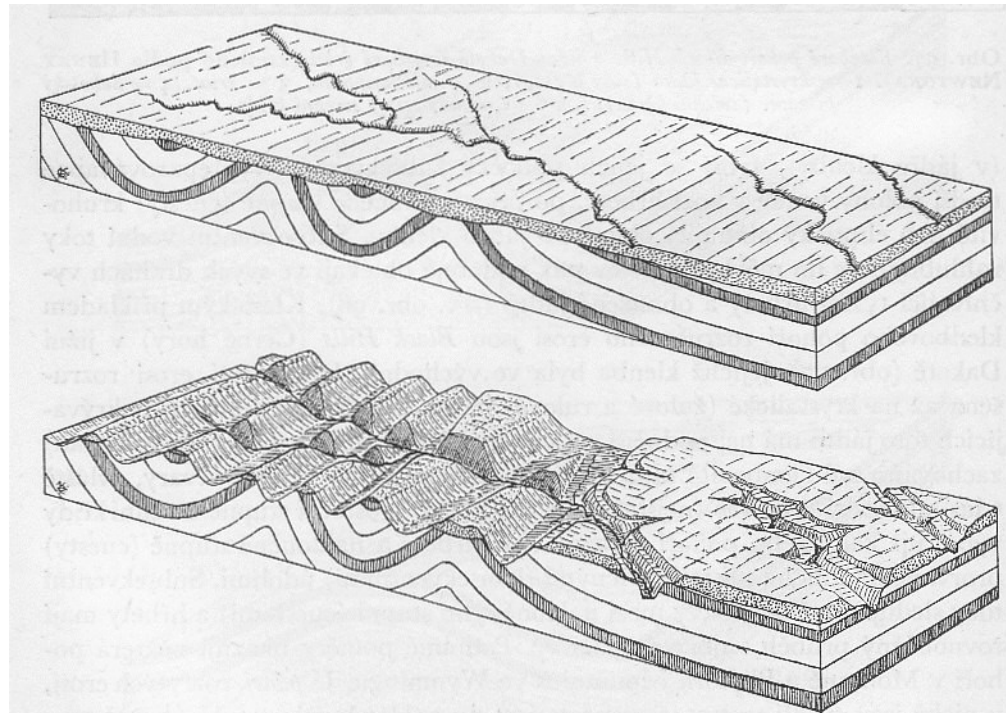
V prudkých meandrech bývá často proti *amfiteatru* nárazového břehu vyerodován skalnatý *ostruhovitý výběžek* protějšího břehu, jenž vybíhá do jádra



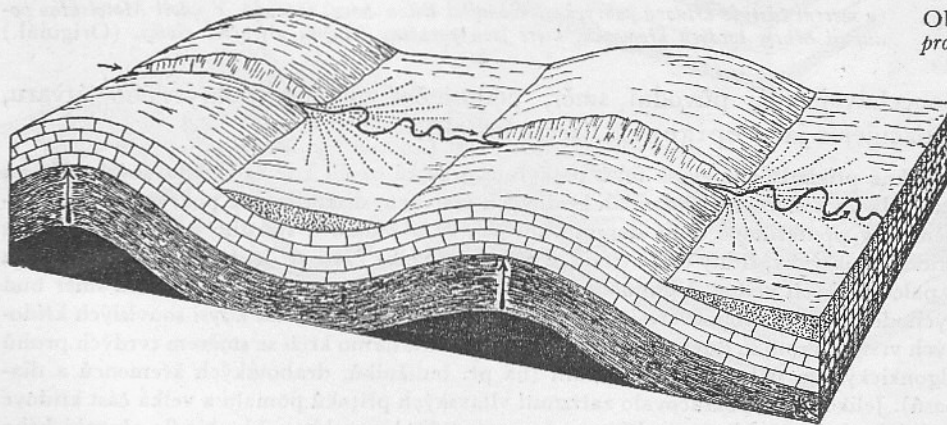
Obr. 54. Vznik opuštěného meandru. Blokdiagram meandru u Masečína na Kocábě (srov. obr. 119); originál.

Hloubková eroze: Epigenetické a antecedentní údolí

- Epigenetické údolí
- Tektonická stavba předchází hloubkovou erozi
 - Eroze nezávislá na tektonické stavbě podloží



Obr. 98. Vývoj epigenetických údolí. Nahoře vznik údolí v pokryvném útvaru. Údolí při postupném prohlubování setrvávají ve svém původním směru a zaříznou se posléze do podložních vrstev bez ohledu na jejich tektonické poměry (dole), takže probíhají napříč vrstvami. (Podle R. F. FLINTA.)



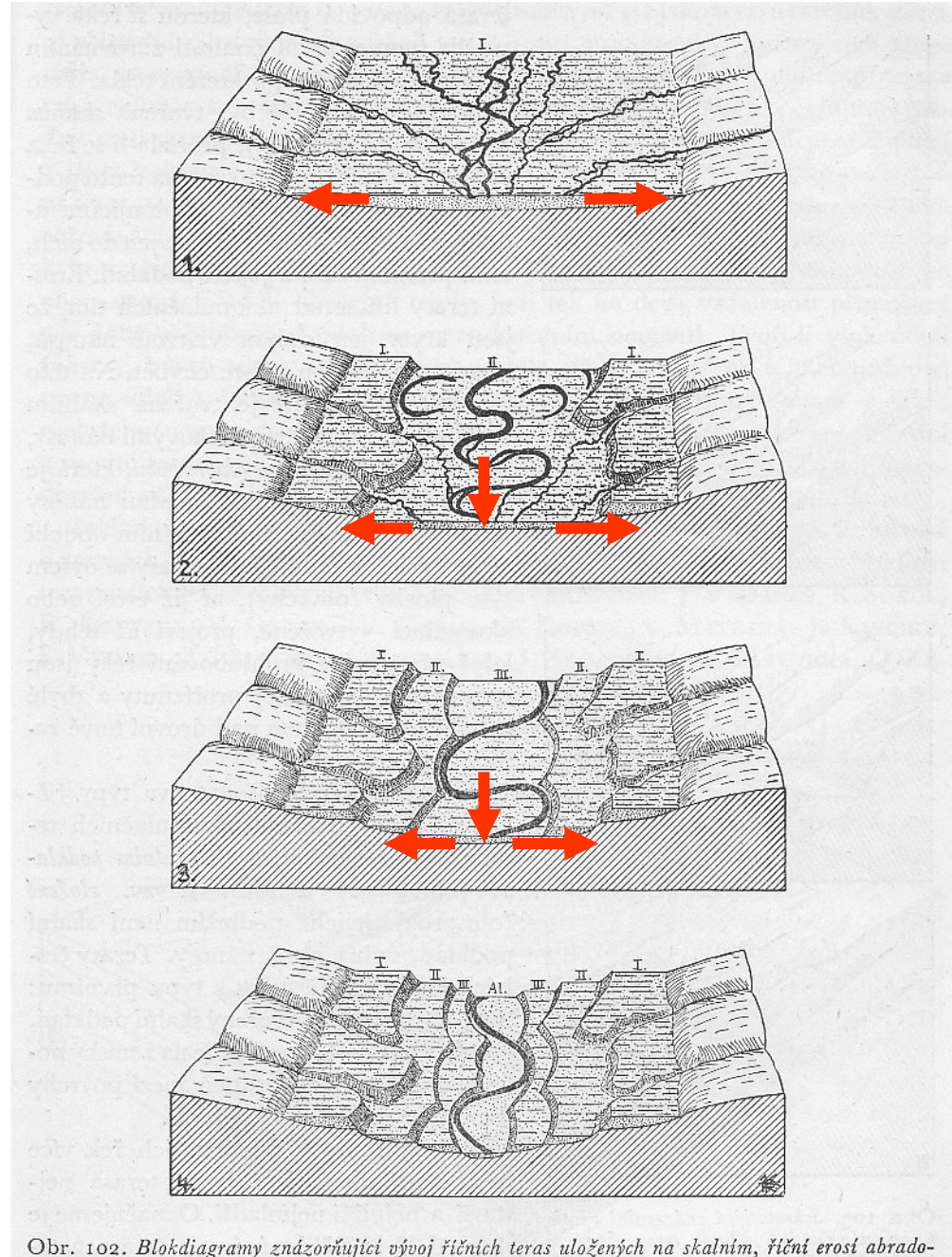
Obr. 100. Schema znázorňující vznik antecedentního údolí. Šipky naznačují oblasti, které se za současného zařezávání řeky sekulárně zvedají. (Upraveno podle G. WAGNERA.)

◆ Antecedentní údolí

- Současná hloubková eroze a tektonický výzdvih podloží
- Tektonický výzdvid určuje míru hloubkové eroze

Boční + hloubková eroze: vznik říčních teras

- Starší terasy leží ve vyšších nadmořských výškách než mladší terasy
- Datování teras: výpočet rychlosti hloubkové eroze



Obr. 102. Blokdiagramy znázorňující vývoj říčních teras uložených na skalním, říční erozí abradowaném podkladu. (Originál.)

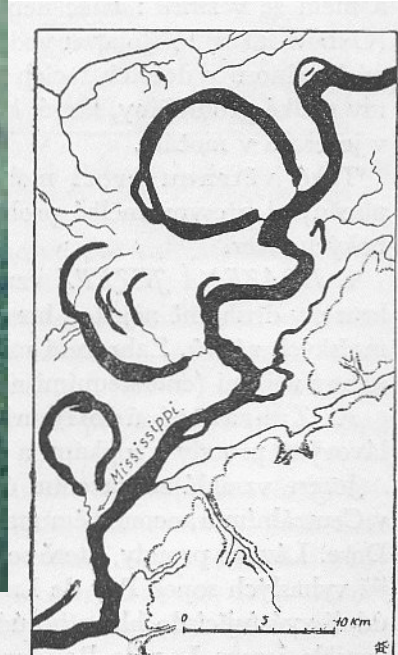
Údolí typu V, hloubková eroze, pohoří
Jebel Akhdar, Omán



Meandrující řeka s jezery mrtvých ramen



Obr. 256. Jezera vzniklá oddělením meandrů od hlavního toku nízinné řeky („Mrtvá ramena“, Oxbow lakes). Údolí Mississippi ve státě Louisiana (USA).



Říční terasy, boční a hloubková eroze řeky



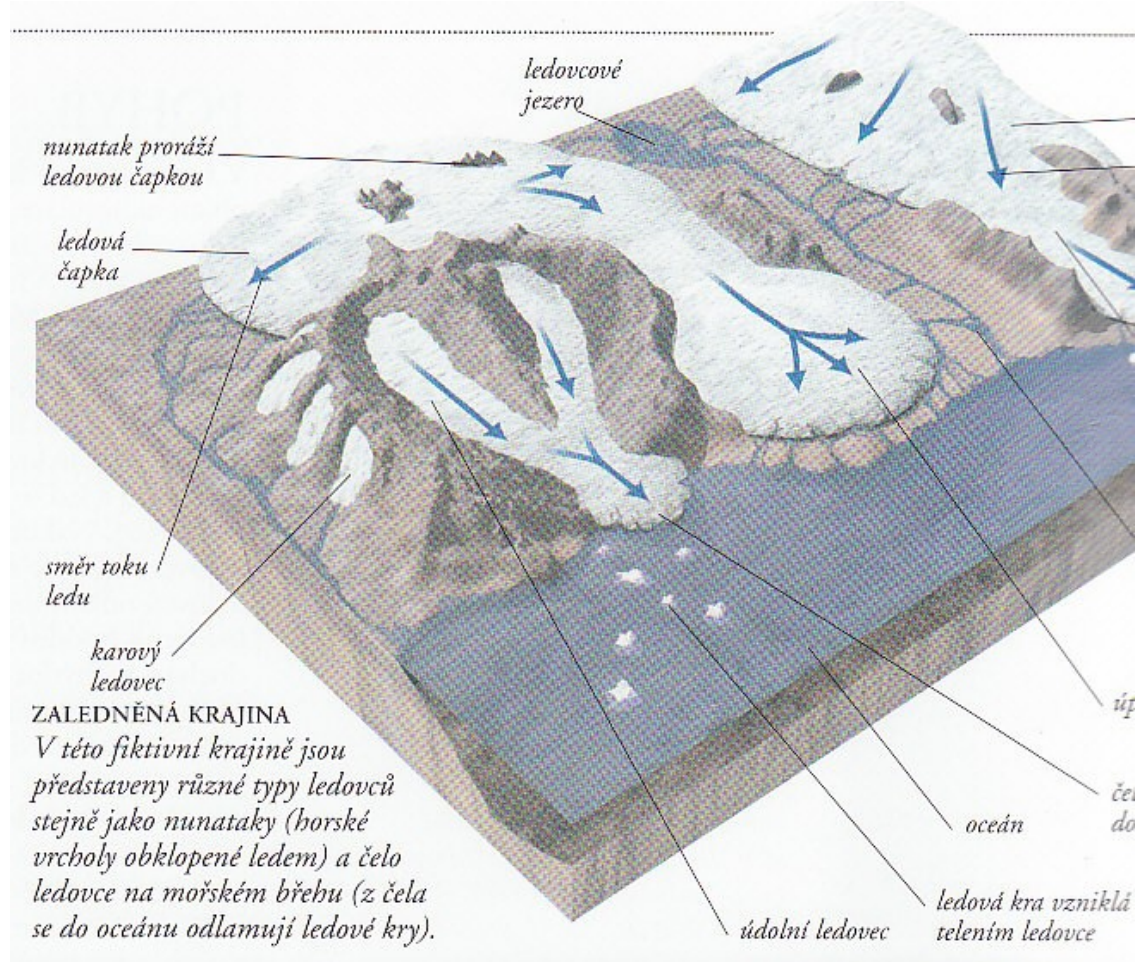
Říční terasa, Rio Mendoza



Eroze a transport ledem

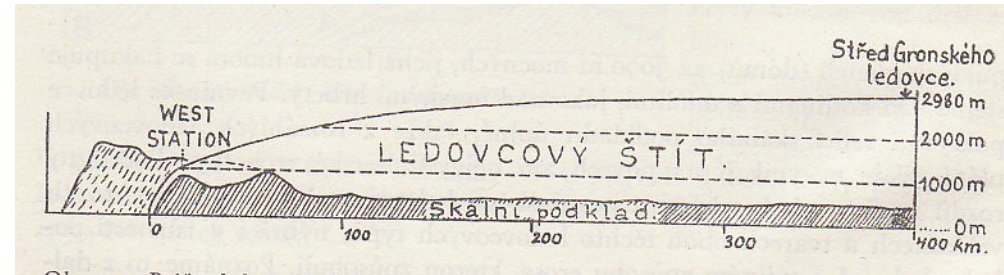
Led(ovec)

- Kontinentální ledovce
- Horské (údolní) ledovce
- Úpatní (piedmontní) ledovce
- Morfologické erozní tvary:
 - glaciální rýhy
 - ledovcový kar
 - údolí tvaru U
 - horn
 - Fjord
- Depoziční tvary: morény



Eroze a transport ledem

Kontinentální ledovec (ledovcový štít)



Obr. 14. Průřez ledovcovým štítem granským, vedený od západu k východu, od West Station sev. od ostrova Disko k výškovému bodu 2980 ve středu ledovce (srov. obr. 13). (Podle A. WEGENERA.)

22



Úpatní (piedmontní) ledovec, Aljaška

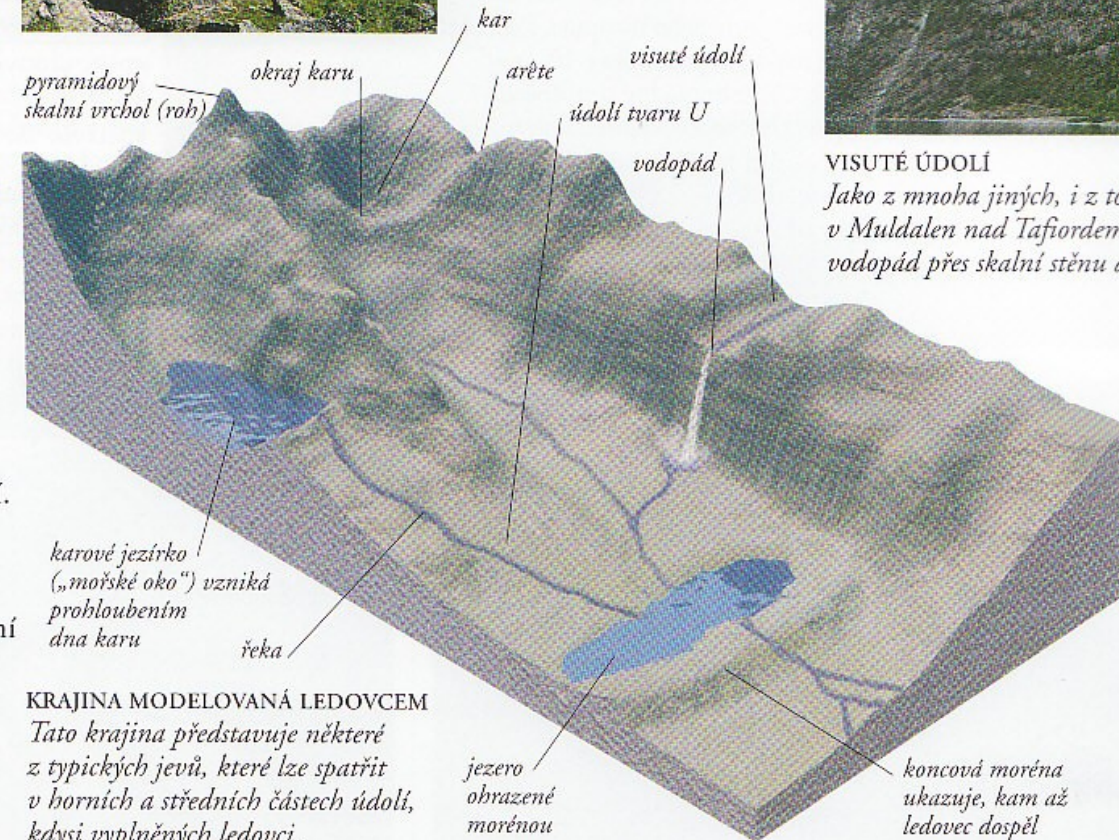


Horský ledovec



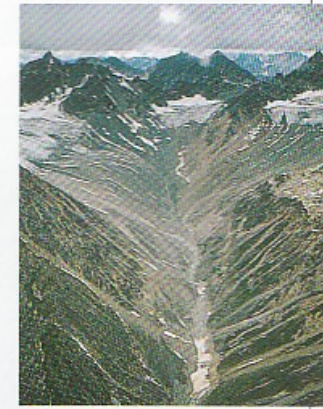
KAR A ARÈTE

Hlubočce erodovaný kar s dlouhým hřbetem nebo arête na vzdálené straně hřebenu leží nad Grylleffjordem v Norsku.



VISUTÉ ÚDOLÍ

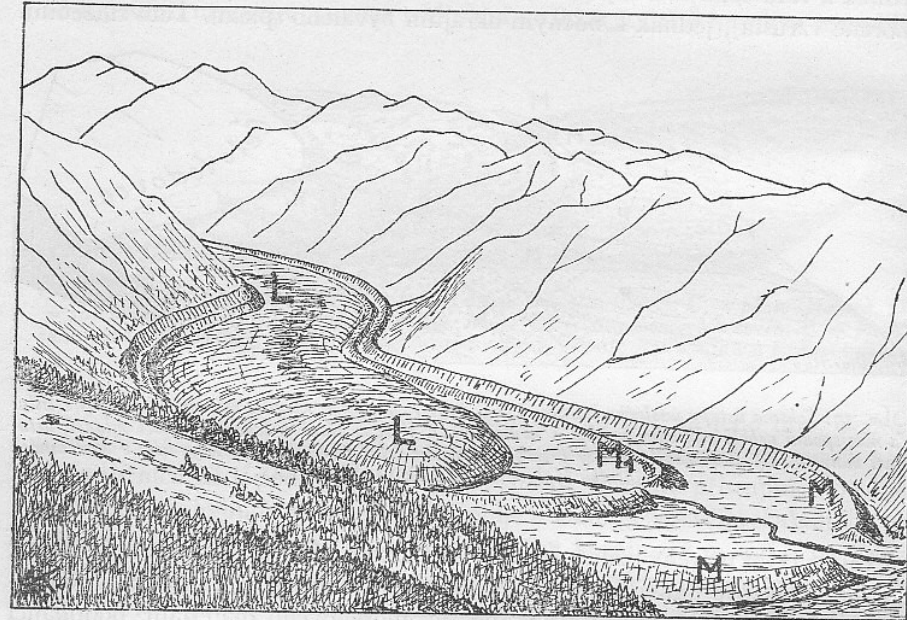
Jako z mnoha jiných, i z tohoto visutého údolí v Muldalenu nad Tafjordem v Norsku někdy padá vodopád přes skalní stěnu do hlavního údolí.



ERODOVANÉ ÚDOLÍ
Dno tohoto údolí bylo hlubočce erodováno dřívějším zaledněním.

Horský (údolní) ledovec

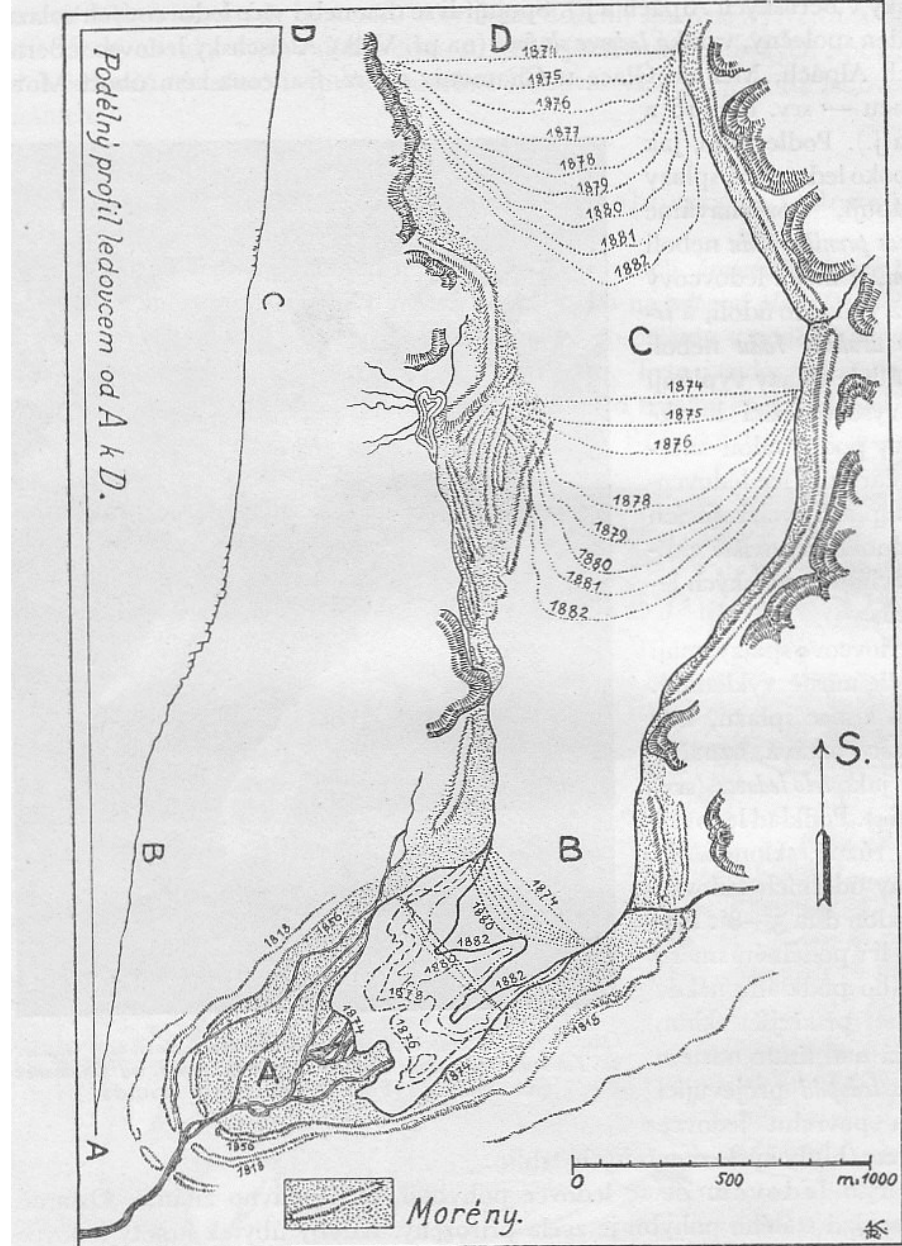
- Glaciální rýhování (striace)
- boční morény
- Terminální morény



Obr. 38. Schematické znázornění ustupujícího údolního ledovce L zanechávajícího vedle čelní (kovové) morény M ústupovou morénou M_1 . (Podle F. E. MATTHESE.)



Rychlosť pohybu Rhonského ľadovce



Obr. 18. Mapa znázorňujúci rôznou rychlosť pohybu Rhônského ľadovce ve středu a při okrajích splazu. Mapa ukazuje též ustupování čela ledovce v letech 1874 až 1882. (Podle ALB. HEIMA.)

Ledovcový splaz, Franz-Josef Strasse,
oblast Grossglockner, Vysoké Taury, Rakousko



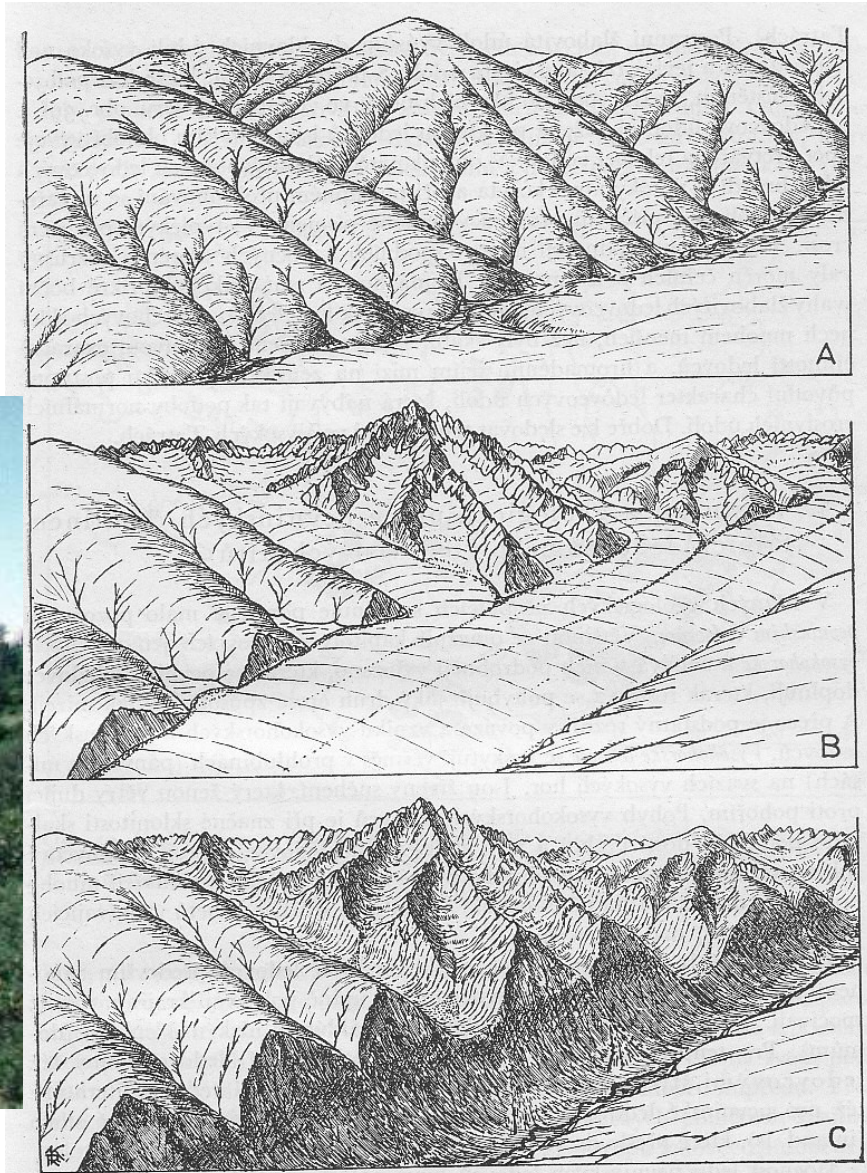
Boční morény ledovce Khumbu, N.P. Sagarmatha, Nepál



Boční a terminální moréna, horský ledovec



Údolí tvaru U visutá údolí

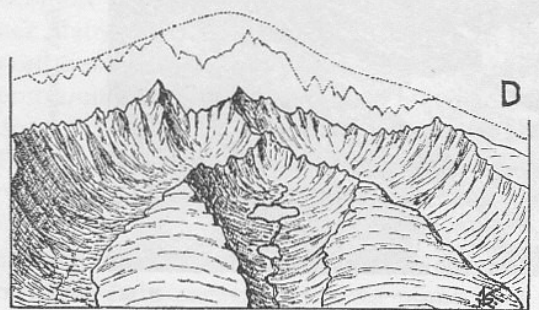
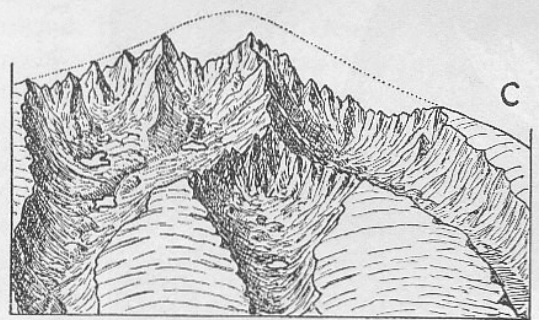
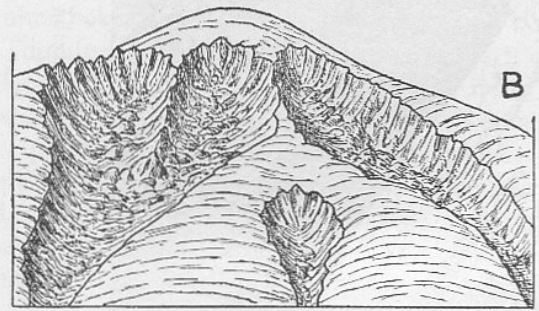
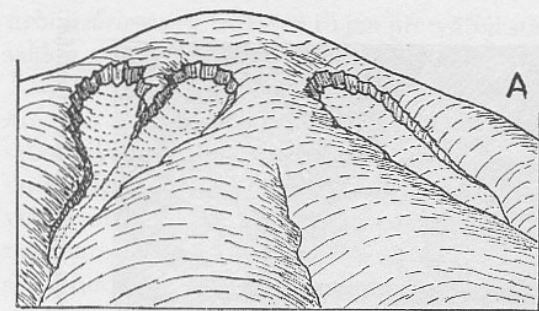


Obr. 39. Přeměna reliéfu pohoří účinkem ledovcové eroze. A. Pohoří před zaledněním, rozrýté normální vodní erozí. B. Totéž pohoří v době zalednění. C. Relief téhož pohoří po zmízení ledovců. Vidíme široká, neckovitá údolí v podobě písma U; postranní údolí jsou visutá. V horských karech jsou četná cirkusová jezírka. (Upraveno podle W. M. DAVISE.)

Údolí tvaru U, Tamar, Julské Alpy



Ledovcový kar Aréte Horn



Eroze větrem

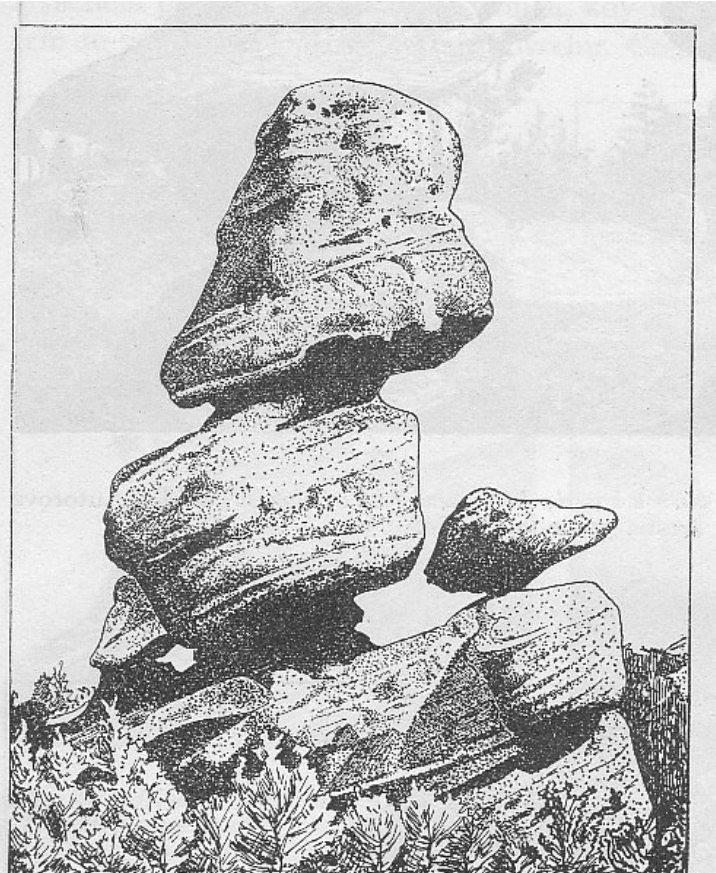
Vítr

- **větrná eroze - koraze
(obrušování), deflace (odnos)**
- **Častá selektivní eroze**
- **morfologické tvary:**
 - hrance
 - viklany
 - pouštní dlažba
- **Depoziční tvary:**
- **Čeřiny, duny, ergy**

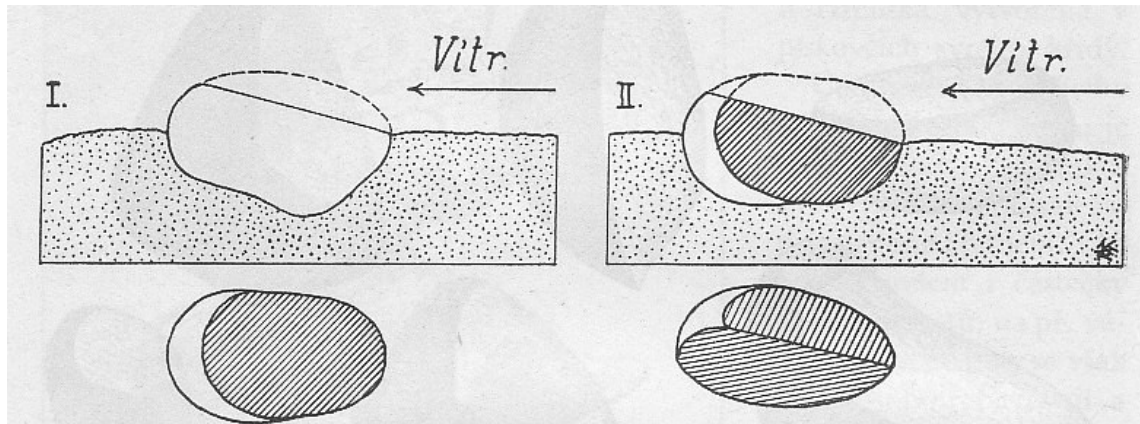




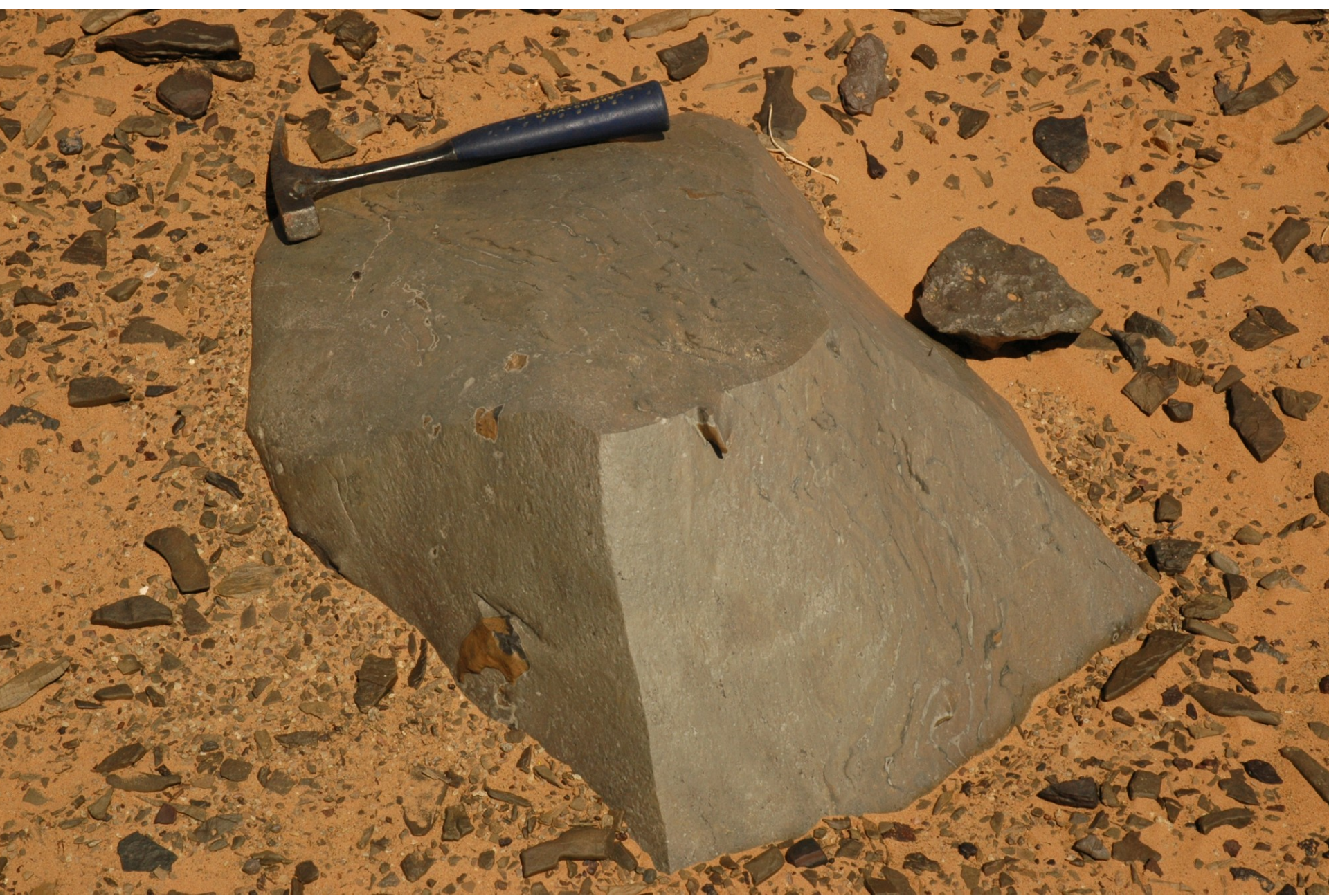
Vznik hranců a viklanů



Obr. 92. Vznik viklanů v Coloradu (USA). (Autorova kresba podle vyobrazení z díla JOH. WALTHERA.)



Obr. 94. Vznik hranců. I. Písek hnáný větrem přes valoun vyčnívající z povrchu písčových uloženin obroušuje valoun a vytváří na něm sbroušenou plochu (facetu). II. Změní-li takto sbroušený valoun svou polohu, vytváří na něm vátý písek další facetu, která se s facetou první stýká v ostré hraně. (Podle G. WAGNERA.)



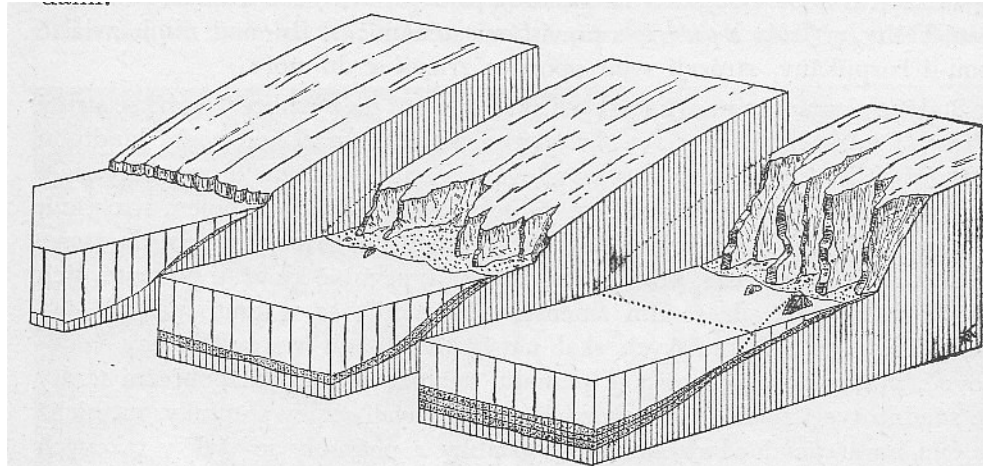
Duny, Wahiba Sands, Omán



Eroze činností moře

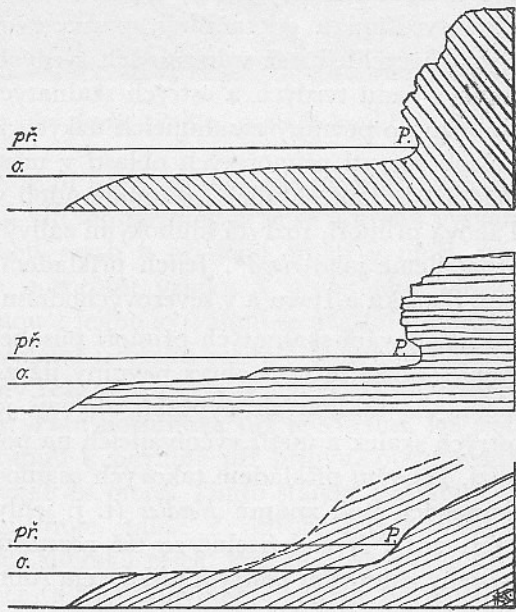
Mořská eroze

- abraze - činnost příboje
- transgrese, regrese - eroze podložních hornin
- morfologické tvary:
 - abrazní srub
 - abrazní plošina
- Depoziční tvary:
 - Kosy, kosinky
 - liman



Obr. 289. Postupující a selektivně působící mořská eroze. (Podle W. M. DAVISE.)

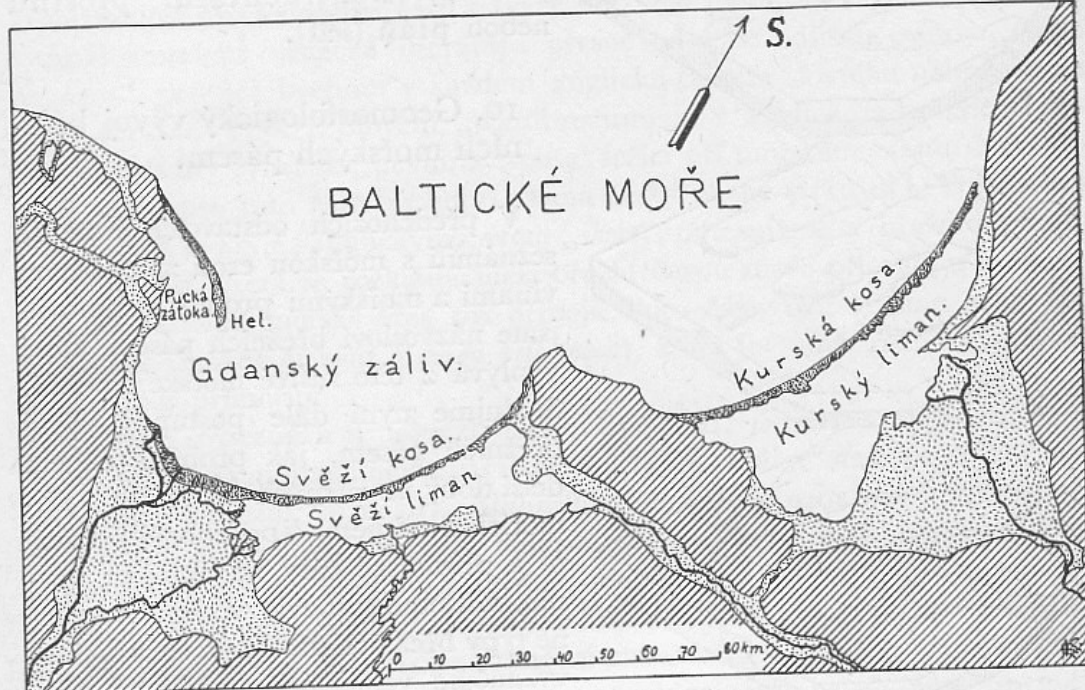
Postupuje-li vymílání skalních břehů příbojem dále, vznikají ve strmých přímořských srázech jeskyně a brány (srv. obr. 288, 293 a 317). Takové jsou známy na př. na ostrově Capri u zálivu Neapolského, na Helgolandu a j. Proslulá je Fingalova jeskyně na ostrově Staffa (ve vnitřních Hebridách při záp. pobřeží Skotska), vymletá příbojovými vlnami ve sloupovitě se odlučujícím čediči. Zřícením stropů těchto jeskyň a bran



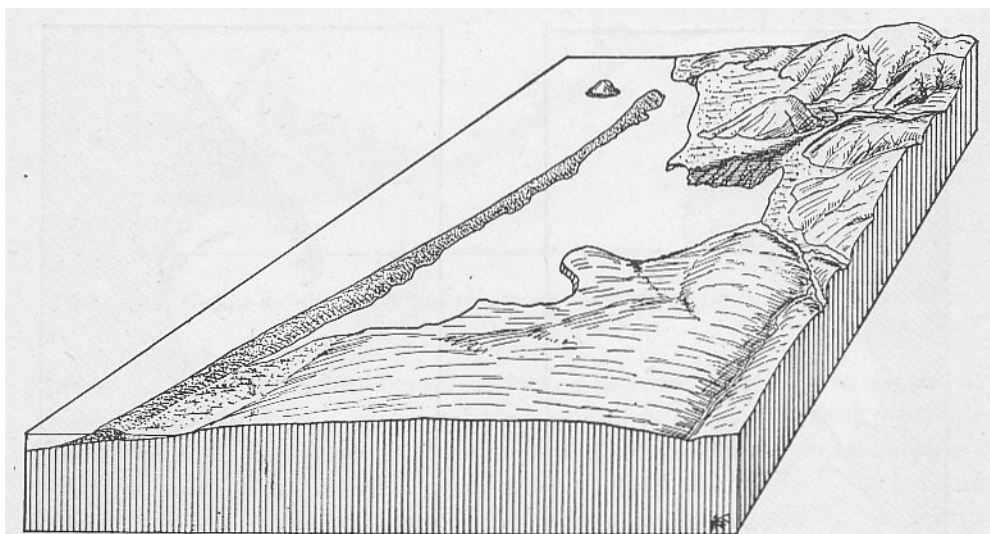
Obr. 290. Vliv způsobu uložení vrstev na postup eroze podmíněné mořským příbojem.

- a) Zapadají-li vrstvy do pevniny, je růživá činnost vln největší a v podemletém srubu vzniká nápadný výžlabek.
- b) Ve vodorovných vrstvách tvoří se při vzniku pobřežní terasy stupinka, na nichž se síla narážejících vln zeslabuje; výžlabek ve srubu se tvoří.
- c) Při sklonu vrstev do moře je účinek eroze nejslabší, přímořský srub není srázný, nýbrž se skládá souhlasně s vrstvami do moře a výžlabek se při tom nevytváří.

Kosa a liman



Obr. 297. Kosy a limany v Baltickém moři.



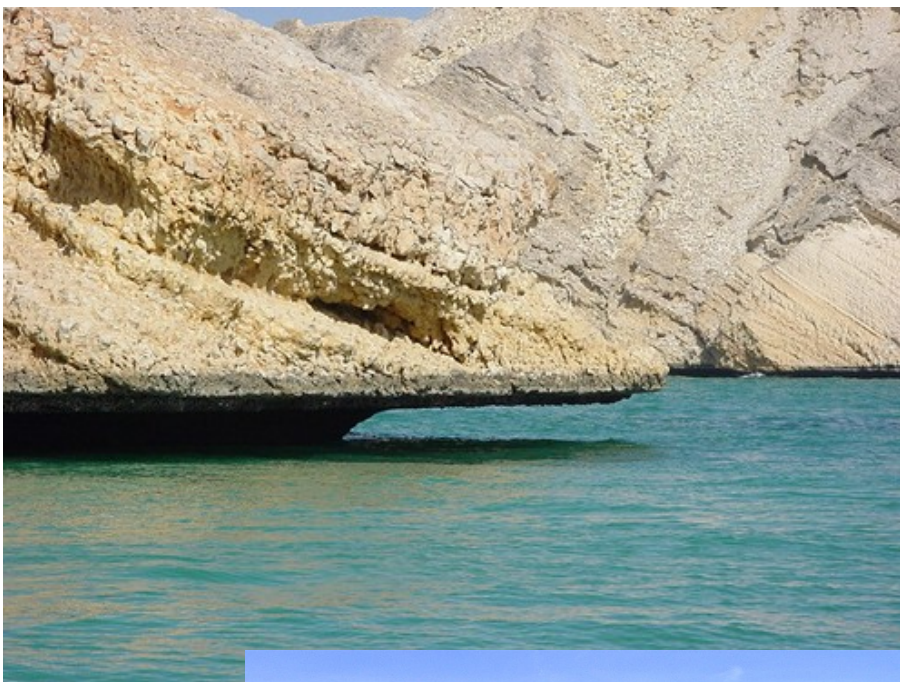
Obr. 298. Blokdiagram limanu Morro Bay v Kalifornii, uzavřeného dlouhou kosou.
(Podle Ch. R. LONGWELLA, A. KNOPFA a R. F. FLINTA.)

Abrazní srub a plošina, oblast Etretat, Normandie



- Tvary abraze
- Etretat, Normandie

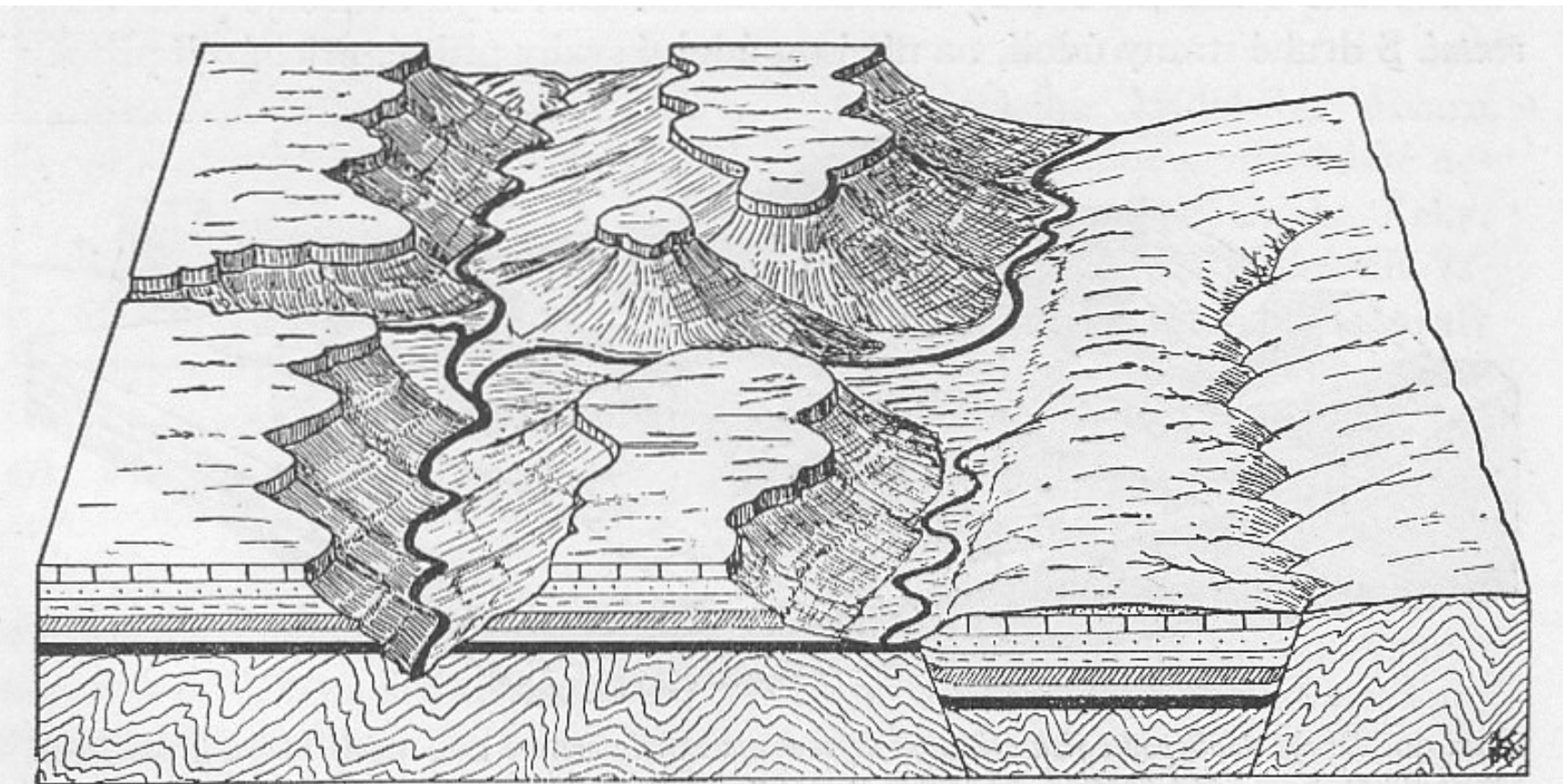




◆ Abrazní srub a plošina

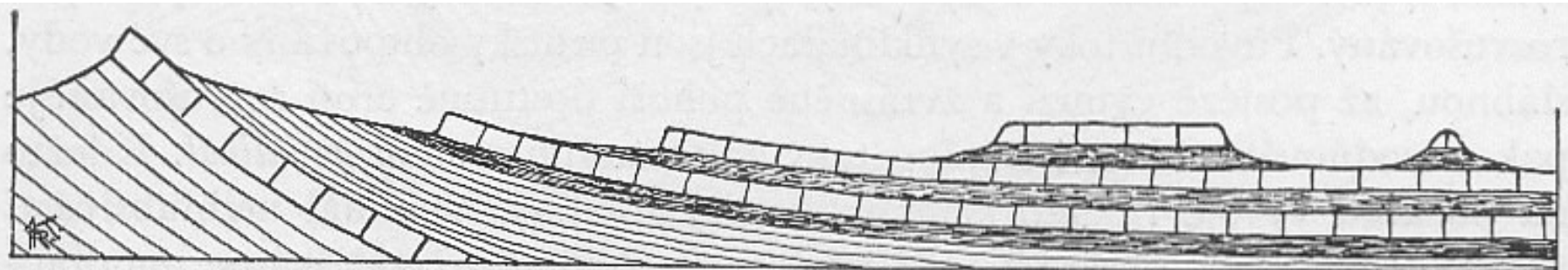


SELEKTIVNÍ EROZE



Obr. 91. Vznik tabulových hor a svědeckých kopců erozí ve vodorovně uložených vrstvách.

- Selektivní eroze ve zvrstvených horninách

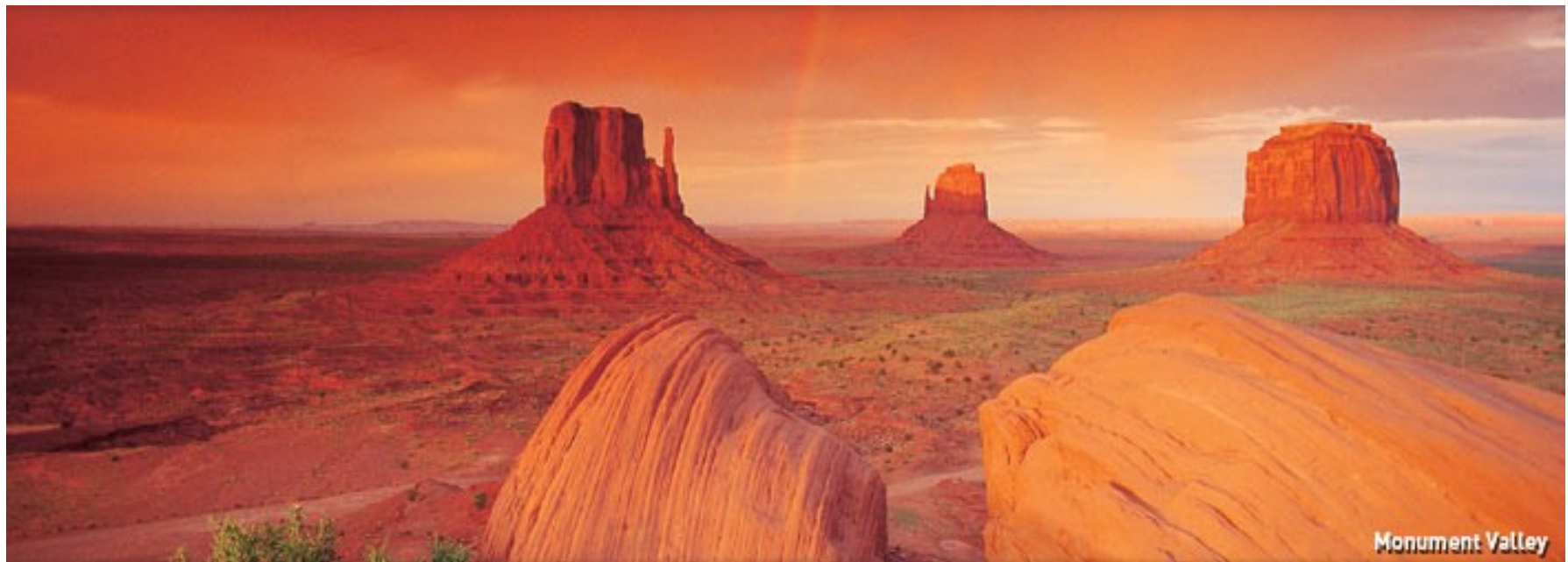


Obr. 92. Schematický řez oblastí, na jejímž povrchu vystupují odleva doprava tyto tvary reliéfu: kozí hřbet, dva nakloněné stupně (cuesty), tabulová hora a svědek. (Originál.)

- Kuesta, Hřebeč, Moravská Třebová

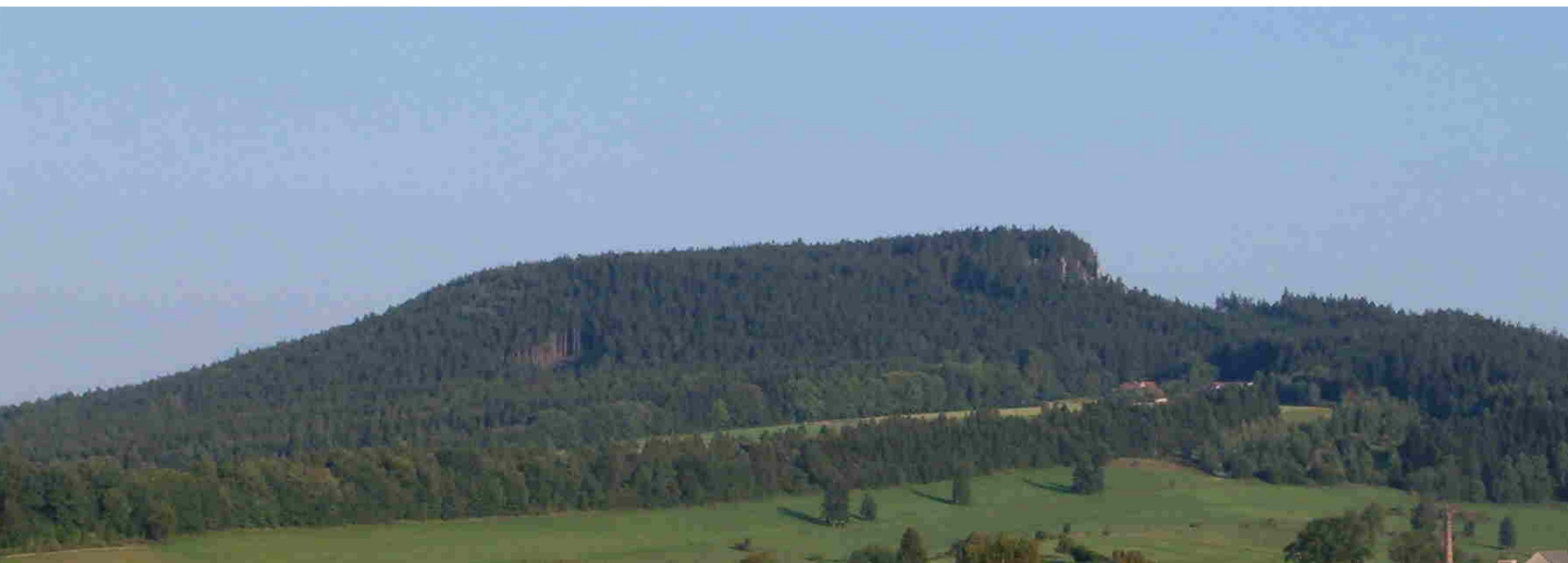


- Svědecké hory, Monument valley



Monument Valley

- Stolová hora, Ostaš, východní Čechy



Kuesty, stolové hory a svědecké hory, Canning Basin
Západní Austrálie



Sedimentární částice (zrna) v přírodě

Částice mechanicky unášené kapalinami – sedimentární částice:

Křemen, živce, kalcit, aragonit, jílové minerály: ($r = 2650 \text{ kg/m}^3$) – nejčastější

Další: *slidy, amfibol, pyroxeny, olivín*

Faktory, které ovlivňují uvedení částice do pohybu:

Tvar částic určený :

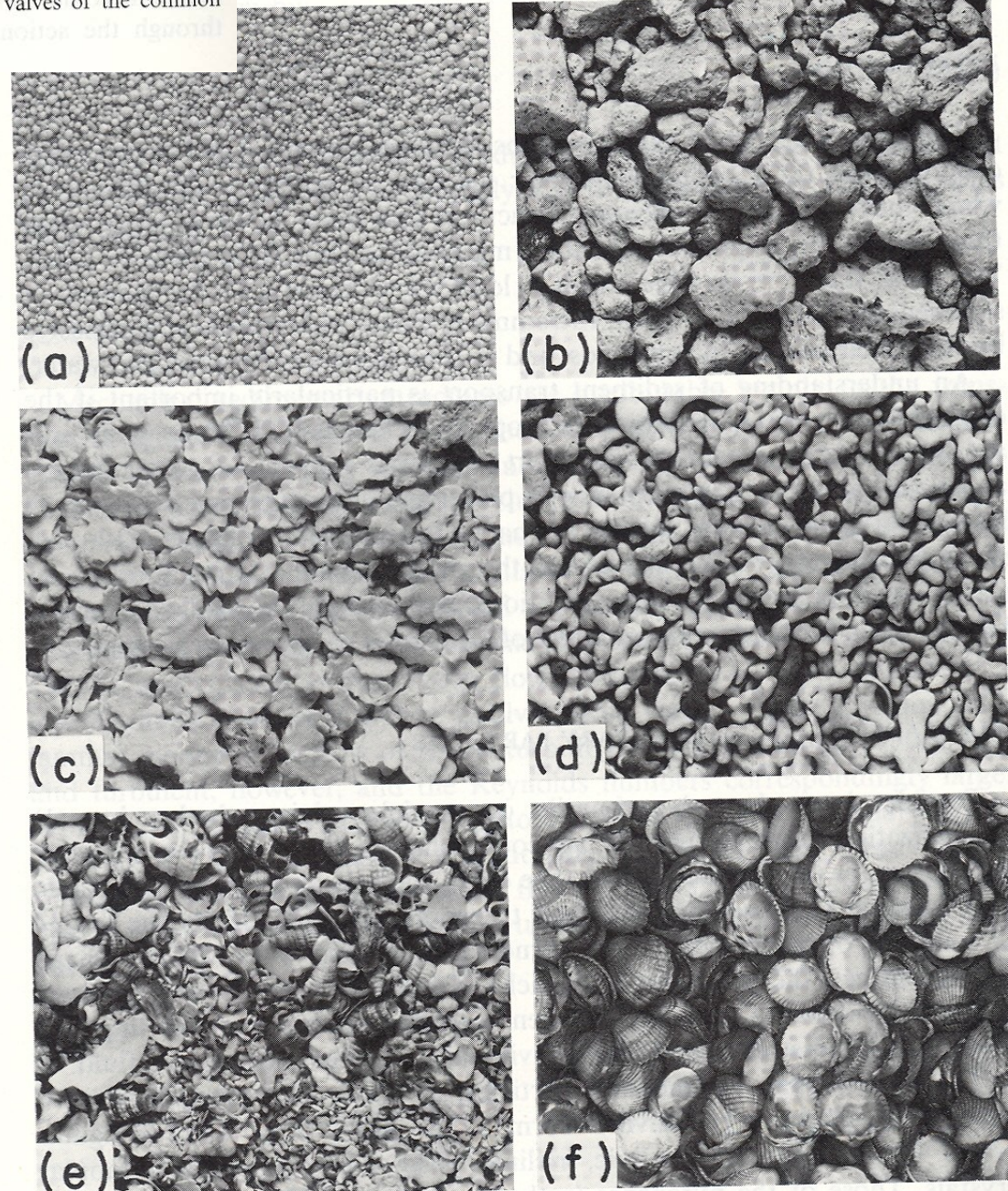
- Krystalizací z magmatu nebo vodného roztoku (tvar krystalů, tabulkový, sloupcovitý, apod.)
- Vulkanogenní činností (pyroklastika – lapilli, prach, popel, písek, velmi nepravidelný)
- Zvětráváním hornin (nepravidelný tvar – zaoblení, koule, trojosý elipsoid)
- Organickou aktivitou (schránky, ooidy, klacíky, apod. – koule, válec, destičkovitý tvar)

Velikost částic

Vytrídění částic

Fig. 2-1. Some examples of sedimentary particles from recent environments. a. Ooids from an oolite shoal ($\times 3$). b. Pumice from the coarse fraction of a pyroclastic fall ($\times 1.4$). c. Fragments of the carbonate-secreting alga *Halimeda* ($\times 1.4$). d. Fragments of the carbonate-secreting alga *Lithothamnium* ($\times 1.4$). e. A sand composed of whole to broken gastropod shells and platy fragments of broken bivalves ($\times 1.4$). f. Separated valves of the common cockle, *Cerastoderma edule* ($\times 0.4$).

- a) Ooidy (CaCO_3)
- b) B) částice pemzy (pyroklastika)
- c) Fragmenty vápnité řasy rodu *Halimeda*
- d) Fragmenty vápnité řasy rodu *Lithothamnium*
- e) Drcené schránky plžů a mlžů
- f) Vytříděné schránky mlže rodu *Cerastoderma*



Transportní média

Kapaliny v přírodě

Faktory, které ovlivňující uvedení částice do pohybu:

Hustota: ovlivňuje množství a velikost transportovaných částic a rychlosť, jakou se částice usazují

Dynamická viskozita: schopnosť látky téci / rezistence látky na změnu jejího tvaru

Kapaliny v přírodě:

Vzduch ($\rho = 12,2 \text{ kg/m}^3$), dynamická viskozita (η) vzrůstá se vzrůstající teplotou

Voda ($\rho = 1000 \text{ kg/m}^3$, $r = 1025 \text{ kg/m}^3$), dynamická viskozita (η) klesá s vzrůstající teplotou

Magma ($\rho = 2700 = 3100 \text{ kg/m}^3$), viskozita (η) závislá na složení, obsahu vody

Kapaliny v přírodě

Kapaliny

Faktory, které ovlivňující uvedení částice do pohybu: hustota a dynamická viskozita

Vzduch ($\rho = 12,2 \text{ kg/m}^3$), dynamická viskozita (η) vzrůstá se vzrůstající teplotou

Voda ($\rho = 1000 \text{ kg/m}^3$, $r = 1025 \text{ kg/m}^3$), dynamická viskozita (η) klesá s vzrůstající teplotou

Magma ($\rho = 2700 = 3100 \text{ kg/m}^3$), viskozita (η) závislá na složení, obsahu vody

Vlastnosti kapalin

- **HUSTOTA**

$$\rho = m / v$$

= mass / unit volume of fluid (g / cm³)

air = 1.3 kg / m³

water = 1000 kg / m³ (1 g / cm³)

- Fluid Density affects amount and size of particles transported and the rate at which they settle out.

- **VISKOZITA**

$$\mu = \tau / du/dy$$

ratio of shear stress (τ = stress per unit area) to the rate of deformation caused by the shear stress (du/dy) (= Dynamic Viscosity)

measure of substance's ability to flow or its resistance to changing its shape.

Fyzikální principy transportu: laminární proudění mezi 2 paralelními deskami

Smykové napětí (smyková síla na jednotku plochy) je lineárně úměrné rychlostnímu gradientu dU/dy - smykové rychlosti

$$\tau = \eta \frac{dU}{dy}$$

kde η = dynamická viskozita
newtonovská kapalina
(běžná směs voda-sediment,
např. v řekách),

$$\tau = \tau_{cr} + \eta \frac{dU}{dy}$$

kde τ_{cr} = mezní (kritické)
smykové napětí
binghamovská plastická látka
(bahnotoky, lahary)

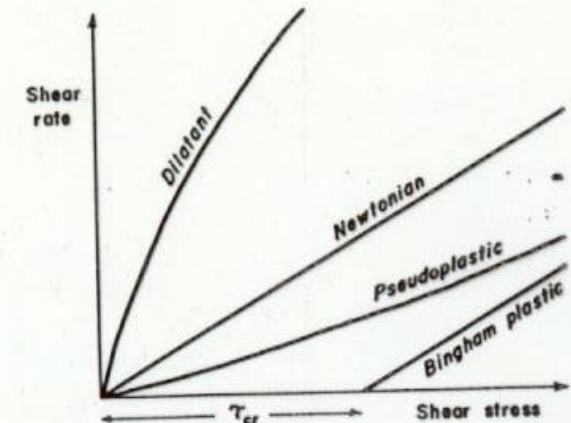
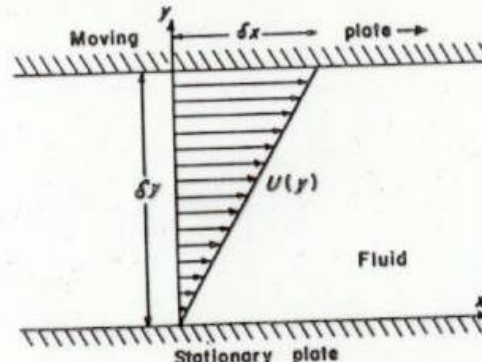


Fig. 1-1. Definition diagram for the deformation of a thin layer of fluid between parallel plates, one of which moves in its own plane.

Fig. 1-2. Schematic relationships between shear rate (strain) and shear stress (stress) in various kinds of fluid.

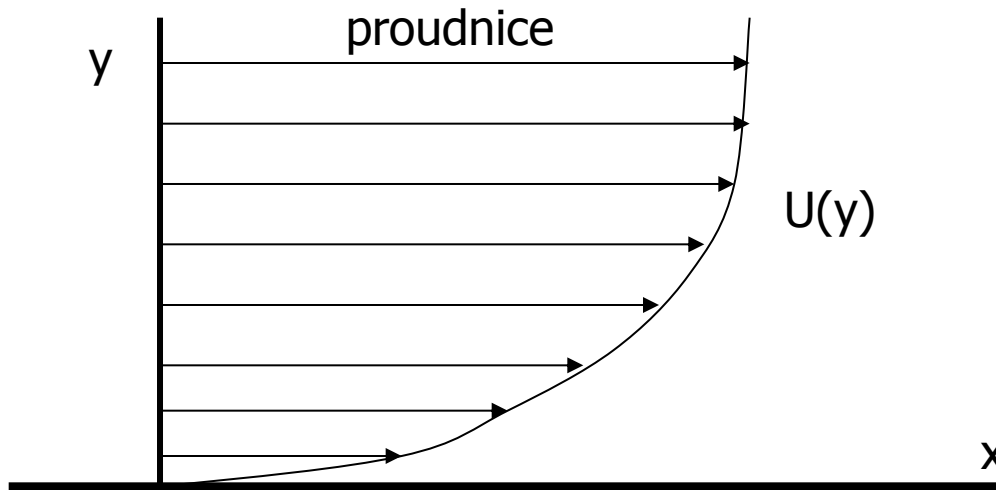
Fyzikální principy transportu hraniční vrstva (boundary layer)

HRANIČNÍ VSTVY

Hraniční vrstva: zóna zpomalení kapaliny v blízkosti kontaktu s pevnou látkou, se kterou je kapalina v relativním pohybu

Hraniční vrstvy v newtonovských kapalinách

- rotující Země
- odstředivá síla: $v = mr\rho^2$, m = hmotnost částice, r = poloměr, ρ = úhlová rychlosť
- koriolisova síla: $F = 2mrU\sin Q$, U = rychlosť částice, Q = zeměpisná šířka (0 na rovníku, max. na pólu)
- přímočarý pohyb na rovné desce (laboratorní modelování)



Reynoldsovo číslo: laminární vs. turbulentní proudění

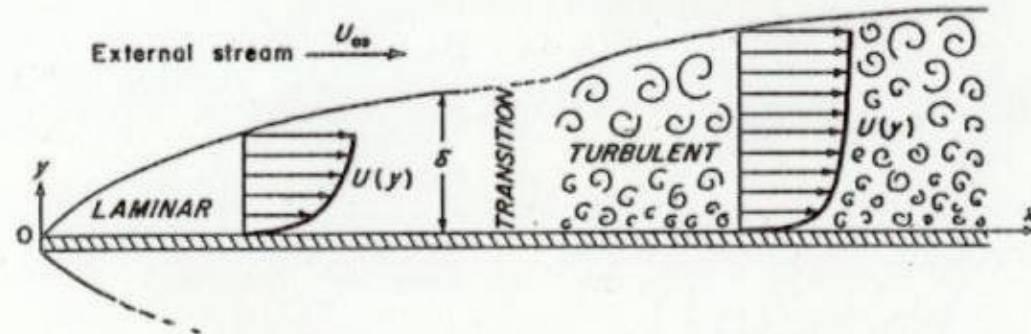


Fig. 1-6. Schematic representation of the boundary layers developed on a flat plate in parallel flow.

- přímočarý pohyb na rovné desce (laboratorní modelování)

smykové napětí hraniční vrstvy:

$$\tau_0 = 0,332 \rho U \sqrt{\frac{v}{Ux}}$$

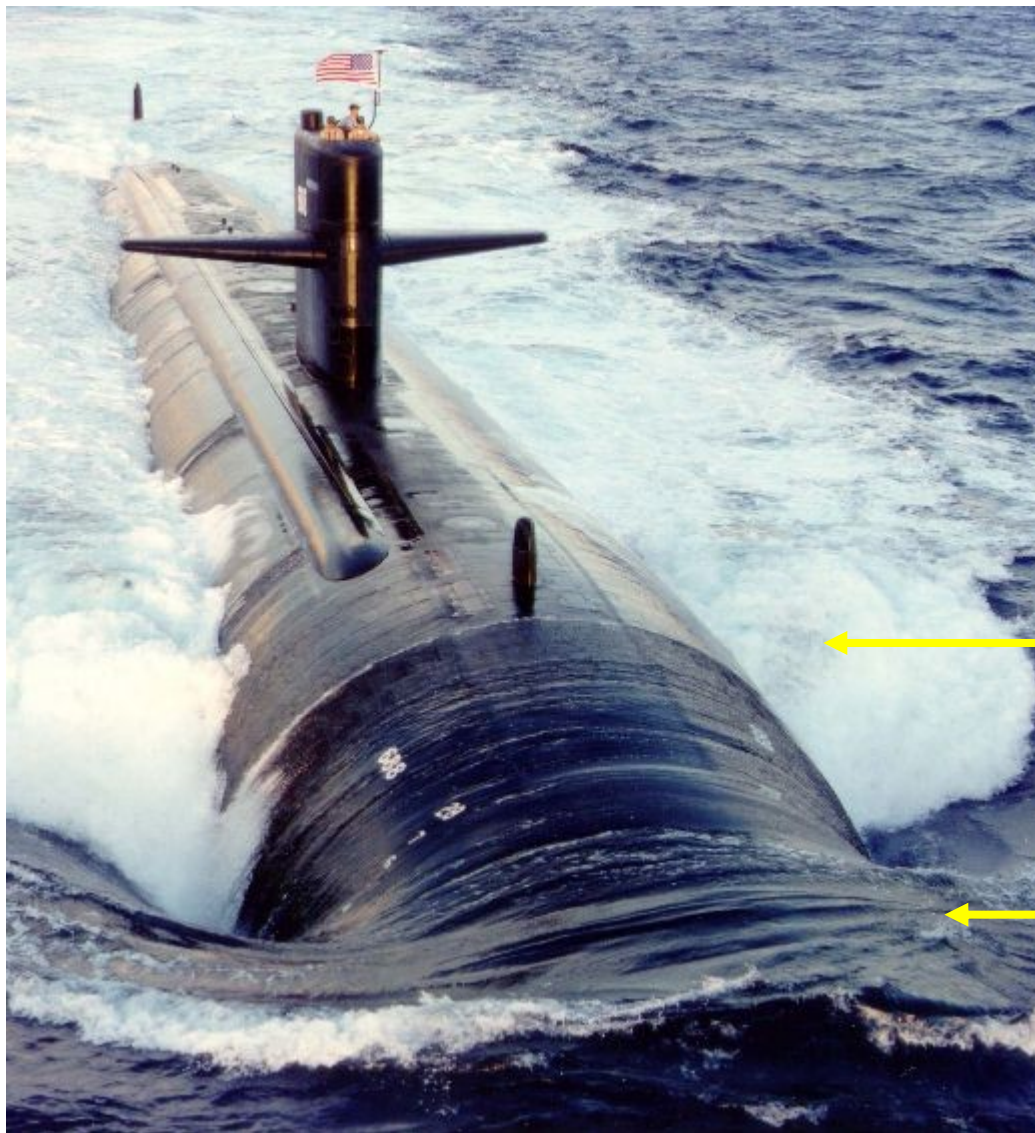
kde U = rychlosť, x = vzdáenosť,
 ρ = hustota, v = kinematická viskozita

$$\rho U x$$

$$Re = \frac{\rho U x}{\nu}$$

Ux / ν Reynoldsovo číslo (Re): **poměr inertních sil k viskózním silám v hraniční vrstvě**

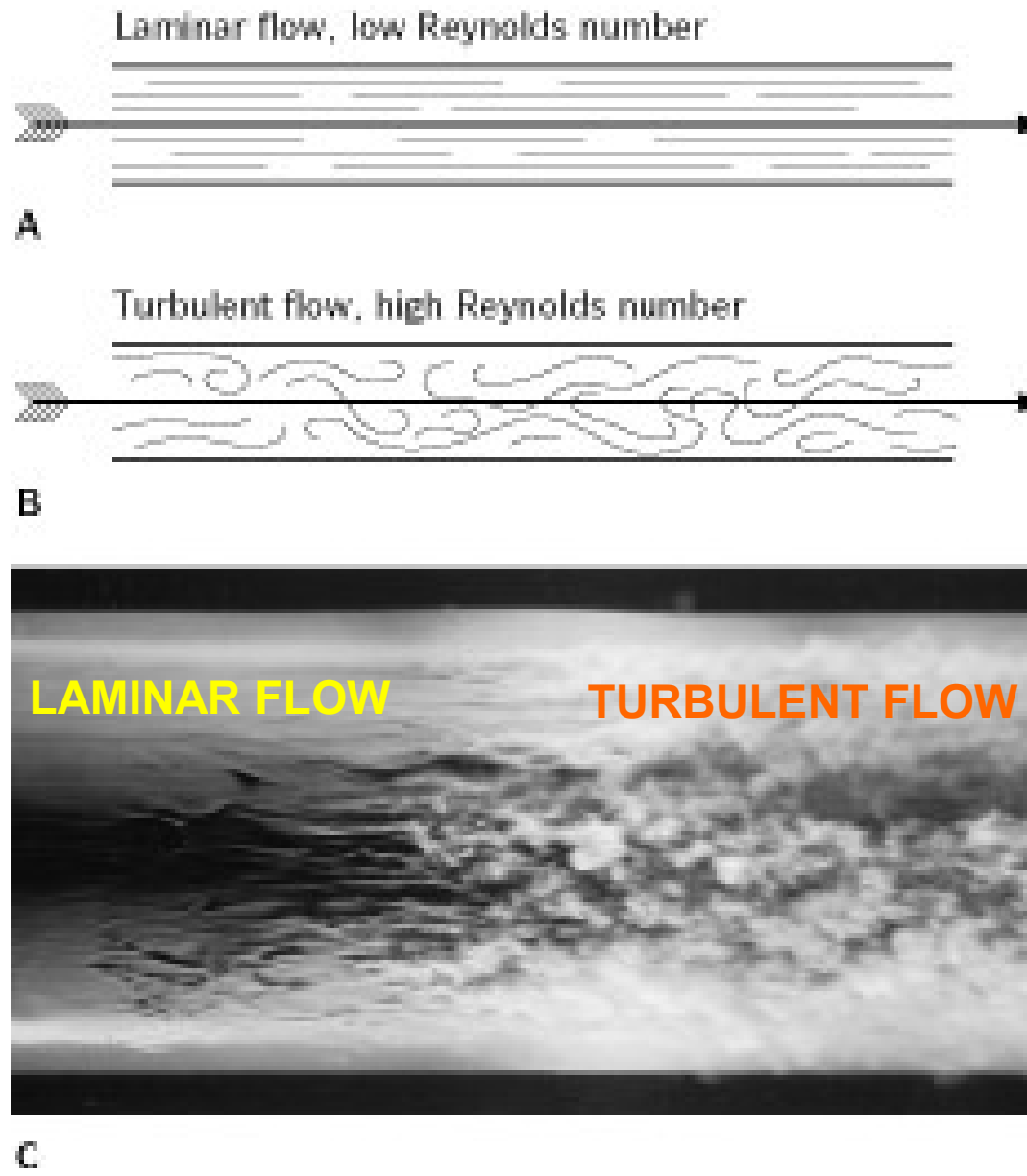
Přechod od **laminárního k turbulentnímu proudění**, $Re = \text{cca } 10^5$,
v závislosti na vzdálenosti, viskozitě, rychlosti proudění



Turbulentní
proudění

Laminární
proudění

Laminární vs. turbulentní tok



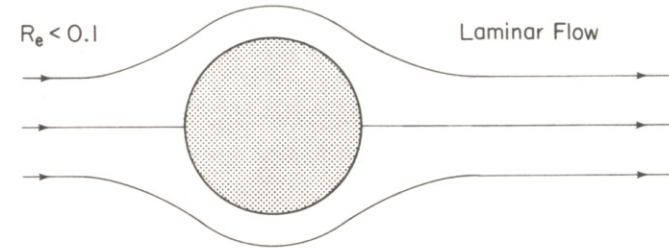
P&S, Fig. 3.1

REYNOLDSOVO Č.

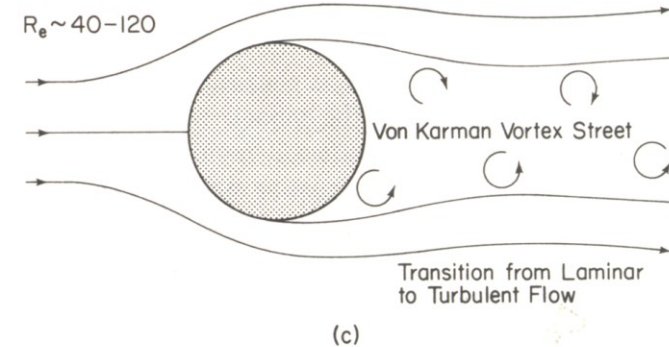
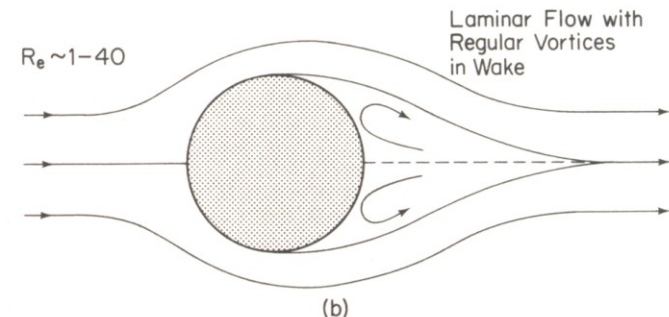
Laminární tok, $Re < 0.1$

Laminární tok s drobnými víry, $Re \sim 1-40$

Přechod laminární / turbulentní tok, $Re \sim 40 - 120$



(a)
Particle moving through Fluid:



(c)

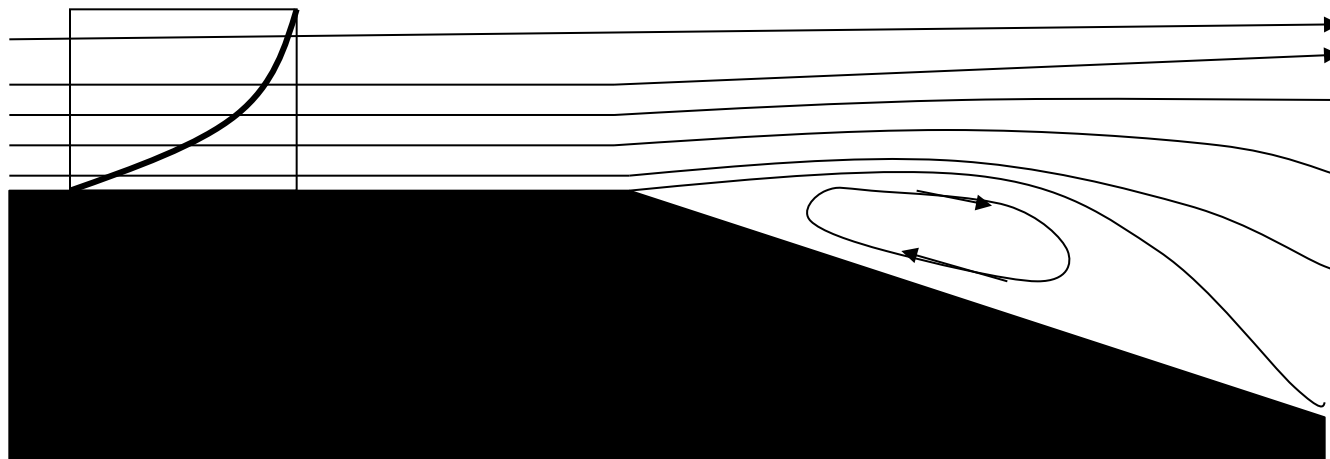
Separace toku

V hraniční vrstvě částice kapaliny, které jsou nejblíže podloží (dnu) nebo přímo na dně, mají nejnižší kinetickou energii

Tyto částice budou silně ovlivněny při změně rychlosti toku (**zpomalení, zrychlení**) nebo v místě změny sklonu dna

Zpomalení / ohyb dna směrem dolů -> tyto částice se zastaví nebo se dokonce začnou pohybovat zpět, nahromaděná kapalina nutí hlavní tok téci výše ode dna a vyvine se zpětný proud – separace proudu

Proudnice se oddělí ode dna



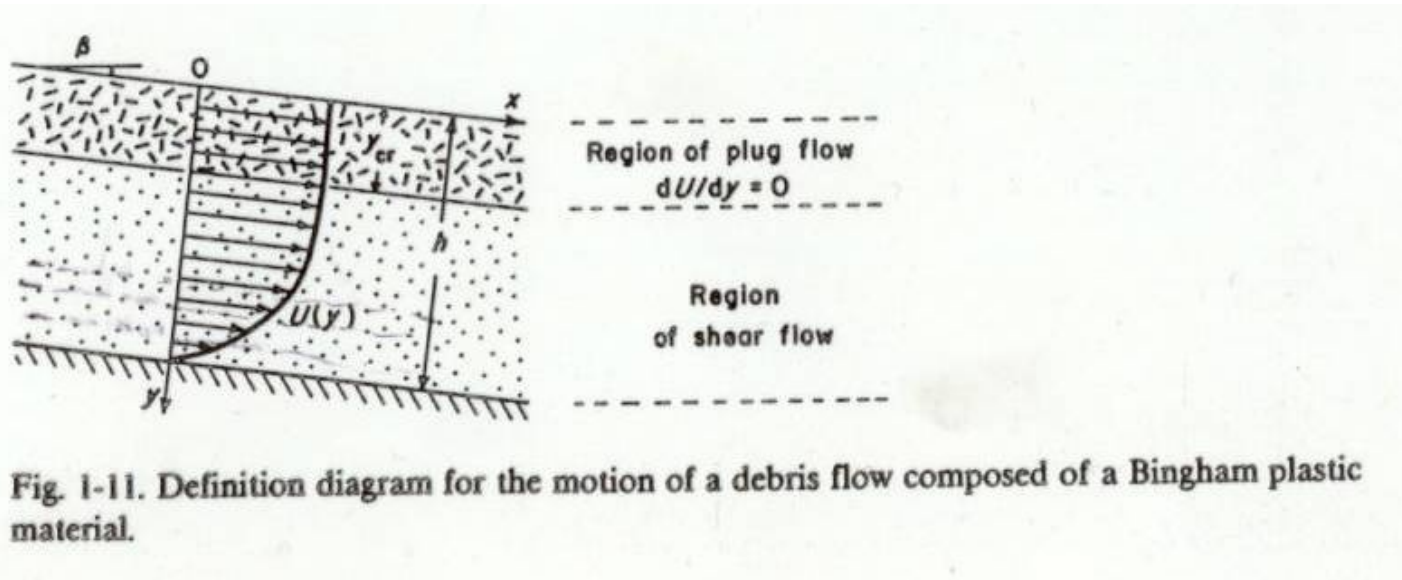
Hraniční vrstva v binghamovských kapalinách

Debris flow (úlomkotok):

Smykové napětí na dolní hraniční vrstvě

oblast smykového toku (smykové napětí > 0)

oblast rigidního toku (smykové napětí = 0)



Uvedení částic do pohybu

Mechanismy uvádění částic do vznosu

- strhávání částic z nesoudržného podloží (nezpevněný písek)
 - smykové napětí na prahu pohybu (τ_{cr}) stoupá se stoupajícím hustotním rozdílem částica a vody, průměrem (velikostí) částice D_1 , poměrem průměrů D_0/D_1 a volnou vzdáleností (s)
 - stálé (laminární proudění), nestálé turbulentní proudění

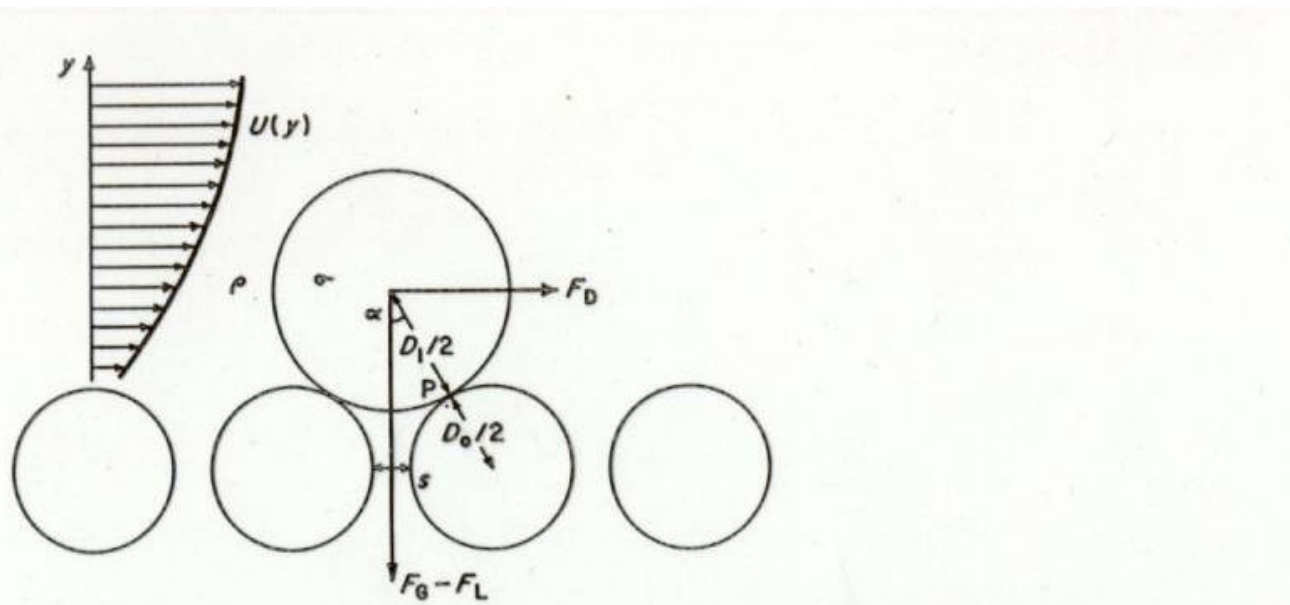


Fig. 2-3. Definition diagram for the entrainment of cohesionless grains from a cohesionless bed acted on by a steady fluid flow.

$$F_D \cos \alpha = (F_G - F_L) \sin \alpha$$

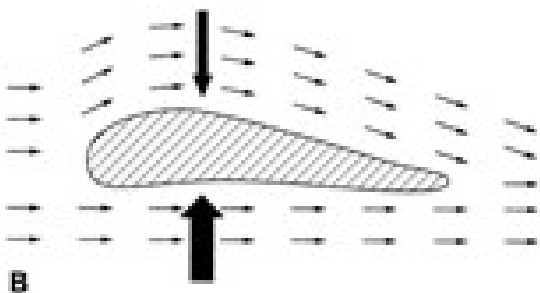
F_D = síla ve smyku

F_G = tíha částice

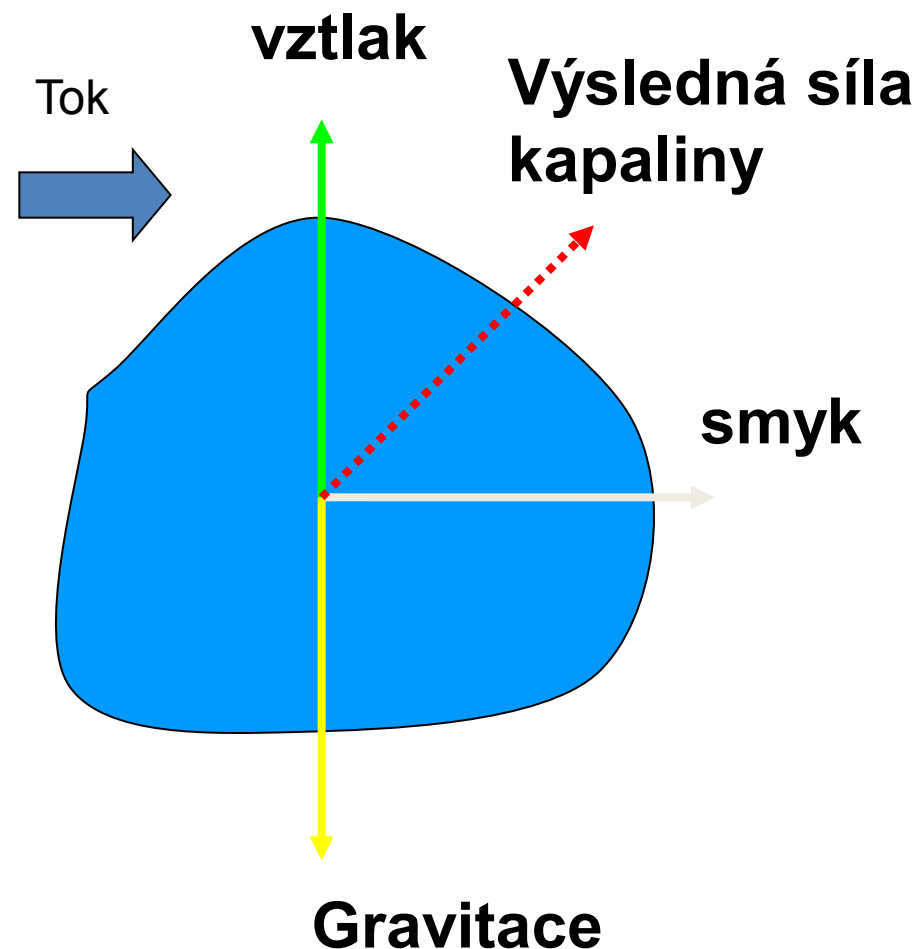
F_L = vztlak částice
ponořené v kapalině

vztlaková a smyková síla

- **Smyk** acts parallel to bed = shear stress on grain
- **Vztlak** Bernouilli effect of flow over projecting grains, causes pressure decrease above grain (as for plane wing)



- Particle motion when:
Lift + Drag > Gravity
- When lifted into fluid, flow becomes symmetrical around grain, and lift component is eliminated



Uvedení částice do pohybu

Hjulströmová křivka

Rychlosť
proudění
vody vs.
velikost
zrna

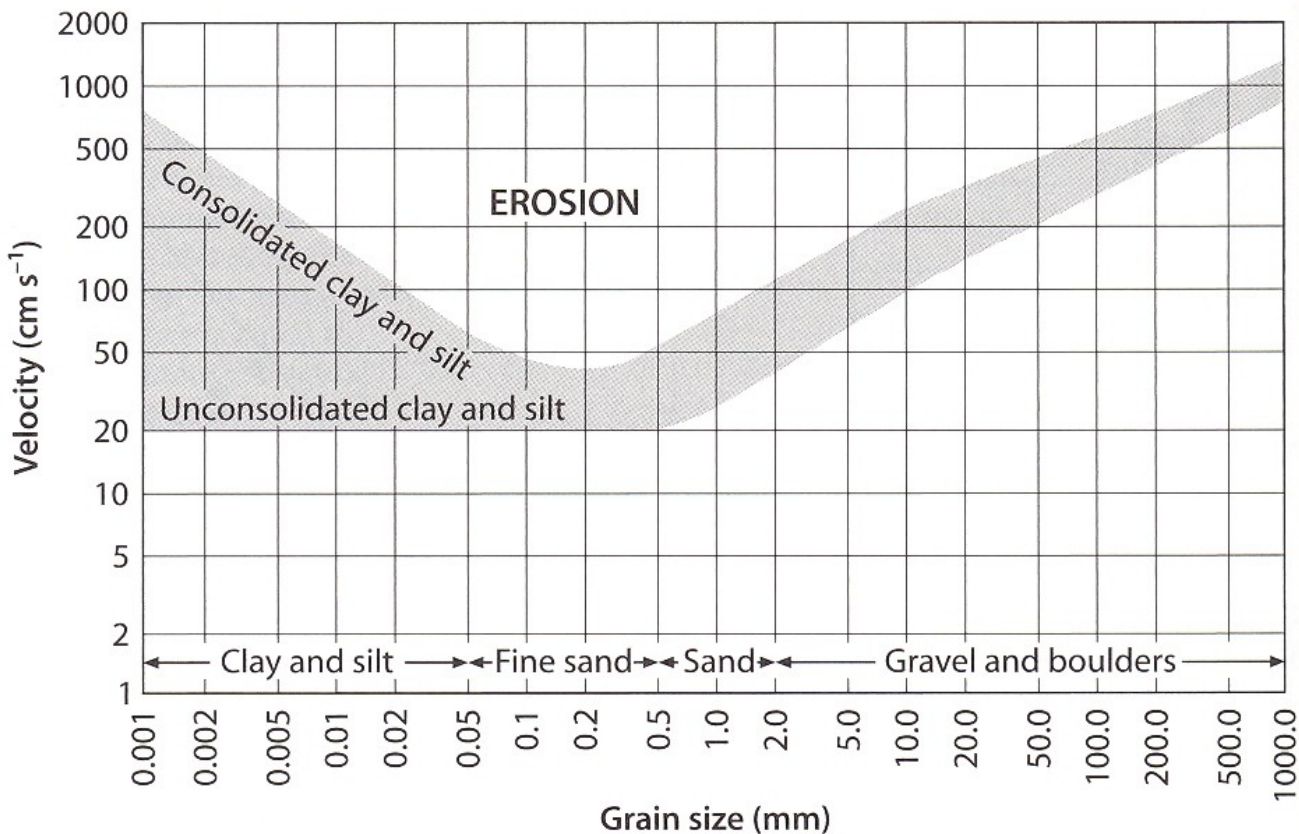


Fig. 4.8. Hjulström's curve (modified after Sundborg 1956). Hjulström determined the critical velocity necessary for moving quartz grains at 1 m water depth in open channels; the *shaded area* indicates the scatter of experimental data. This graph shows (1) that clay and silt particles are more difficult to erode than predicted, and (2) the average current velocity to move a grain is several times the calculated critical shear velocity

Uvedení částic do pohybu

Mechanismy uvádění částic do vznosu

- strhávání částic ze soudržného (kohezního) podloží (jíl, pevné horniny)
KORAZE

Laminární proudění

VS.

Turbulentní proudění

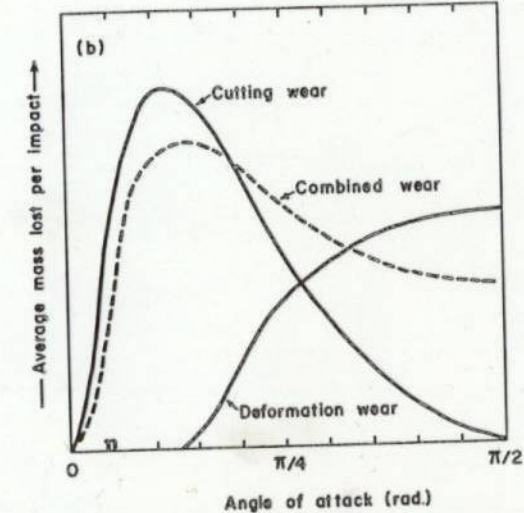
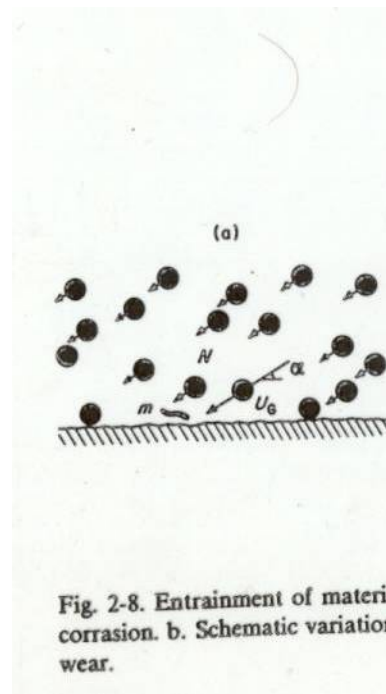
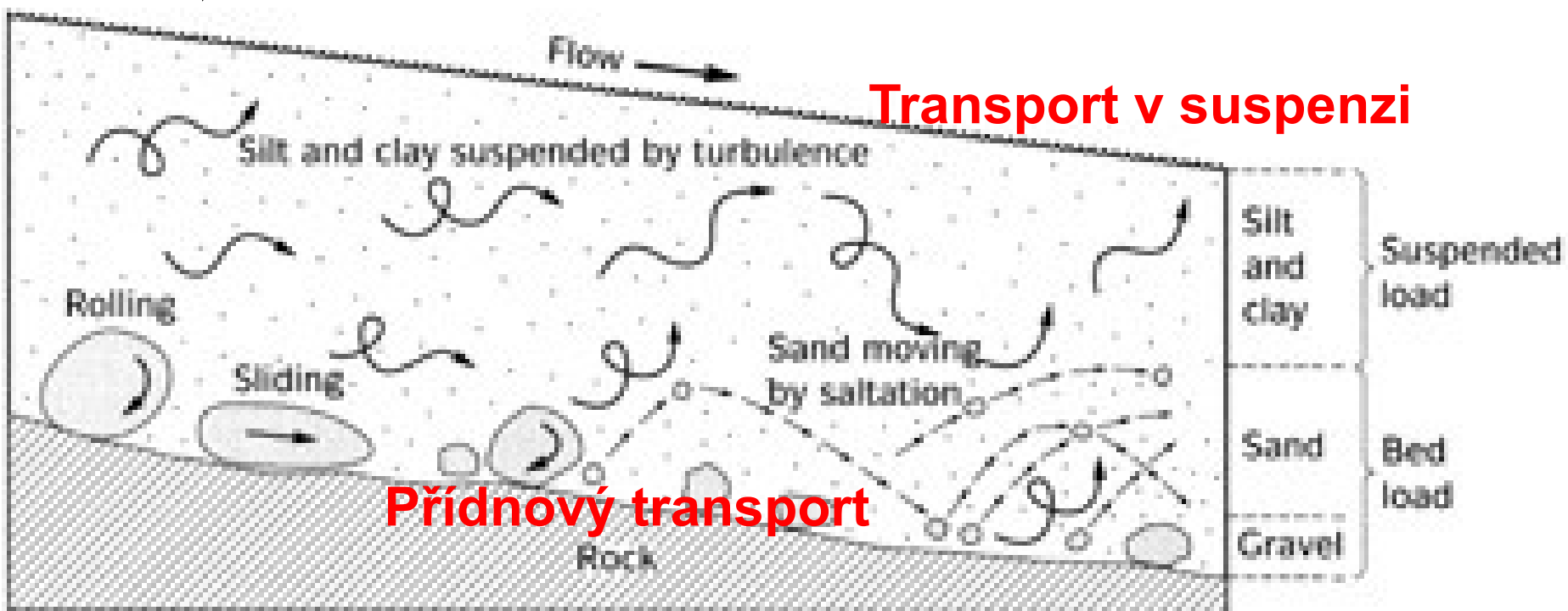


Fig. 2-8. Entrainment of material from cohesive beds (corrasion). a. Definition diagram for corrasion. b. Schematic variation of corrasion rate with angle of particle attack and mode of wear.

Uvedení částice do vznosu



Voda v otevřených kanálech: Froudovo číslo

V případě zanedbatelné hloubky kanálu vzhledem k šířce

$$hw$$

$$\tau_0 = \rho g \left(\frac{-----}{2h + w} \right) \sin\beta$$

kde ρ = hustota, β = sklon svahu
 h = hloubka, w = šířka kanálu

substitucemi -> při výpočtu smykového napětí a rychlosti:

$$U = \left(\frac{8g}{f} \right)^{\frac{1}{2}} r S$$

kde f = Darcy-Weisbachův koeficient tření, S = sklon, r = hydraulický poloměr

$$Fr = \frac{U}{\sqrt{gh}}$$

Froudovo číslo (Fr), poměr inertních sil ke gravitačním silám během toku

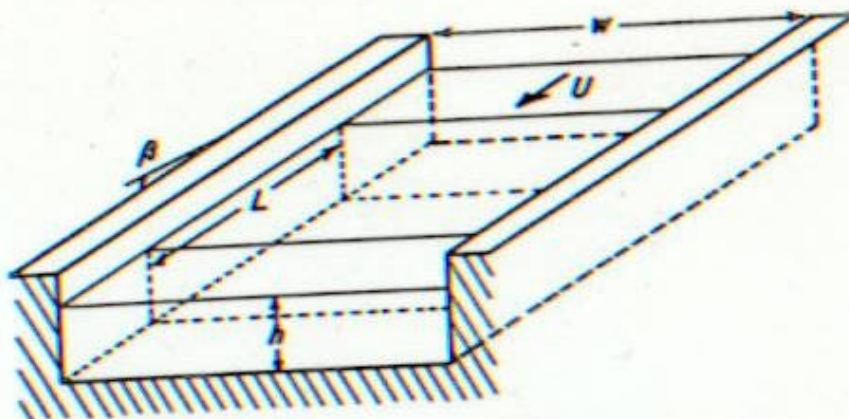


Fig. 1-12. Definition diagram for fluid flow in an open channel.

Froudovo číslo

$Fr = 1$; **kritický tok**

$Fr < 1$; **subkritický tok**, povrchové vlny mohou cestovat, tlumit se nebo mizet směrem po proudu i proti proudu

$Fr > 1$; **superkritický tok**, příkré, stabilní povrchové vlny o trvalé amplitudě, rychlosť proudění je vyšší než rychlosť vln

Režim toku s volným povrchem:

subkritický laminární - řeky

subkritický turbulentní – většina řek

superkritický laminární – toky tenkého filmu kapaliny na povrchu pevné látky

superkritický turbulentní

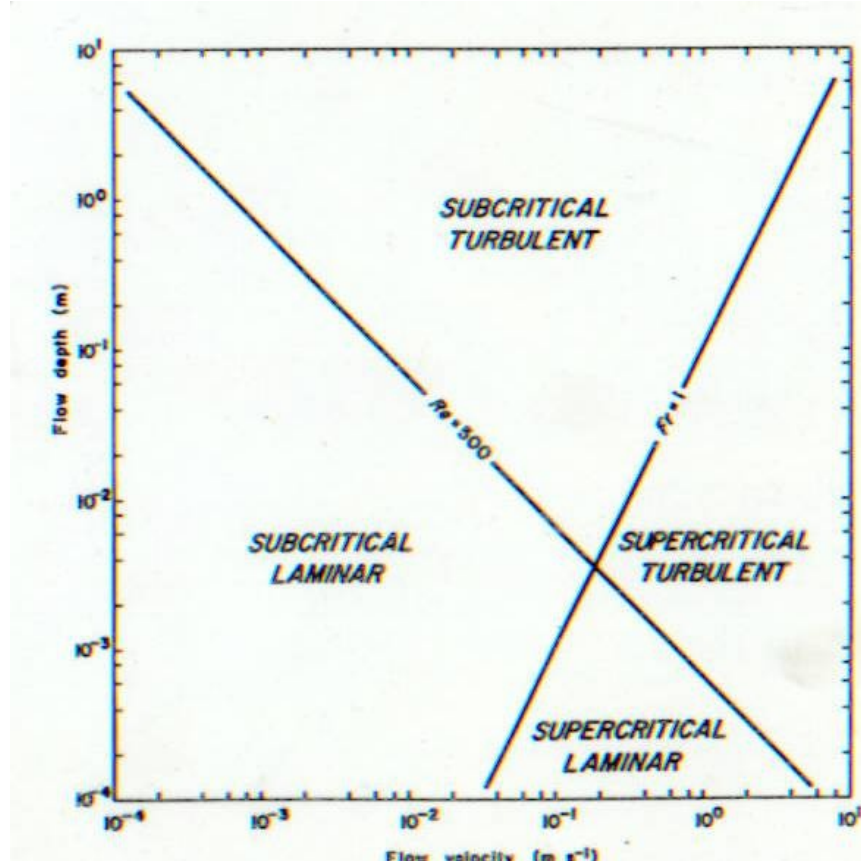


Fig. 1-13. Flow regimes in an open channel of very large width compared to depth.

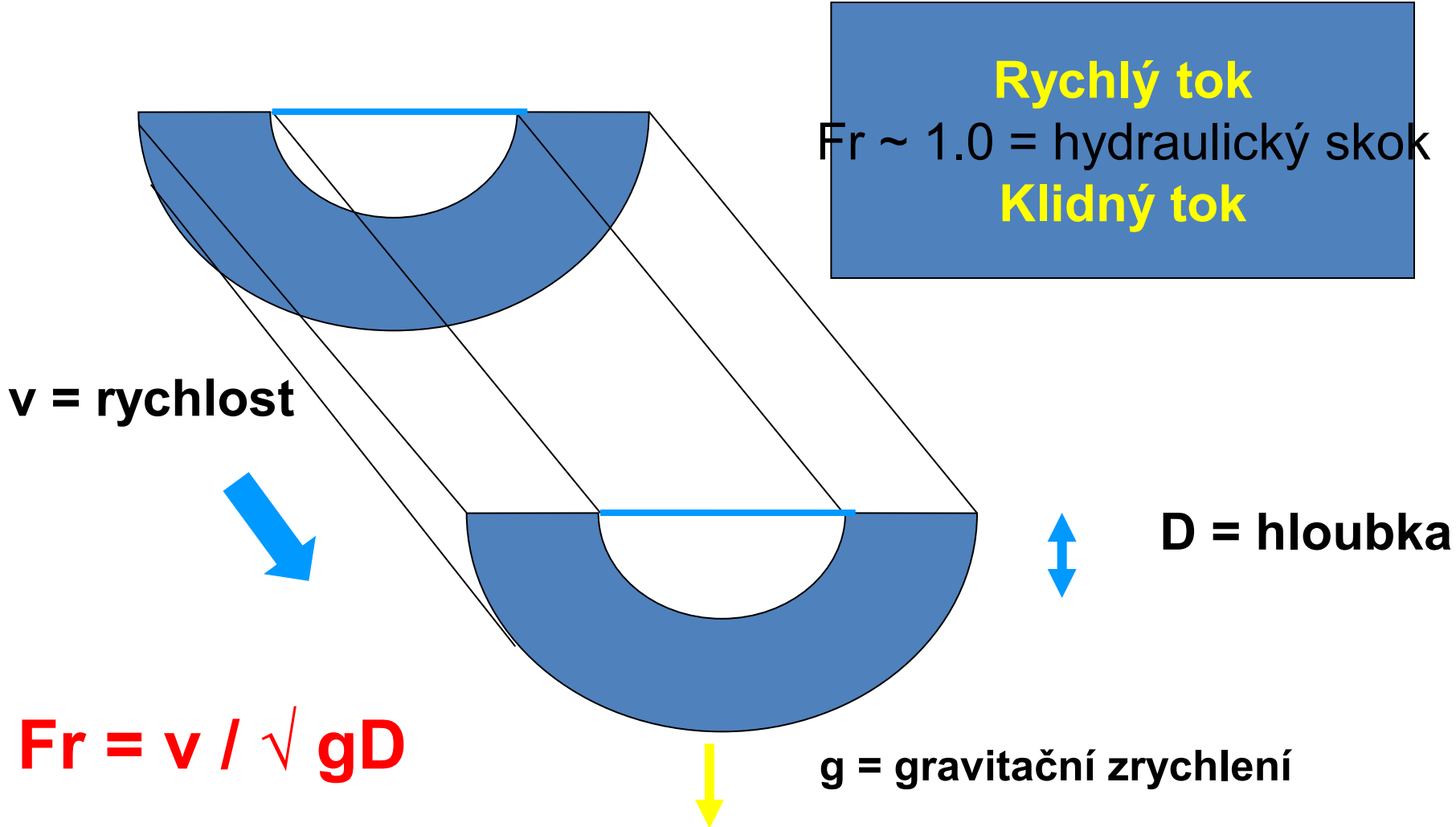
Superkritický tok

Laminární tok

Turbulentní tok



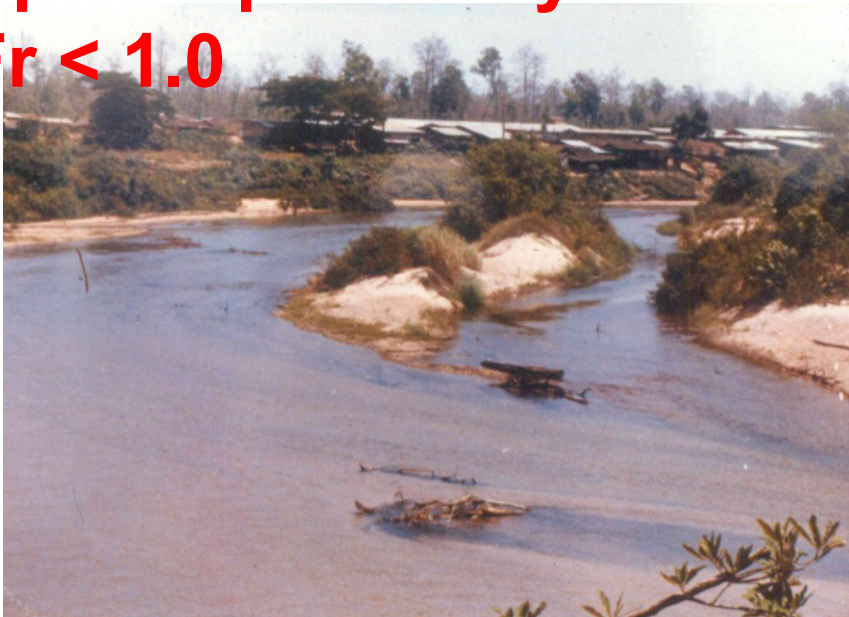
Froudovo číslo rychlý vs. klidný tok



Klidný vs. rychlý tok

Spodní proudový režim

$Fr < 1.0$



Svrchní proudový režim

$Fr > 1.0$



Sedimentární textury: síla proudění (smykové napětí . u) vs. velikost zrna

- DUNY:
 - Čeriny
 - Megačeriny
- LAMINÁRNÍ ZVRSTVENÍ
- ANTIDUNY

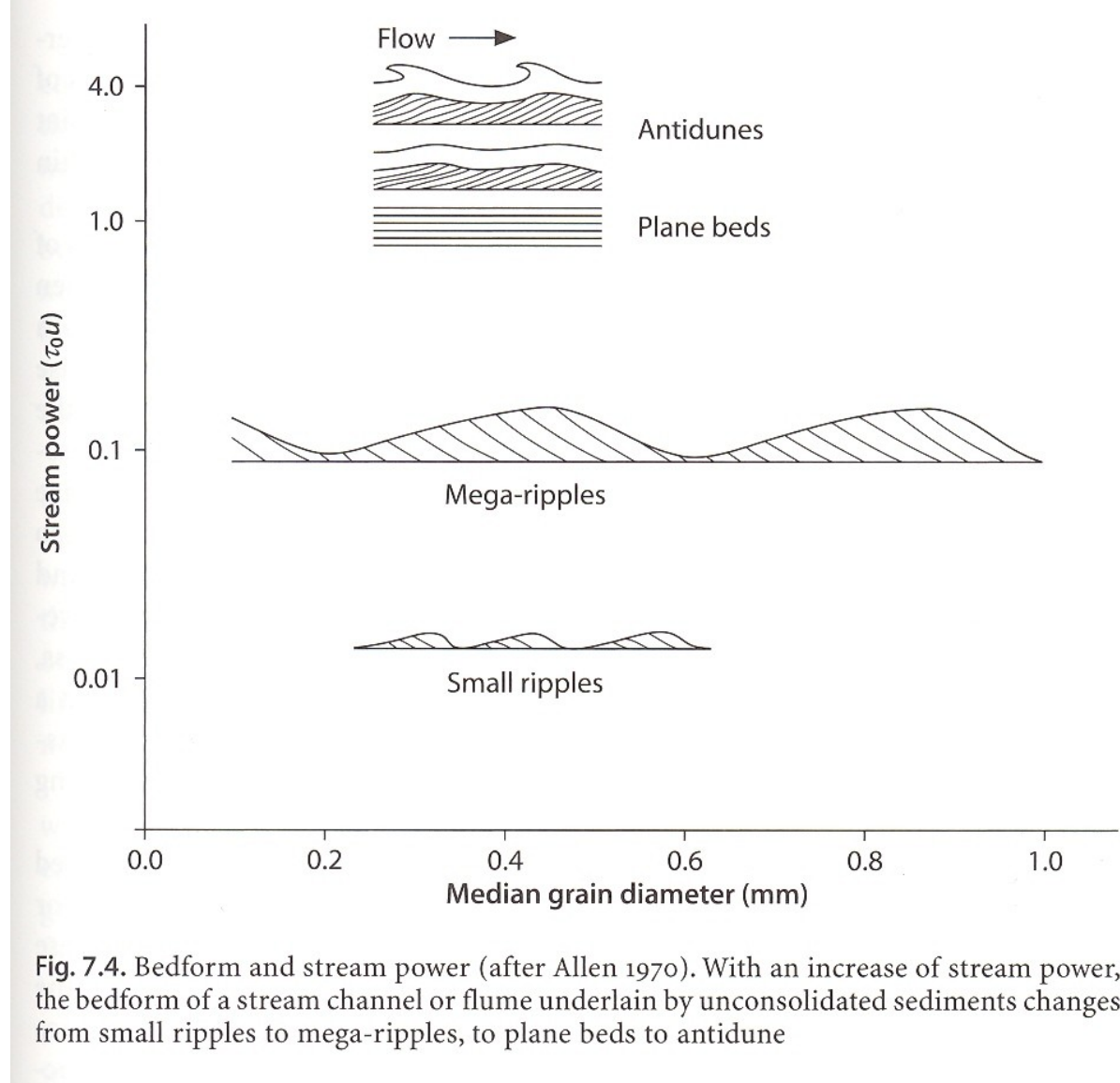
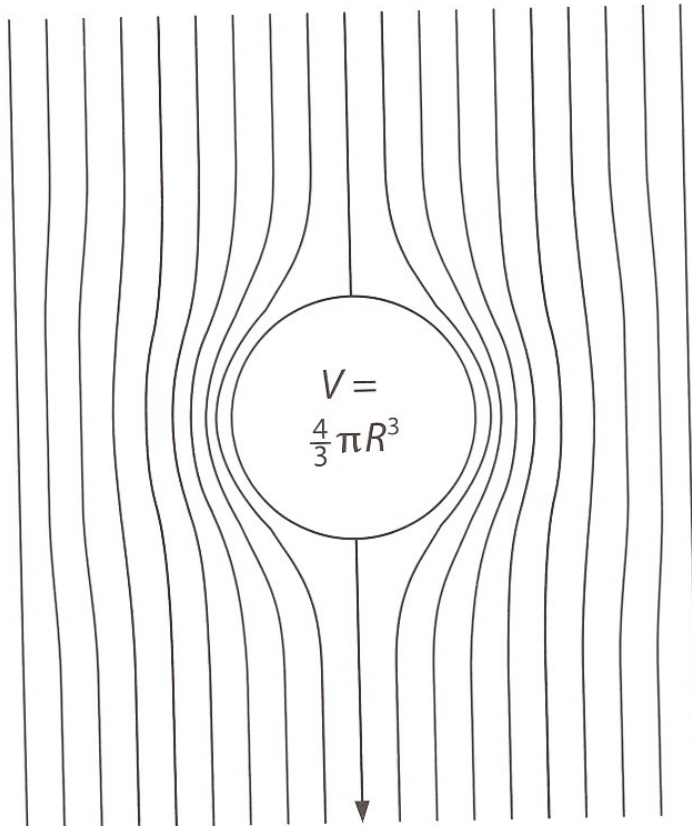


Fig. 7.4. Bedform and stream power (after Allen 1970). With an increase of stream power, the bedform of a stream channel or flume underlain by unconsolidated sediments changes from small ripples to mega-ripples, to plane beds to antidune

Rychlosť časticie klesajúci ke dnu: Stokesov zákon

- $$u = \frac{1}{18} \frac{\rho_s - \rho_f}{\eta} g D^2$$
- u = rýchlosť usazování
- ρ_s = hustota pevné časticie
- ρ_f = hustota kapaliny
- g = gravitačné zrychlení
- D = průměr časticie
- η = dynamická viskozita



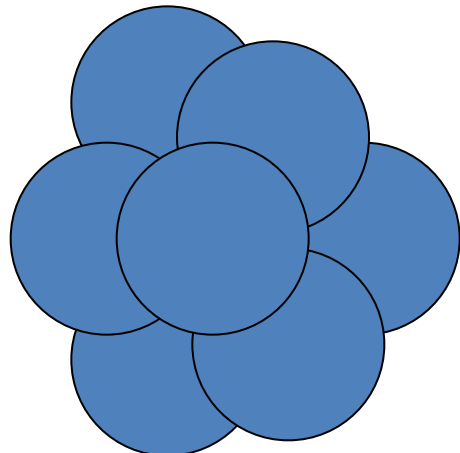
STOKESÚV ZÁKON

Průměr zrna (μ)	Čas (pád 1 m)	V (cm/sec)
60	5 mins	0.223
30	30 mins	0.0558
8	7 hrs, 48 mins	0.00349
2	5 days, 6 hrs	0.000217
0.5	89 days	0.000013

PROBLÉM: jak dosáhnou jílová zrna dna oceánu

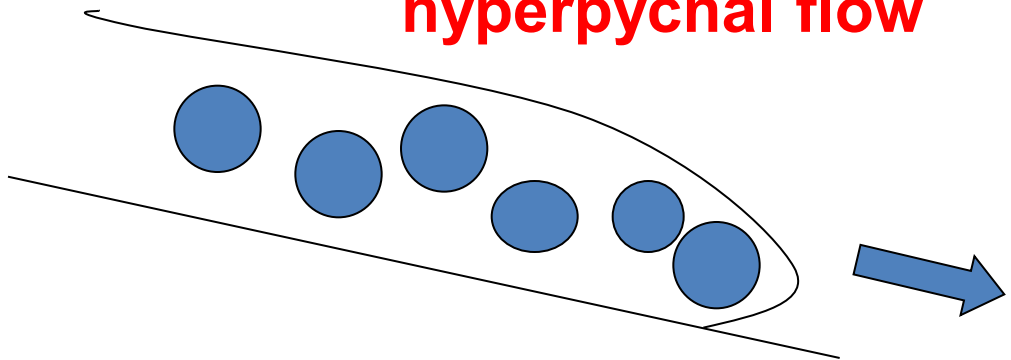
Jak se usazují jíly ?

Flokulací

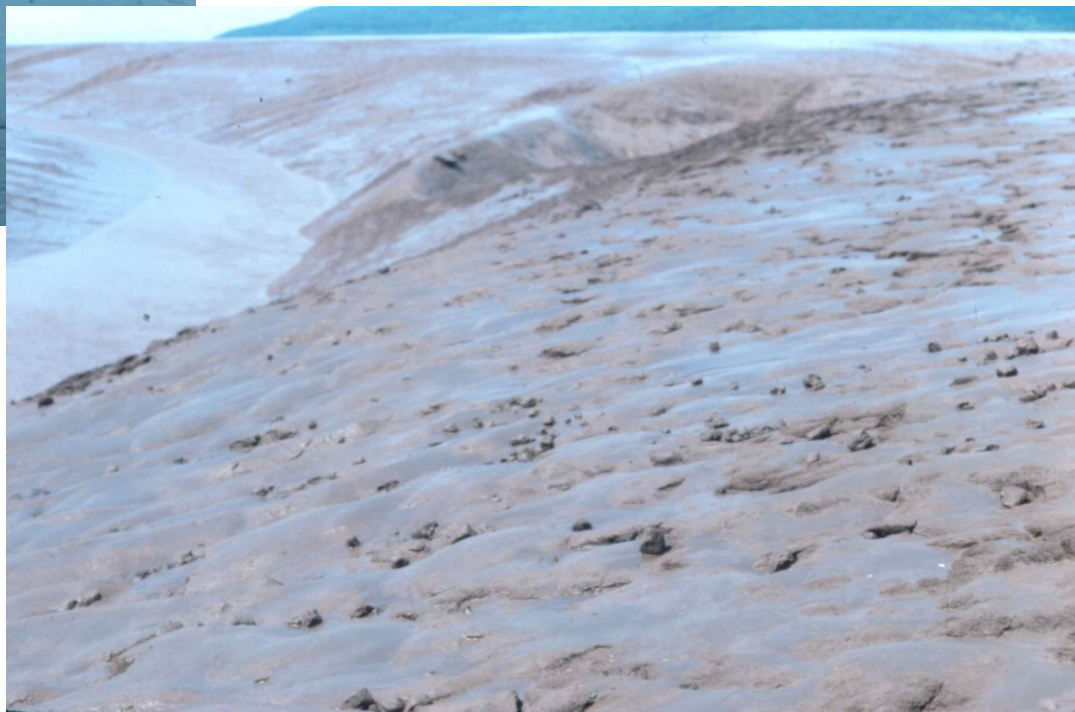
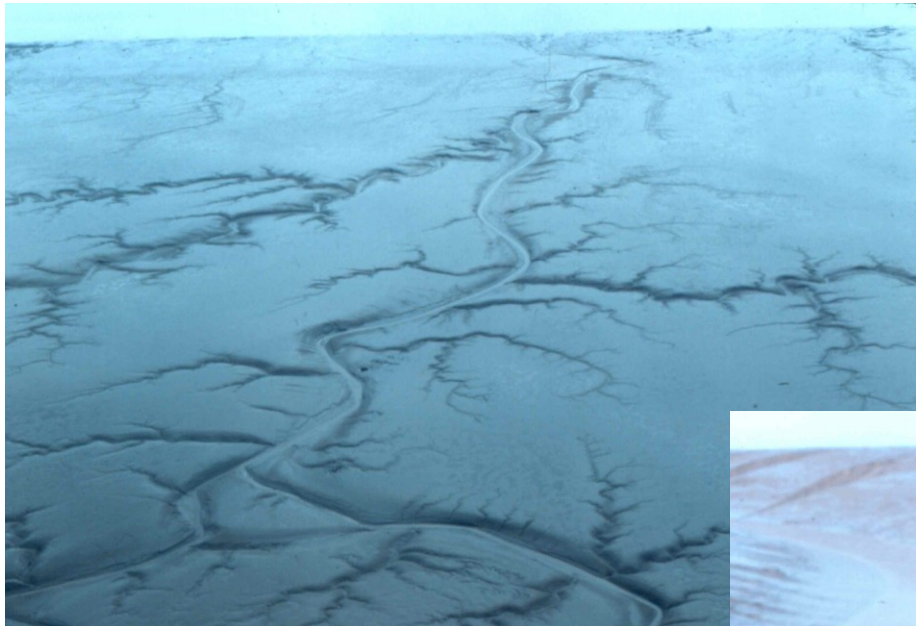


Van der Waal's forces
Electrolytes (salinity)
Turbulence
Fecal pellets

Turbiditní proudy
hyperpycnal flow



FLOCCULATION: FUNDY



Dynamická a kinematická viskozita vody v jednotkách SI:

Temperature - t - (°C)	<u>Dynamic Viscosity</u> - μ - (N s/m ²) x 10 ⁻³	<u>Kinematic Viscosity</u> - ν - (m ² /s) x 10 ⁻⁶
0	1.787	1.787
5	1.519	1.519
10	1.307	1.307
20	1.002	1.004
30	0.798	0.801
40	0.653	0.658
50	0.547	0.553
60	0.467	0.475
70	0.404	0.413
80	0.355	0.365
90	0.315	0.326
100	0.282	0.294

Vlnění, klasifikace vln

Povrchové vlny

(hladina kapalin na styku s plynem: voda – vzduch)

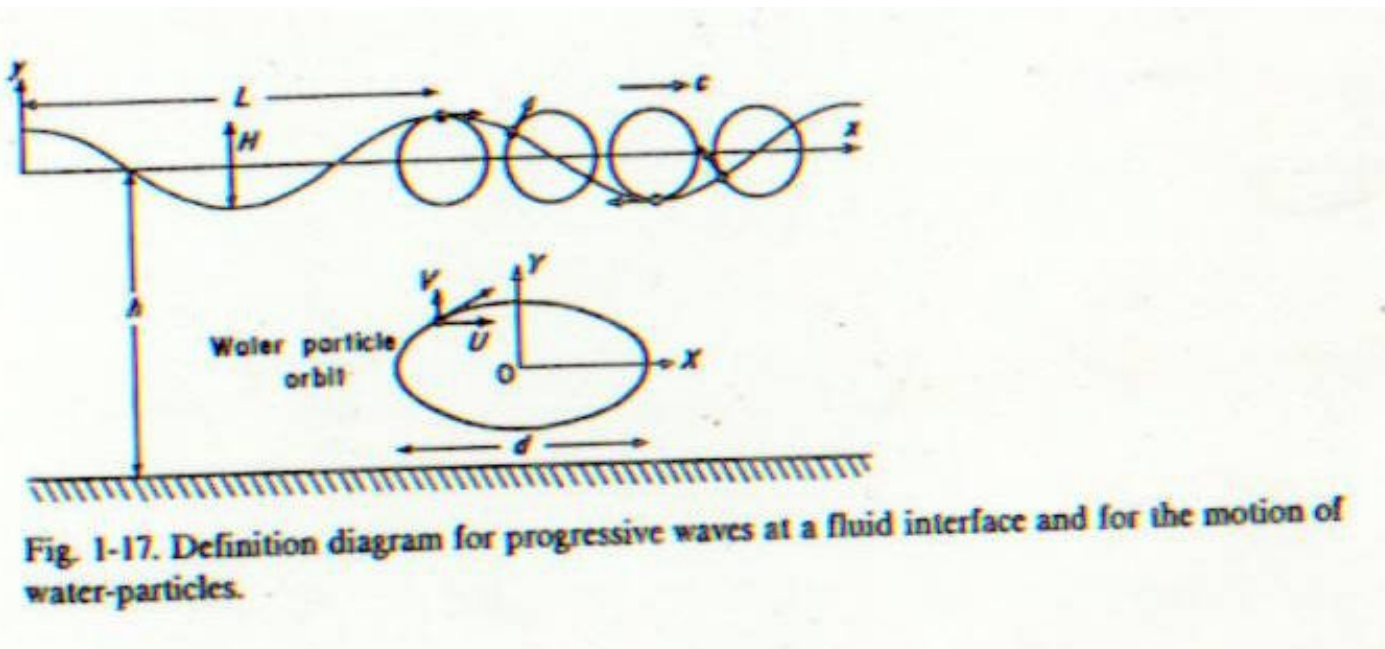
- větrné vlny (perioda do 20 s)
- přílivové vlny (perioda 12 nebo 24 hodin)
- kapilární vlny (perioda 0,1 s)

poměr h/L0 (hloubka dna / vlnová délka)

- krátké (hlubokovodní) vlny $h/L_0 > 25$ větrné vlny
- střední vlny $0,25 > h/L_0 > 25$
- dlouhé (mělkovodní) vlny $0,025 > h/L_0$ přílivová vlna

Interní vlny

Vlny na styku dvou kapalin s různou hustotou a viskozitou (termoklina)



Rychlosť větru a výška vln na volném moři

TABLE I-II

Expected wave height in the open sea as a function of Beaufort wind force or wind speed at height of 10 m above the sea surface. After Frost (1966)

Mean wind speed at of 10 m (m s^{-1})	Beaufort wind force	Descriptive term	Probable height of waves in open sea *
0	0	calm	0
1.5	1	light air	0.1
3.3	2	light breeze	0.2
5.3	3	gentle breeze	0.6
7.5	4	moderate breeze	1.0
9.6	5	fresh breeze	2.0
11.9	6	strong breeze	3.0
14.3	7	near gale	4.0
16.7	8	gale	5.5
19.1	9	strong gale	7.0
21.7	10	storm	9.0
24.1	11	violent storm	11.5
26.8	12	hurricane	≥ 14.0

* Heights less than tabulated values in inshore waters.

Vlny reálné a ideální

Reálné vlny

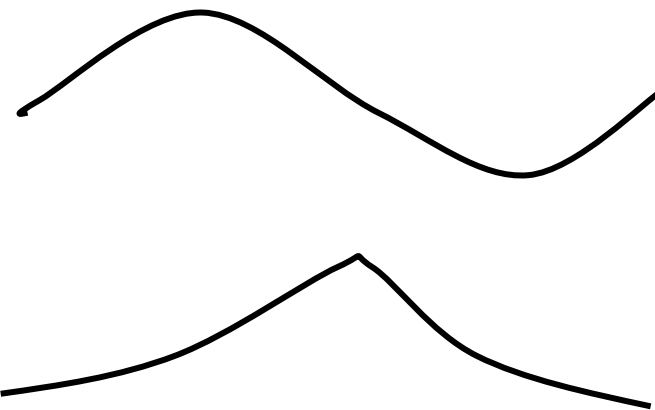
Spektra vlna o různých vlnových délkách, periodách a výškách – statistické zpracování

- Význačná vlnová výška $H_{1/3}$
- Význačná vlnová perioda $T_{1/3}$

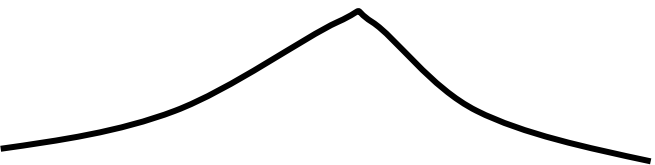
Průměrná výška a perioda jedné třetiny všech vln s nejvyšší výškou a periodou

Ideální vlny

Airyho vlny (sinusoidní profil)



Stokesovy vlny (trochoidní profil)



Solitérní vlny

Airyho vlny

Rychlosť šírenia vlny

g

$$c^2 = \frac{g}{k} \tanh(kh) \quad h = \text{hloubka vody}, k = 2\pi/L, g = \text{gravitačný zrychlenie}$$
$$L = \text{vlnová dĺžka}$$

Rychlosť postupu vln: roste s hloubkou **h** (klesá s klesajúcim hloubkou),

Maximálni horizontálni orbitalný rychlosť

πH

$$U_{\max} = \frac{\pi H}{T \sinh(kh)} \quad \text{kde } H = \text{amplituda vlny}, h = \text{hloubka}, T = \text{perioda}, k = 2\pi/L$$

Báze vlnení: orbitalný rychlosť klesá rychle s hloubkou, pri hloubkach **L/2 (báze vlnení)** je zhruba 4% orbitalných rychlosť na povrchu

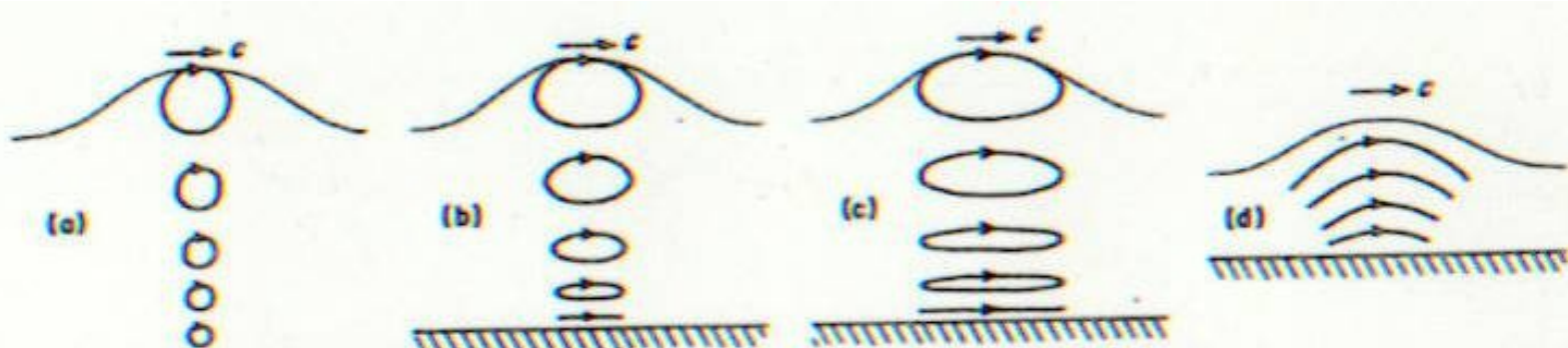


Fig. 1-19. Water-particle orbits beneath progressive surface waves of different types. a. Deep-water waves. b. Waves on water of intermediate depth. c. Shallow-water waves. d. Solitary wave.

Příliv a odлив

Denní příliv: mělkovodní vlna
 $(h/L < 0,025)$

Rychlosť: $c = 0,1 - 0,6 \text{ m/s}$

Vlnová délka: extrémně velká

Průměr orbity: cca 10 km, rotační proud

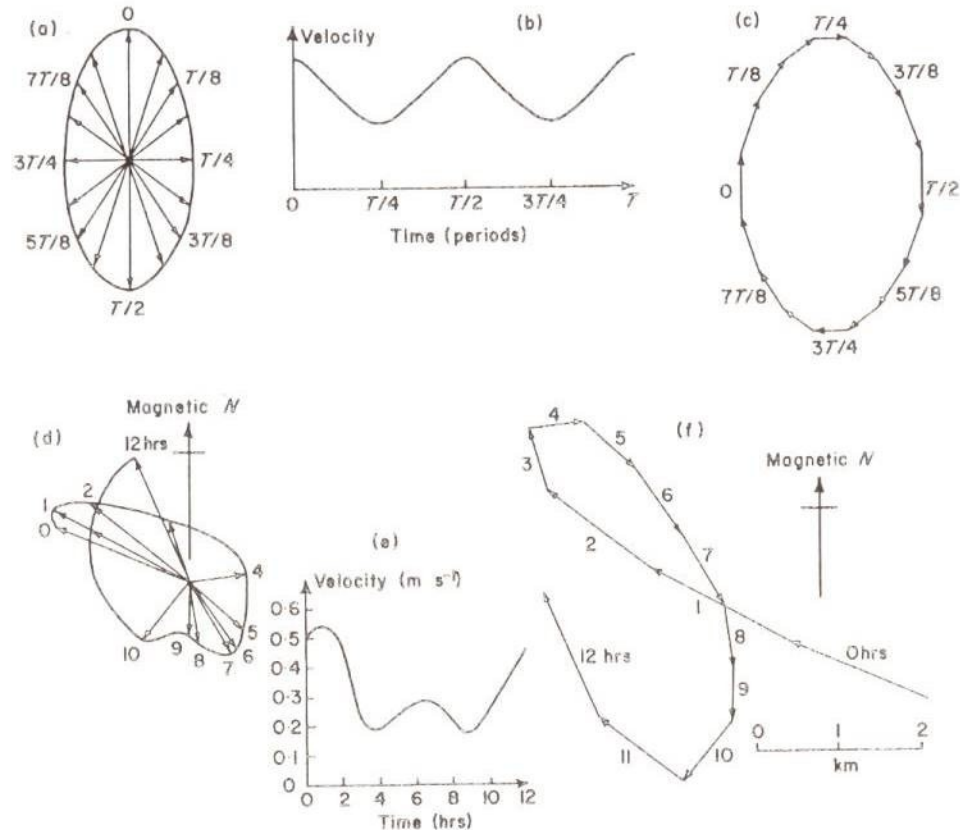


Fig. 1-24. Features of idealized (a-c) and actual (d-f) tidal currents. (a, c) Eulerian and Lagrangian representation of an idealized rotary tidal current over one tidal period, and (b) the time-velocity pattern. (d, f) Eulerian and Lagrangian representations of the tidal current measured and (e) velocity pattern at a depth of 30.5 m (total water depth more than 45 m) at Nantucket Shoals Light Vessel, east coast of U.S.A. 8-10 August, 1923. Partly after Le Lacheur (1924), by permission of the American Geographical Society.

Hustotní proudy

Vzniká při vtoku kapaliny o určité hustotě do jiné kapaliny o jiné hustotě

- hyperpyknický proud ($\rho_1 > \rho_2$) (underflow)
- mesopyknický proud
- hypopyknický proud ($\rho_1 < \rho_2$) (overflow)

ρ_1 = hustota vtékající proudící masy (hustotního proudu)

ρ_2 = hustota stojící vodní masy

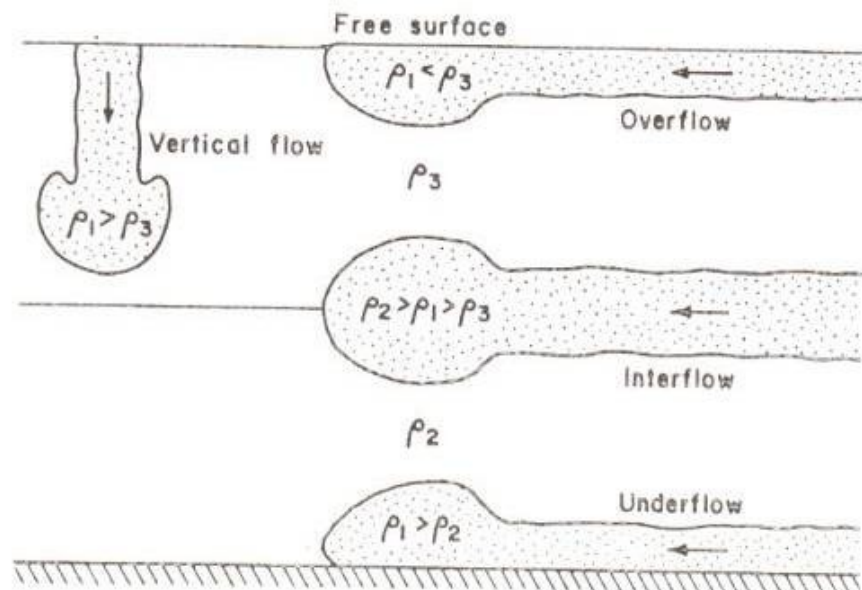


Fig. 1-25. Principal types of gravity current.

Hyperpyknické proudy

hlava – tělo – ocas

Rychlosť šíření hyperpyknického proudu

$$U_h = k \sqrt{\frac{(\rho_1 - \rho_2)g}{\rho_2} h_2}$$

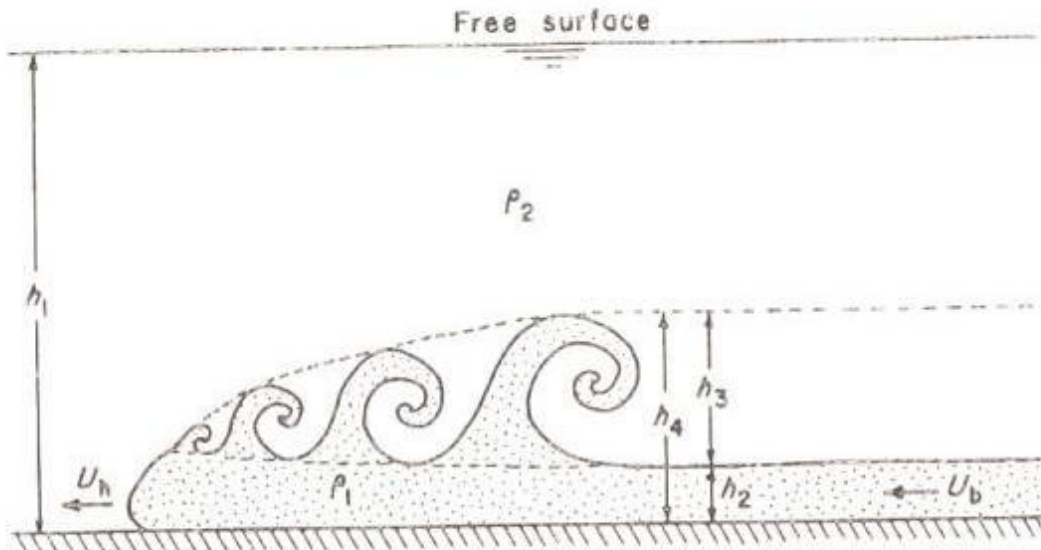


Fig. 1-31. Definition diagram for an underflowing gravity current.

TYPY TRANSPORTU

Gravitační transport

Prostředí: subaerické, submarinní

Bahnotoky, úlomkotoky

Binghamovské plastické látky, soudržné, laminární proudění

Uvedení do pohybu: překonání prahového smykového napětí: přetížení svahu, zemětřesení, likvefakce (zkapalnění), sesuvy

Ukládání: snížení smykového napětí toku pod kritickou hodnotu (zpomalení toku), zmírnění sklonu svahu

Sesuvy, skuzy, kamenné laviny

Elastické pevné látky, turbulentní proudění

Uvedení do pohybu: překonání prahového smykového napětí: přetížení svahu, zemětřesení,

Ukládání: snížení smykového napětí toku (zpomalení toku), zmírnění sklonu svahu

Zrnotoky

Elasticé pevné látky, nesoudržné, turbulentní proudění

Uvedení do pohybu: překonání prahového smykového napětí: přetížení svahu, zemětřesení,

Ukládání: snížení smykového napětí toku (zpomalení toku), zmírnění sklonu svahu

Turbiditní proudy

Newtonovské kapaliny, turbulentní proudění

Uvedení do pohybu: hustotní rozdíl kapalin: zvíření sedimentu ve vodě (zemětřesení, bouřky, podmořské sesuvy), povodně

Ukládání: zpomalení toku, zmírnění sklonu svahu

Procesy a klasifikace mechanického transportu

- Suspenze
- Turbiditní proudy
- Přídnový transport
 - Zrnotoky
- Úlomkotoky, bahnotoky
- Sesuvy, skluzy

Transport process	Physical character of mix			Transport mechanism	Sediment character
	Newtonian fluid	Non-Newtonian fluid			
Suspension transportation	Newtonian fluid			Suspension	Massive to bedded and laminated sediments
Turbidity current	Newtonian to Non-Newtonian fluid		Low viscosity	Turbulent flow	Bouma sequences with laminated, cross laminated, and graded strata
Bed-load transportation	Non-Newtonian fluid to Bingham plastic		Low density		Laminated, crossed to structureless beds of well to moderately sorted sediment
Grain flow (<i>sensu lato</i>)	Non-Newtonian fluid to Bingham plastic		Incohesive (= non-cohesive = cohesionless)		Laminated to structureless, thin to massive beds of well sorted sand with dish structure and pebbles
Landslide (<i>sensu lato</i>)	Mass flow (debris flow, mudflow, olistostromal flow)	Bingham plastic to pseudo – plastic	High density	Laminar flow	Medium to massive beds of diamictite
	Landslide (<i>sensu stricto</i>) (slump, debris slide, rock slide)	Elastic/brittle	High viscosity		
			Cohesive		
			Incohesive	Turbulent flow	Thick to massive beds; typically matrix poor; commonly with slickensided clasts

Figure 14.2

Summary of mechanical transportation processes, mechanisms, and sediment types.

(Source: Modified from Nardin et al., 1979; and based in part on Lowe, 1976; Postma, 1986.)

TYPY TRANSPORTU

Gravitační transport

Prostředí: subaerické, submarinní

Bahnotoky, úlomkotoky

Binghamovské plastické látky, soudržné, laminární proudění

Uvedení do pohybu: překonání prahového smykového napětí: přetížení svahu, zemětřesení, likvefakce (zkapalnění), sesuvy

Ukládání: snížení smykového napětí toku pod kritickou hodnotu (zpomalení toku), zmírnění sklonu svahu

Sesuvy, skuzy, kamenné laviny

Elastické pevné látky, turbulentní proudění

Uvedení do pohybu: překonání prahového smykového napětí: přetížení svahu, zemětřesení,

Ukládání: snížení smykového napětí toku (zpomalení toku), zmírnění sklonu svahu

Zrnotoky

Elasticé pevné látky, nesoudržné, turbulentní proudění

Uvedení do pohybu: překonání prahového smykového napětí: přetížení svahu, zemětřesení,

Ukládání: snížení smykového napětí toku (zpomalení toku), zmírnění sklonu svahu

Turbiditní proudy

Newtonovské kapaliny, turbulentní proudění

Uvedení do pohybu: hustotní rozdíl kapalin: zvíření sedimentu ve vodě (zemětřesení, bouřky, podmořské sesuvy), povodně

Ukládání: zpomalení toku, zmírnění sklonu svahu

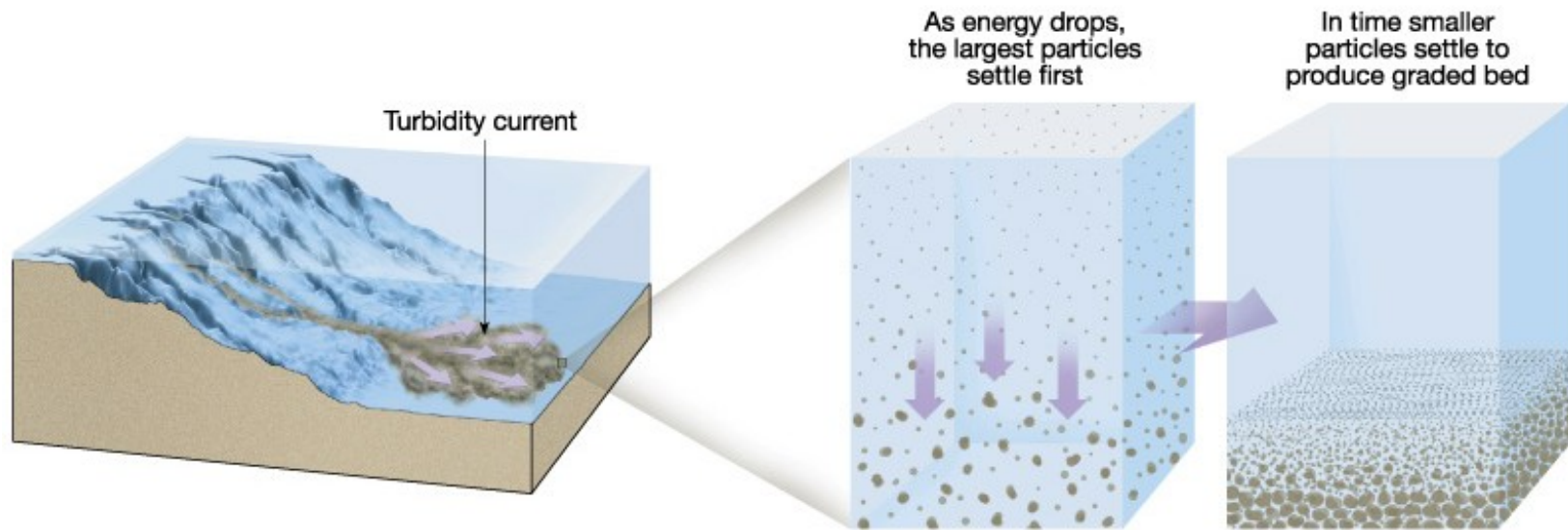
Turbiditní proud

Turbiditní proudy

kapaliny, turbulentní a laminární proudění

Uvedení do pohybu: zvřetení sedimentu ve vodě (zemětřesení, bouřky, podmořské sesuvy), povodně

Ukládání: zpomalení toku, zmírnění sklonu svahu



Glaciální transport

Gravitačně indukovaný tok – led - non-newtonovská pseudoplastická látka, vysoká viskozita, převažuje laminární proudění

Ukládání: tavení a sublimace ledu



Vodní a větrný transport

kapaliny (voda, vzduch), laminární a turbulentní proudění

Uvedení částic do pohybu:
převážně turbulentním prouděním

- Transport naložením (bed load)
 - klouzání
 - válení
 - saltace
- Transport ve vznosu (suspension) – „plavání“ částic

Závisí na:

- hustotě kapaliny
- rychlosti toku
- dynamické viskozitě
- Reynoldsově čísle (laminární / turbulentní proudění)
- velikosti a hustotě sedimentárních částic
- a dalších faktorech

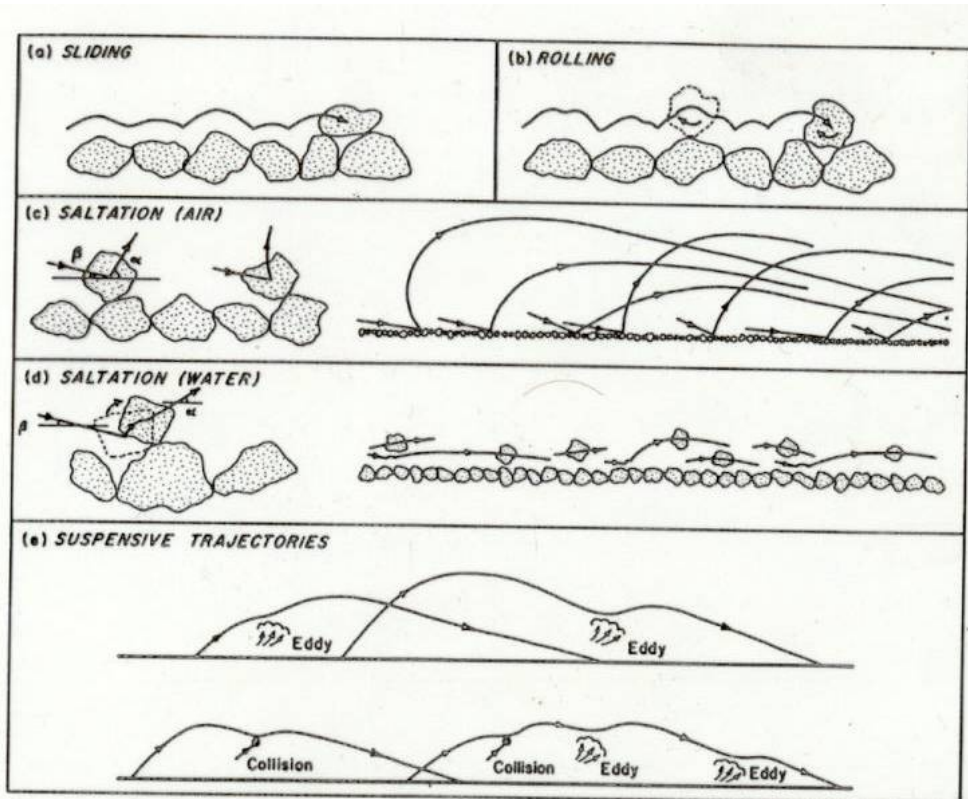
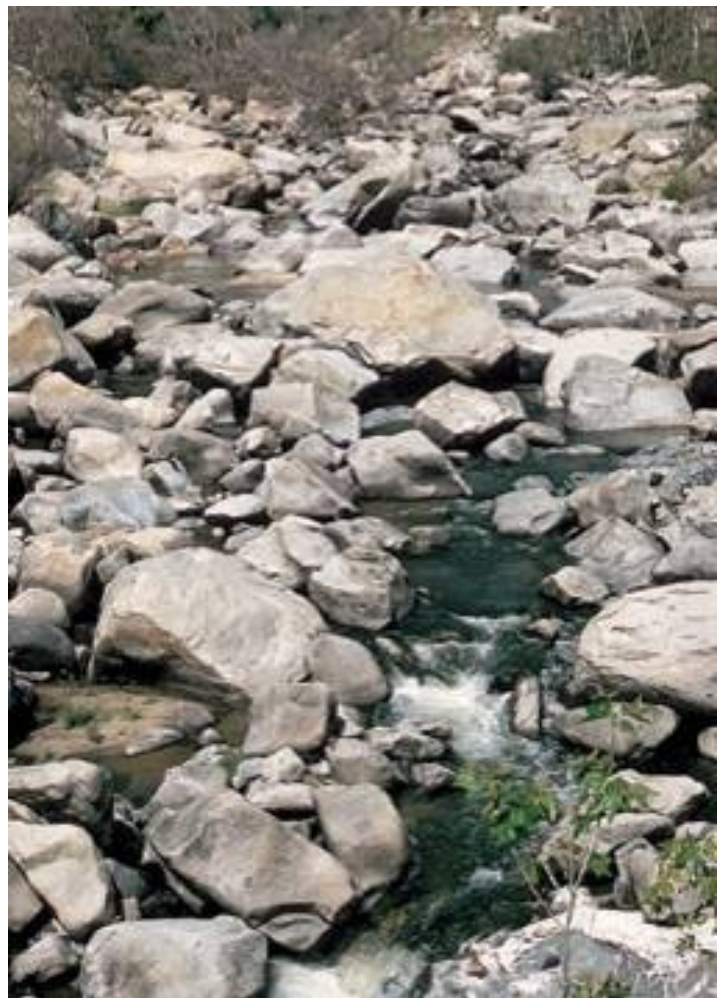


Fig. 2-13. Schematic representation of modes of particle motion during fluid-induced sediment transport.

Ukládání: zpomalení proudu



Procesy a klasifikace mechanického transportu

Transport process		Physical character of mix			Transport mechanism	Sediment character
Landslide (<i>sensu lato</i>)	Suspension transportation	Newtonian fluid	Low viscosity	Low density	Suspension	Massive to bedded and laminated sediments
	Turbidity current	Newtonian to Non-Newtonian fluid		Incohesive (= non-cohesive = cohesionless)		Bouma sequences with laminated, cross laminated, and graded strata
	Bed-load transportation	Non-Newtonian fluid to Bingham plastic	High density	Temporary suspension, rolling and saltation	Laminated, crossed to structureless beds of well to moderately sorted sediment	
	Grain flow (<i>sensu lato</i>)	Non-Newtonian fluid to Bingham plastic		Sediment supported by dispersive pressure	Laminated to structureless, thin to massive beds of well sorted sand with dish structure and pebbles	
	Mass flow (debris flow, mudflow, olistostromal flow)	Bingham plastic to pseudo plastic	High viscosity	Flow with shear on penetrative surfaces	Medium to massive beds of diamictite	
	Landslide (<i>sensu stricto</i>) (slump, debris slide, rock slide)	Elastic/brittle		Turbulent flow	Rotation and/or sliding with shear on spaced planes and surfaces	Thick to massive beds; typically matrix poor; commonly with slickensided clasts
			Incohesive	Laminar flow		
			Cohesive			
			Turbulent flow			

Figure 14.2

Summary of mechanical transportation processes, mechanisms, and sediment types.

(Source: Modified from Nardin et al., 1979; and based in part on Lowe, 1976; Postma, 1986.)

Chemický transport a depozice (precipitace)

- závislost na pH a Eh
- Pole stability minerálních fází

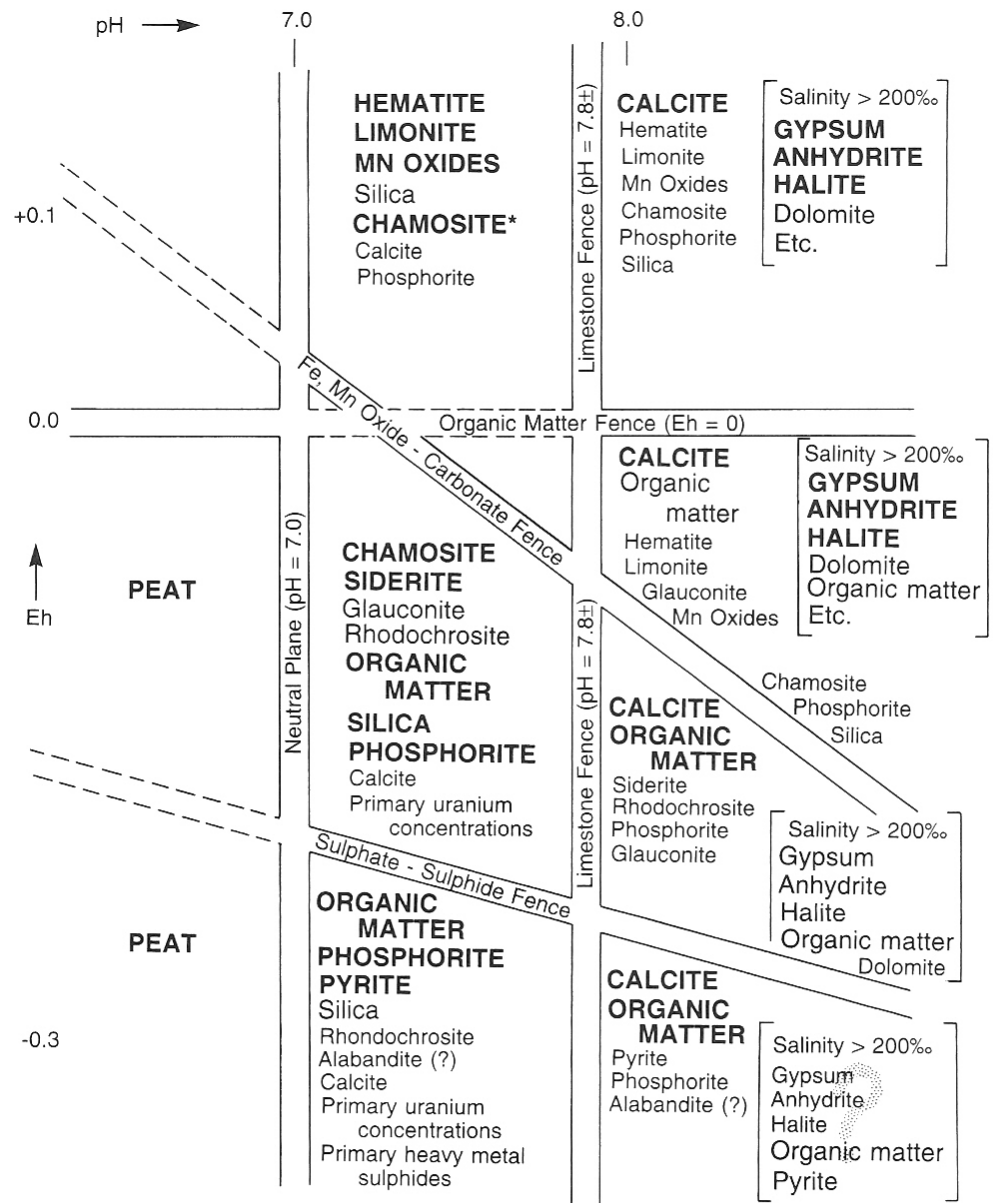


Figure 14.5

Eh-pH fence diagram showing generalized stability fields of various minerals.
(Source: After Krumbein and Garrels, 1956.)

SEDIMENTÁRNÍ TEXTURY (Sedimentary structures)

Struktura – prostorové vztahy mezi zrny, zpravidla mikroskopické

Textura – prostorové uspořádání zrn, zpravidla makroskopické, tvary zpravidla větší než je velikost individuálního zrna

Textury:

- Vrstevnatost
- Textury na vrstevních plochách
- Zvrstvení
- Ostatní textury

Vrstvy – deskovitá nebo čočkovitá tělesa jednotného petrografického složení

Laminy – druh vrstev o malé mocnosti (< 1cm)

Zvrstvení – soubor texturních znaků uvnitř vrstev

Laminace – druh zvrstvení o malé mocnosti

Vrstevnatost

- Čočkovitá
- Deskovitá (tabulární)
- Lalokovitá

Zvrstvení

- Gradační
- Horizontální (planární)
- Zvlněné
- Šikmé - výmolové
- Šikmé - planární
- Nodulární (hlíznaté)
- Konvolutní

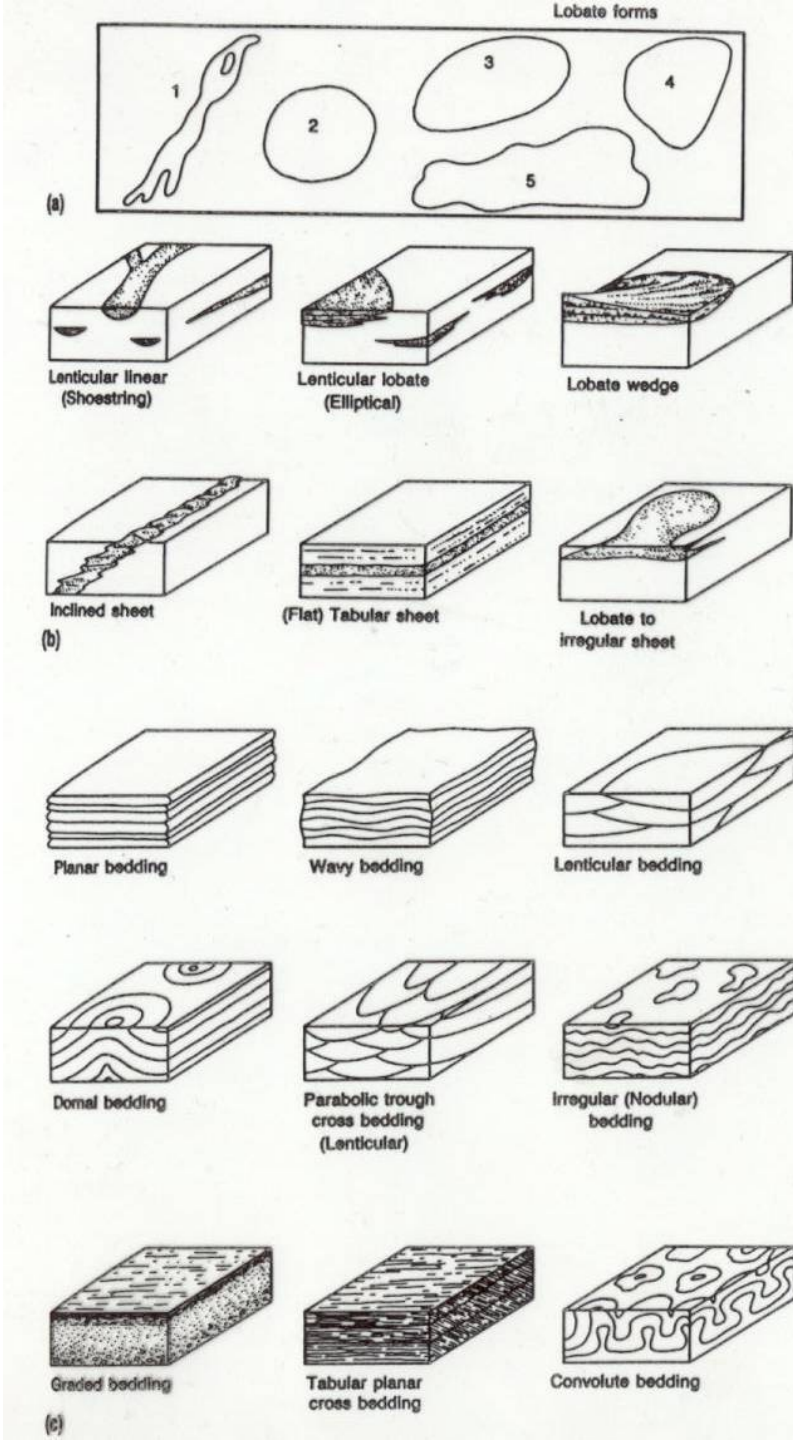
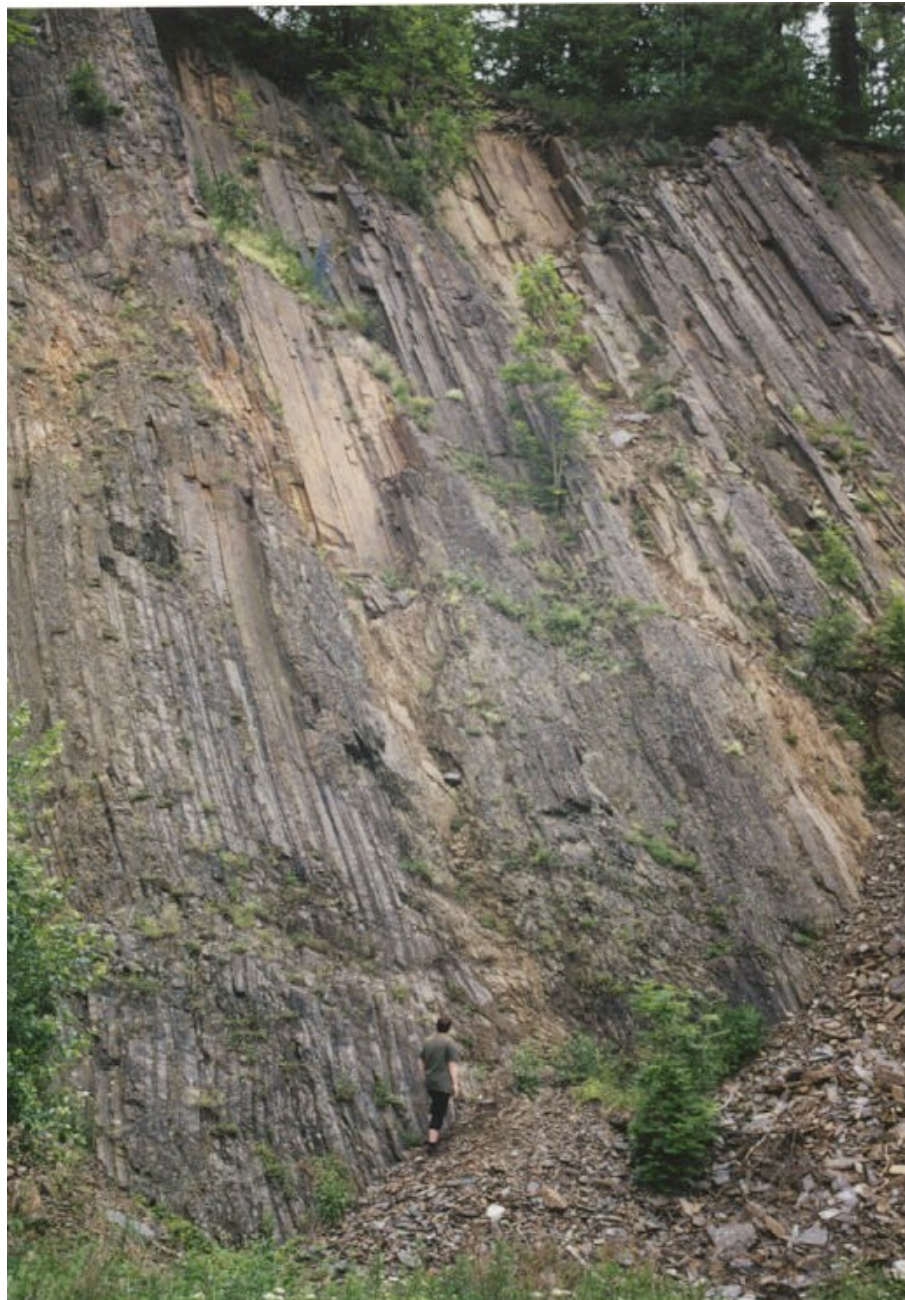


TABLE 12.1**Classification of Stratification**

Stratum Thickness	Names	Vrstevnatost
Bed		
> 300 cm (> 3 m)	Massive	masivní
100–300 cm	Very thickly bedded	lavicovitá
30–100 cm	Thickly bedded	
10–30 cm	Mediumly bedded	
3–10 cm	Thinly bedded	deskovitá
1–3 cm	Very thinly bedded	
Lamina		
0.3–1 cm	Thickly laminated	
< 0.3 (< 3 mm)	Thinly laminated	laminovitá

Source: From R. L. Ingram, “Terminology for the Thickness of Stratification and Parting Units in Sedimentary Rocks” in *Geological Society of America Bulletin*, 65:937–38, 1954. Copyright © 1954 Geological Society of America. Reprinted by permission of the author.



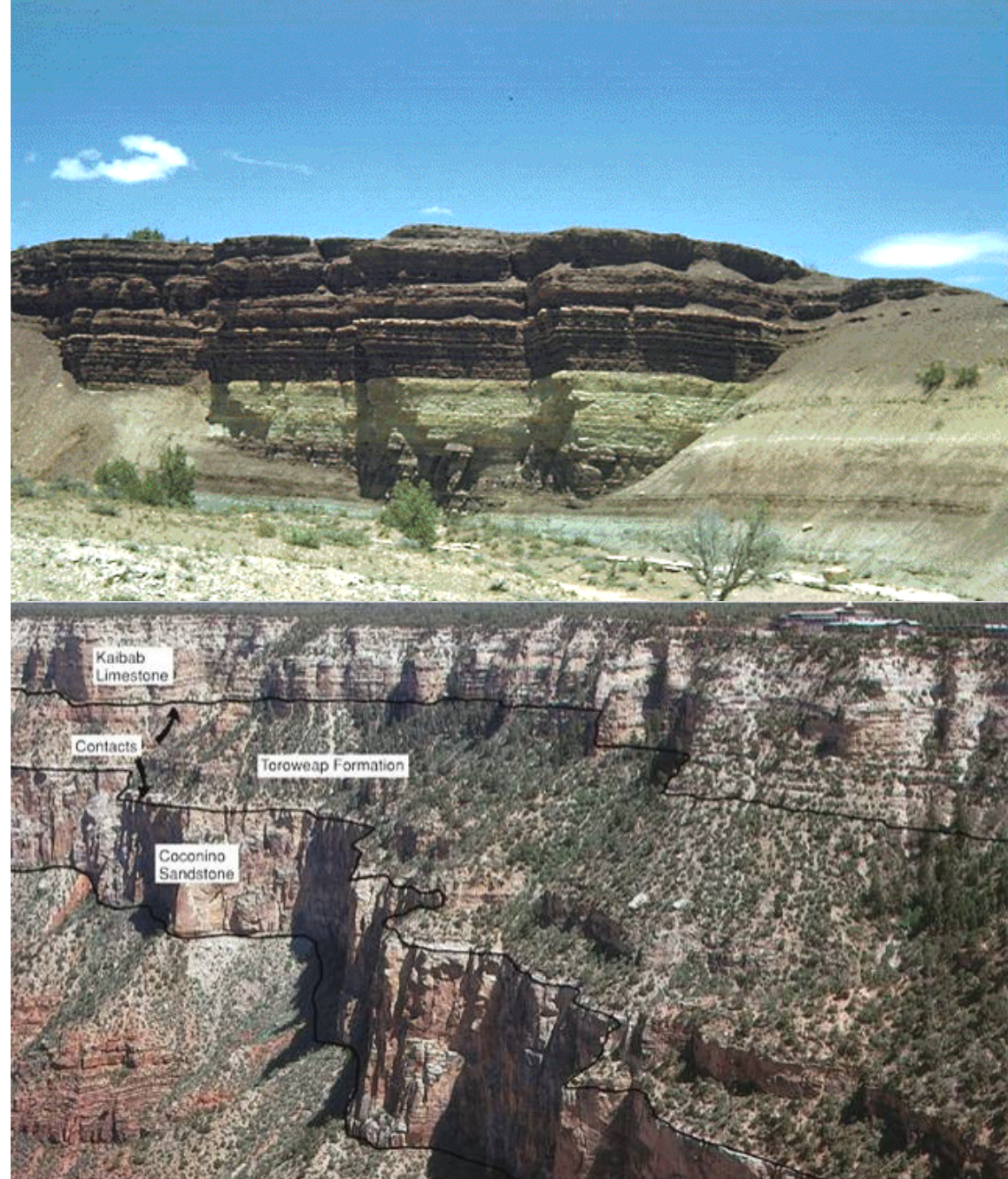
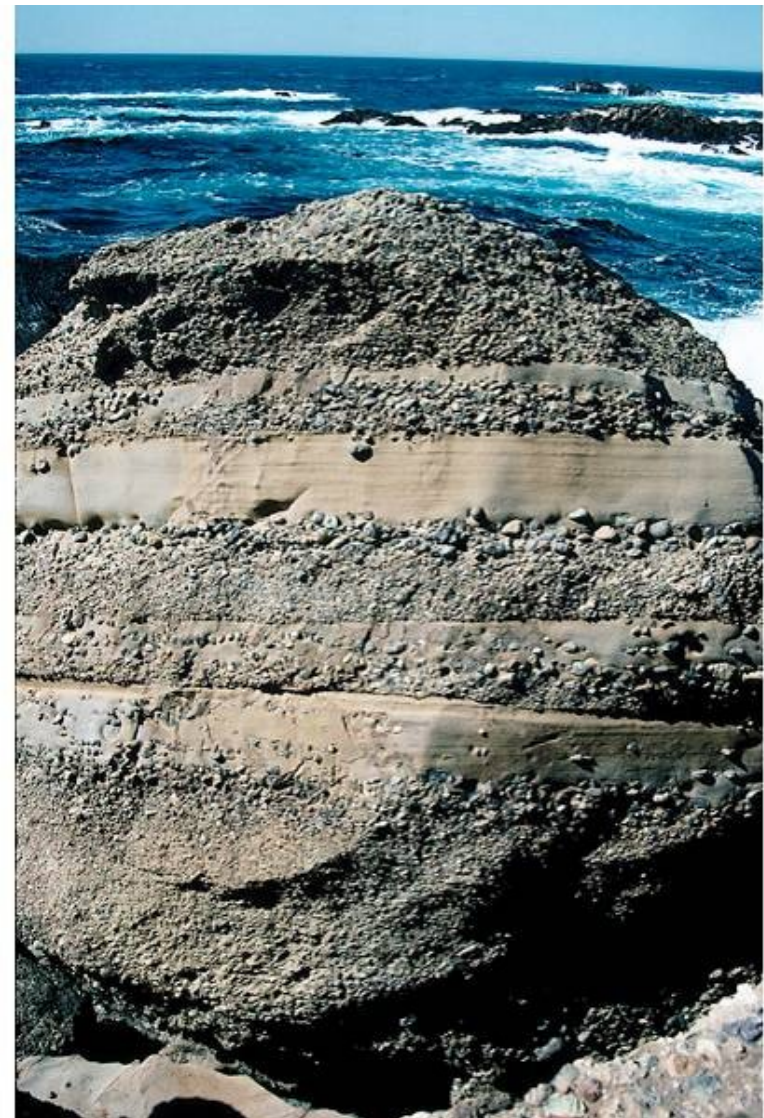


Photo by David McGahey

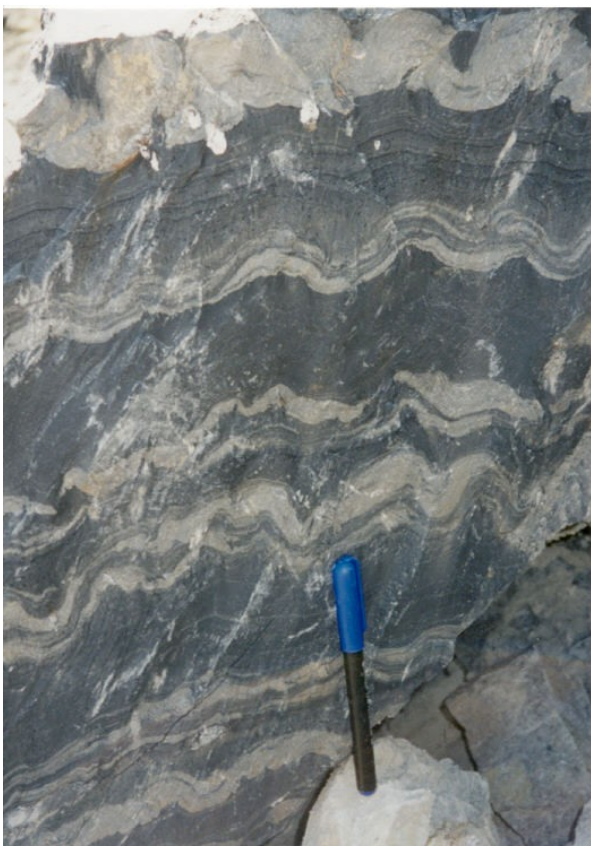
Laminace

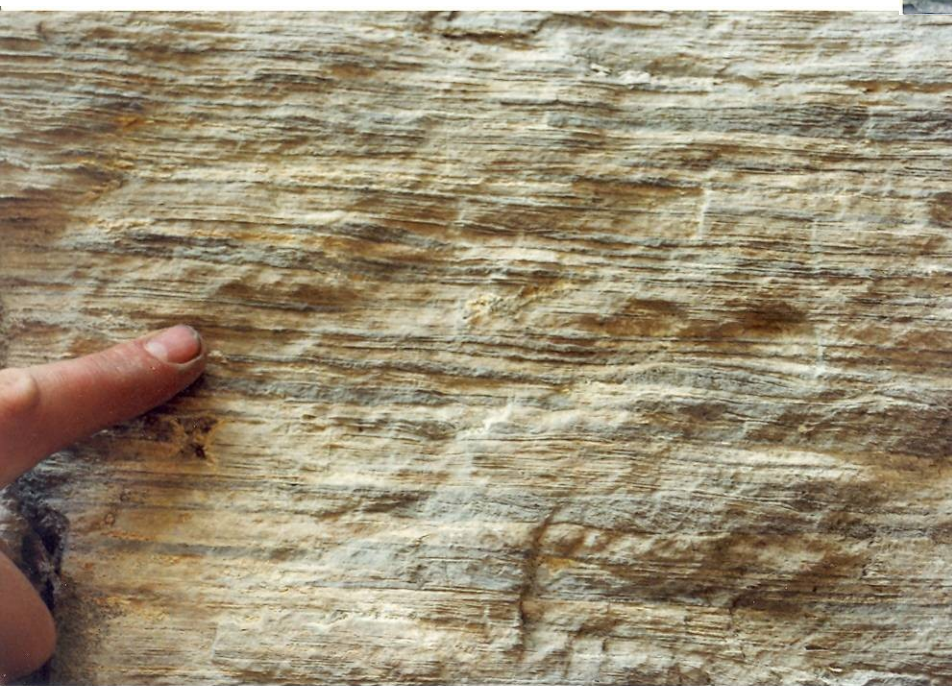
Uspořádání sedimentu do lamin II s vrstevními plochami

Geneze: laminace vzniklá opakováním podmínek sedimentace

- Sezónní laminace – algální laminity, stromatolity - přílivové plošiny, varvity)
- Epizodická laminace (událostní sedimentace) – spad pyroklastik
- Střídání energie proudu (turbidity) např. hranice mezi laminárním a turbulentním prouděním

Laminace





Parting lineation

primární proudová lineace na dělících spárách

V laminovaných sedimentech (písky) – jednosměné turbulentní proudění

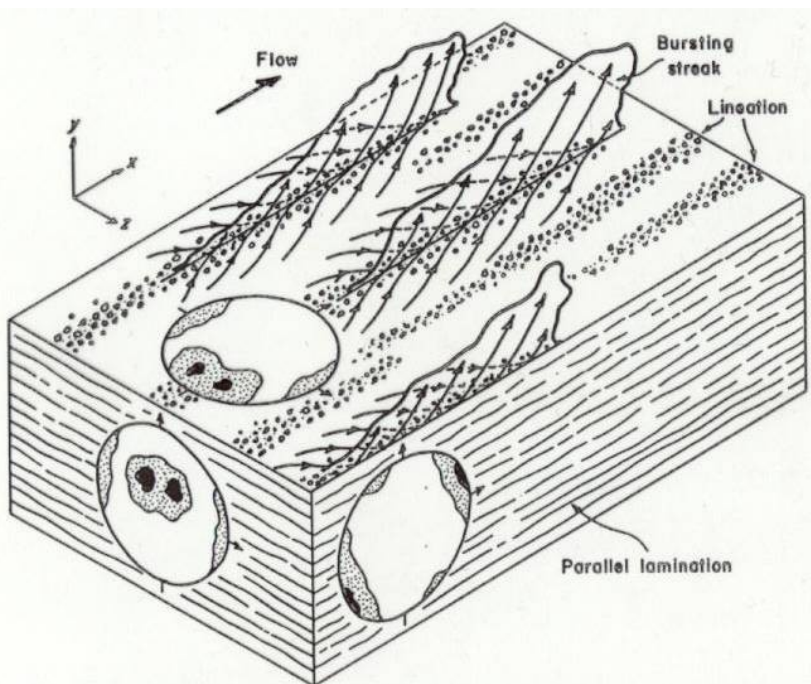
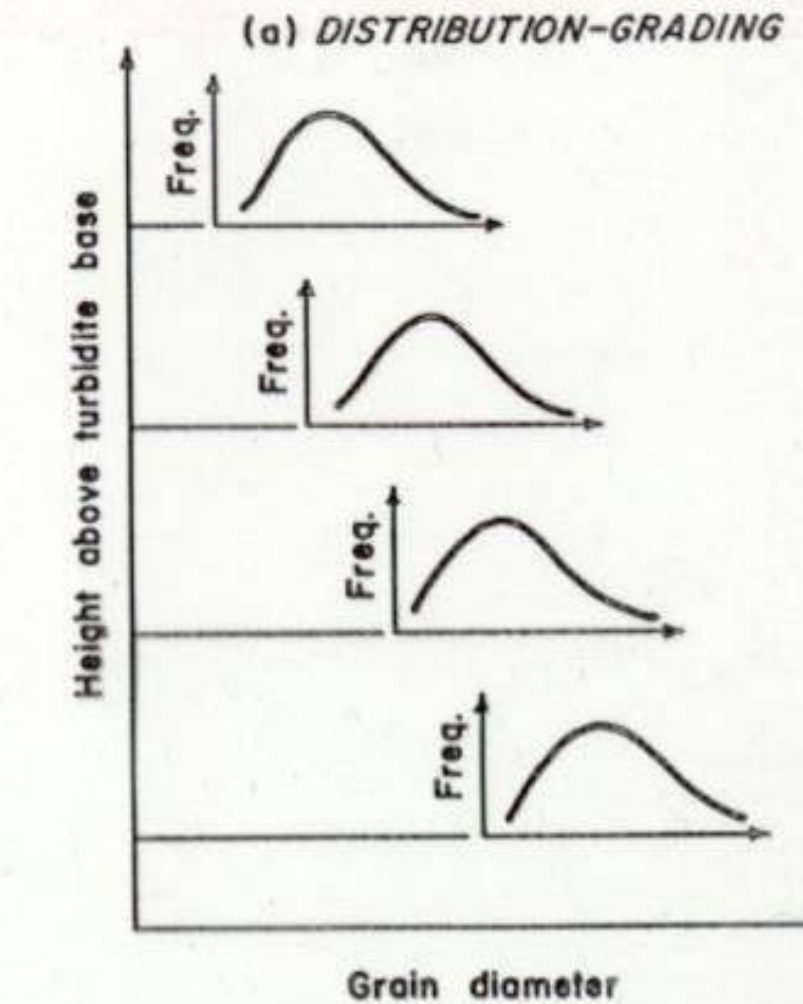
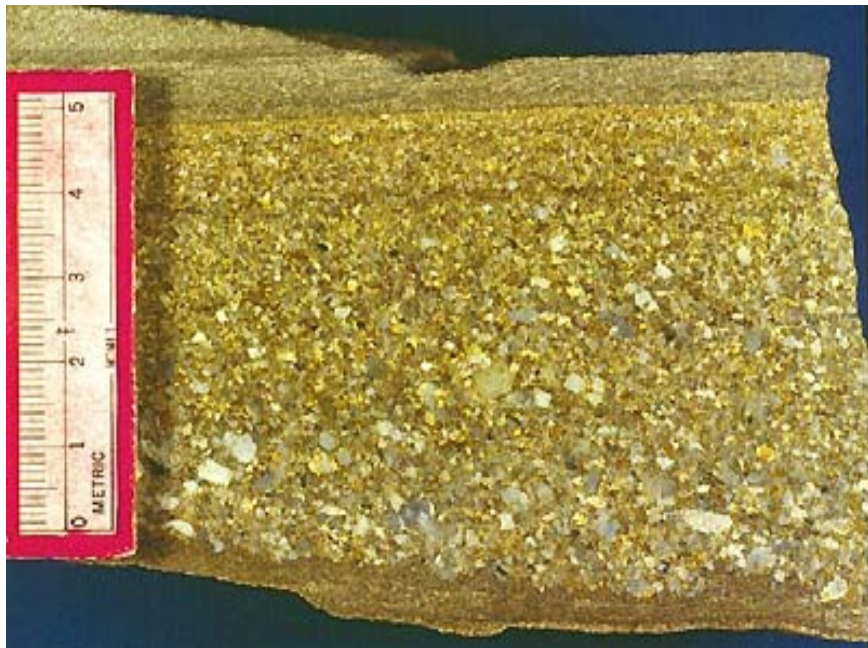


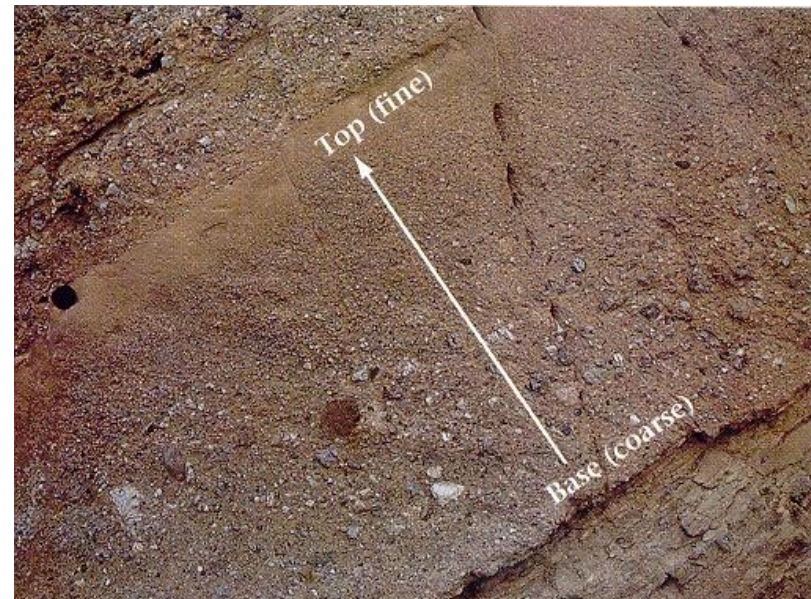
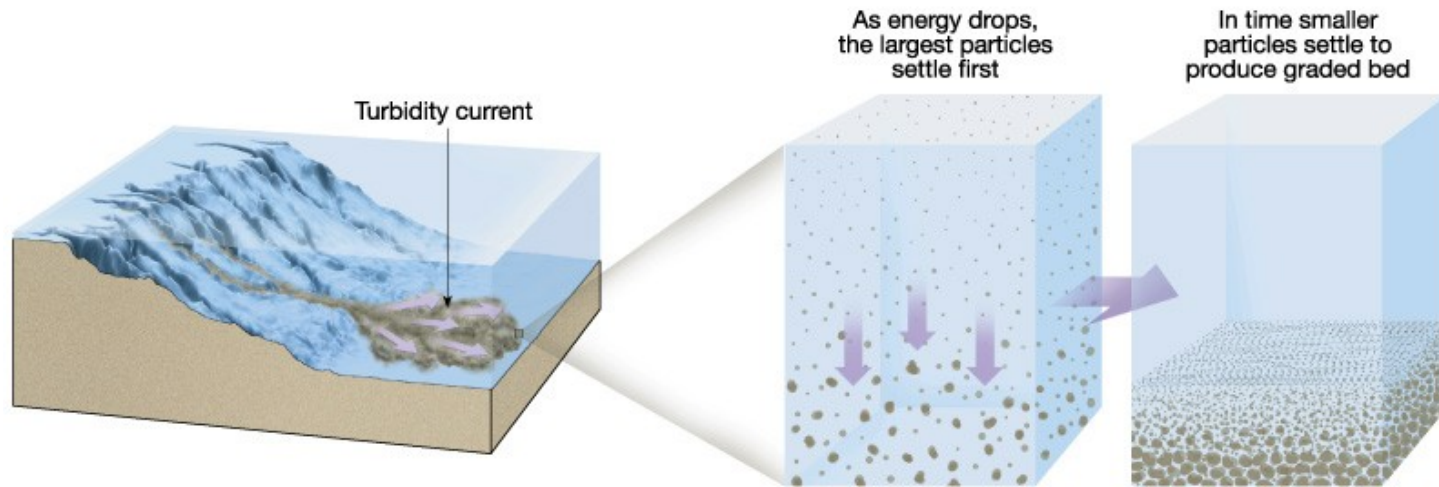
Fig. 6-14. A model for the origin of parting lineations by the action of boundary-layer streaks, in which the macroscopic structure and grain fabric (particle long-axis intersections with lower hemisphere in each plane as viewed) are integrated with the flow configuration (transient zones of flow separation and attachment associated with lifting and bursting streaks and associated inrushes).

Gradační zvrstvení

- Zjemňování sedimentu do nadloží
 - Pozitivní (normální) vs. negativní (inverzní)
 - Vertikální gradace vs. laterální gradace
- Geneze:
- zpomalování energie toku



Gradační zvrstvení





Šikmé (čeřinové) zvrstvení vrstevní tvary: proudové duny (čeřiny)

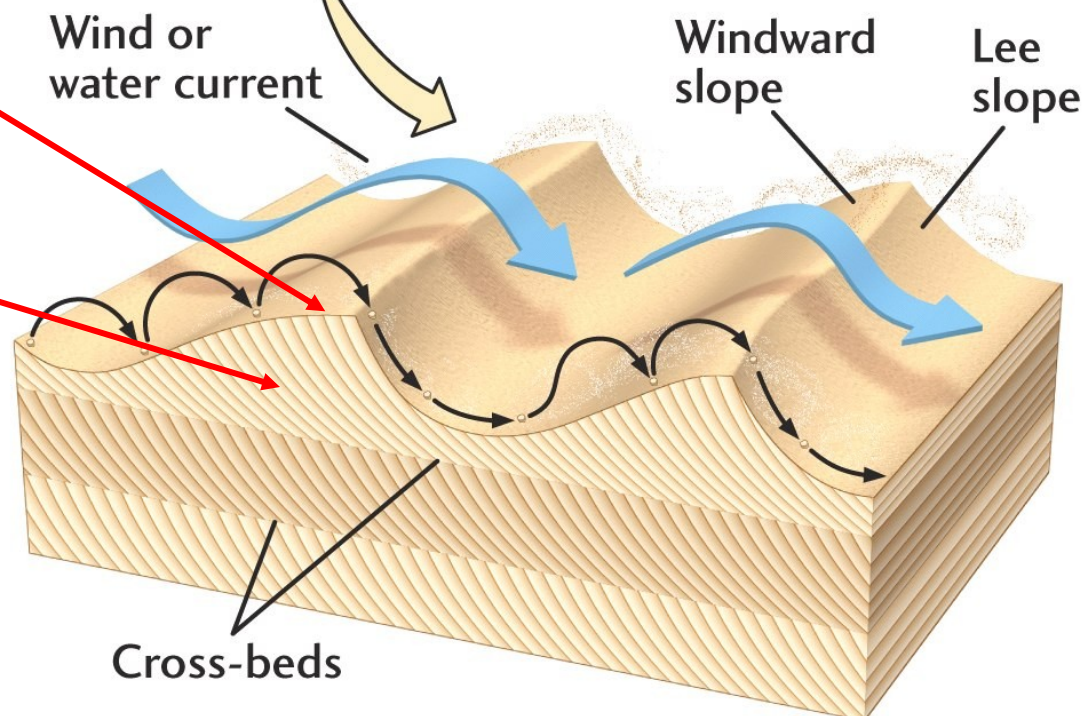
Vrstevní tvar:

- Morfologie dna – rozhraní sediment/kapalina



Zvrstvení:

- soubor texturních znaků uvnitř vrstev



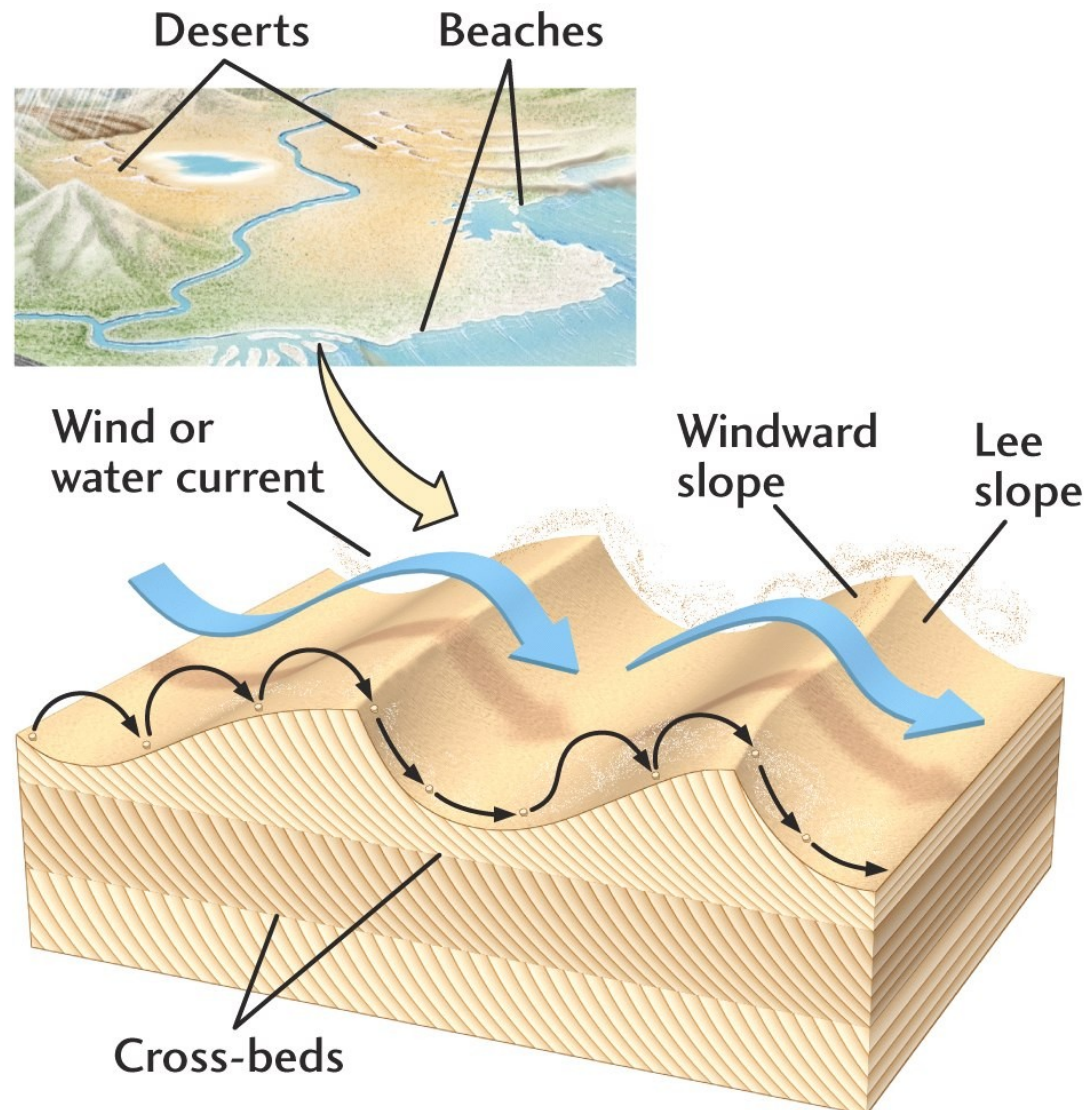
Šikmé (čeřinové) zvrstvení vrstevní tvary: proudové duny (čeřiny)

duny, barchany, příčné duny, čeřiny

- jednosměrné větrné/vodní proudění
- eroze na návětrné straně
- sedimentace na závětrné straně
- pohyb po směru proudění

původ:

- Místní nerovnosti na povrchu nesoudržného sedimentu v podmírkách proudění normální (newtonovské) kapaliny
- Zpomalení a separace proudu na závětrné straně



Šikmé (čeřinové) zvrstvení vrstevní tvary: asymetrické duny (čeřiny)

Proudové (asymetrické) čeřiny a duny

- jednosměrné vodní proudění
- eroze na návětrné straně a sedimentace na závětrné straně
- migrace po směru proudění
- čeřiny $< L=0,6\text{m} \geq$ duny až několik stovek m

Eolicke duny, barchany, příčné duny

- jednosměrné větrné proudění
- eroze na návětrné straně a sedimentace na závětrné straně
- migrace po směru proudění

Iniciace:

- Místní nerovnosti na granulárním povrchu v podmírkách proudění newtonovské kapaliny
- Zpomalení a separace proudu na závětrné straně

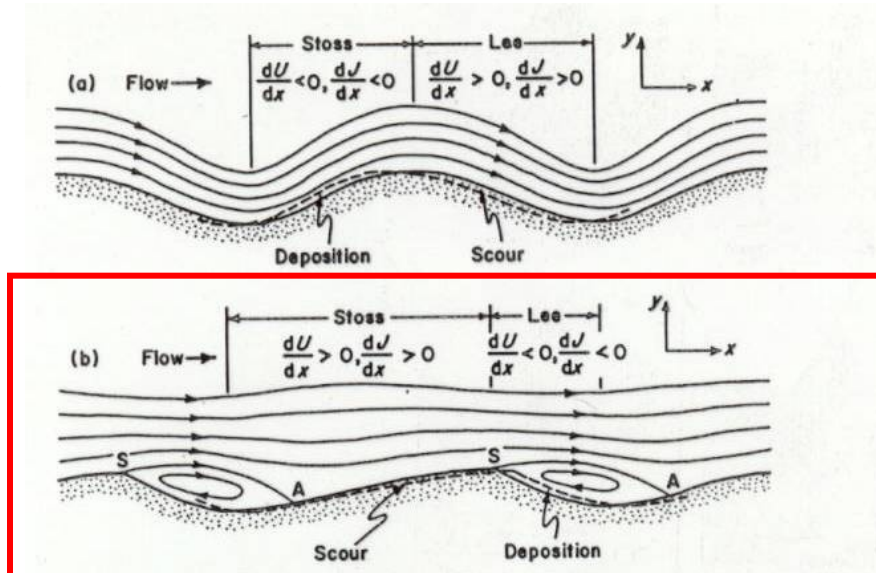


Fig. 7-2. Schematic representation of flow and sediment transport over (a) antidunes, and (b) current ripples and dunes. U =mean flow velocity; J =sediment transport rate.

Antiduny

- Jednosměrné vodní proudění s volným povrchem – ve fázi s povrchovým prouděním kapaliny
- Stacionární (nemigrují) nebo migrují proti směru proudění
- Sedimentace na návětrné straně, eroze na závětrné straně
- $L \leq 10\text{m}$

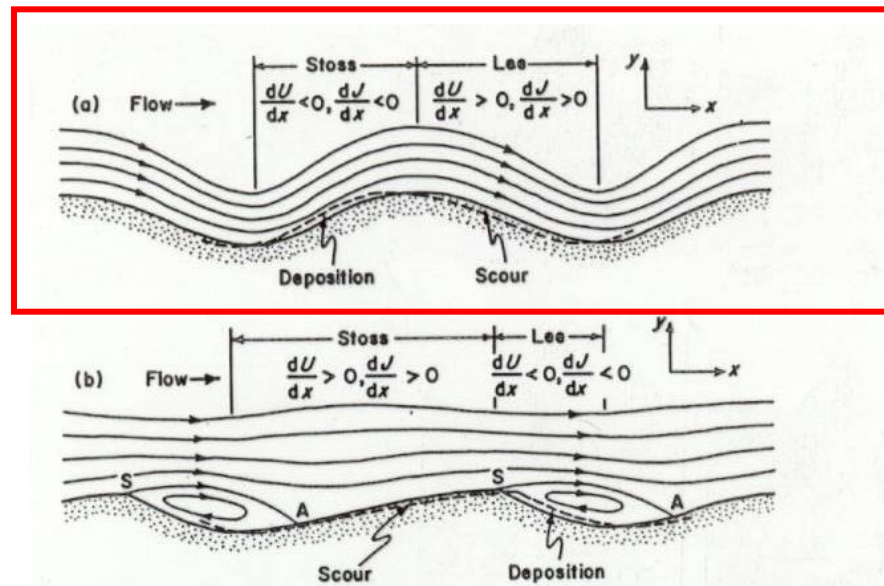


Fig. 7-2. Schematic representation of flow and sediment transport over (a) antidunes, and (b) current ripples and dunes. U =mean flow velocity; J =sediment transport rate.

Soustavy dun (čeřin)

Dělení podle úhlu vertikální akrece (rychlosti sedimentace)

- Superkritické : úhel vertikální akrece (šplhání) > sklon náběhové hrany
- Subkritické : úhel vertikální akrece (šplhání) < sklon náběhové hrany

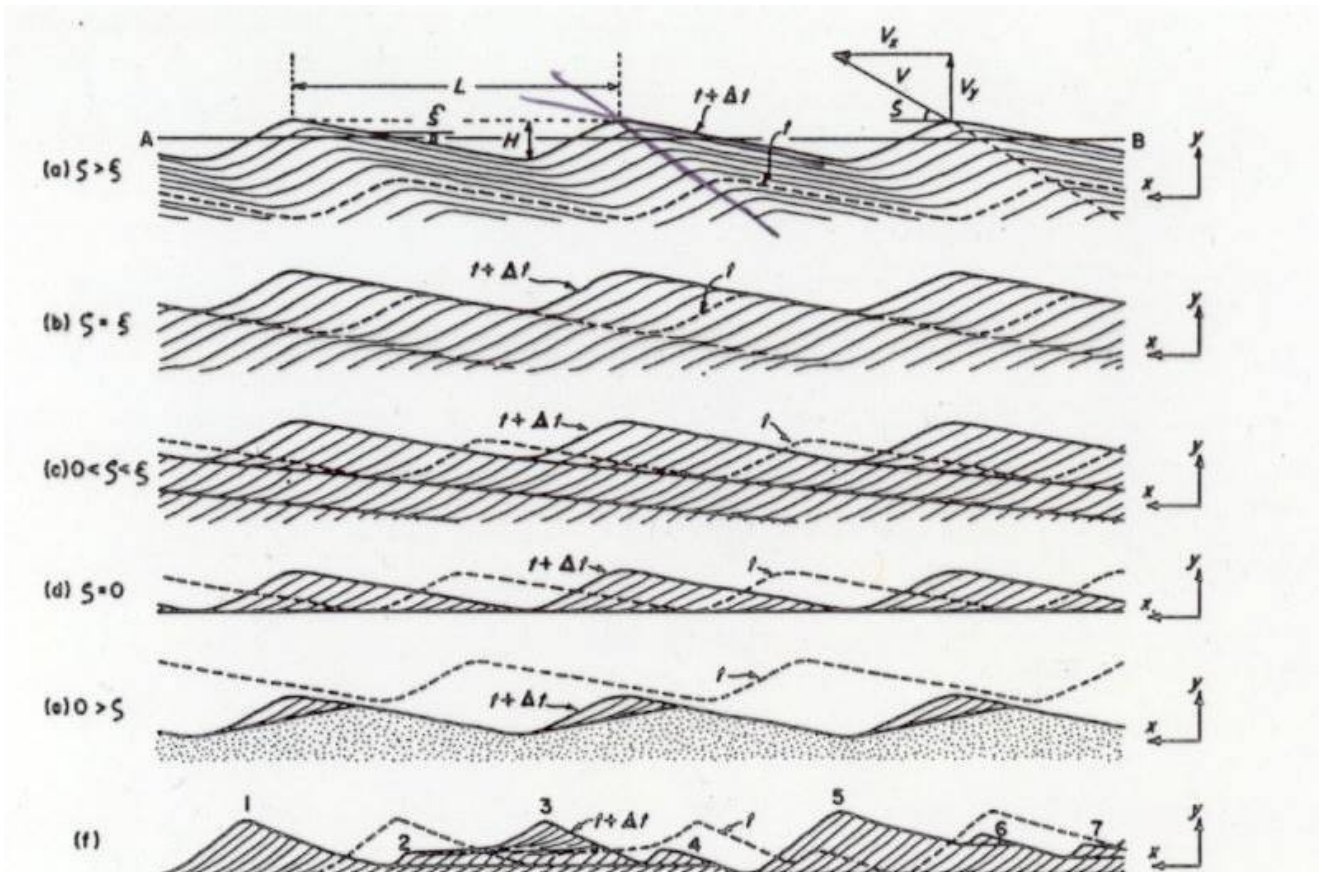


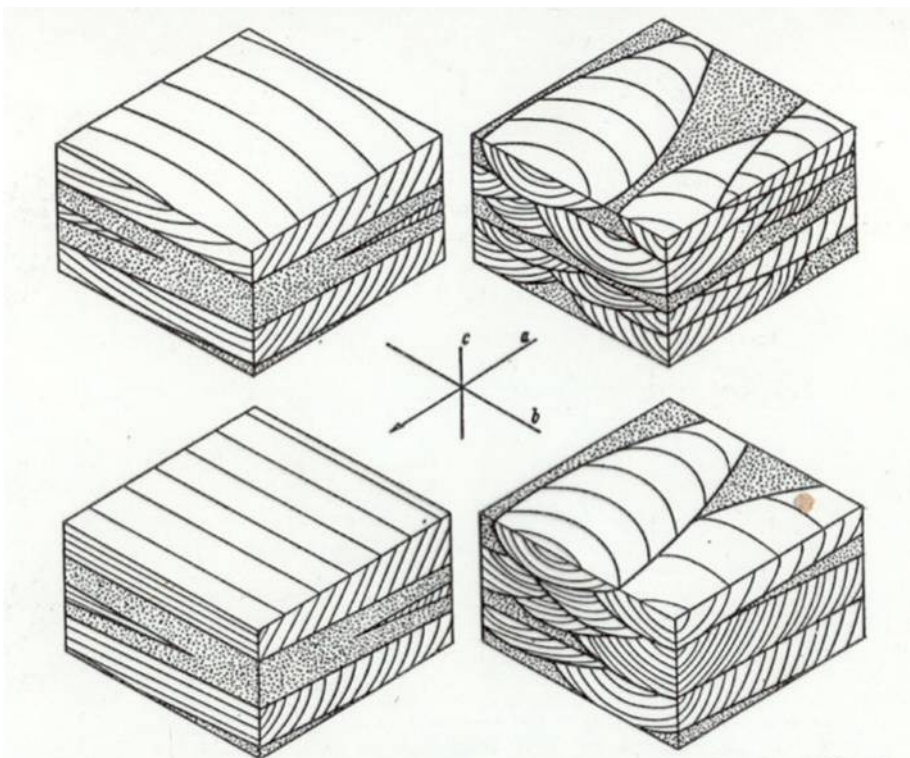
Fig. 9-5. Effect of angle of climb (relative deposition rate) on the steady migration of uniform bedforms.

Šikmé zvrstvení: soustavy čeřin (dun)

Šikmé zvrstvení: laminy \wedge k vrstevním plochám

Dělení podle tvaru mateřského vrstevního tvaru
(dun, čeřiny)

- Planární
- Výmolové



55. Dva hlavní typy šikmého zvrstvení. Vlevo planární zvrstvení, vpravo výmolové. Uprostřed osnī kříž, který značí standardní označení os. Podle Pottera a Pettijohna (1963).

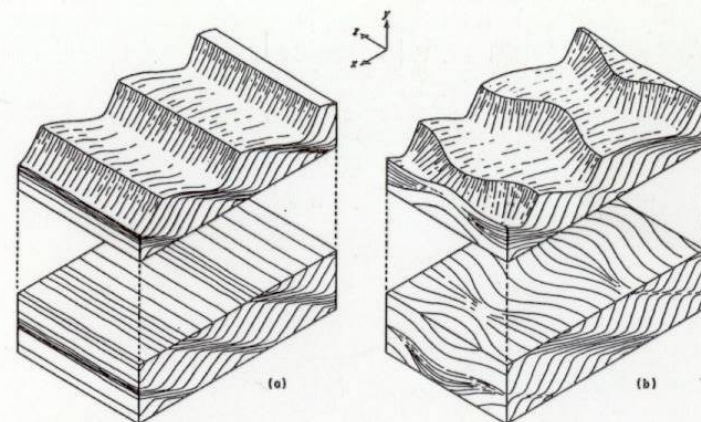


Fig. 9-13. Schematic forms of supercritical cross-stratification in relation to the shape of the parent bedforms.

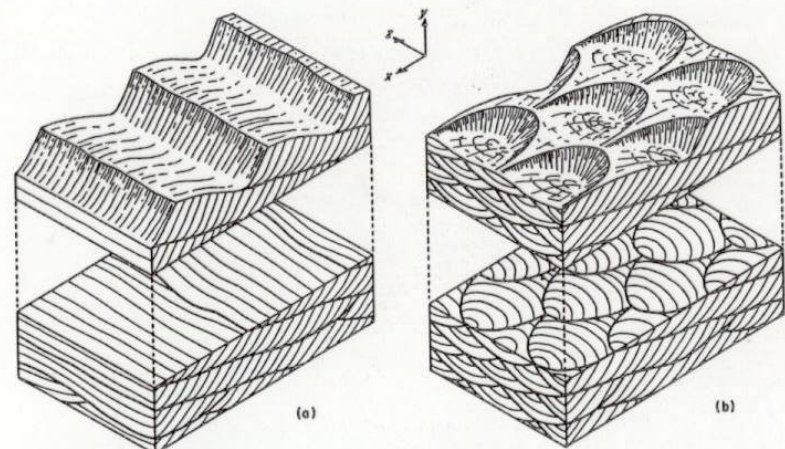


Fig. 9-9. Schematic forms of subcritical cross-stratification in relation to the shape of the parent bedforms.

Symetrické (vlnové) čeriny

Protisměrná oscilace vodních částeček v důsledku vlnění na hladině

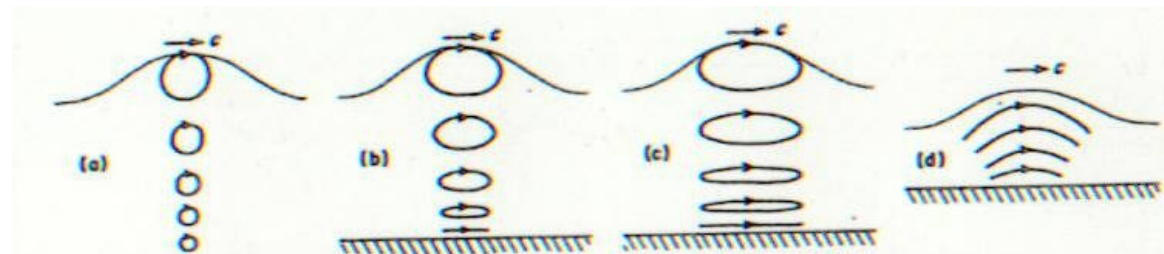


Fig. 1-19. Water-particle orbits beneath progressive surface waves of different types. a. Deep-water waves. b. Waves on water of intermediate depth. c. Shallow-water waves. d. Solitary wave.

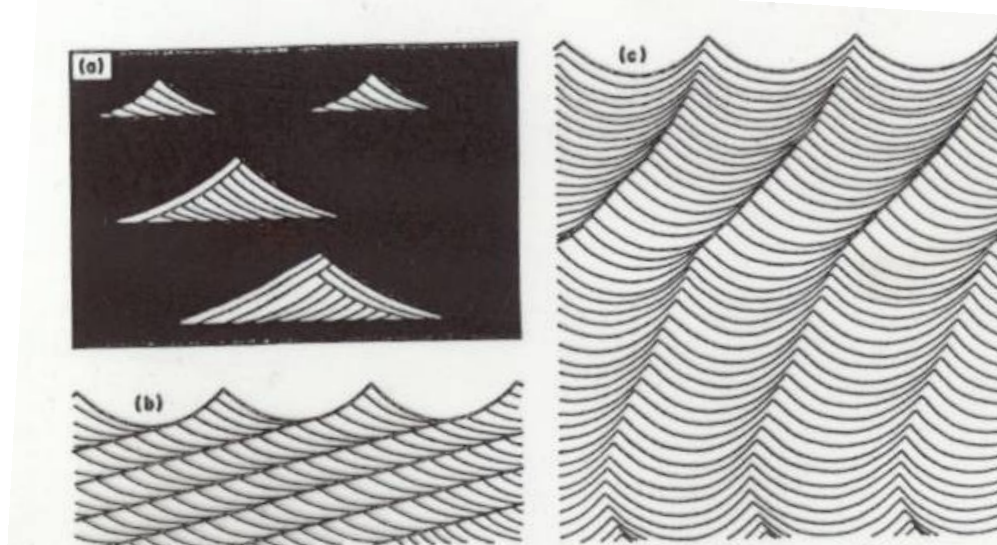
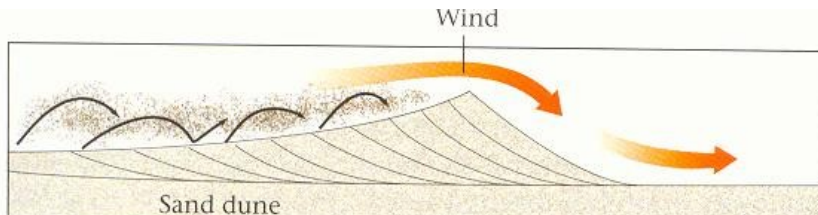
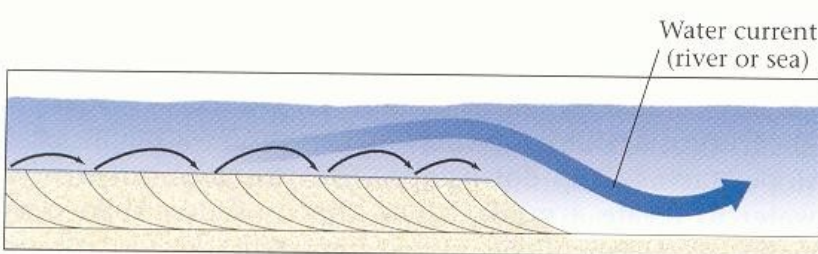


Fig. 11-6. Some kinds of cross-stratification associated with wave-related ripple marks. a. Form sets embedded in mud. b. Subcritical climbing sets. c. Supercritical climbing sets. All examples shown in vertical profile perpendicular to ripple crests.

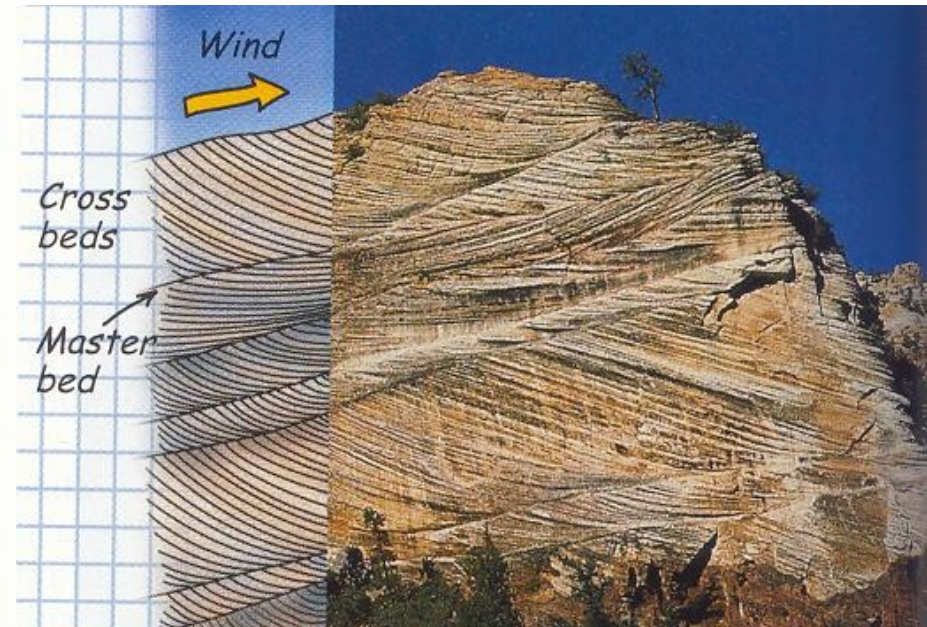
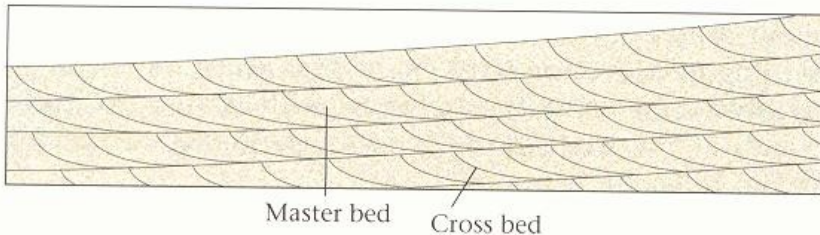
Šikmé zvrstvení: geneze



(a)



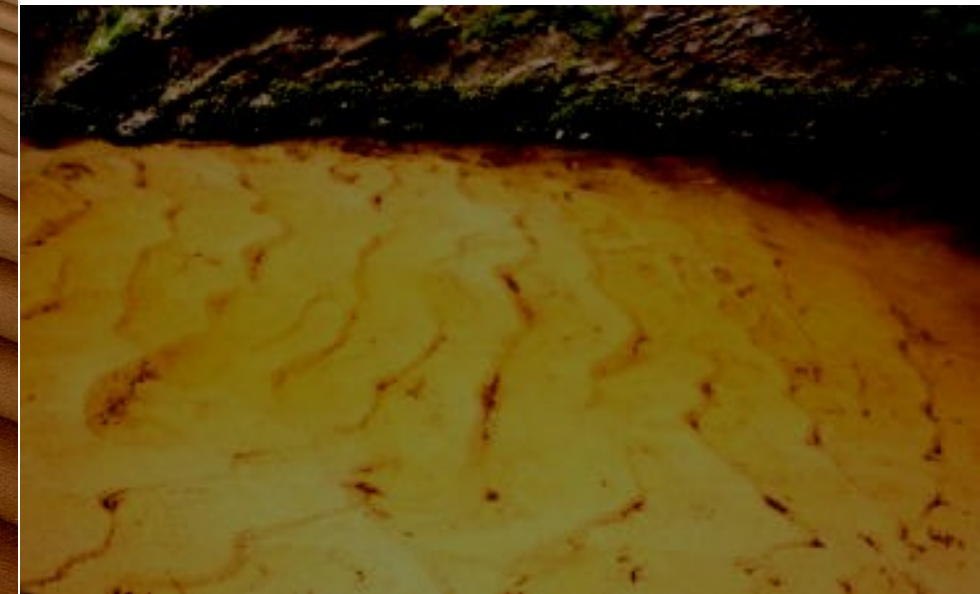
(b)







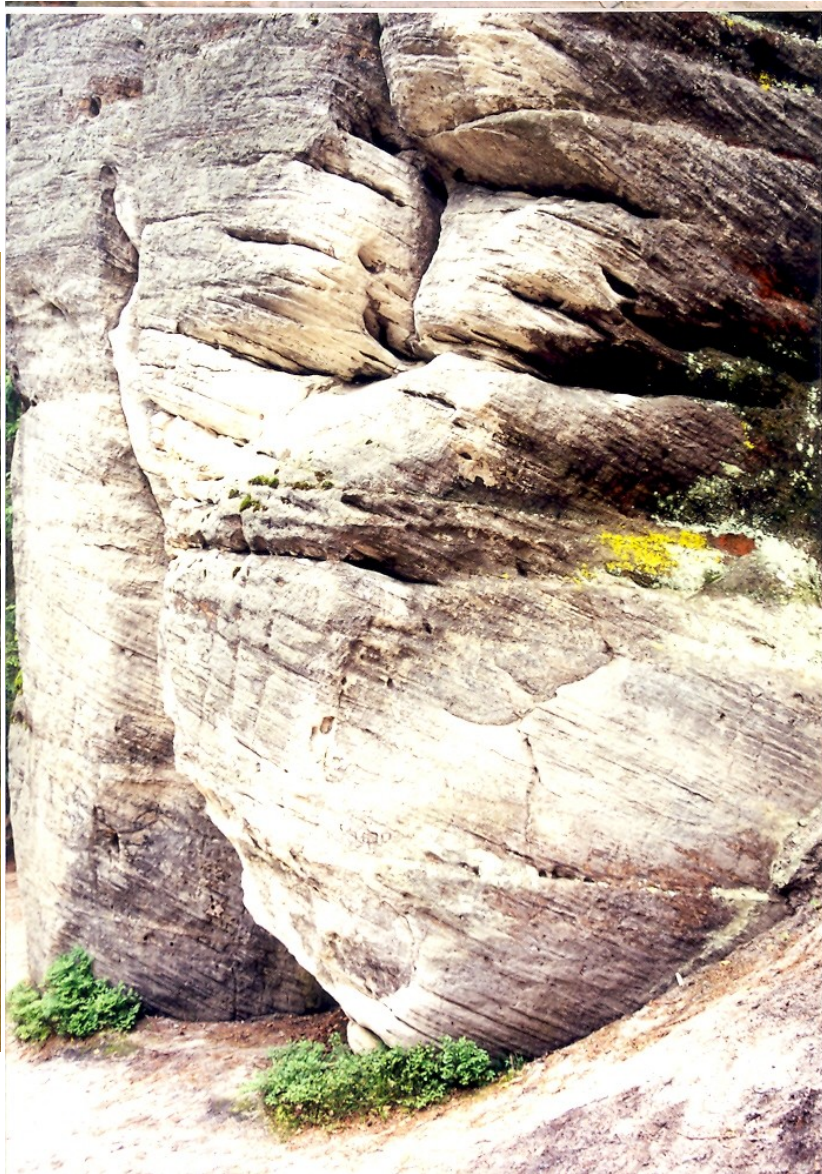
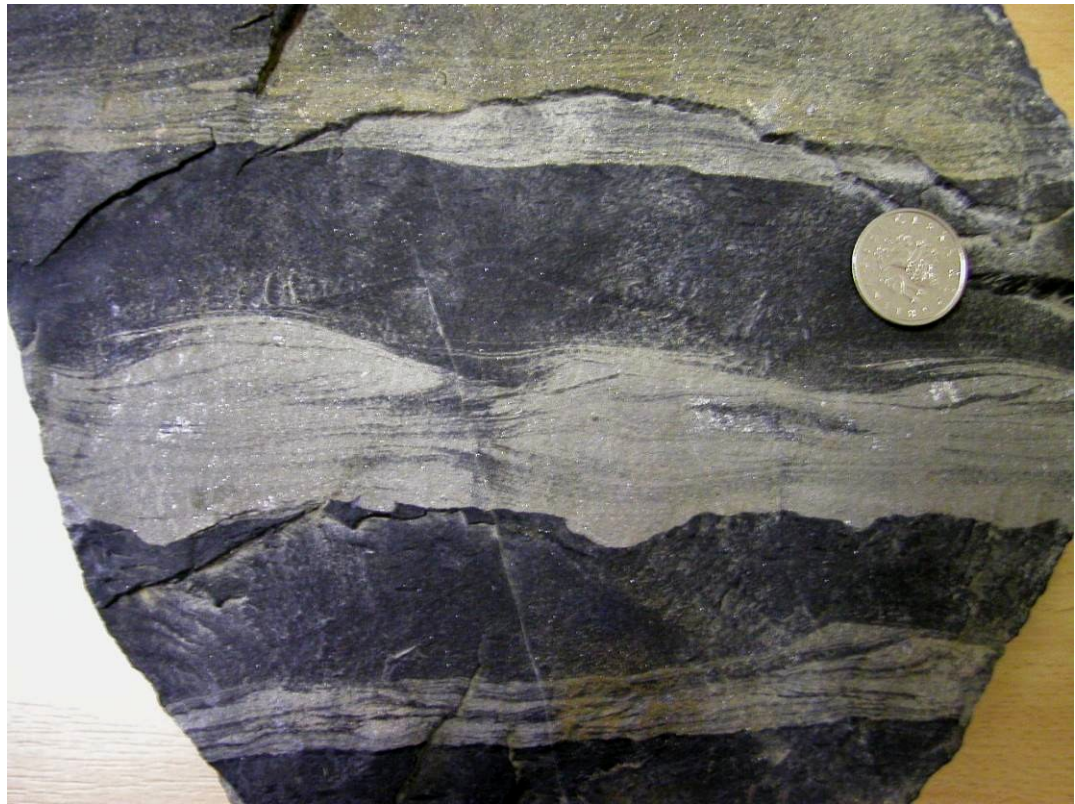
Proudové čeřiny











Vlnové čeřiny







© 2001 Dawn Sumner, UC Davis





Storm cross stratification: a mix of hummocky cross stratification and wave ripples, Belt Supergroup, Canada



©2005 DYSumner, UC Davis





Textury na vrstevních plochách

zachovalé vrstevní tvary

čeřiny

proudové textury

Jazykovitý tvar, spodní plochy vrstev, výlitky, směr proudění

Turbulentní proudění, eroze nezpevněného podloží, vyplnění nadložním sedimentem

vlečné rýhy

Spodní plochy vrstev, výlitky, směr proudění

bahenní praskliny

Vysoušení jemnozrnného sedimentu

rychlé odvodnění sedimentu pod hladinou

otisky dešťových kapek

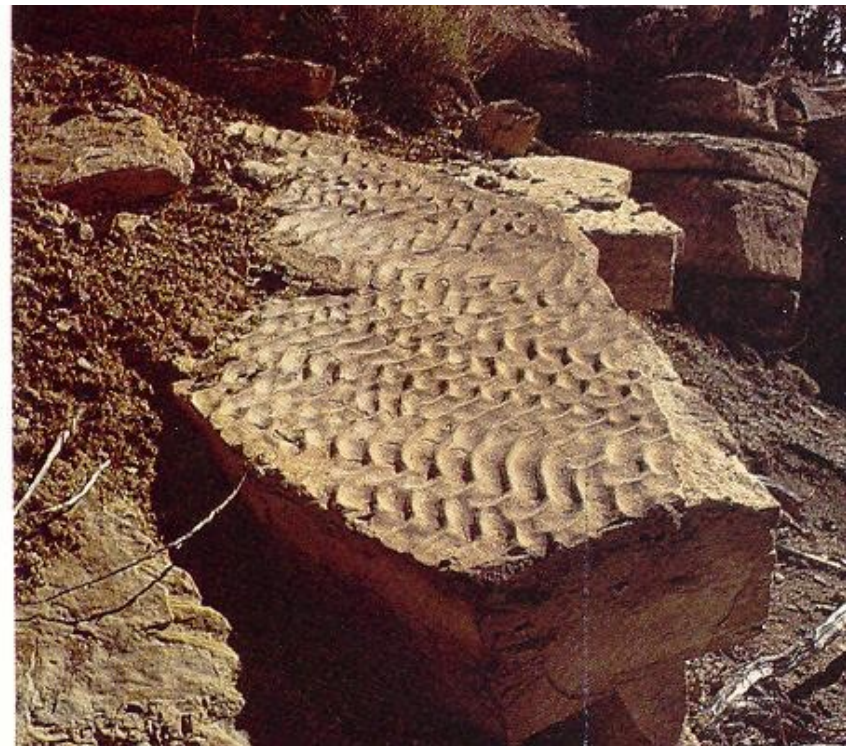
Biogenní textury (bioglyfy)

Čeřiny (*ripple marks*)

Nesoudržný sediment

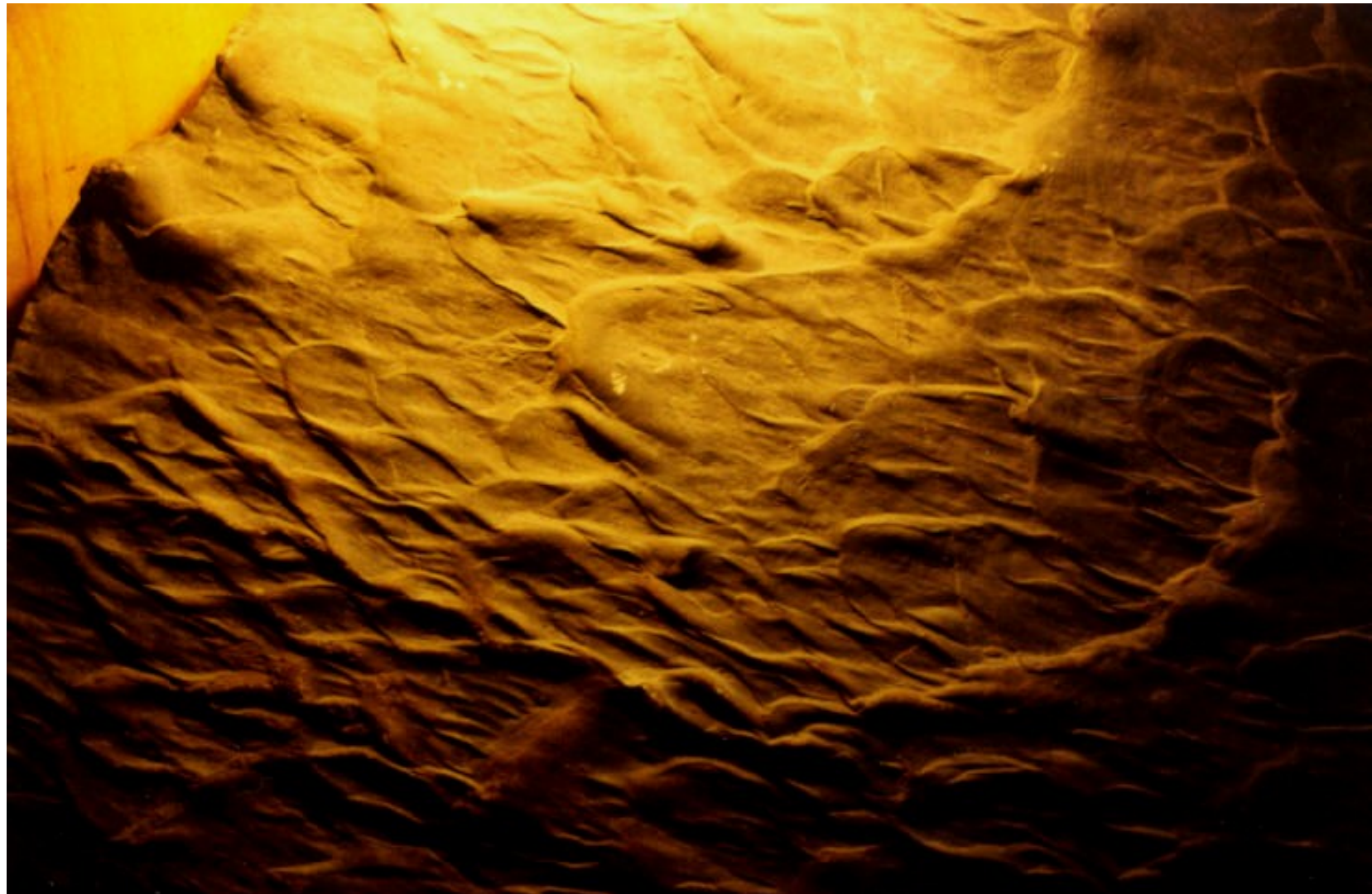


Zpevněná hornina





Proudové stopy





Vlečné rýhy



Prod marks ("rýpance")





Bahenní praskliny





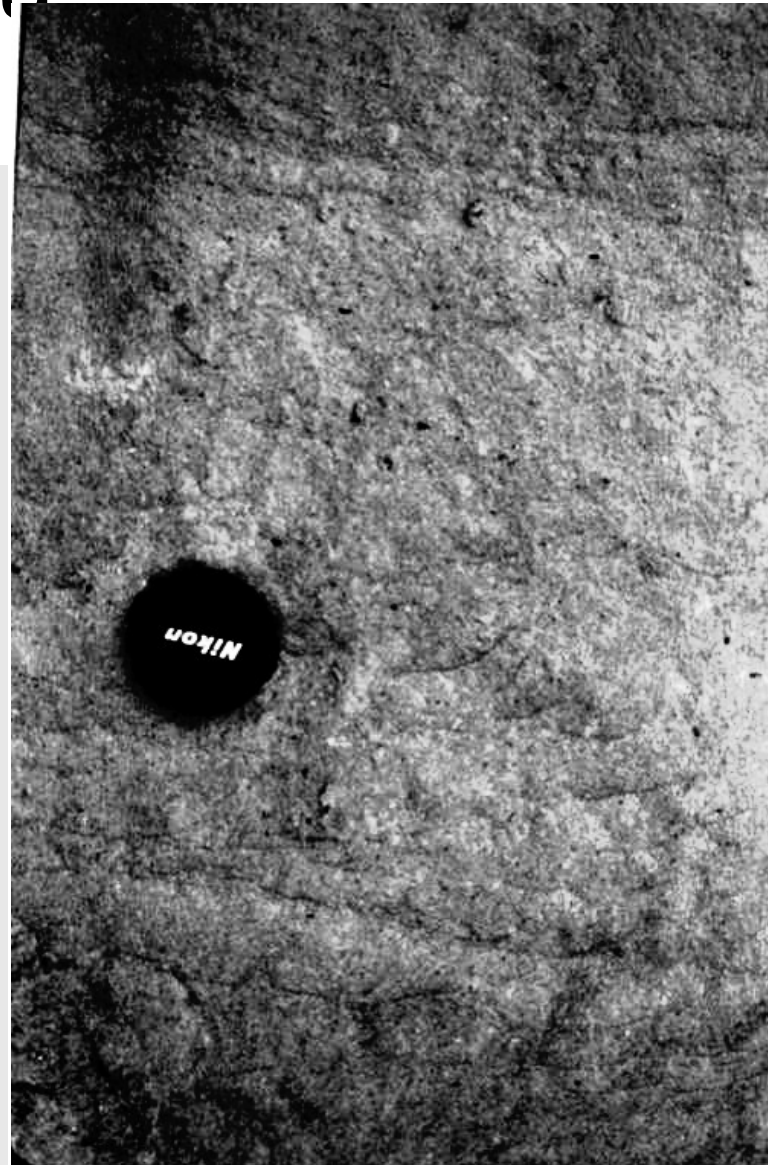


© 2001 Dawn Sumner, UCDavis

Mudcracked surface of a Neoproterozoic mudstone

Textury vzniklé únikem vody ze sedimentů

- Miskovité textury
- Pilířové textury
- Písčité vulkány
- Tepee textury

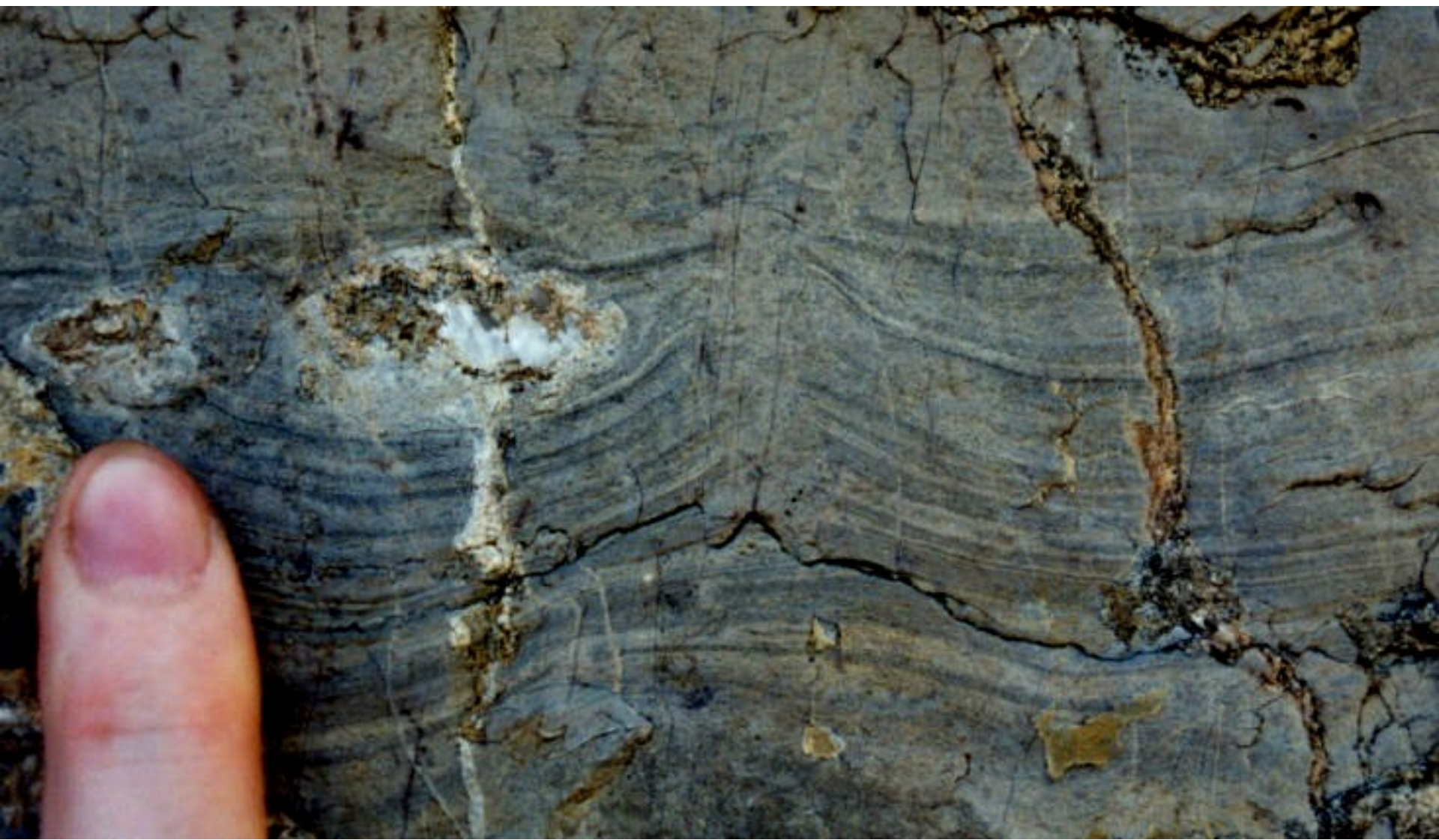






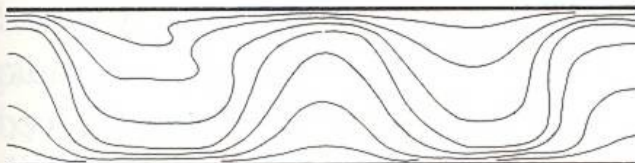
- Sand volcanoes (písčité vulkány)

Tee-pee struktury

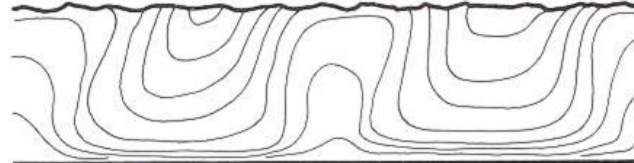


Konvolutní zvrstvení

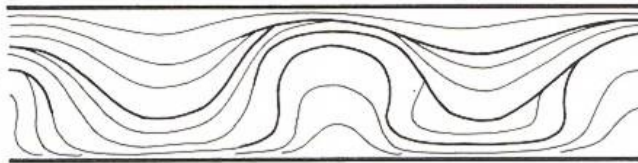
(a) Postdepositional convolute lamination



(b) Metadepositional convolute lamination

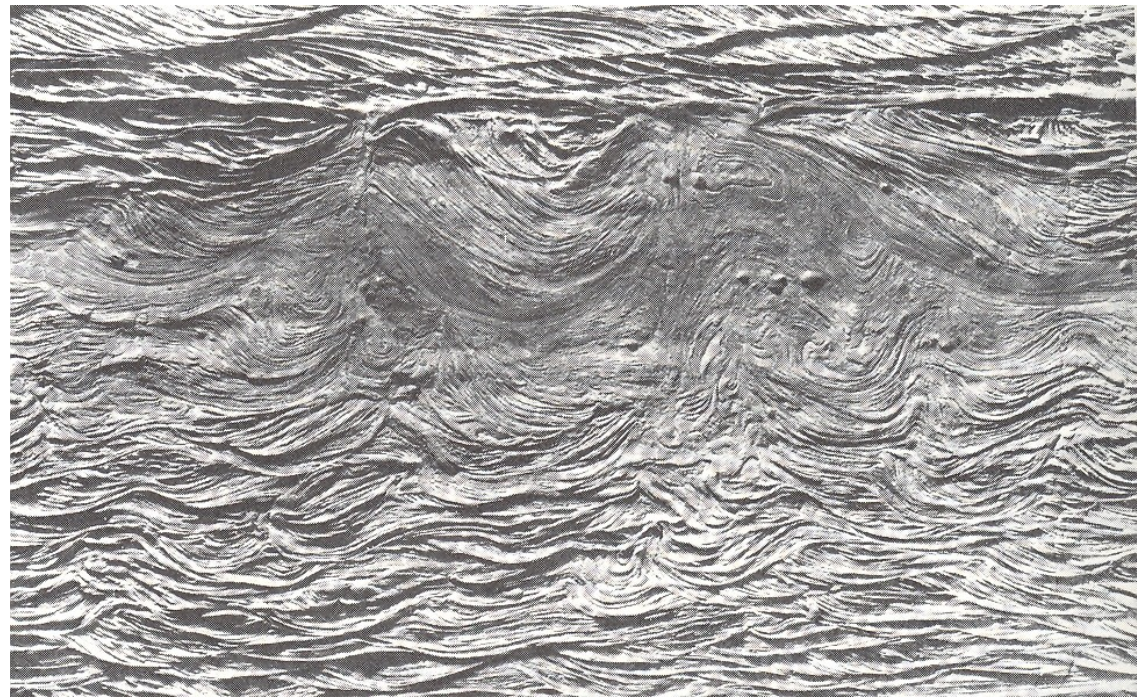


(c) Syndepositional convolute lamination



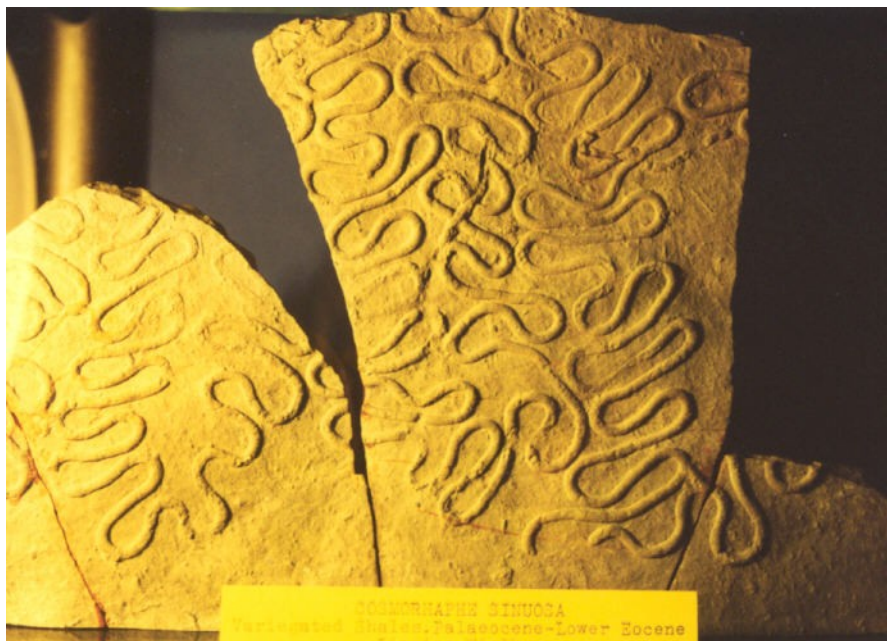
- Plastic deformation of fine-grained granular mixtures by the momentum of hyperpycnal turbidity currents flowing over the layer (most commonly hyperpycnal turbidite current)

- postdepositional
 - syndepositional





Biogenní textury



Biogenní textury



Dinosaur footprint in limestone



Různé



Sedimentární petrografie sedimentární struktury

Struktura – vztahy mezi zrny, zpravidla mikroskopické měřítko

- **Velikost zrna**
- **Tvar zrna**
- **Vytrídění**
- **Porozita**
- **Permeabilita**

Velikost zrna (zrnitost)

Wenworthova zrnitostní klasifikace

$$\Phi = -\log_2 d ; \quad d = \text{průměr zrna v mm}$$

- Velikost a hustota klastů generovaných během zvětrávání ve zdrojové oblasti
- unášecí, abrazní a třídící schopností transportního média

TABLE 12.2 Wentworth Size Grades and the Φ Scale

Φ	Wentworth Scale	Grain Size Names	Group S Rock Names	Texture
-8	256 mm	Boulders	Gravel	Epiclastic ruditic
-6	64 mm	Cobbles		
-2	4 mm	Pebbles		
-1	2 mm	Granules		
0	1 mm	Very coarse sand		
1	1/2 mm	Coarse sand	Sandstone (arenite, wacke)	Epiclastic arenitic
2	1/4 mm	Medium sand		
3	1/8 mm	Fine sand		
4	1/16 mm	Very fine sand		
8	1/256 mm	Silt	Siltstone, shale, mudstone, claystone	Epiclastic lutitic
-	-	Clay		
Sources: Modified from C. K. Wentworth (1922), Krumbein (1934), McManus (1963).				

Zjednodušená Wenworthova klasifikace

oblázky

zrnka

velmi hrubozrnný

hrubozrnný

písek

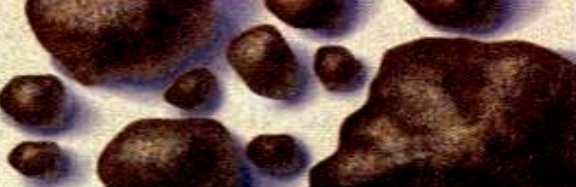
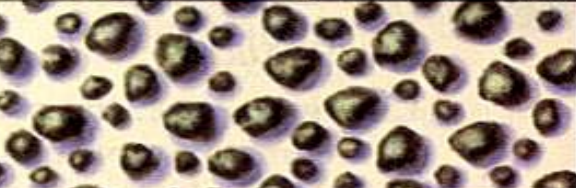
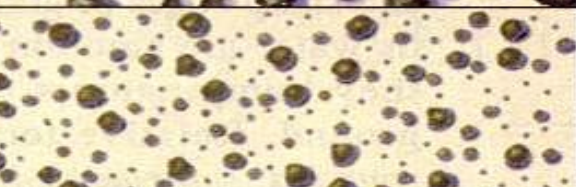
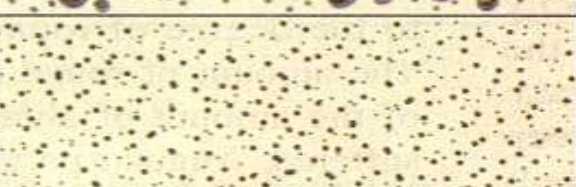
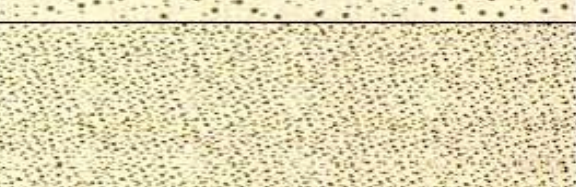
středně zrnitý

jemnozrnný

velmi jemnozrnný

prach (silt)

jíl

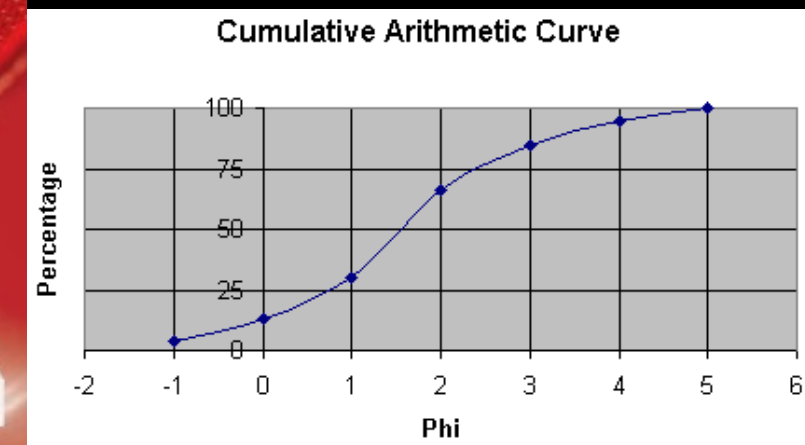
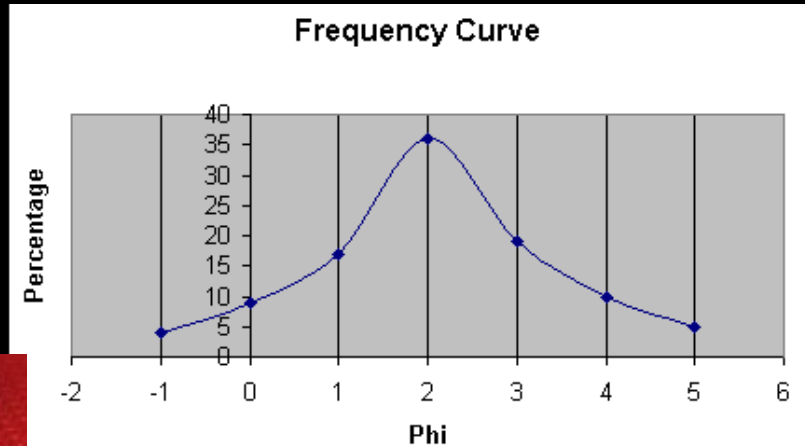
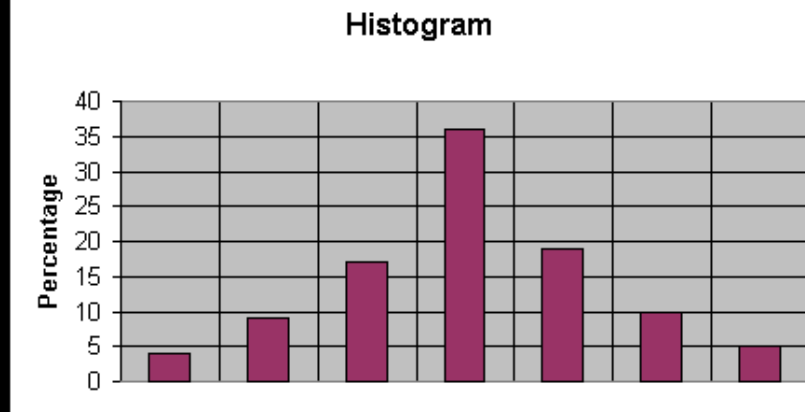
Pebbles 4–64 mm	
Granules 2–4 mm	
Coarse sand 0.5–2 mm	
Medium sand 0.25–0.5 mm	
Fine sand 0.06–0.25 mm	
Silt 0.004–0.06 mm	
Clay < 0.004 mm	

Vytrídění

- Kvalitativní odhad

Gaussovy křivky, kumulativní křivky

- vytrídění a velikost klastů generovaných během zvětrávání ve zdrojové oblasti
- abrazní a třídící schopnosti transportního média (vítr, voda, led)



(2) Stupeň vytrídění



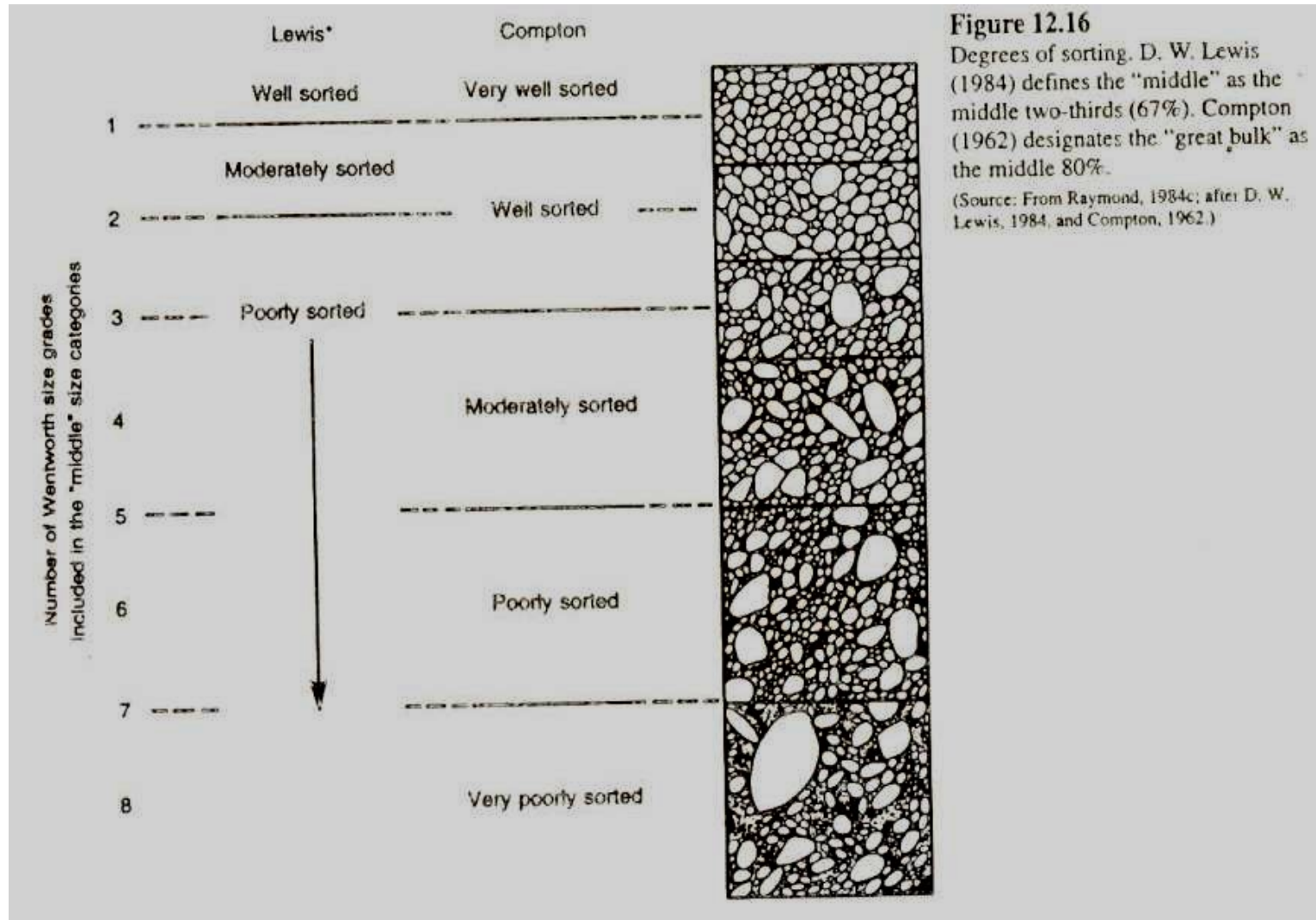
Well-sorted sand



Poorly sorted sand

Vytrídění: Míra podobnosti velikostí zrn ve vzorku horniny

Vytřídění: kvalitativní odhad



Velmi dobře vytříděný

Dobře vytříděný

Mírně vytříděný

Špatně vytříděný

Velmi špatně vytříděný

Tvar zrna

- **Tvar zrna je určený :**
 - Krystalizací z magmatu nebo vodného roztoku (tvar krystalů, tabulkový, sloupcovitý, apod.)
 - Vulkanogenní činností (pyroklastika – lapilli, prach, popel, písek, velmi nepravidelný)
 - Zvětráváním hornin (nepravidelný tvar – zaoblení, koule, trojosý elipsoid)
 - Organickou aktivitou (schránky, ooidy, klacíky, apod. – koule, válec, destičkovitý tvar)

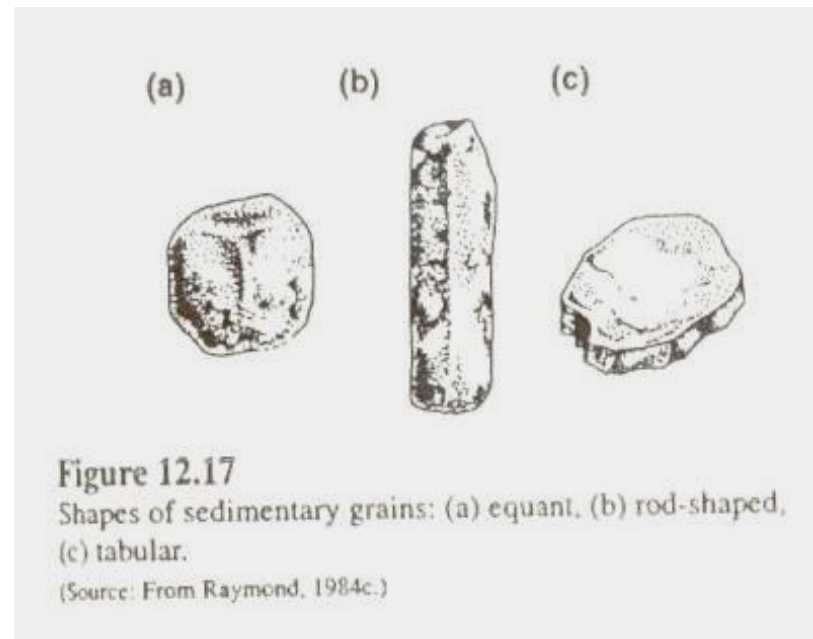


Figure 12.17

Shapes of sedimentary grains: (a) equant, (b) rod-shaped, (c) tabular.

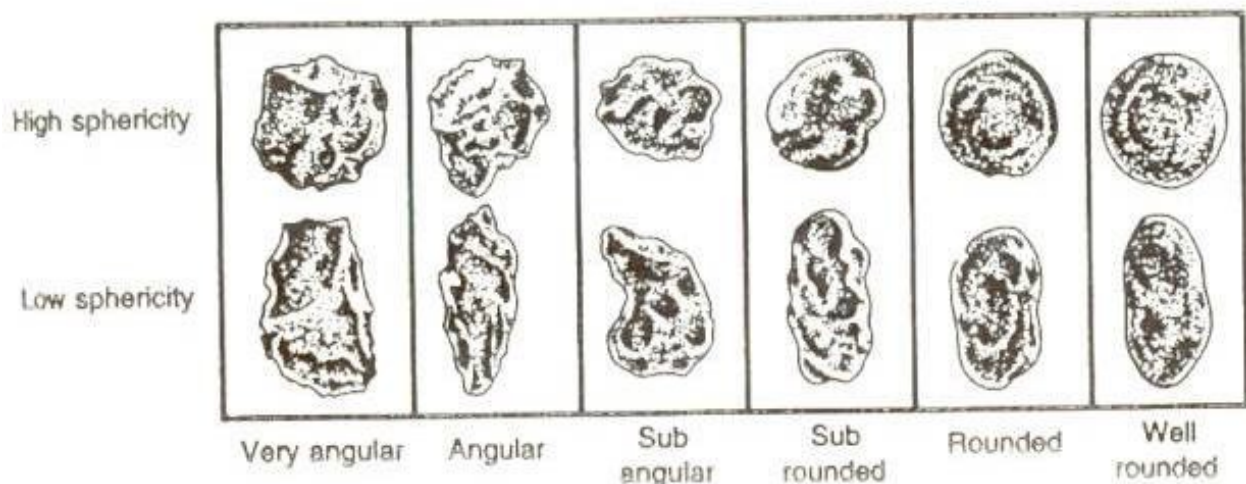
(Source: From Raymond, 1984c.)

Forma – (celkový tvar) – izomorfní, tabulkovitý, tyčovitý

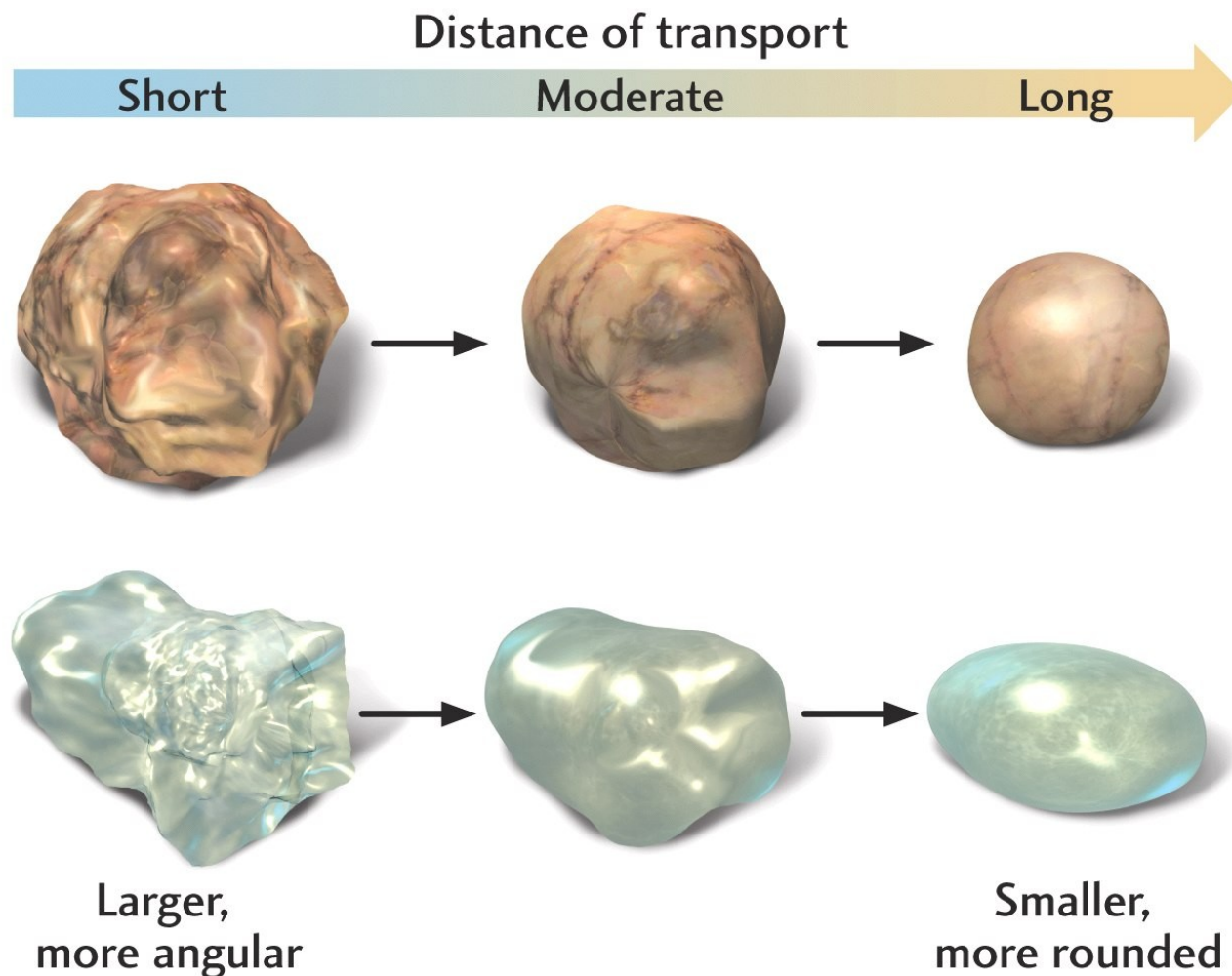
Sféricita – jak moc se zrna tvarově blíží kouli

Zaoblení – míra zakřivení hran zrna → více = angulární, méně = zaoblený
Vizuální odhad

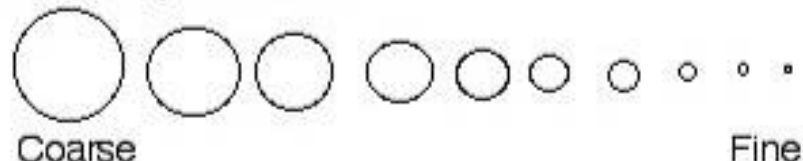
Povrchová mikrostruktura



(3) Zaoblení nebo ostrohrannost je funkcí délky transportu



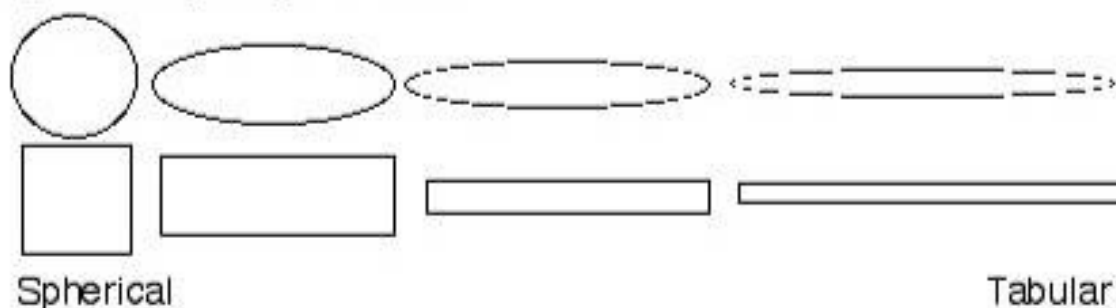
Size of particles



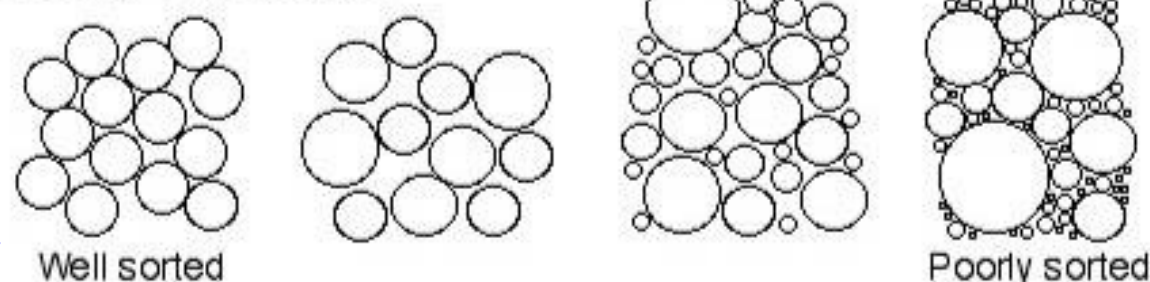
Rounding or angularity of particles



Sphericity of particles



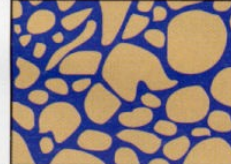
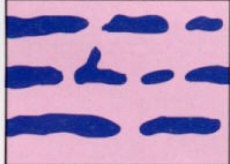
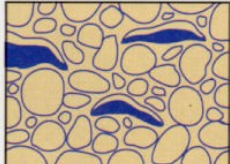
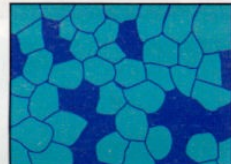
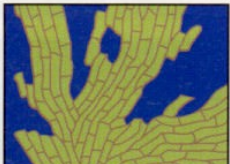
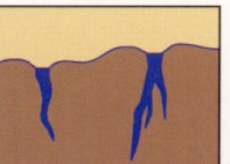
Sorting of particles



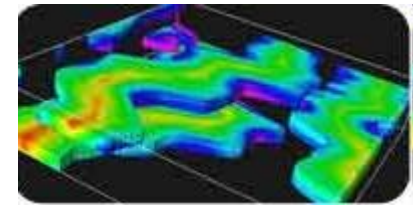
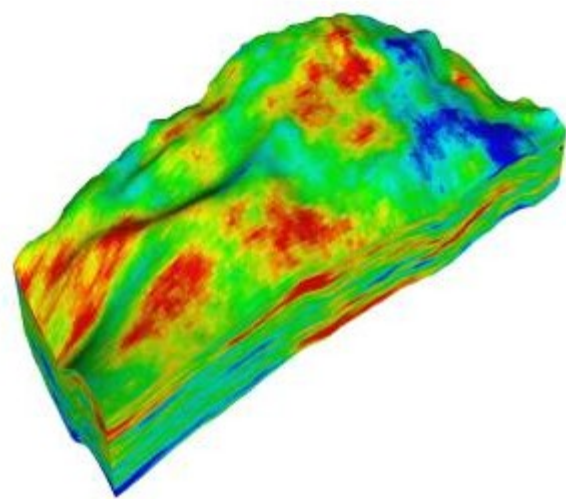
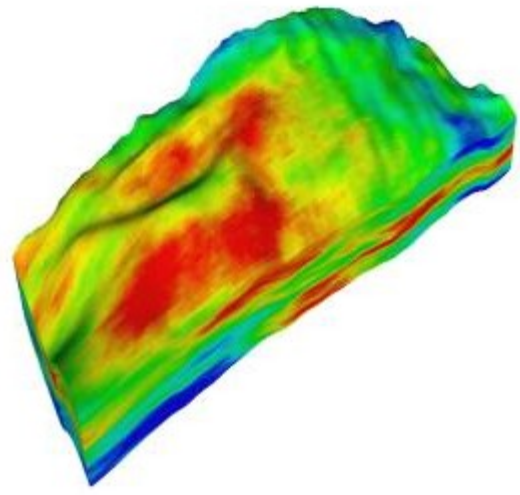
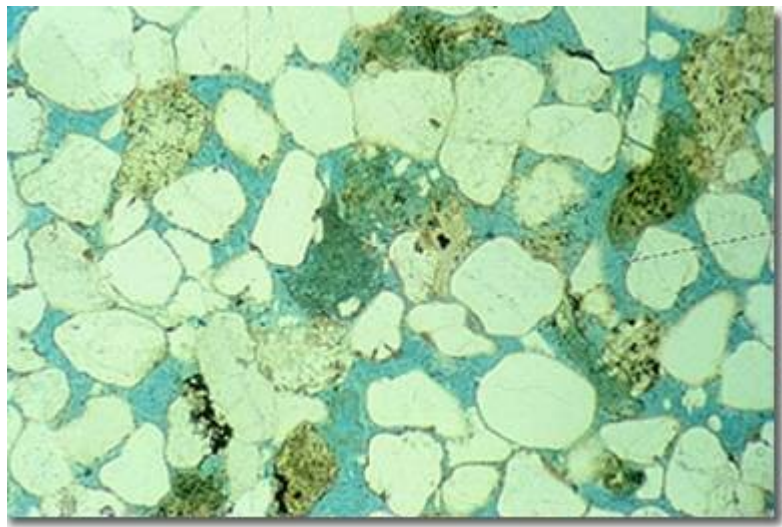
Porozita a permeabilita

Porozita

- Objem prostor vyplněných plynem nebo kapalinou (pórů) vůči celkovému objemu horniny
- **Intergranulární**
- **intragranulární**
- **puklinová**
- **Kavernózní**
- **Moldická**
- **interkrytalinní**
- **Brekciiovitá**
- atd.

Fabric-selective	Non-fabric-selective	Fabric-selective or not
 Interparticle	 Fenestral	 Fracture
 Intraparticle	 Shelter	 Channel
 Intercrystal	 Growth framework	 Vug*
 Mouldic		 Cavern*
		 Shrinkage

* Cavern applies to human sized or larger pores of channel or vug shapes



Klasifikace sedimentů

Typy materiálu v sedimentárních horninách

- **Fragmenty (klasty) převážně silikátových minerálů a hornin (zpravidla derivované z oblastí mimo depoziční pánev)**
 - *Stabilní minerály*
křemen, jílové minerály – kaolinit, smektit, illit, karbonáty (kalcit, dolomit), chalcedon, zirkon, muskovit, hematit
 - *Nestabilní minerály*
živce, chlorit, biotit, aragonit, magnetit, ilmenit, granát, titanit, epidot
 - *Litické fragment*
úlomky jiných hornin
- **Chemické a biochemické precipitáty, (zpravidla vytvořeny uvnitř sedimentační pánve)**
 - kalcit, aragonit, dolomit, opál, chalcedon, křemen, halit, sádrovec, anhydrit, goethit, apatit
- **Alochemie – fragmenty (klasty) dříve vytvořených precipitátů, fosílie, ooidy, organický materiál, fragmenty chemických a biochemických precipitátů (zpravidla vytvořeny uvnitř depoziční pánve)**
 - kalcit, aragonit, dolomit, opál, chalcedon, křemen, halit, sádrovec, anhydrit, goethit, apatit

Klasifikace sedimentů podle materiálu

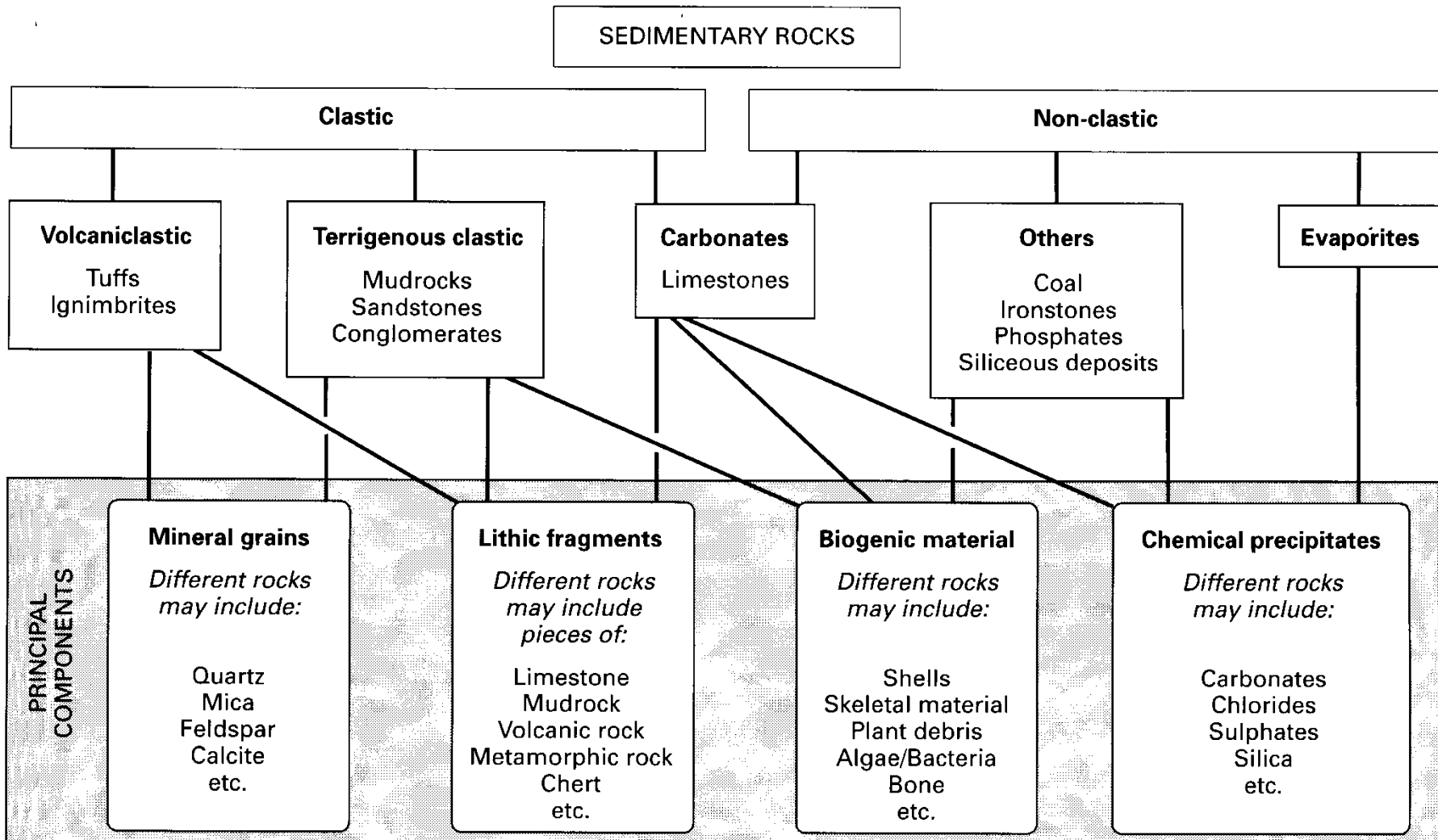
Klastické

- siliciklastické (skupina S, siliciklastika)
- vulkanoklastické

Chemogenní nebo cementační (skupina P, precipitáty)

Biogenní nebo organogenní

- skupina A, alochemické horniny
- kaustobiolity



Klastické sedimenty

Psefity

Psamity

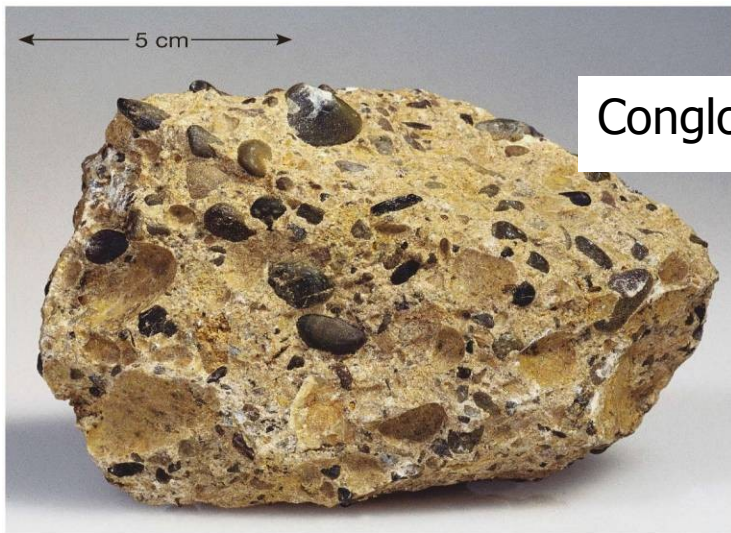
Aleurity

Pelity

Klasifikace klastických sedimentů podle převládající velikosti částic

Velikost částic	Petrografické označení			Vulkanoklastika		Vápence	Reziduální horniny
	latinské	řecké	české				
Nad 256 mm	psefit	rudit	štěrk	balvanitý	vulkanické balvany a bloky, blokové a balvanové tufy,	kalcirudit	úlomková rezidua
64-256				hrubozrnný	vulkanické kameny a aglomerátové tufy		
8-64				střednozrnný	lapilli, lapiltové tufy		štěrková rezidua
2-8				drobnozrnný	lapilli, lapiltové tufy		
1-2 mm	psamit	arenit	písek	velmi hrubozrnný	pískový tuf, vulkanický písek	kalciarenit	písková rezidua
0,5-1				hrubozrnný			
0,25-0,5				střednozrnný			
0,125-0,25				jemnozrnný			
0,062-0,125				velmi jemnozrnný			
0,004-0,062	alenrit	lutit	prach		vulkanický popel, popelový tuf, sopečný prach	kalcilutit	jílová rezidua
> 0,004	pelit		jíl		velmi jemný vulkanický popel, sopečný jíl		

Detrital sedimentary rocks- classified by grain size differences



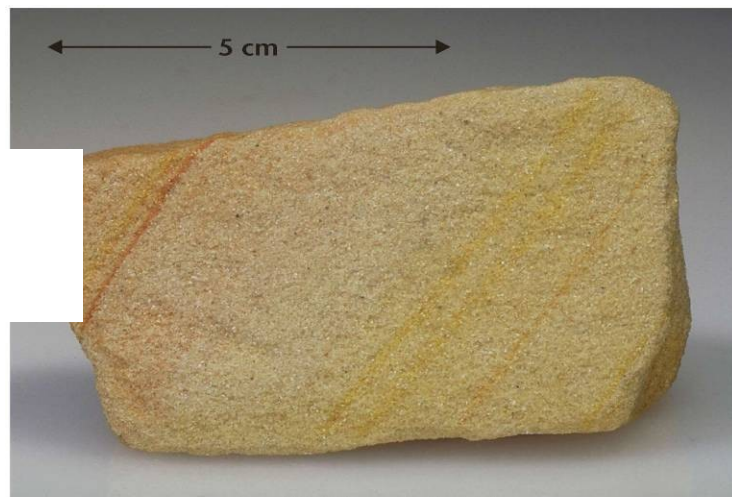
Conglomerate



Breccia



Sandstone



Shale

All these rocks have *clastic* textures – the rocks are composed of particles (fragments) that are cemented together

Psefity

Základní charakteristika

- > 50% (nezpevněné) / 25% (zpevněné) / 10% (zpevněné) klastů > 2 mm v α -ose
- **Konglomeráty** (zaoblené), **brekcie** (nezaoblené klasty)

Klasifikace podle zpevnění

- zpevněné – slepenec, brekcie
- nezpevněné – štěrk

Klasifikace podle podílu klastů > 2 mm a matrix < 2 mm

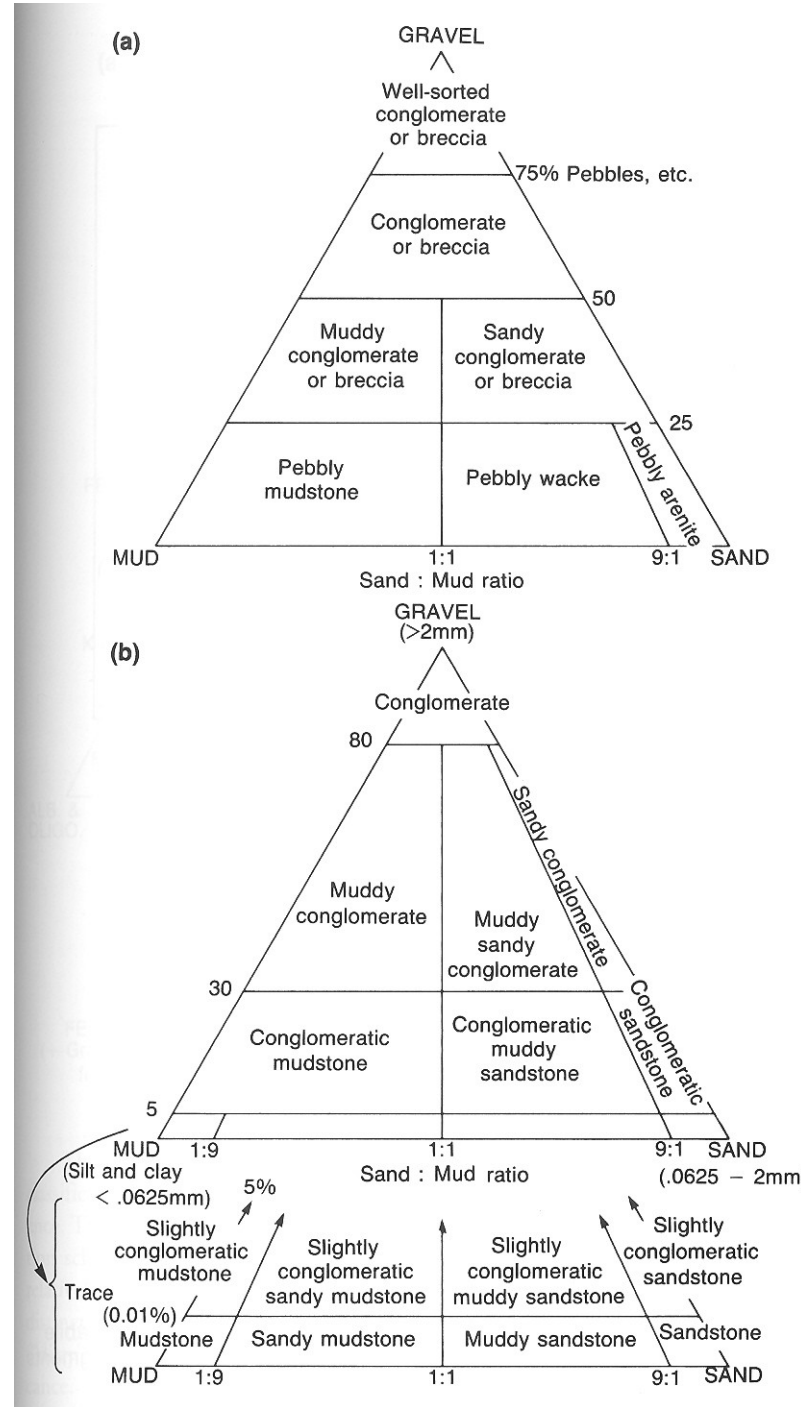
- s podpůrnou strukturou klastů > 50% klastů (> 2 mm)
- s podpůrnou strukturou matrix > 50% matrix (< 2 mm)

Klasifikace podle složení klastů > 2 mm

- **monomiktní** – (převaha klastů stabilních hornin nebo minerálů > 2 mm – křemen, kvarcit, silicit) – adjektivum „křemenný“
- **polymiktní** (= petromiktní) – (> 10% klastů nestabilních materiálů – hornin > 2 mm)

Klasifikace podle velikosti

- drobnozrnný (2-10mm)
- střednozrnný (10-50mm)
- hrubozrnný (50-250mm)
- balvanitý (> 250mm)



Brekcie

- Brekcie jsou zpevněné horniny ze skupiny *psefitových sedimentů*. Velikost úlomků (klastů) je větší než 2 mm. Valouny, z nichž zpevněním (diagenezí) brekcie vznikaly, neprodělaly žádný nebo jen minimální transport, a proto jsou *ostrohranné*.
- Brekcie lze rozdělit podle geneze na endogenní a exogenní.
 - *endogenní brekcie* : vulkanické (také lávové nebo intruzívni) brekcie a *dislokační*, vznikající při tektonických procesech.
 - *Exogenní brekcie* se dále dělí podle vzniku do čtyř skupin:
 - vzniklé mechanickými procesy na souši – brekcie vytvářejí zpevněné skalní sutě, pouštní rezidua apod.;
 - vzniklé mechanickými procesy ve vodním prostředí např. při podmořské erozi, skluzu, příboji apod.;
 - vzniklé fyzikálně-mechanickými procesy např. v krasových oblastech nebo při rozpouštění na solných ložiskách;
 - vzniklé biogenními procesy, při nichž se brekcie vytvářejí např. stmelením úlomků kostí.
- Podle *mineralogického složení klastů*
 - *Monomiktní brekcie* je tvořena úlomky pouze jediného minerálu nebo horniny a lze ji v tomto případě přesněji pojmenovat – např. vápencová nebo dolomitová brekcie.
 - *Oligomiktní brekcie*: skládá se ze dvou sobě blízkých typů klastů (např. křemen a křemenem bohaté horniny)
 - *Polymiktní (petromiktní)* - tvořena rozmanitými úlomky minerálů a hornin (3, 4 i více typů klastů)
- Podle podílu klastů nad 2 mm
 - *s valounovou podpůrnou strukturou*
 - *s podpůrnou strukturou matrix*

Brekcie



Obr. 3.1.2 Brekcie vulkanická, Děče u Křivoklátu



Konglomeráty (slepence)

Konglomeráty: úlomky prodělaly delší transport, a tak jsou subangulární až oválné.

Řada slepenec – pískovec

ŠTĚRK : slepenec -50- písčitý slepenec -25- valounový pískovec -10- pískovec : **PÍSEK**

Základní hmota (matrix) konglomerátů mohou tvořit také psamitické, aleuritické i pelitické součásti. Matrix má nejčastěji povahu pískovců, arkóz a drob, ale může obsahovat také tmel (např. křemičitý, karbonátový aj.).

Dělení podle mineralogického složení **klastů**

- *Monomiktní*
- *oligomiktní*
- *Polymiktní (petromiktní)*

Klasifikace podle podílu klastů > 2 mm a matrix < 2 mm

- s podpůrnou strukturou klastů > 50% klastů (> 2 mm)
- s podpůrnou strukturou matrix > 50% matrix (< 2 mm)

Značný význam ve stratigrafii mají tzv. **bazální slepence**, spočívající na bázi transgresivní sedimentární série a jsou podkladem série dalších sedimentů. Pomocí nich je možné určit relativní stáří hornin.

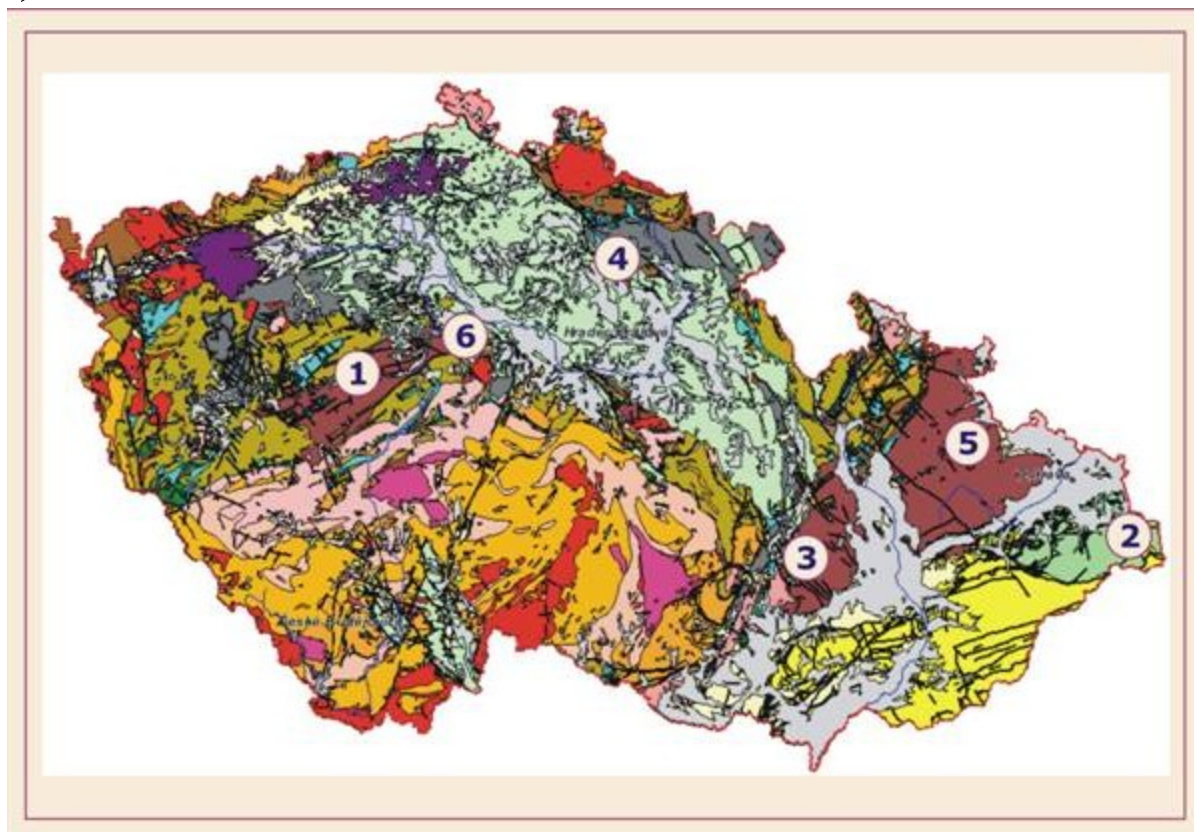




Close up

Regionální rozšíření

- Konglomeráty se nacházejí např. v brdském a příbramském kambriu, namuru ostravsko-karvinského revíru, bazálních polohách moravského devonu, v barrandienském kambriu a ordoviku, v Podkrkonoší, u českého Brodu, v moravském kulmu.



Psamity

Základní charakteristika

- 0,063 – 2 mm
- > 50% / 25% / 10% klastů > 0,063 mm v α -ose

Řada psamit - pelit

PÍSEK : pískovec **-50%**- jílovitý pískovec **-25-** písčitý jílovec **-10-** jílovec (jílovitá břidlice) : **JÍL**

Hlavní komponenty:

- **klasty** (> 0,063 mm), křemen, živce, horninové fragmenty
- **matrix** (< 0,063 mm),
- **cement** (precipitát, výplň póru)

Klasifikace podle zpevnění

- zpevněné- pískovce
- nezpevněné – písky

Klasifikace podle velikosti zrna

- jemnozrnné (> 10%: 0,063 – 0,25)
- středně zrnité (> 10%: 0,25 – 0,5)
- hrubozrnné (> 10%: 0,5 – 2,0)

Psamity

Klasifikace podle složení klastů

- pískovec
- arkóza
- droba

trojúhelníkový diagram (Kukal 1985)

- křemen + stabilní zrna
- živce + nestabilní minerály
- matrix (< 0,063 mm)

Křemenný pískovec
arkózový pískovec
drobovitý pískovec
arkóza
droba

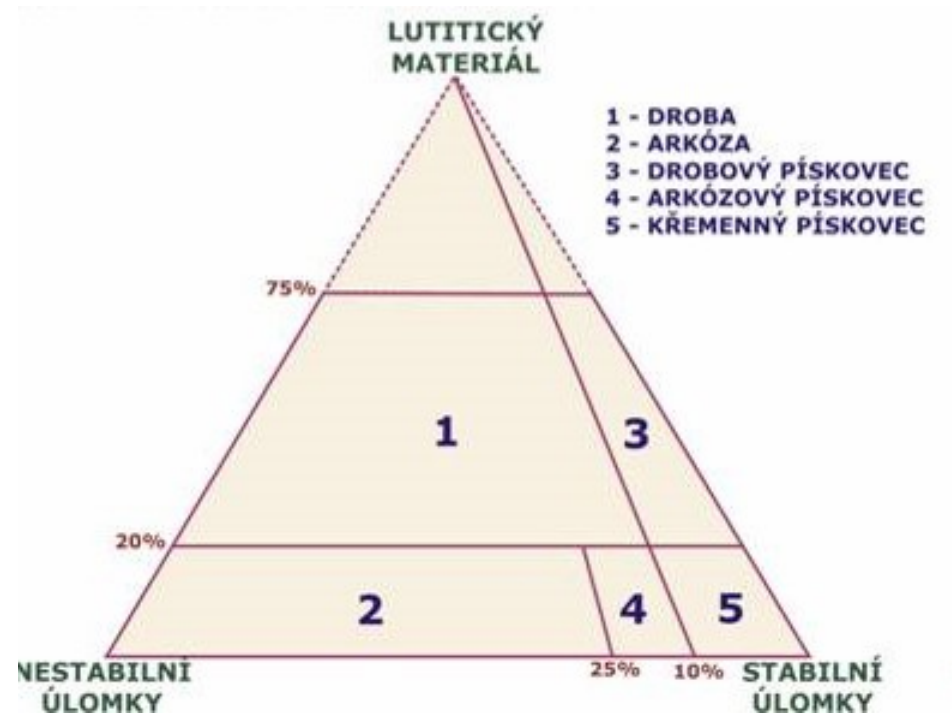
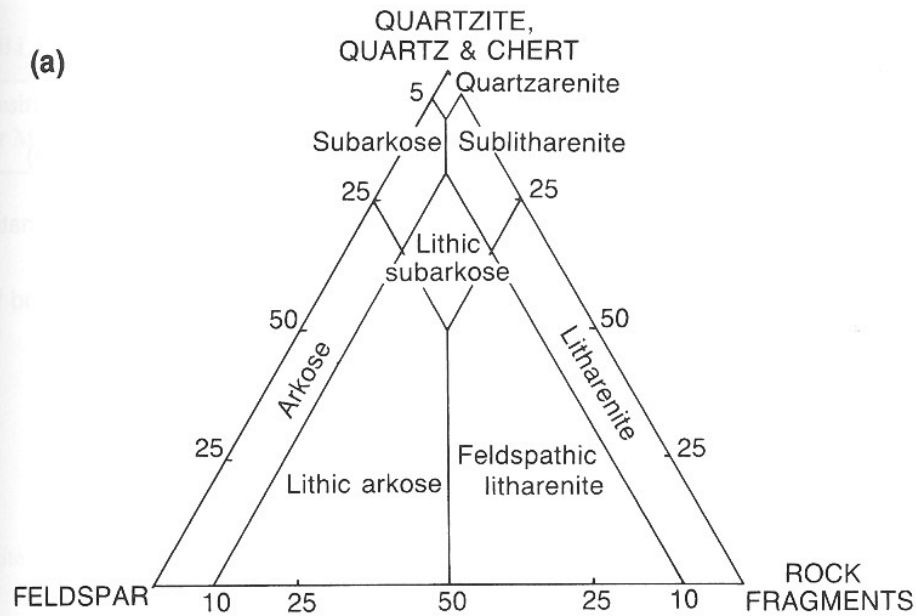
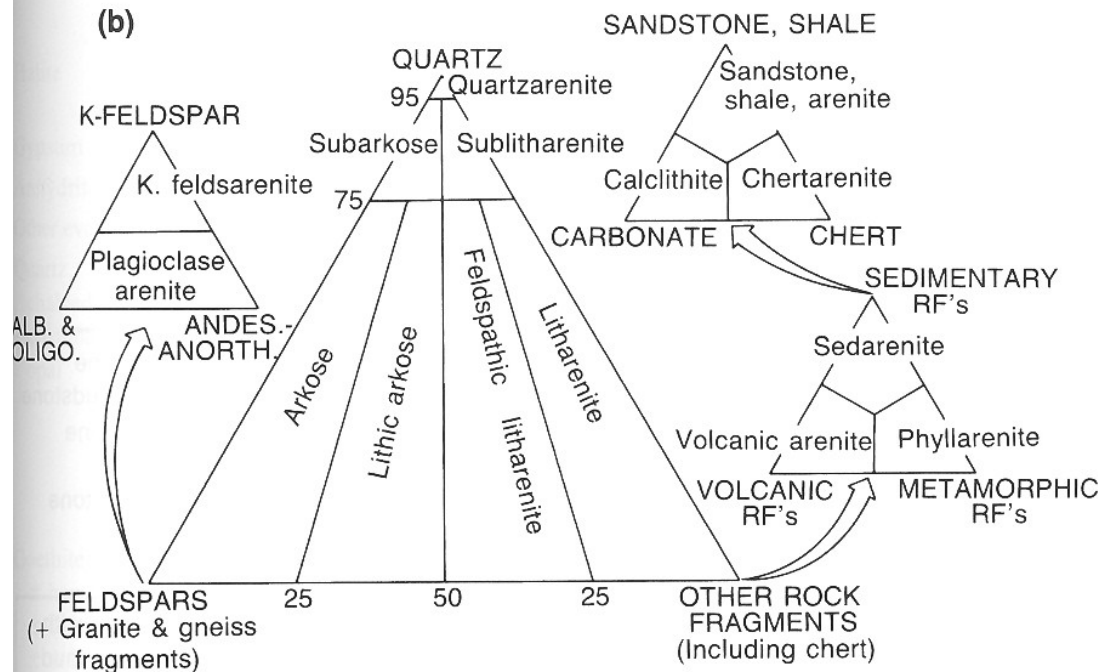


Figure 13.4
Sandstone classifications of
(a) McBride (1963) and (b) Folk
(1974).

(a)



(b)



Pískovec

- **Pískovec**
- *zpevněný psamitický sediment.*
- > 80% stabilních klastů v psamitické frakci
 - Křemen
 - Úlomky stabilních hornin (rohovce, silicity, křemenné žíly)
- < 20% nestabilních úlomků v psamitické frakci
 - Živce
 - Biotit
 - Muskovit
 - chlorit
 - těžké minerály
 - úlomky nestabilních hornin
- do 20% aleuropelitického materiálu (lutitu)
 - jílové minerály
 - Chlorit
 - sericit
 - prachová příměs křemene a živcových zrn
- Cement (tmel)
 - Křemitý
 - Karbonátový
 - železitý

Obr. 3.1.9 Pískovec křemenný, Kralupy nad Vltavou



Obr. 3.1.10 Pískovec, ždánická jednotka, Ježov u Kyjova



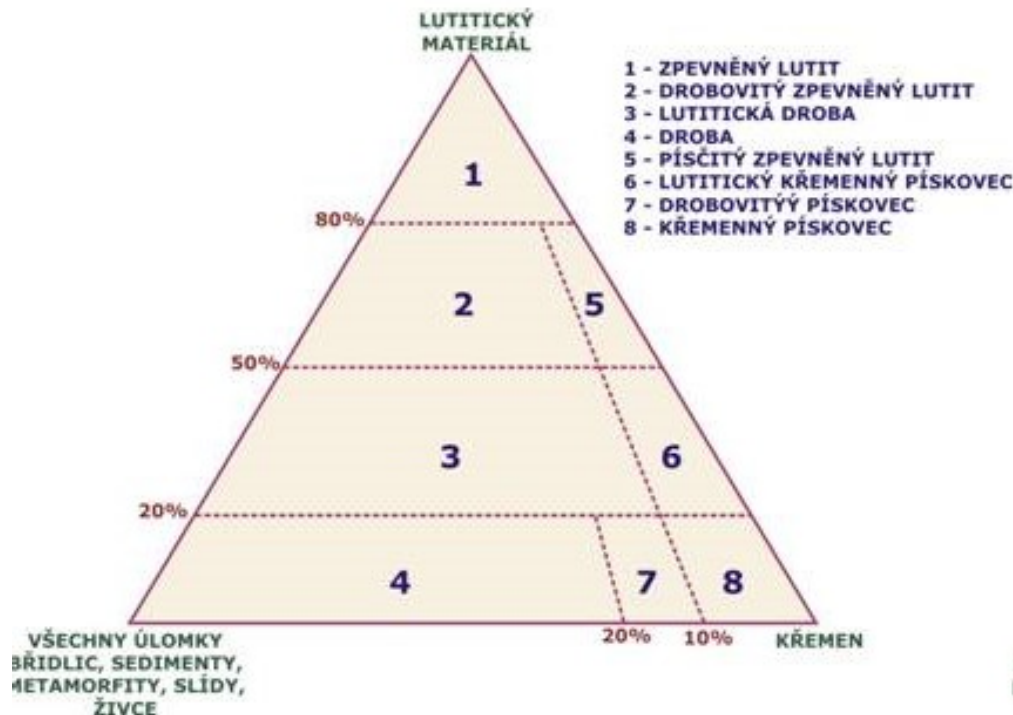
Obr. 3.1.12 Pískovec glaukonitický, Šance - Řečice



Droba

- **Droba**
zpevněný psamitický sediment.
- > 20% nestabilních úlomků v psamitické frakci
 - Sedimenty
 - Metamorfika
 - Magmatity
 - Živce
 - Biotit
 - Muskovit
 - chlorit
 - těžké minerály.
- do 20% aleuropelitického materiálu (lutitu)
 - jílové minerály
 - Chlorit
 - sericit
 - prachová příměs křemene a živcových zrn

Obr. 3.1.13 Klasifikační schéma klastických sedimentárních hornin droba - pískovec (upraveno podle Konty, 1972)





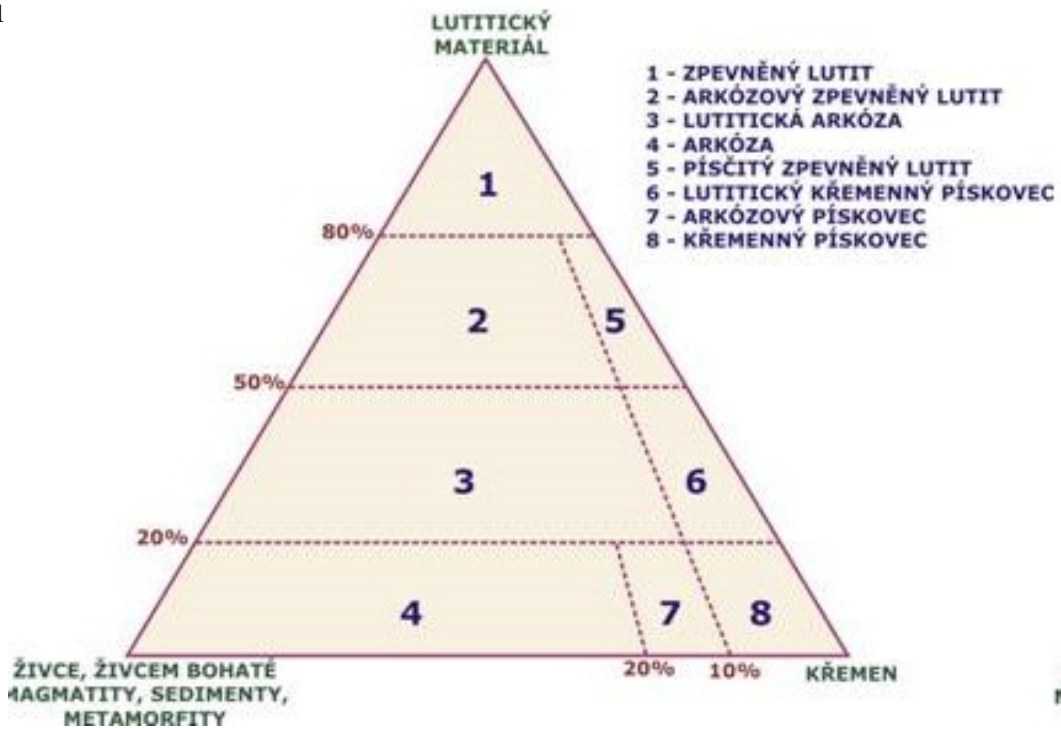
droby

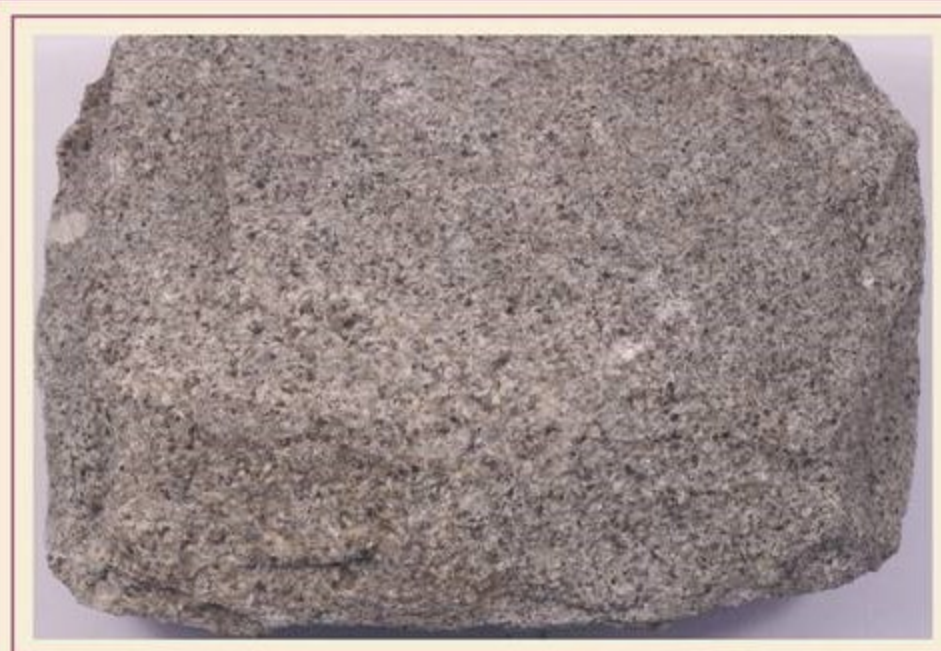


Arkóza

- *Arkóza*
- zpevněný psamitický sediment.
- > 20% nestabilních úlomků v psamitické frakci
 - živce
 - Kydelé magmatity
 - ruly
 - chlorit
 - muskovit
 - Muskovit
 - biotit
 - těžké minerály.
- do 10 % psefitické frakce
- do 20% aleuropelitického materiálu (lutitu)
 - jílové minerály
 - Chlorit
 - sericit
 - prachová příměs křemene a živcových zrn
- Cement (tmel)
 - Křemen
 - Karbonáty
 - Oxy/hydroxidy Fe

Obr. 3.1.18 Klasifikační schéma klastických sedimentárních hornin arkóza - pískovec (upraveno podle Konty, 1972)





1. Křemenný pískovec

3. Arkóza

6. Litická droba

Chemické složení psamitů

TABLE 17.4

Chemical Compositions of Representative Sandstones

	1	2	3	4	5	6
SiO ₂	98.91 ^a	88.7	76.6	67.3	65.0	60.9
TiO ₂	0.05	0.21	0.6	0.6	—	0.6
Al ₂ O ₃	0.62	5.03	12.4	15.5	9.57	16.4
Fe ₂ O ₃	0.09	—	0.7	0.4	1.59	1.4
FeO* ^b	—	3.60	—	—	—	—
FeO	—	—	0.2	3.8	1.08	4.4
MnO	—	0.04	—	0.1	—	0.1
MgO	0.02	0.29	0.3	1.9	0.4	3.1
CaO	—	0.43	0.4	0.6	10.1	3.9
Na ₂ O	0.01	1.14	0.3	4.2	2.14	4.2
K ₂ O	0.02	0.92	3.8	3.2	1.43	0.6
P ₂ O ₅	—	0.03	—	0.1	—	0.1
H ₂ O ⁺	—	—	2.7	1.8	0.82	3.7
H ₂ O ⁻	—	—	—	0.2	0.23	0.5
CO ₂	—	—	—	—	6.9	0.1
LOI	0.27	1.02	—	—	—	—
Other	—	tr	—	—	0.31	—
Total	99.99	99.60	100.6	99.7	99.54	100.0

Sources:

1. Quartz arenite, St. Peter Sandstone (Ordovician), Mendota, Minnesota. Analyst: A. William (Thiel, 1935).
2. Quartz wacke, metamorphosed, Pinal Schist (Paleoproterozoic), near Globe, Arizona (Condie and DeMalas, 1985).
3. Arkose (Oligocene), Auvergne, France (Huckenhotz, 1963).
4. Feldspathic wacke, Franciscan Complex (Jurassic-Cretaceous), San Bruno Mountain, San Francisco Peninsula, California (E. H. Bailey, Irwin, and Jones, 1964).
5. Calcareous lithic arenite, "Frio" (Oligocene), Texas, composite of 10 samples from Wells and Kleberg counties (Nanz, 1954).
6. Lithic (volcanic) wacke, Franciscan Complex (Jurassic-Cretaceous), San Francisco, California (E. H. Bailey, Irwin, and Jones 1964).

^aValues in weight percent.

^bTotal iron as Fe₂O₃.

1. Křemenný pískovec

3. Živcový arenit (arkóza)

6. Litická droba

Modální složení psamitů

TABLE 17.2 Modes of Selected Sandstones

Grain Type	1	2	3	4	5	6
Quartz	(90) ^a	(88)	(40)	42	51	(2)
Monocrystalline	89	81	39	—	—	1
Polycrystalline	tr	7	1	—	—	1
Alkali feldspar	tr	1	4	5	< 1	4
Plagioclase	—	4	6	7	< 1	22
Muscovite	—	—	tr	—	—	—
Biotite	—	—	6	—	—	—
Other minerals	tr	—	6	—	—	12
Rock fragments						
Chert/metachert	tr	1	2	6	—	—
Sedimentary	—	tr	—	—	6	—
Felsic volcanic	—	—	1	—	—	38
Mafic volcanic	—	—	tr	—	—	6
Metamorphic	tr	tr	1	—	3	tr
Other/undiff.	—	—	—	8	—	tr
Cement						
Calcite	—	—	33	—	30	tr
Other ^b	7	—	—	1	4	—
Matrix ^c	2	5	1	31	5	16
Total	100	100	100	100	100	100
Number of points counted	400	650	300	500	400	600
QFL	100:0:0	95:5:0	77:19:4	68:19:13	84:1:15	3:36:61

Sources:

1. Quartz arenite, Clinch Formation (Silurian), Clinch Mountain in Clinch Mountain Wildlife Management Area, Virginia (L. A. Raymond, unpublished data).
2. Quartz arenite, Navajo Sandstone (Lower Jurassic), east entrance to Zion National Park, Utah (L. A. Raymond, unpublished data).
3. Feldspathic arenite, sample C1, Panoche Formation (Upper Cretaceous), Carbona Quadrangle, California (L. A. Raymond, unpublished data).
4. Feldspathic wacke, sample 430.1 of 30-1 Anderson core, Eagle Sandstone (Upper Cretaceous), Bearpaw Mountains, Montana (Gautier, 1981, table 3).
5. Lithic arenite, sample C4A, Trivoli Sandstone (Pennsylvanian), Wayne County, Illinois (Andresen, 1961, table 2).
6. Lithic wacke, sample 10 (Archean), Vermilion District, Minnesota (Ojakangas, 1972, table 2).

^aVolume percents based on number of points counted, as indicated.

^bCements other than calcite include manganese oxides (column 1), iron carbonates, silica, and clays.

^cMatrix materials may include clays, chlorite, and silt- to clay-size quartz, feldspar, or other minerals.

tr = trace.

Geotektonická provenience pískovců

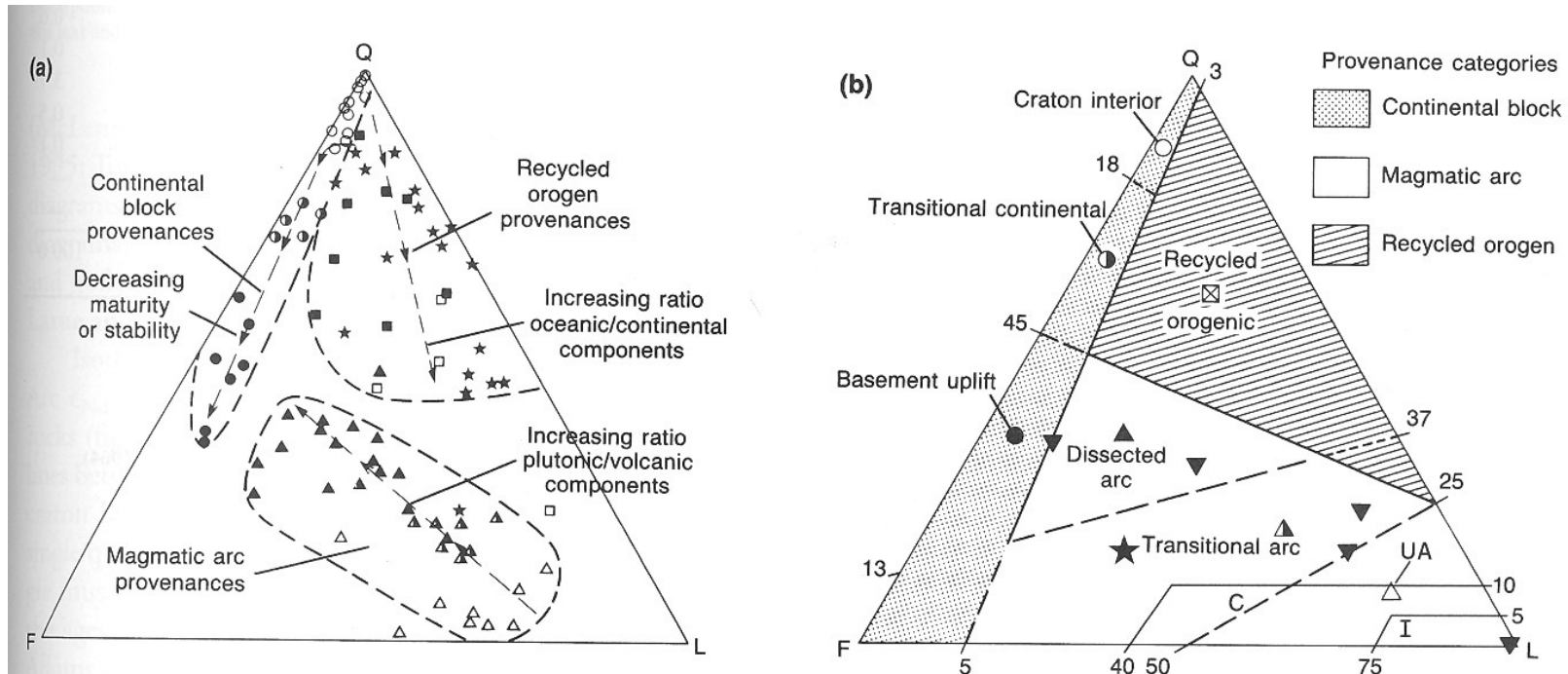


Figure 17.3

QFL diagrams showing the provenances for sandstone with various framework modes. (a) Simplified version of QFL diagram of Dickinson and Suczek (1979), showing fields of the continental block provenance, magmatic arc provenance, and recycled orogen provenance. (b) QFL diagram of Dickinson et al. (1983), modified by Marsaglia and Ingwersol (1992), showing fields of the three main provenance types and selected subfields. Inverted triangles in (b) represent compositions of some deep-sea sands (see Harrold and Moore, 1975; discussion in text). The star is the average subduction zone sand of Valloni and Maynard (1981). C = continental arc. I = intraoceanic arc. UA = undissected arc.

Chemické složení drob

TABLE 17.6 | Chemical Compositions of Wackes

	Franciscan Wackes				Average “Graywackes”	
	1	2	3	4	5	6
SiO ₂	58.4 ^a	67.3	71.72	57.2	69.0	85.0
TiO ₂	0.5	1.8	0.35	1.0	0.6	0.3
Al ₂ O ₃	14.2	12.4	13.23	16.0	11.7	7.2
Fe ₂ O ₃	2.4	0.6	0.30	—	—	—
FeO ^{*b}	—	—	—	8.8	6.2	4.2
FeO	1.4	4.0	3.58	—	—	—
MnO	0.2	0.1	—	0.1	tr	tr
MgO	1.2	2.3	1.81	3.4	nr	0.1
CaO	8.2	3.3	1.80	5.4	2.6	0.1
Na ₂ O	3.3	3.0	2.72	5.0	2.0	0.8
K ₂ O	2.0	1.2	1.29	0.7	1.5	1.7
P ₂ O ₅	0.1	0.1	0.09	0.2	nr	tr
H ₂ O ⁺	—	2.5	2.53	—	—	nr
H ₂ O ⁻	{ 3.1	0.3	0.15	—	nr	—
CO ₂	{ 4.8	0.6	0.32	—	nr	—
LOI	—	—	—	2.0	—	1.0
Other	—	—	0.04	—	tr	—
Total	100	99.5 ^c	99.93	99.8	93.6	100.4

Sources:

- “Graywacke,” Franciscan Complex (Cretaceous?), about 2 km north of Reese Gap, Sonoma County, California. Analysts: P. L. D. Elmore, I. H. Barlow, S. D. Botts, and G. Chloe (E. H. Bailey, Irwin, and Jones, 1964, table 1, analysis 11).
- “Graywacke,” Franciscan Complex (Jurassic-Cretaceous), New Almaden District, Santa Clara County, California. Analyst: A. C. Vlasisidis (E. H. Bailey, Irwin, and Jones, 1964, table 1, analysis 2).
- “Sandstone” (metawacke), Franciscan Complex (Jurassic?), junction of Buckeye Gulch and Hospital Canyon, Carbona Quadrangle, California. Analyst: Herdsman Laboratory, Glasgow (Taliaferro, 1943, table 3, analysis 3, p. 136).
- Graywackes, average of 10 analyses, Sierra Madre Mountains, Wyoming (J. R. Reed and Candie, 1987, table 2).
- Graywackes, average of 6 analyses, Gazelle Formation (Silurian), near Yreka, California (Condie and Snansieang, 1971, table 2, columns 2 and 3).
- High-quartz graywackes, average of 2 analyses (Precambrian), Mazatzal Mountains, Arizona (J. R. Reed and Condie, 1987, table 2).

^aValues in weight percent.

^bTotal iron as Fe₂O₃.

^cOriginal analysis, reported to hundredths place, totalled 99.41.

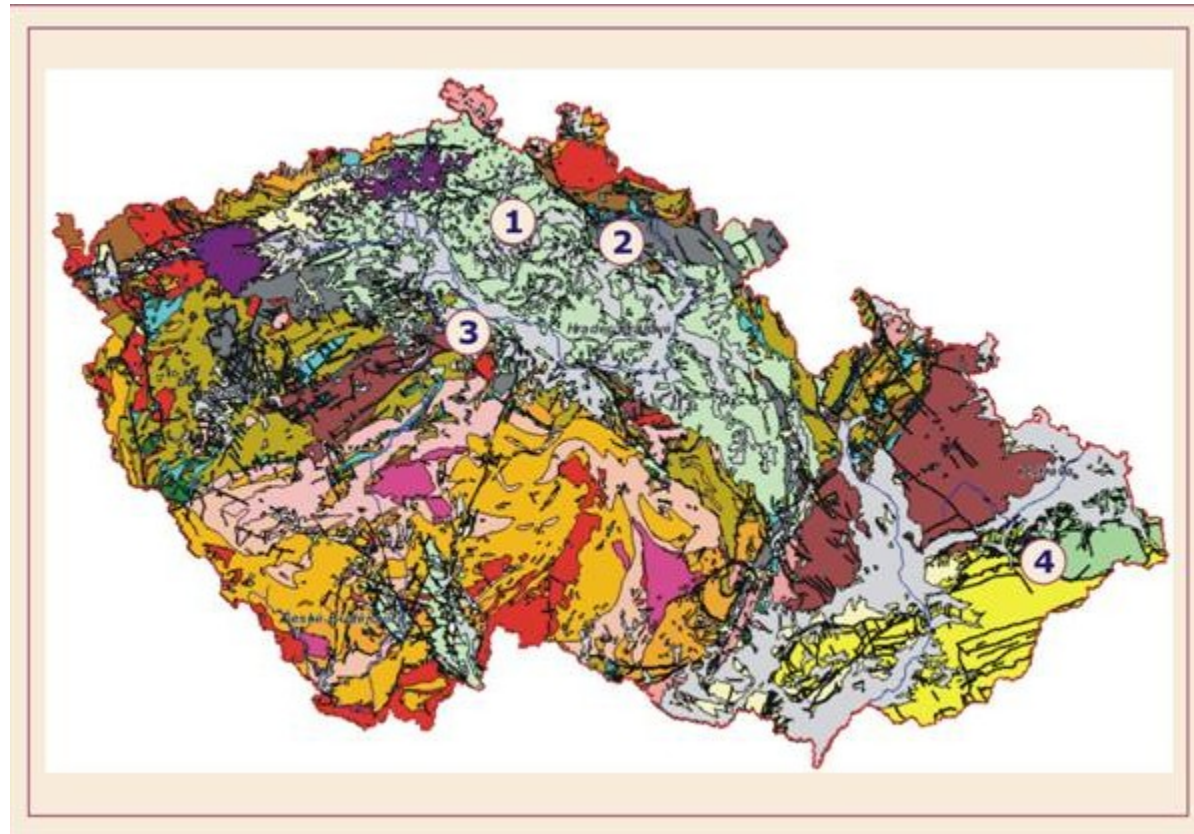
nr = not reported.

tr = trace.

Regionální rozšíření pískovců

Pískovce jsou v České republice běžnou sedimentární horninou. Rozšířené jsou v české křídě – např. v Českosaském Švýcarsku, Českém Ráji, Teplických a Adršpašských skalách, kde vytváří známá skalní města. Tyto pískovce jsou charakteristické dobrou vytříděností a přítomností kaolinitu v matrix. Pokud obsahují navíc glaukonit, získává hornina zelenou barvu (s rostoucím množstvím je zelená sytější).

V podkrkonošském a českobrodském permokarbonu jsou pískovce často hnědočerveně zbarveny hematitem. Pískovce karpatského flyše mají barvu světle šedou nebo slabě nazelenalou.



Psamity: provenience

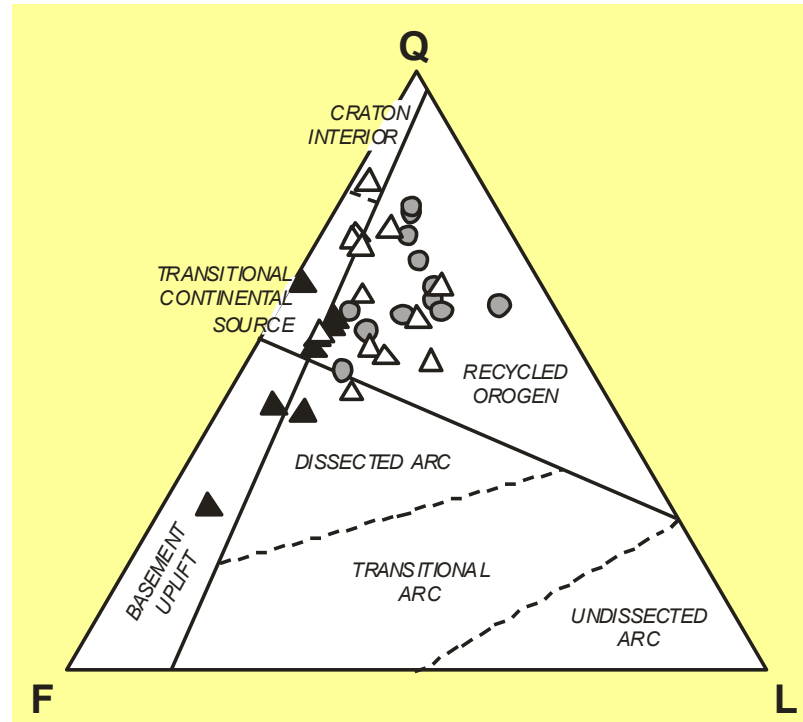
Klasifikace podle složení klastů

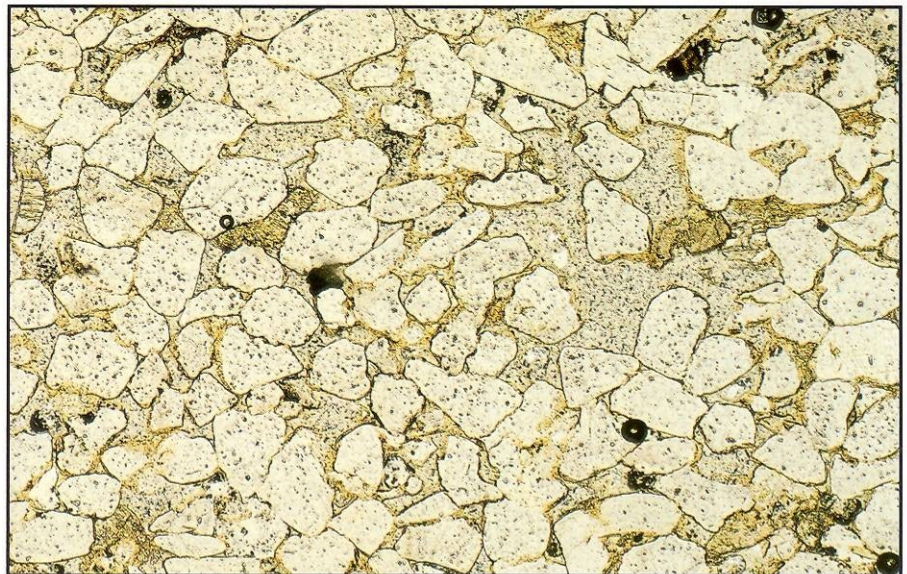
trojúhelníkový diagram (matrix je ignorována)

- Křemen (Q) --- živce (F) --- fragmenty nestabilních hornin (L)

provenience

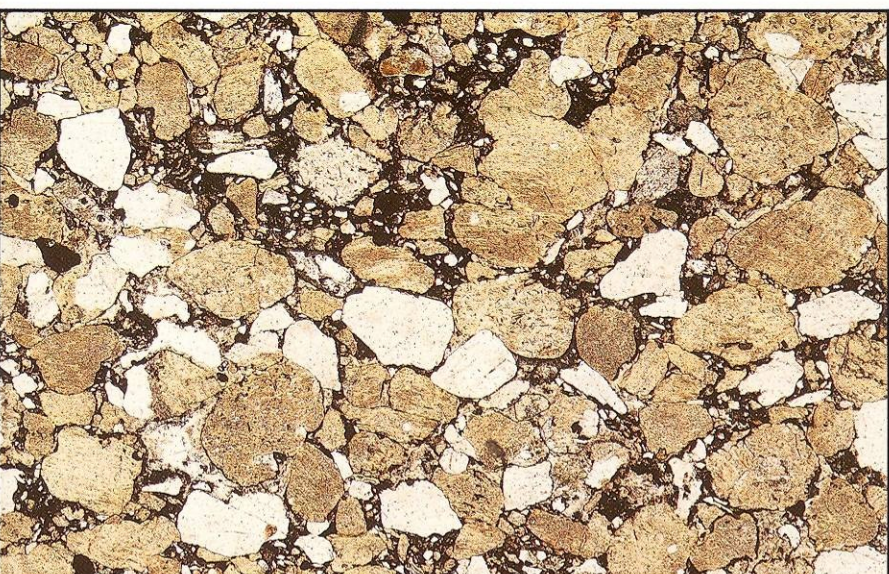
- trojúhelníkový diagram QFL
Tektonické prostředí zdroje,
 - Kraton
 - Přechodný kontinentální zdroj
 - Recyklovaný orogén
 - Magmatický oblouk (arc)
 - rychlý výzdvih (basement uplift)





109 Quartz Arenite in plane-polarized light. Locality: New Red Sandstone, Permo-Trias, England (x 47).

10



113 Arkose in plane-polarized light. Locality: Torridonian, Precambrian, Scotland (x 13).



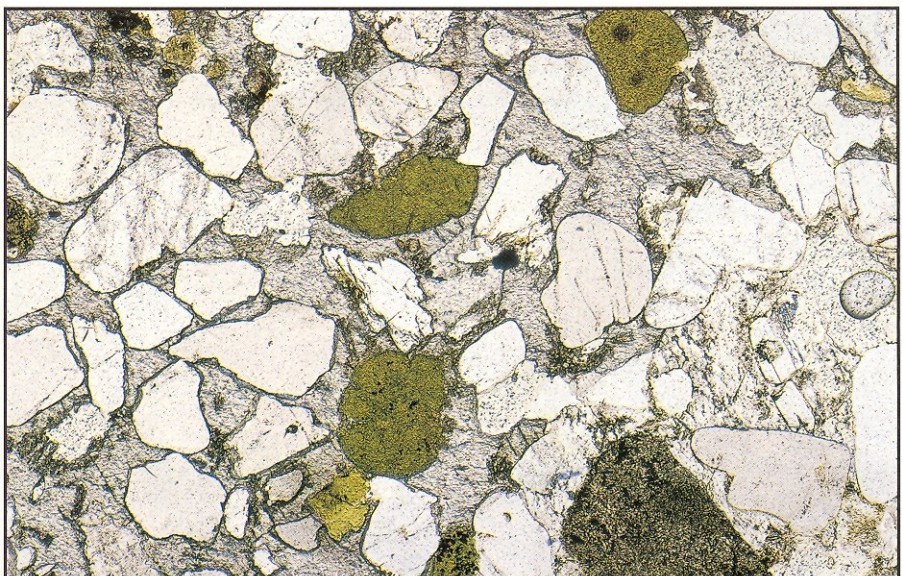
110 Quartz Arenite with crossed polars. Locality: New Red Sandstone, Permo-Trias, England (x 47).

11



114 Arkose with crossed polars. Locality: Torridonian, Precambrian, Scotland (x 13).

11



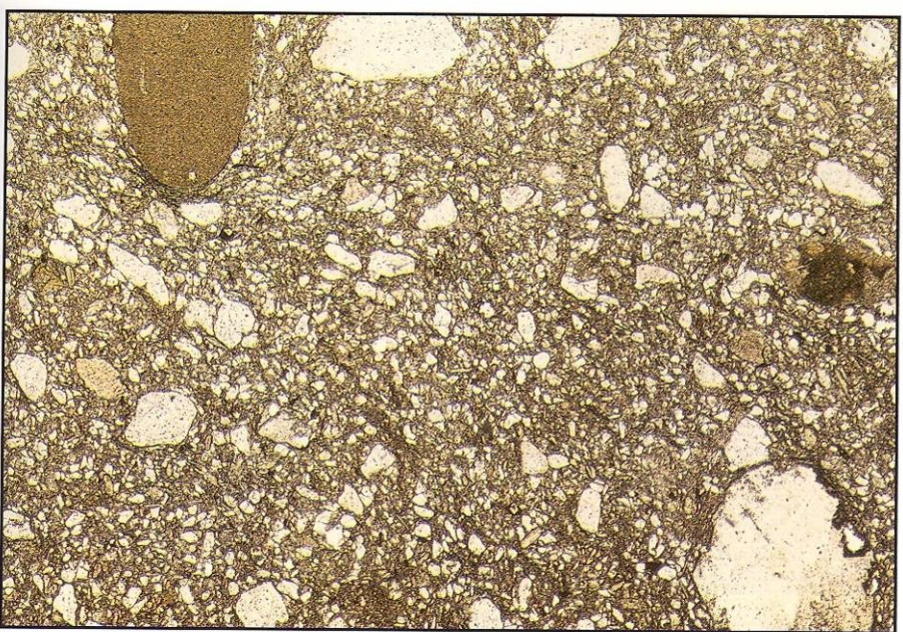
121

121 Glauconitic sandstone in plane-polarized light. Locality: Lower Cretaceous, Southern England (x 27).



122

122 Glauconitic sandstone with crossed polars. Locality: Lower Cretaceous, Southern England (x 27).



116

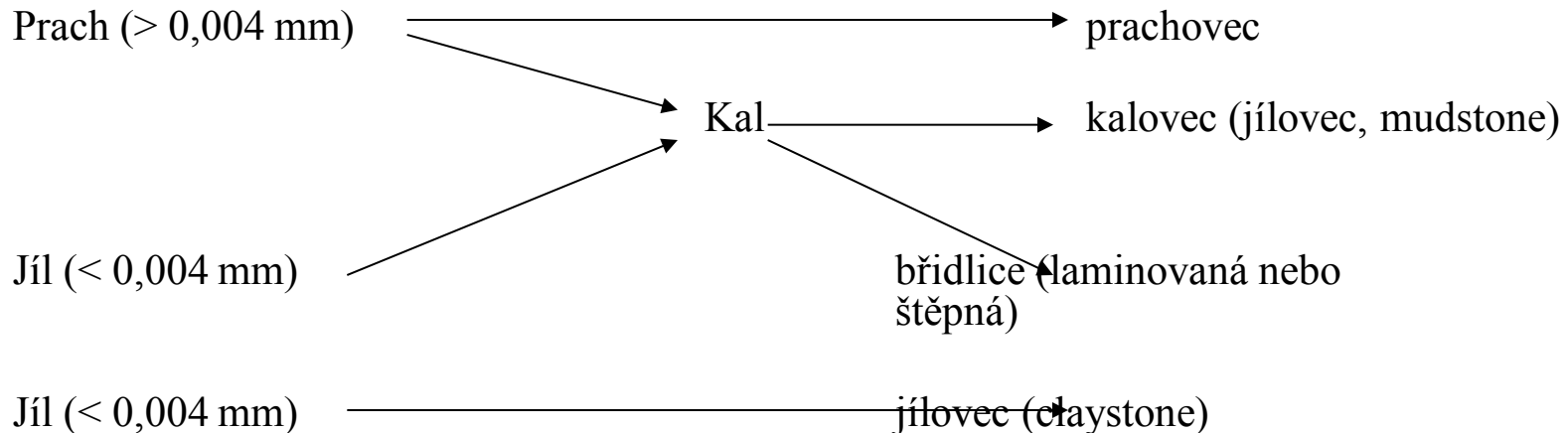
116 Greywacke in plane-polarized light. Locality: Lower Palaeozoic, West Wales (x 19).

Pelity

Základní charakteristika

> 75% / 90% jílové frakce

- **Jílovce (claystone)** sedimenty pouze jílové frakce
- **Kalovce (mudstone)** směs sedimentů jílové a prachové frakce



Složení

- Jílové minerály (> 50%), křemen (\varnothing 20%), živce (< 10%), karbonáty (< 10%), oxidy Fe (< 3%), ostatní minerály (< 3%), organické látky (< 1%)

Minerální složení jílů a jílovců

TABLE 16.1 Mineral Composition of Selected Mud and Mudrocks

	1	2	3	4	5
Quartz	70–80 ^a	26–35	4	—	—
Alkali feldspar	—	—	tr	—	—
Plagioclase	—	26–35	5	—	—
Kaolinites	—	11–15	1	18	15
Montmorillonite	—	11–15	4	—	70
Mixed-layer phyllosilicates	—	—	—	61 ^b	—
Illite	—	2–5	—	21	10
Micas	—	—	3	—	—
Chlorite	—	6–10	tr	—	5
Palygorskite	—	—	tr	—	—
Clinoptilolite	—	—	tr	—	—
Phillipsite	—	—	1	—	—
Calcite	5–10	6–10	—	—	—
Gypsum	—	—	—	—	—
Limonite	—	—	—	—	p
Geothite	—	—	—	—	p
Hematite	—	—	—	p	—
Pyrite	1–3	—	—	p	—
Microfossils	—	—	—	—	—
Other organic debris	5–10	—	—	—	p
Amorphous materials ^c	—	—	81	—	—
Other	tr	—	tr	—	—
Total	100	100	100	100	100

Sources:

1. Siliceous “siltite” (siltstone) (Permian), Dollarhide Formation, Idaho (Wavra, Isaacson, and Hall, 1986).
2. Calcareous, sandy, clayey siltstone (Mio-Pliocene), New Zealand, sample 33401 (Ballance et al., 1984).
3. Volcanic glass-rich mud (Plio-Pleistocene), Peru Basin, Pacific Ocean (Zemmel and Cook, 1976).
4. Shale (Paleocene), Scaglia Rossa, Gubbio, Italy. Pelagic marine shale, interbedded with limestone, sample 347S (Johnsson and Reynolds, 1986).
5. Clayshale (Cretaceous), Moreno Shale, Diablo Range, California. Shelf shale, with locally interbedded arenites (L. A. Raymond, unpublished analysis).

^aPercents estimated from XRD analysis or petrographic observations.

^bIllite-smectite.

^cIncludes volcanic glass, allophane, biogenic silica, and organic material.

p = present, but not included in the quantitative analysis.

Chemické složení jílů a jílovců

TABLE 16.3 | Chemical Analyses of Selected Mudrocks

	1	2	3	4	5	6	7	8	9
SiO ₂	40.1 ^a	46.30	58.32	60.0	61.84	61.99	66.00	74.8	76.44
TiO ₂	0.76	0.48	0.48	0.73	0.83	0.89	0.11	0.38	0.63
Al ₂ O ₃	10.9	16.11	8.59	18.1	13.40	22.25	1.30	9.1	11.25
Fe ₂ O ₃	—	—	2.04	1.3	3.83	1.25	—	2.6	—
FeO	27.6 ^b	6.33 ^c	—	—	—	—	0.65 ^b	—	4.45 ^c
FeO	—	—	0.18	5.0	1.15	0.42	—	0.4	—
MnO	4.8	0.06	0.07	0.11	0.05	0.01	0.01	nr	0.04
MgO	3.5	3.01	3.65	2.9	2.69	1.34	2.60	1.2	0.99
CaO	0.53	16.20	8.45	1.1	2.68	0.02	16.00	1.4	3.03
Na ₂ O	0.12	0.35	0.72	1.8	0.97	0.10	0.20	0.34	0.24
K ₂ O	4.5	1.25	2.71	3.2	2.8	6.32	0.70	1.4	1.14
P ₂ O ₅	0.14	0.50	0.05	0.17	0.44	0.03	0.16	0.5	0.14
LOI ^d	—	—	—	—	—	—	11.20	—	—
H ₂ O [—]	2.2	—	0.52	0.64	2.45	0.10	nr	3.8	—
H ₂ O ⁺	4.8	0.58 ^e	1.40	4.4	3.85	4.57	nr	3.0	0.43 ^e
CO ₂	0.08	7.55	12.08	0.10	2.55	0.45	nr	nr	2.11
Other	1.37	1.44	0.43	0.34	1.05	0.26	tr	0.60	0.00
Total	100.0	100.16	99.69	99.4	100.44	100.00	98.93	99.52	100.89

Sources:

- Red shale interlayered with chert, Franciscan Complex (Jurassic-Cretaceous), California (E. H. Bailey, Irwin, and Jones, 1964). Analysts: P. L. D. Elmore, S. D. Botts, I. H. Barlow, and G. Chloe. Deep sea.
- Shale, Ezeaku Formation (Cretaceous), Nigeria, sample 8 (Amajor, 1987). Passive margin shelf or slope.
- Red sandy shale, Spearfish Formation (Triassic), South Dakota (G. B. Richardson, 1903). Transitional to shallow epicontinental sea (?).
- Shale accompanying graywacke, Franciscan Complex (Jurassic-Cretaceous), California, sample SF-2126 (E. H. Bailey, Irwin, and Jones, 1964). Active margin slope or trench.
- Shale, Cody Shale (Cretaceous), Wyoming, sample Sco-1 (L. G. Schultz, Tortelot, and Flanagan, 1976). Analyst: S. M. Berthold, Epicontinental marine sea floor.
- Mudrock, Cookman Suite (Silurian-Devonian), Australia, sample MK55 (Bhatia, 1985a). Passive margin.
- Calcareous, carbonaceous, siliceous siltite, Dollarhide Formation (Permian), Idaho, sample Ex-1 (Wavra, Isaacson, and Hall, 1986). Active margin slope (?).
- Siliceous shale or claystone, Pierre Shale (Cretaceous), Potter County, South Dakota, sample 259536 (L. G. Schultz et al., 1980). Epicontinental marine sea floor.
- Shale, Asu River Group (Cretaceous), Nigeria, sample 2 (Amajor, 1987). Passive margin shelf or slope.

^aValues in weight percent.

^bTotal iron as Fe₂O₃.

^cSum of FeO + Fe₂O₃.

^dLoss on ignition.

^eTotal water reported only.

nr = not reported.

Vztah mezi barvou, obsahem organických látok a oxidačním stavem železa v jílovcích

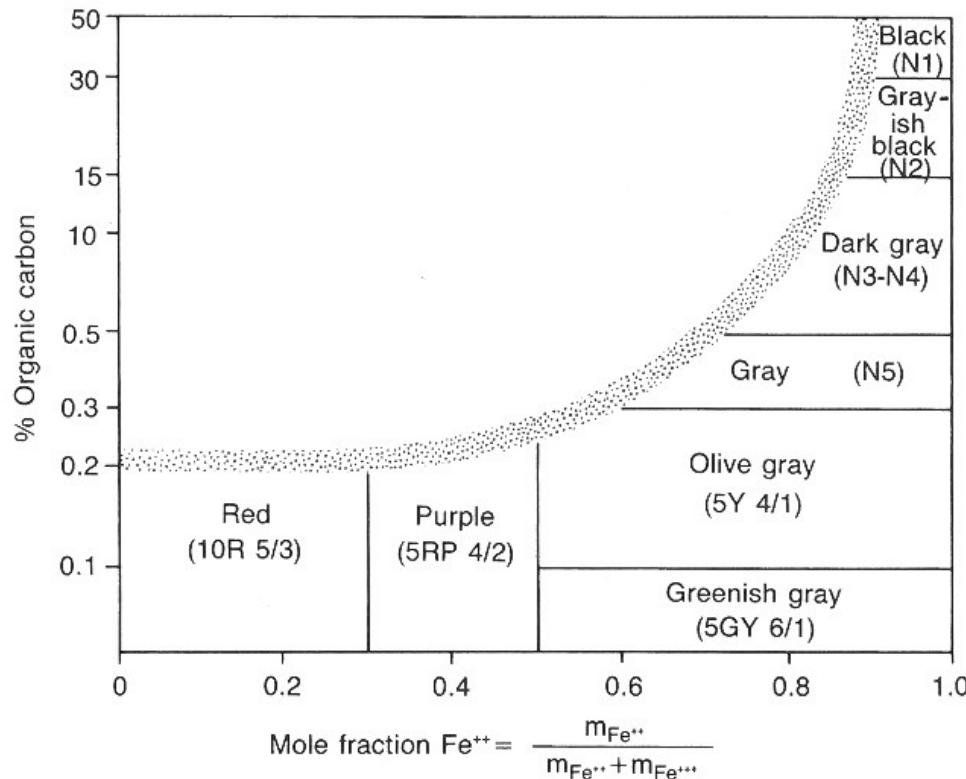


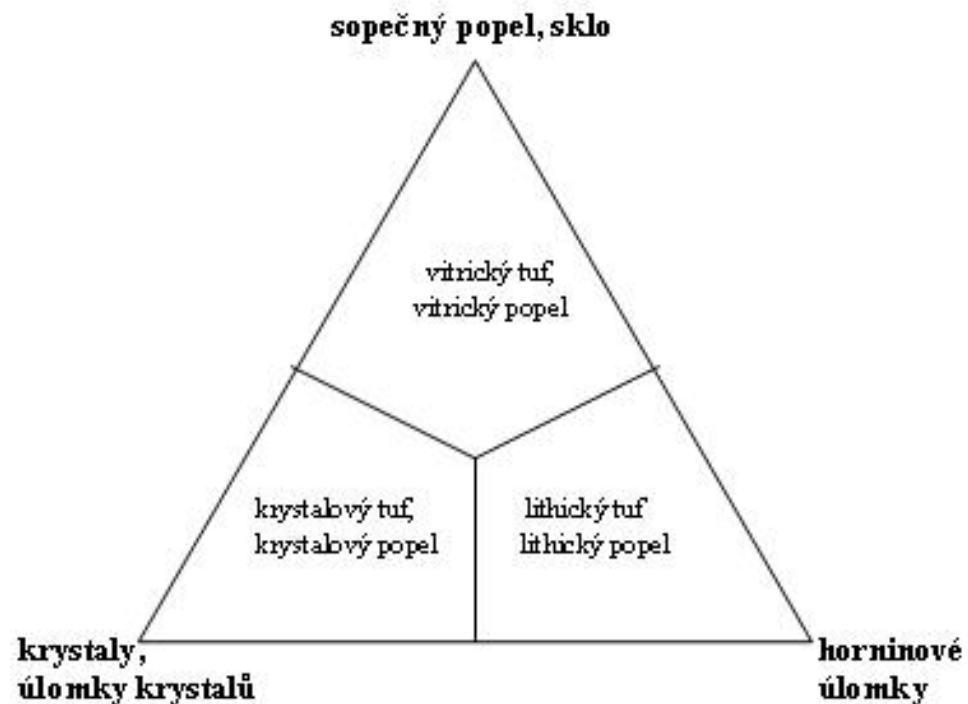
Figure 16.3

Diagram showing the relationship between color, organic content, and oxidation state of iron in mudrocks.

(Source: From P. E. Potter, Maynard, and Pryor, 1980.)

Vulkanoklastické horniny

- **vulkanoklastika (tefra)** jsou tvořena vulkanickými usazeninami, které se dělí:
 - podle složení (ryolitová, bazaltová, andezitová apod. tefra),
 - podle zrnitosti, jak je uvedeno v tabulce.



Klasifikace vulkanoklastických sedimentů podle převládající velikosti částic

Velikost částic	Petrografické označení			Vulkanoklastika		Vápence	Reziduální horniny
	latinské	řecké	české				
Nad 256 mm	psefit	rudit	štěrk	balvanitý	vulkanické balvany a bloky, blokové a balvanové tufy,	kalcirudit	úlomková rezidua
64-256				hrubozrnný	vulkanické kameny a aglomerátové tufy		
8-64				střednozrnný	lapilli, lapiltové tufy		štěrková rezidua
2-8				drobnozrnný	lapilli, lapiltové tufy		
1-2 mm	psamit	arenit	písek	velmi hrubozrnný	pískový tuf, vulkanický písek	kalciarenit	písková rezidua
0,5-1				hrubozrnný			
0,25-0,5				střednozrnný			
0,125-0,25				jemnozrnný			
0,062-0,125				velmi jemnozrnný			
0,004-0,062	alenrit	lutit	prach		vulkanický popel, popelový tuf, sopečný prach	kalcilutit	jílová rezidua
> 0,004	pelit		jíl		velmi jemný vulkanický popel, sopečný jíl		

Vulkanické (pyroklastické) horniny podle ČSN 12670

Průměrná velikost klastů v mm	Pyroklasty	Tufity (smíšený pyroklastický a epiklastický materiál)	Epiklasty (vulkanického nebo jiného původu)
64	sopečný aglomerát, aglutinát, pyroklastická brekcie.	tufitický slepenec, tufitická brekcie	slepenec, brekcie
2	lapillový tuf		
1/16 1/256	hrubý popelový tuf jemný	tufitický pískovec tufitický prachovec	pískovec (s tufovou příměsí) prachovec (s tuf. příměsí)
		tufitický jílovec, tufitická břidlice	jílovec, břidlice
Množství pyroklastického materiálu	75 až 100 %	25 až 75 %	0 až 25 %

Chemogenní (cementační) sedimenty

**Horniny vytvořené převážně vysrážením
z roztoků.**

Klasifikace chemogenních (cementičních) sedimentů

Ality - přemístěné laterity. Mají podstatný obsah **hydroxidů aluminia** (**böhmit, diaspor, gibbsit** a **kaolinit, goethit, hematit**). Častý je vysoký obsah železa a niklu,

Manganosity jsou tvořeny **oxidy mangantu** (**pyroluzit, psilomelan**, hydroxidy (**manganit**) a karbonáty (**oligonit**)). Mangan podle redoxpotenciálu může být v oxidované formě Mn^{4+} . Manganosity vznikají v současných mořích (tzv. **manganové konkrece**, obsahující významnou příměs dalších kovů (Fe, V).

Ferolity jsou tvořeny minerály železa oxidy (**magnetit, hematit**), hydroxidy (**limonit, goethit**), silikáty (**chamozit, thuringit, glaukonit**), karbonáty (**siderit**) a sulfidy (**pyrit, markazit, melnikovit**). Vznikají jednak vysrážením z vody v jezerech a mořích (železo pochází ze zvětralin z pevniny nebo z podmořského zvětrávání – halmyrolyzy). Typické jsou **oidy** a **fosfátové konkrece**, jednak z podmořské vulkanické aktivity (typ Lahn-Dill). Podle minerálů se rozlišují:

- **ferolity hydroxidů a oxidů železa.** V ordoviku barrandienu vznikaly v mělkovodních podmínkách při podmořském bazickém vulkanismu. Označují se lokálními názvy jako skleněnka nebo lotrinská mineta.
- **ferolity sideritové** v souvislých polohách s příměsí jílů (barrandien) nebo jako čočky v beskydské křídě (tzv. pelosiderity)
- **ferolity jaspilitové**, vznikaly v důsledku odlišných podmínek (hlavně atmosférických) v prekambrických formacích. Střídají se v nich vrstvičky hematitu a magnetitu s vrstvičkami křemene (tzv. formace BIF).

Fosfority obsahují zvýšený obsah fosforu zpravidla ve formě **apatitu**. Vznik:

- vysrážením z mořské vody: v hlubinné studené vodě může být rozpuštěno až 3x více fosforu než v teplé vodě šelfů, kde se za pomoci bakterií vysráží buď jako konkrece nebo i souvislé polohy
- akumulací **guána** (ptačího trusu, zejména v jeskyních).
- vyluhováním do podložních sedimentů z ploch různého původu.

Klasifikace chemogenních (cementičních) sedimentů

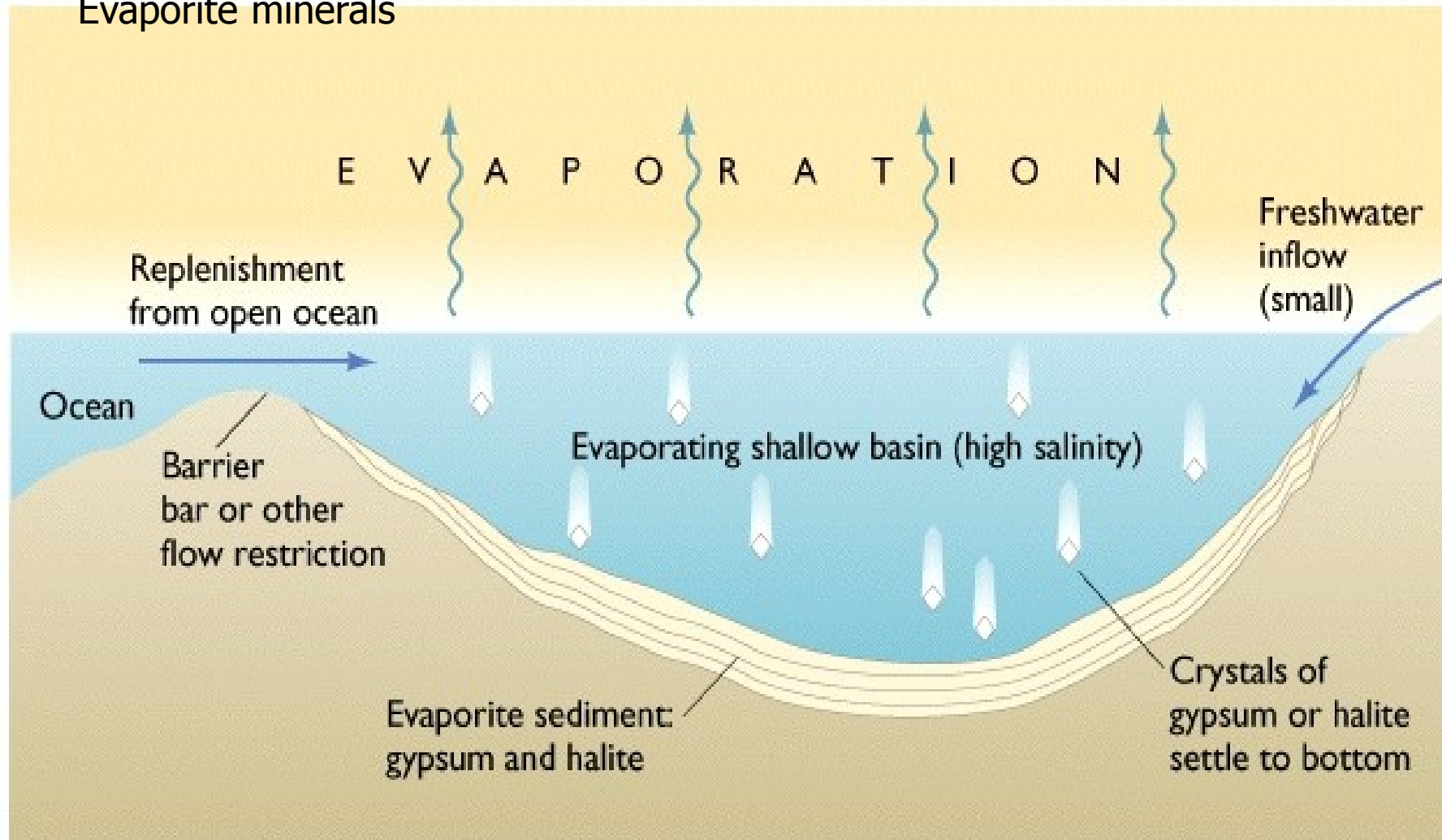
Silicity jsou tvořeny převážně minerály SiO_2 (křemen, cristobalit, chalcedon, opál). Vznikají:

- nahromaděním schránek a jiných částí živočichů a rostlin (organogenní) rozsivek (**diatomity, křemelina**), radiolarií (**radiolarity**) nebo hub (**spongility**), smíšené (např. **spongadiatomity**)
- chemicky vysrážené: z horkých roztoků - **geyzírit a stiriolit** (z vodních kapek rozstříkovaných kolem gejzírů), **jaspilit** vysrážený z podmořských horkých pramenů tzv. kuřáků (černé břidlice), ze studených vod se vysráží **limnokvarcit**
- vzniklé z relativního přebytku SiO_2 při diagenezi: **rohovec** (hornstone, flint, chert) tvořící hlízy a čočky nejčastěji v karbonátech
- neurčitého původu jsou siliciem bohaté horniny, v nichž jsou jak radiolarie tak i známky vysrážení při vulkanické činnosti (souvislost se spility): **buližníky** (s radiolariemi), **menilitové rohovce** (s radiolariemi a diatomaceami).

Evapority vznikají chemickým vysrážením při odpařování mořské nebo jezerní vody a mají zákonitý sled:

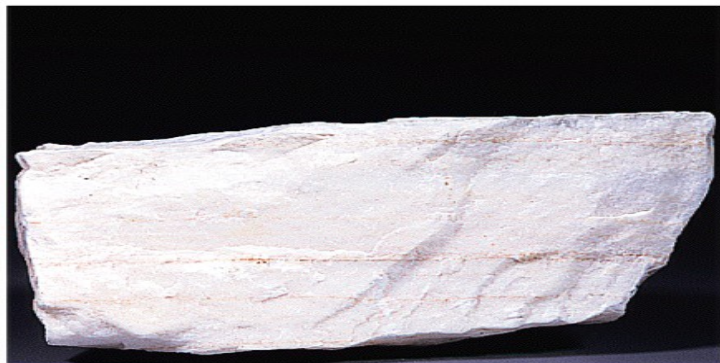
- 1 fáze: vypadává **dolomit a aragonit**
- 2 fáze: vypadávají sulfáty vápníku (**anhydrit, sádrovec**) při koncentraci zvýšené 3,35x.
- 3 fáze: vypadává **halit** (koncentrace zvýšená 10 - 60r) – hornina je označována jako **sůl kamenná** (obr. 6.12.).
- vypadávají chloridy a sulfáty K, Mg (**sylvín, karnalit**) při koncentraci 60x více než v původní mořské vodě
- Podle složení vody mohou se vysrážet při odpařování i další evapority:
 - Glauberova sůl $\text{Na}_2\text{SO}_4 \cdot 10\text{H}_2\text{O}$
 - natrit Na_2CO_3
 - chilský ledek (dusičnan sodný Na_2NO_3)
 - síra – chemickou redukcí síranů bakteriemi

Evaporite minerals



Mělkomořská pánev s vysokou rychlostí odparu (evaporace) – Mexický záliv, Perský záliv, tertiérní Středozemní moře, Rudé moře
Sekvence srážení minerálů při vzrůstajícím odparu: kalcit, sádrovec, halit

Evapority



(b)

Sádrovec



Copyright © 2005 Pearson Prentice Hall, Inc.

Halit

Evaporace mořské vody:

- 1) kalcit
- 2) sádrovec
- 3) anhydrit
- 4) halit (95% odpar)
- 5) sylvín
- 6) Další vzácné minerály

Dolomit se tvoří sekundárně reakcí Mg^{+2} s kalcitem

Evaporace vody v kontinentálním prostředí:
Borax & boráty
Nitráty

Solný diapir

Síra:
produced by
sulfate
reducing
bacteria which
consume the
oxygen in
gypsum or
anhydrite

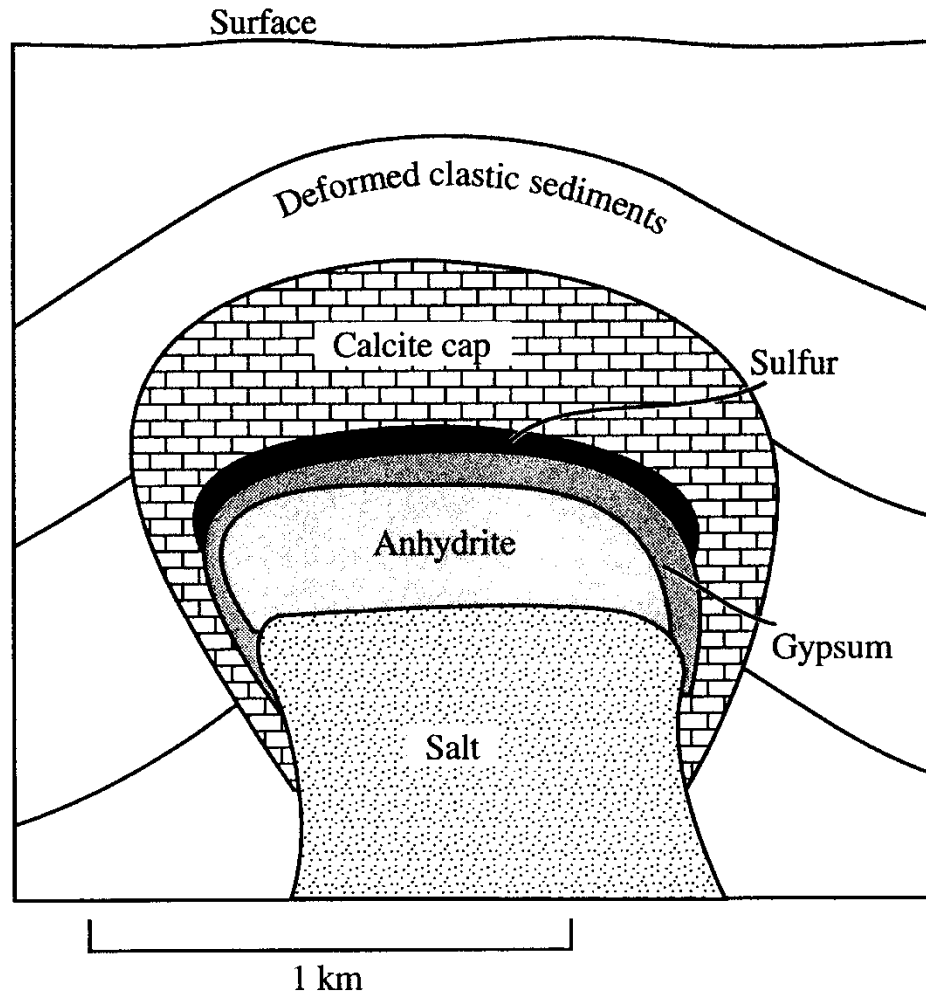
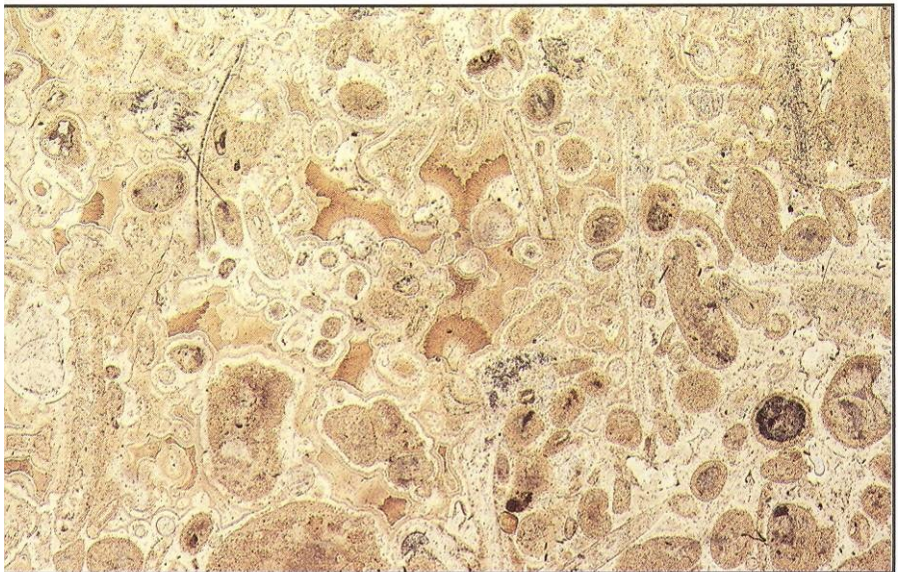


Figure 20.3 Schematic cross section through a salt dome showing idealized sequence of cap rock lithologies and location of native sulfur concentrations.

Replacement Chert



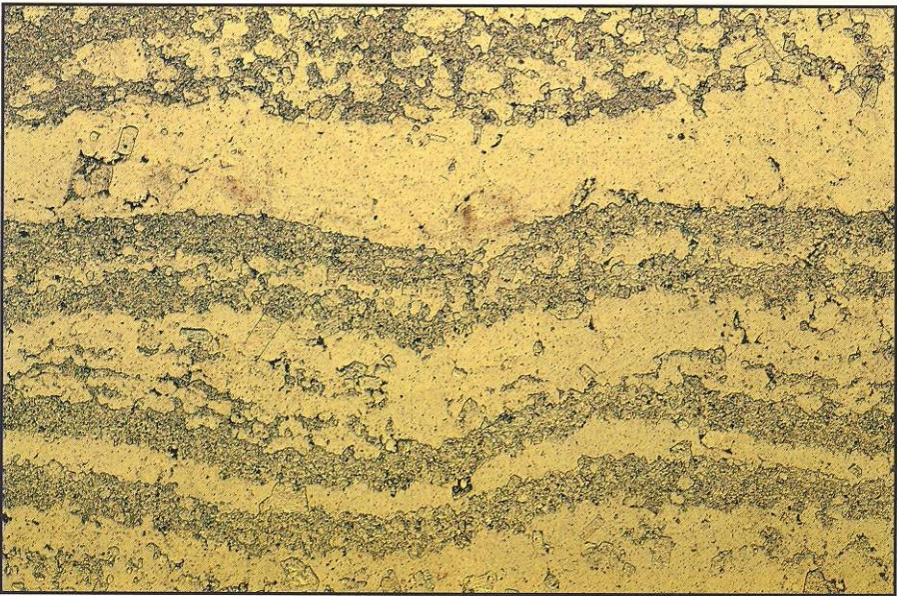
135

135 Replacement Chert in plane-polarized light. Locality: Upper Jurassic, southern England (x 13).



136

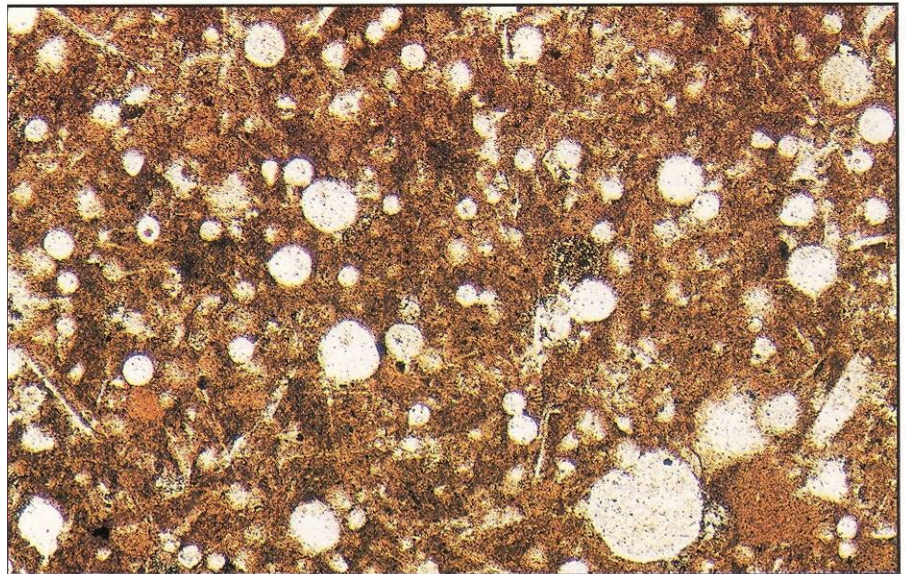
136 Chert with crossed polars. Locality: Upper Jurassic, southern England (x 13).



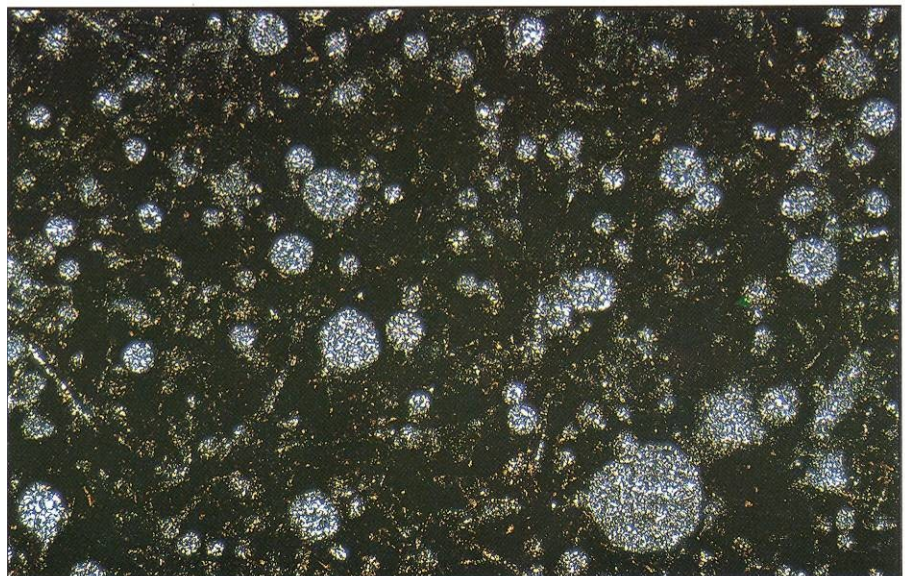
137 Halite and anhydrite in plane-polarized light. Locality: Permian, northeast England (x 12).



138 Halite and anhydrite with crossed polars. Locality: Permian, northeast England (x 12).



133 Radiolarian Chert in plane-polarized light. Locality: Lower Cretaceous, Greece (x 40).



134 Radiolarian Chert with crossed polars. Locality: Lower Cretaceous, Greece (x 40).

Chemické složení silicítů (rohovců)

TABLE 20.1 | Chemical Analyses of Chert and Siliceous Sinter

	1	2	3	4	5	6
SiO ₂	99.10 ^a	97.4	91.7	83.66	82.2	69.00
TiO ₂	0.06	0.03	0.17	—	nr	0.10
Al ₂ O ₃	0.19 ^b	0.47	3.31	1.94	0.67	1.5
Fe ₂ O ₃	0.06	1.3	—	—	—	—
FeOx _{total}	—	—	0.93 ^c	0.22 ^d	0.38 ^d	3.2 ^d
FeO	nr	< 0.26	—	—	—	—
MnO	—	tr	0.42	tr	nr	nr
MgO	0.64	0.05	0.92	0.21	0.16	0.39
CaO	0.10	0.05	0.06	0.76	5.12	13.20
Na ₂ O	0.02	0.01	0.23	1.20	0.08	0.32
K ₂ O	0.06	0.55	0.77	0.42	0.09	0.42
P ₂ O ₅	nr	0.04	0.04	nr	0.06	4.71
LOI	nr ^e	0.62	1.39	11.60	10.8	6.0
Other	tr	—	tr	tr	—	0.78
Total	100.23	100.2	99.9	100.34	99.7	99.60

Sources:

1. "Soft opal" in silty and sandy limestone (?), Ogallala Formation (Miocene), Scott County, Kansas (Franks and Swineford, 1959).
2. Red chert (massively bedded). Franciscan Complex (Jurassic-Cretaceous), near Ortega Street, San Francisco, California (E. H. Bailey, Irwin, and Jones, 1964).
3. Chert, sample BJ14, Franciscan Complex (Jurassic-Cretaceous), Blue Jay Mine, Trinity County, California (Chyi et al., 1984).
4. Siliceous sinter (Recent), near Daisy Geyser, Yellowstone National Park, Wyoming (Allen and Day, 1935, in T. P. Hill, Werner, and Horton, 1967, p. 13).
5. "Porcellanite" nodule, Monterey Formation (Miocene), Lompoc Quarry, California (Weis and Wasserburg, 1987).
6. Chert (phosphatic), Phosphoria Formation (Permian), Lincoln County, Wyoming (McKelvey et al., 1953, in T. P. Hill, Werner, and Horton, 1967, p. 70).

^aValues in weight percent.

^bIncludes MnO and Ga₂O₃ if present.

^cTotal iron as FeO.

^dTotal iron as Fe₂O₃.

^eAnalysis recalculated as water free.

nr = not reported.

tr = trace.

Biogenní (organogenní, alochemické) sedimenty

Základní komponenty:

- **Alochemie:**
 - **skeletální zrna:** vápnité schránky organismů a jejich fragmenty, karbonátové objekty organismy vysrážené (řasy)
 - **neskeletální zrna:** chemogenně nebo chemobiogenně vysrážená zrna,
 - **povlékaná zrna:** ooidy a pisoidy, onkoidy,
 - **peloidy:** fekální pelety, peloidy,
 - **polyagregátová zrna:** lumps, grapestones
- **Extraklasty**
- **Matrix**
 - **mikrit,** menší než 4 mikrony, původ do určité míry zastřený - rozrušování zelených řas, bioeroze karbonátového materiálu převážně rybami, chemogenní srážení
- **Sparit** (včetně cementu)



(a)

Travertin



Copyright © 2005 Pearson Prentice Hall, Inc.

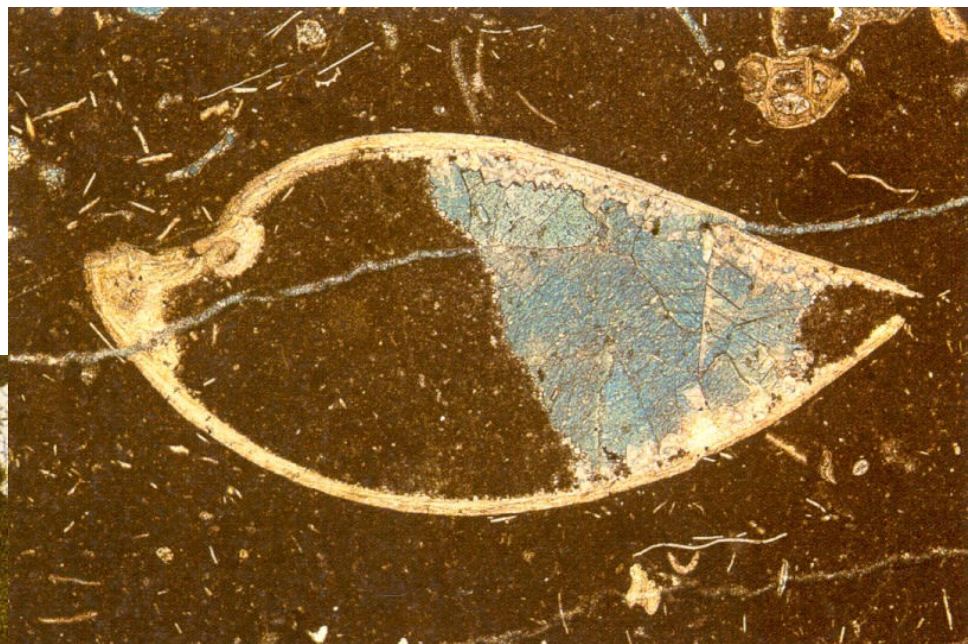
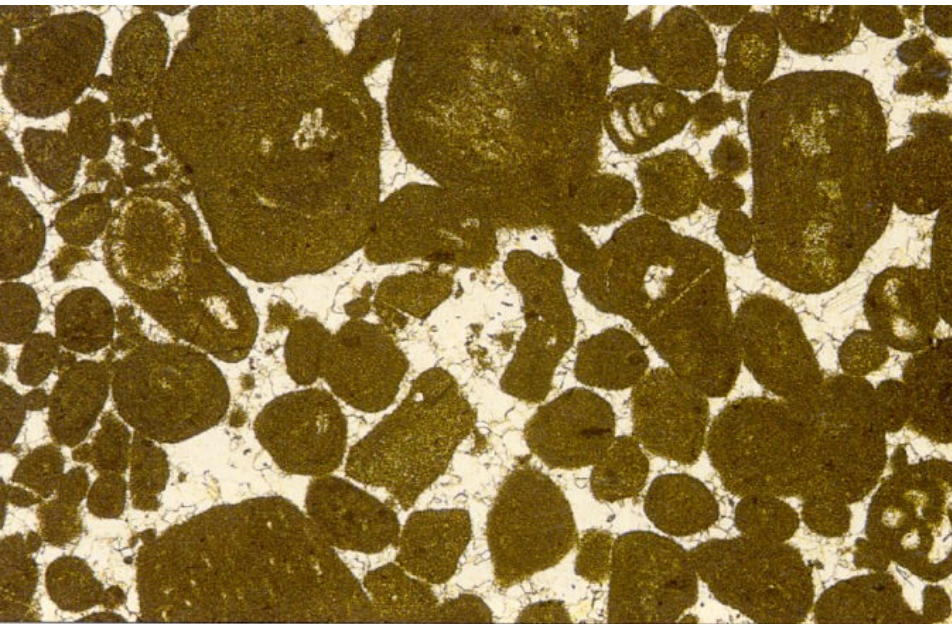
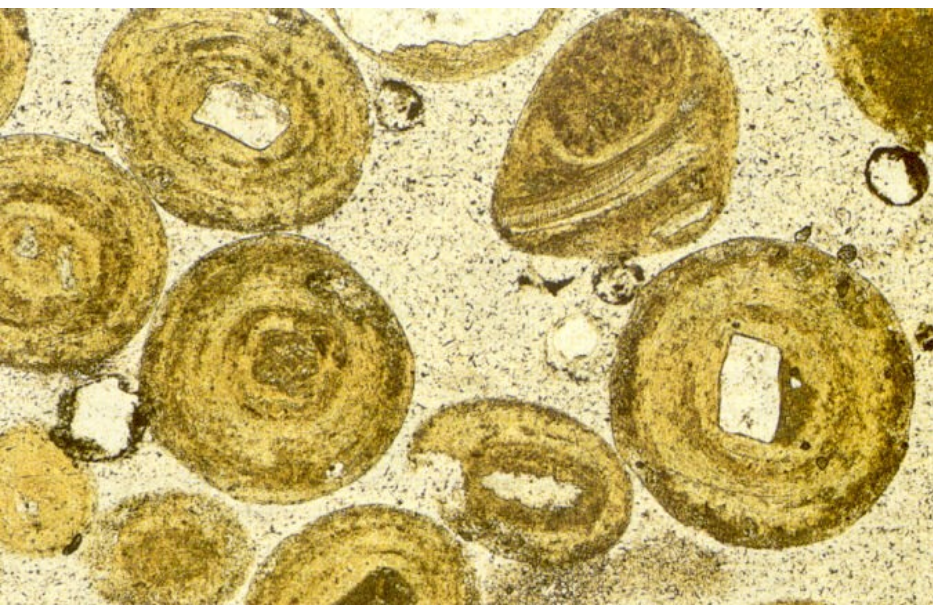
Coquina

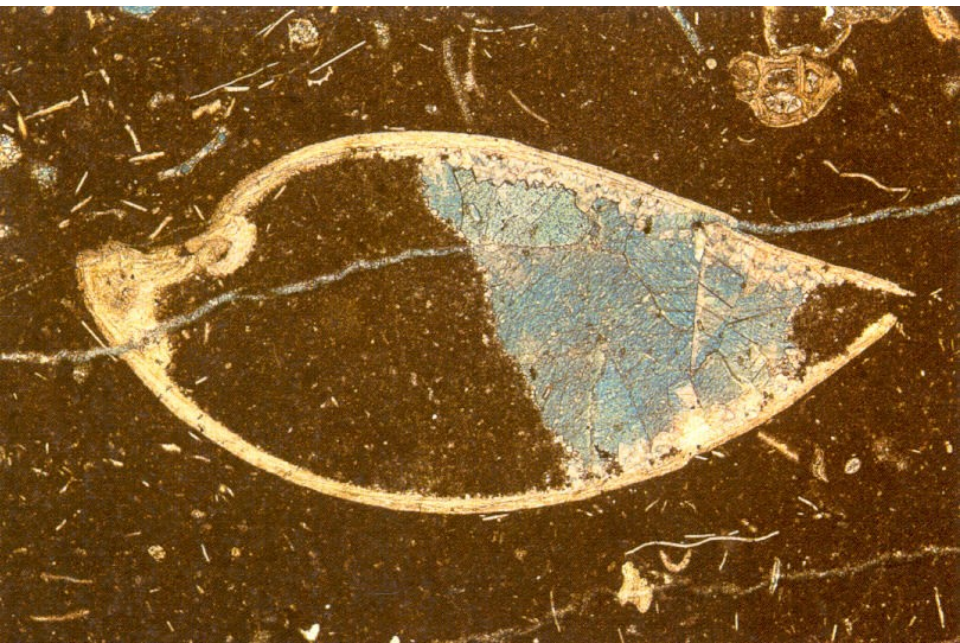


křída



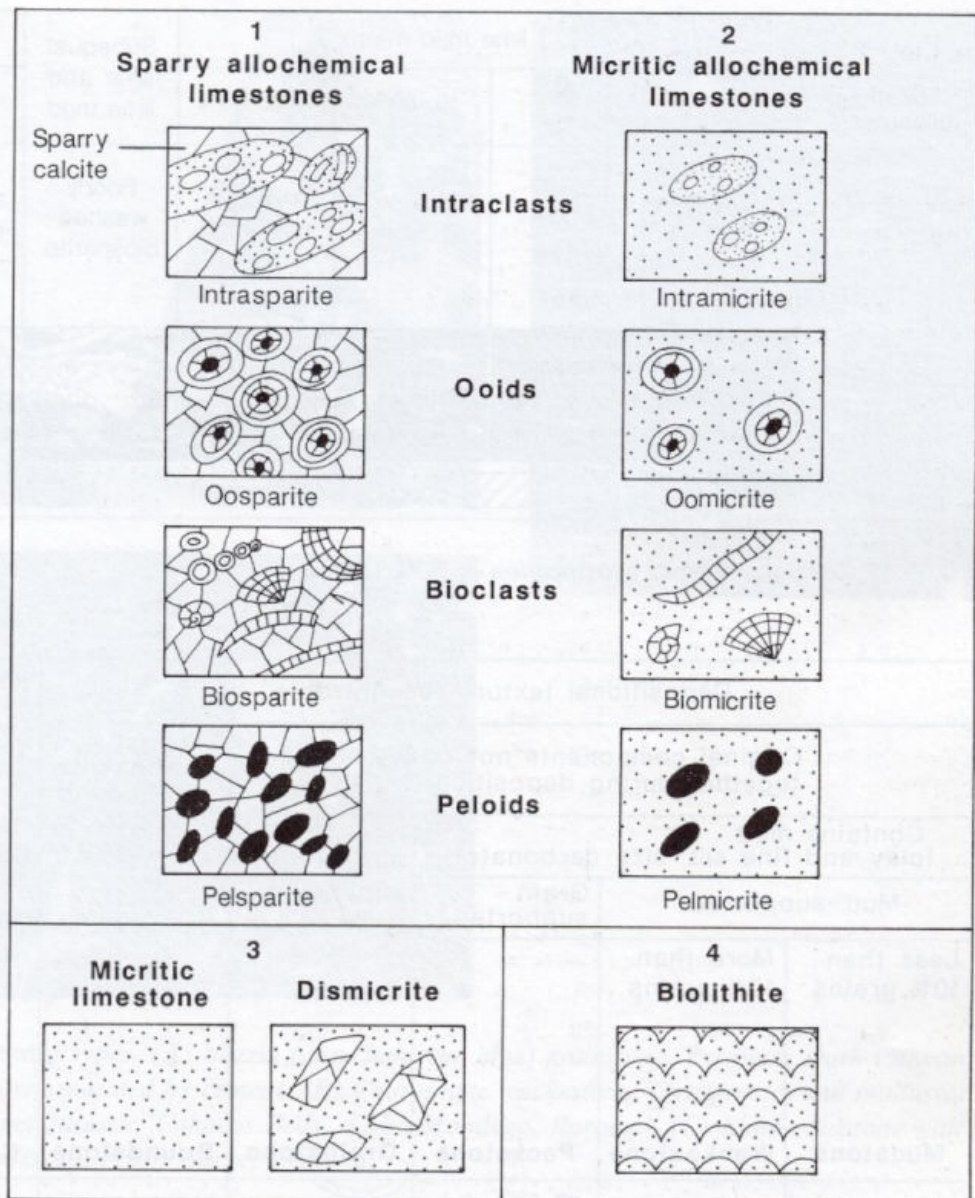
Copyright © 2005 Pearson Prentice Hall, Inc.





Folkova klasifikace (Folk, J.R. 1959)

- Sparit / mikrit
- Klasifikace alochemů (+/- prostředí sedimentace)
- Není zohledněna podpůrná struktura
- Není zohledněna velikost zrn



Folkova klasifikace (Folk, J.R. 1959)

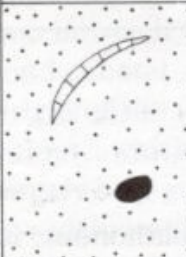
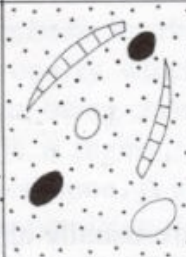
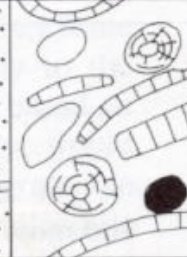
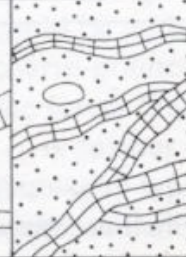
- Sparit / mikrit
- Podpůrná struktura (hydrodynamické podmínky)
- Klasifikace alochemů (+/- prostředí sedimentace)
- Třídění (hydrodynamické podmínky)
- Příliš dlouhé názvy hornin

Percent allochems	Over 2/3 lime mud matrix				Subequal spar and lime mud	Over 2/3 spar cement		
	0–1%	1–10%	10–50%	Over 50%		Sorting poor	Sorting good	Rounded and abraded
Representative rock terms	Micrite and dismicrite	Fossili- ferous micrite	Sparse biomicrite	Packed biomicrite	Poorly washed biosparite	Unsorted biosparite	Sorted biosparite	Rounded biosparite

Micrite Sparry calcite cement

Dunhamova klasifikace (Dunham, 1962)

- Sparit / mikrit
- Podpůrná struktura (hydrodynamické podmínky)
- Přehlednost
- **Klasifikace alochemů**

Depositional texture recognizable						Depositional texture not recognizable
Original components not bound together during deposition						Original components were bound together
Contains mud (clay and fine silt-size carbonate)			Lacks mud and is grain supported			
Mud-supported	Grain-supported					
Less than 10% grains	More than 10% grains					
Mudstone	Wackestone	Packstone	Grainstone	Boundstone	Crystalline	
						

Modální složení karbonátů

TABLE 19.4 Modes of Selected Carbonate Rocks and Sediments

	1	2	3	4	5	6	7	8
Mud	100 ^a	42.8	4.5	4.5	5.0	10.8	10.5 ^b	0.0
Spar	—	0.0	0.0	—	0.0	0.0	—	—
Calcite	—	—	—	20.0	—	—	—	0.0
Dolomite	—	—	—	—	—	—	—	99.9
Cement	—	—	—	—	—	—	18.8 ^c	—
Intraclasts	—	1.9 ^d	26.9 ^d	1.0	7.5	22.8	< 1	0.0
Ooids	—	6.3	14.9	34.5	66.6	6.4	—	0.0
Pellets	—	32.6	4.9	—	7.2	4.7	tr	0.0
Grapestones	—	0.3	32.0	—	4.5	5.4	—	0.0
Skeletal grains				40.5				0.0
Corals	—	0.0	0.1	—	0.1	5.9	nr	—
Mollusks	—	2.7	4.1	—	1.4	7.1	< 1	—
Brachiopods	—	—	—	—	—	—	< 1	—
Echinoderms	—	—	—	—	—	—	33.8	—
Algae	—	1.3	2.8	—	1.9	11.6	4.5	—
Forams	—	3.9	2.6	—	1.0	7.1	nr	—
Bryozoans	—	—	—	—	—	—	17.2	—
Trilobites	—	—	—	—	—	—	2.2	—
Ostracods	tr	—	—	—	—	—	< 1	—
Other	—	2.9	3.2	—	1.9	9.5	3.8	—
Other	—	5.3	4.0	—	3.0	8.8	0.0	tr ^e
Total	100	100	100	100	100.1	100.1	100	100
Points counted	nr	11,500 ^f	32,000 ^f	200	35,500 ^f	16,500 ^f	nr	200

Sources:

1. Lime mudstone (basinal), average of 9 samples, Liberty Hall and Rich Valley formations (Middle Ordovician), western Virginia (J. F. Read, 1980a).
2. Pelletal mud facies, average of 23 samples, Great Bahama Bank (Recent) (Purdy, 1963b).
3. Grapestone facies, average of 64 samples, Great Bahama Bank (Recent) (Purdy, 1963b).
4. Oolitic fossiliferous grainstone, Monteagle Formation (Mississippian), near Huntsville, Alabama (unpublished data, H. Gault).
5. Oolitic facies, average of 71 samples, Great Bahama Bank (Recent) (Purdy, 1963b).
6. Corallgal facies, average of 33 samples, Great Bahama Bank (Recent) (Purdy, 1963b).
7. Skeletal grainstone, average of 25 samples, Effna, Murat, Rockdell, and Ward Cove limestones (Ordovician), western Virginia (J. F. Read, 1980a; see note b below).
8. Fine-grained crystalline dolostone, upper Knox Group (Ordovician), Nebo Quadrangle, Virginia (unpublished data, L. A. Raymond).

^aValues in volume percent, based on point counts as indicated.

^bValues are converted from those reported, assuming clasts + cement = total.

^cReported as blocky and fibrous cement.

^dIn these sediments, grains reported as cryptocrystalline grains are included as intraclasts.

^eConsists of a few scattered quartz grains and cryptocrystalline iron oxides.

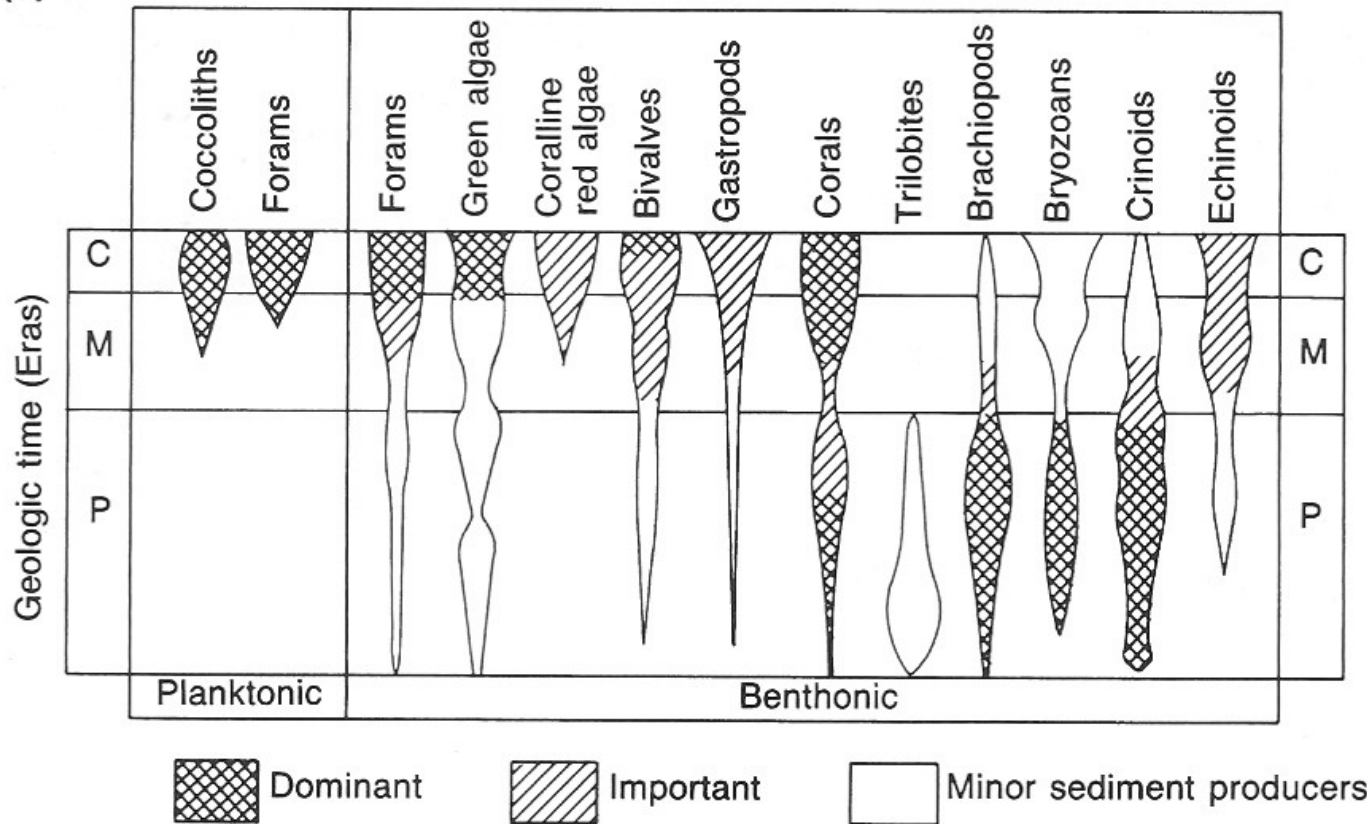
^fNumber of samples \times 500 pts./sample.

nr = not reported.

tr = trace.

Distribuce skeletálních zrn ve fanerozoiku (skupiny biomineralizujících organismů)

(a)



Distribuce útesových karbonátů ve fanerozoiku

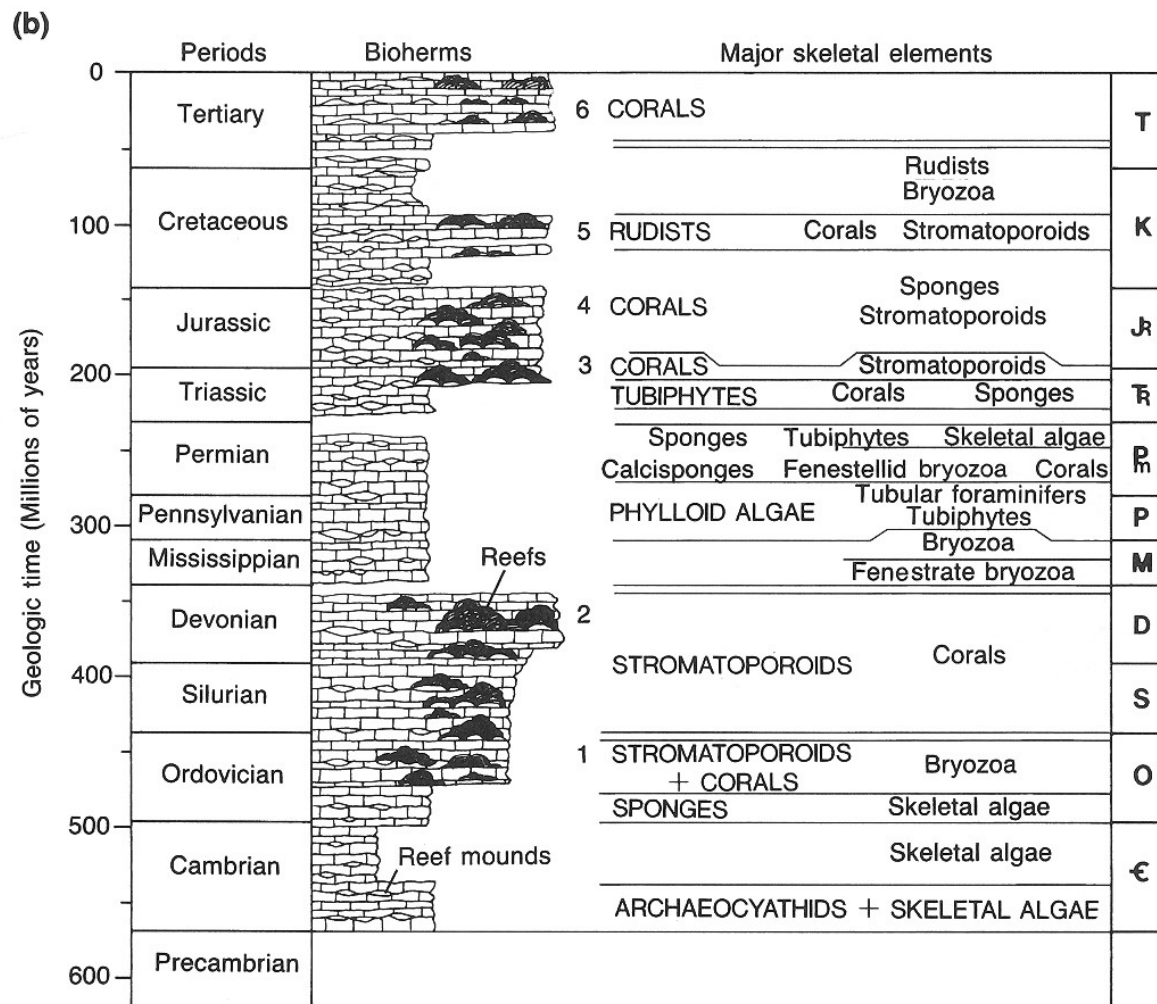


Figure 19.2

Illustrations of changes in abundances and dominance of marine, calcareous skeletal-producing organisms over time. (a) Variations in abundance and dominance of various groups of organisms
 (b) Dominant reef-forming organisms during various Phanerozoic periods.

(Source: (a) After Wilkinson, 1979, (b) After James, N. P., 1983.)

Sedimentační prostředí karbonátů odvozené z petrografie (mikrofacie)

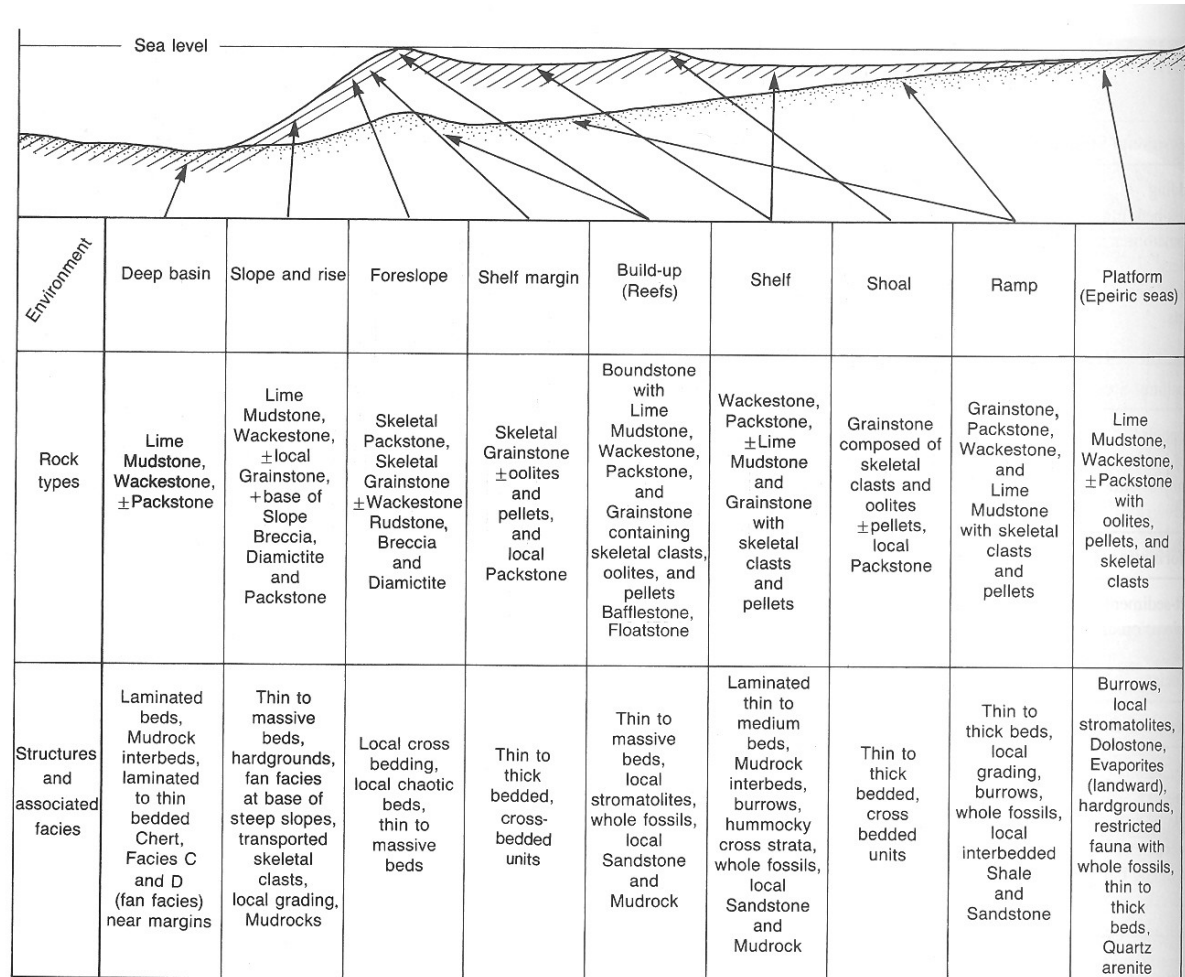


Figure 19.4

Diagram showing some characteristics of the nine major marine environments of carbonate rock formation. Slashes and dots highlight depositional surfaces of two possible margin shapes.

(Source: Based on J. L. Wilson, 1975, and J. F. Read, 1980a.)

karbonátové horniny kontinentální

- travertin – vzniká vysrážením z horkých pramenů (též vřídlovec a hrachovec)
- jezerní křída – vzniká vysrážením ze stojatých vod
- pěnovec – vzniká vysrážením na potocích

Klasifikace karbonátů podle převládající velikosti částic

Velikost částic	Petrografické označení			Vulkanoklastika		Vápence	Reziduální horniny
	latinské	řecké	české				
Nad 256 mm	psefit	rudit	štěrk	balvanitý	vulkanické balvany a bloky, blokové a balvanové tufy,	kalcirudit	úlomková rezidua
64-256				hrubozrnný	vulkanické kameny a aglomerátové tufy		
8-64				střednozrnný	lapilli, lapiltové tufy		
2-8				drobnozrnný	lapilli, lapiltové tufy		
1-2 mm	psamit	arenit	písek	velmi hrubozrnný	pískový tuf, vulkanický písek	kalciarenit	písková rezidua
0,5-1				hrubozrnný			
0,25-0,5				střednozrnný			
0,125-0,25				jemnozrnný			
0,062-0,125				velmi jemnozrnný			
0,004-0,062	alenrit	lutit	prach		vulkanický popel, popelový tuf, sopečný prach	kalcilutit	jílová rezidua
> 0,004	pelit		jíl		velmi jemný vulkanický popel, sopečný jíl		

Kaustobiolity

- **Kaustobiolity** jsou usazeniny tvořené organickými sloučeninami, které vznikají z rostlin (fytogenní) – humózní či uhelná řada, nebo ze živočichů (zoogenní) – bituminózní (živočišná řada).
- **Kaustobiolity uhelné řady**
 - Nahromadění uhlíku závislé na rozšíření rostlin v určitých geologických obdobích (karbon, terciér) a na vodním režimu. **Rašeliny** vznikají v místech rozšíření mechu rašeliníku za přínosu spodní vody bud' jako vrchovištní (s výrazným klenutím v centrální části, většinou v horských podmírkách – Krušné Hory), nebo jako slatinná (jižní Čechy). Z bílkovin vzniká kvašením hnilokal (sapropel), zpevněný sapropel je **sapropelit**. Sapropely s jílovou příměsí jsou hořlavé břidlice.

Hnědé uhlí má vyšší obsah uhlíku, vzniká v redukčním prostředí. Je-li tvořeno listy, pletivem apod. označuje se jako **liptobiotit**, jsou-li materiélem cévné rostliny jde o humit. Takové hnědé uhlí se označuje jako **lignit**. Hnědé uhlí vzniklo hlavně ze smrků.

Černé uhlí má vysoký obsah uhlíku, odlišné stopové prvky, protože vzniklo z pralesů obrovitých **přesliček a plavuní**, většinou v tropickém klimatu.

Při zvýšeném prouhelnění a zpevnění vzniká z černého uhlí **antracit**. Dalšími odrůdami jsou svícková uhlí (**kenel**), která vznikla z akumulací spór, **boghed** z řas a **šungit**, nejstarší známé uhlí z proterozoika baltického štítu. Z jantaru vzniká **kukersit**.

Kaustobiolity

Kaustobiolity bitumenové (živičné) řady

- Bituminózní řadu tvoří **živice**, které vznikly převážně ze živočichů. Nelze vyloučit anorganický původ některých živic (např. jako relikt metanového obalu Země, který existoval v ranných stádiích jejího vývoje), ale organický původ je doložen např. při ústí Orinoka, kde vznikají bitumeny z organického materiálu přinášeného řekou v mělkém silně protepreném moři.

Rozlišují se živice:

- a) plynne – **zemní plyn**
- b) kapalné – **ropa**. Ropa je směs kapalných, plynných a pevných uhlovodíků. Velmi lehká ropa je bohatá těkavými uhlovodíky (benzinem), v lehké ropě převládají parafinové uhlovodíky, v těžké naftenické a ve velmi těžké aromatické uhlovodíky.
- c) pevné – **zemní vosk, ozokerit, asfalt a pevný asfaltit**

Další klasifikace

Klasifikace podle zdroje materiálu

- Extrabazinální sedimenty (siliciklastika)
- Intrabazinální sedimenty (karbonáty, evapority, silicity, organolity)

Genetické klasifikace

- Konturity (sedimenty uložené nebo přepracované konturovými proudy)
- Turbidity (sedimenty uložené turbiditními proudy)
- Tempestity (sedimenty uložené během velkých bouří)
- Tidality (sedimenty tvořené v příbřežní zóně ovlivňované slapovými jevy)
- Inundity (sedimenty usazované vlivem střídání povodňoého a normálního stavu řek)

Genetická klasifikace sedimentů

Název	Definice	Mechanismus sedimentace	Prostředí	Hlavní diagnostické znaky
Gravity (debrity)	Sled sedimentů usazených převážně jakýmkoli gravitačními proudy	Sedimentace z gravitačních proudů se střídá s pomalou sedimentací ze suspenze	Obvykle hlubší pánev	
Homogenity	Homogenní vrstvy sedimentů uložené jediným sedimentačním pochodem	Uložení gravitačním proudem vyvolaným tsunami	Hlubší deprese	Homogenní vrstva vápenatého kalu ostře oddělená od podloží a nadloží
Inundity	Sledy sedimentů, usazení vlivem střídání povodňového a normálního stavu řek	Povodně zanášejí do pánve hrubší detrit	Menší hloubky, v okruhu vlivu ústí řek	Pozvolné přechody mezi vrstvami hrubozrnnejších sedimentů, diaturbace
Konturity	Sledy sedimentů uložené nebo přepracované konturovými proudy	Uložení konturovými proudy nebo přepracování původních turbiditů	Nejčastější hloubky 1000-3000 m, pevninské úpatí	Malá mocnost vrstev, dobře vytríděné jemnozrnné pískovce, laminy těžkých minerálů
Periodity	Ryticky se střídající druhy sedimentů, vertikální změny vázány na stejně časové úseky	Střídání podmíněno pravidelnými oscilacemi klimatu	Mělké moře i hluboké pánve s pravidelnou pomalejší sedimentací	Pravidelnost ve střídání sedimentů
Tempestity	Sledy sedimentů uložené pod vlivem anomálních katastrofických událostí jako hurikánů	Zvířené masy sedimentů, uložení suspenze na místě nebo níže po svahu	Nejčastěji v hloubkách 30-100 m	Hřbitkové zvrstvení, ostrá spodní hranice vrstev pískovců, bioturbovaná svrchní část
Tidality	Sedimentární sledy tvořící se v okruhu působnosti přílivového a odlivového proudu	Působení výčasových proudů, periodické vysychání dna	Přílivová plošina, supralitorál, litorál i sublitorál	Mázdřité zvrstvení, protisměrné šíkmé zvrstvení, jílovité útržky
Turbidity	Sled sedimentů usazených převážně turbidními proudy	Sedimentace z turbidních proudů se střídá s pomalou sedimentací ze suspenze	Většinou hlubší pánve, pevninské úpatí i abysální rovina, někdy i mělké pánve i jezera	Gradace, ostrá spodní hranice, Boumova sekvence

Diageneze

Soubor fyzikálních, chemických a biologických procesů, které vedou k přeměně sedimentu na sedimentární horninu

Diageneze může pokračovat i po zpevnění horniny a měnit její strukturu a mineralogické složení

Diageneze vzniká, pokud se minerály sedimentu v důsledku změny podmínek nebo chemismu stanou chemicky nestabilní (hranice mezi zrny a vodou nebo vzduchem – změna chemismu, měna tlaku, změna teploty)

Cílem systému je dosáhnout stabilního ekvilibria

- **Diagenetické procesy:**

- Kompakce
- Rekrystalizace
- Rozpouštění (včetně tlakového)
- Cementace (tmelení)
- Nahrazování (metasomatické změny)
- Bioturbace

Diagenetické procesy

Kompakce

- Zvýšení tlaku nadloží
- Snížení porozity
- Faktory, které ovlivňují možnou míru kompakce - velikost zrna, tvar zrna, zaoblení, třídění, původní porozita, objem fluid v pórech
 - Mechanická kompakce (necementované horniny)
 - Chemická kompakce (rozpuštění, cementované horniny)

Rekrystalizace

- Reorientace krystalových mřížek minerálů (chemismus se nemění)
- Tlak, teplota, fluidní fáze
- Obecně zvyšování velikostí zrna – snížení povrchu zrn – snížení povrchové volné energie – ekvilibrium

Kompakce

Pressure squeezes out pore water

Clay rich sediments



Compaction

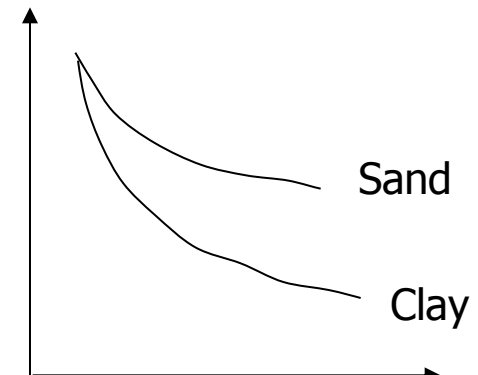


50 – 60% water

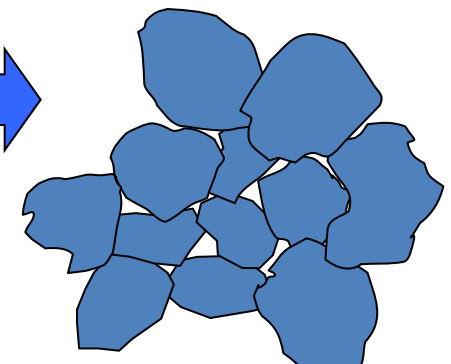
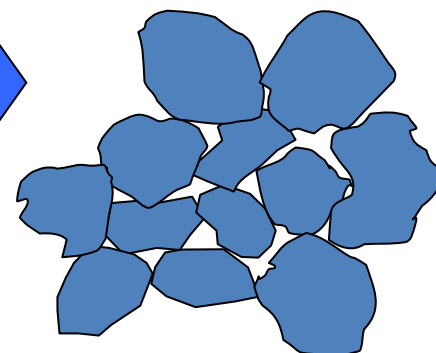
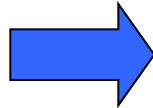
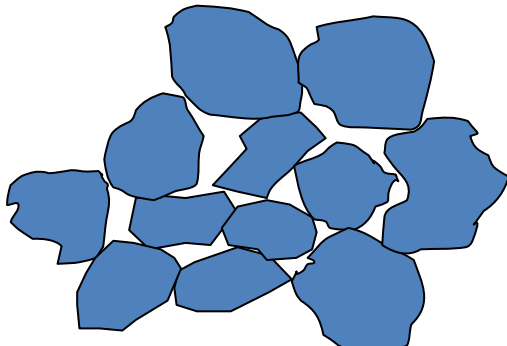
Consolidation

10 – 20% water

Volume of voids



Granular sediments - Sands

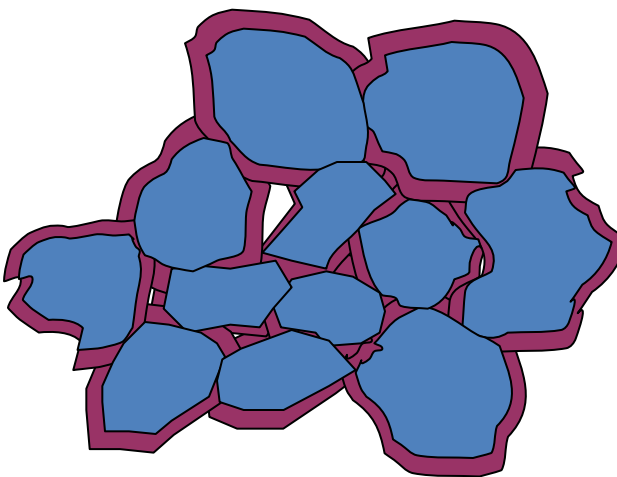
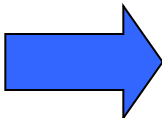
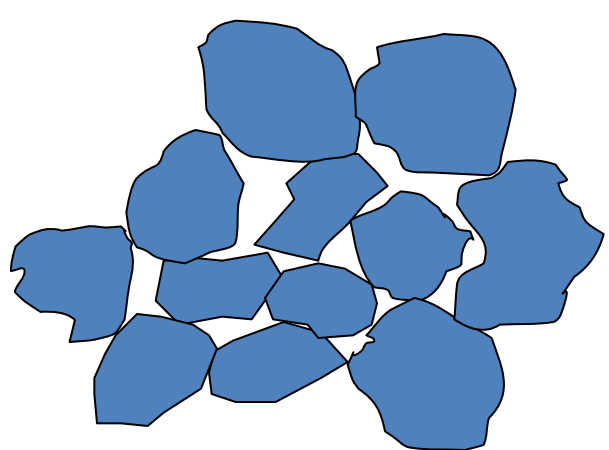


Reduction in voids through
particle re-arrangement

Further void reduction by
pressure dissolution –
produces a locked sand

Rekrystalizace

Mineral grains forming sand increase in size due to crystallisation around the grains of the same mineral. For example if mineral grains are quartz then more quartz grows around original grains



Sand

Sandstone e.g. quartzite
End product has crystalline texture

Diagenetické procesy

Rozpouštění

- Podsyení pórůvých fluid vzhledem k okolním minerálům, nestabilní minerály
- Zvýšená teplota, tlak
- Tlakové rozpouštění – v místě maximálního kontaktu – krystalizace v místě menšího tlaku

Cementace

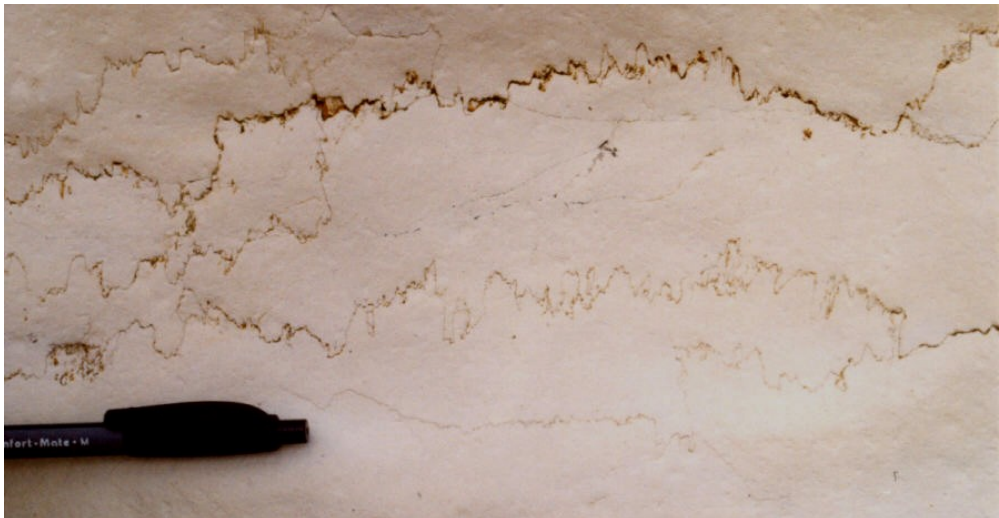
- Krystalizace nových minerálů z roztoků v pôrech horniny – křemen, kalcit, hematit, aragonit, sádrovec, dolomit,
- Snižování porozity, zpevňování

Podmínky

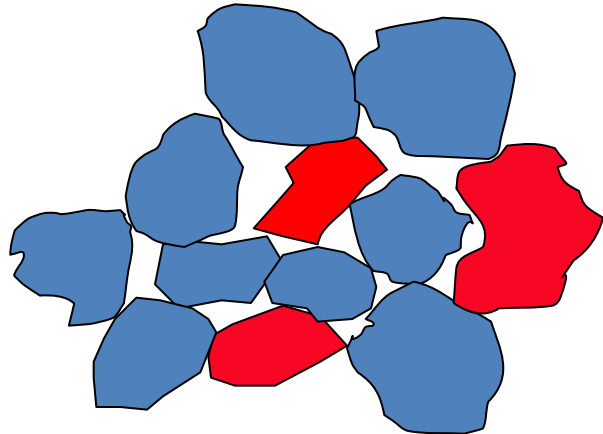
- Průchod fluid pôry, přesycení fluid vůči cementačnímu minerálu
- Absence kinetických faktorov zabranujúcich cementaci

Autogeneze

- Krystalizace nových minerálů mimo pôry v sedimentu – zpravidla nahrazení
- křemen, živce, jíly, zeolity, kalcit, hematit, aragonit, sádrovec, dolomit, fosfáty (apatit)
- Snižování porozity, zpevňování

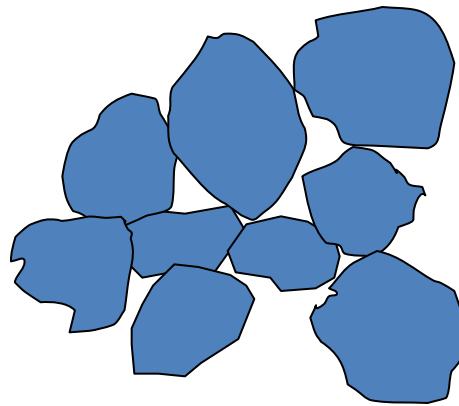
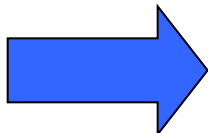


Rozpouštění



Mixed carbonate and
quartz sand

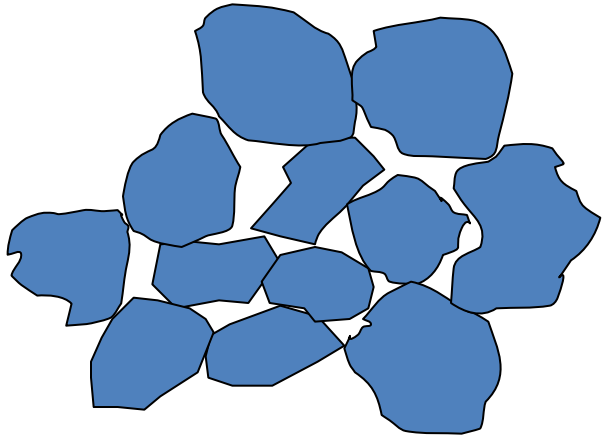
Dissolution of
carbonate grains



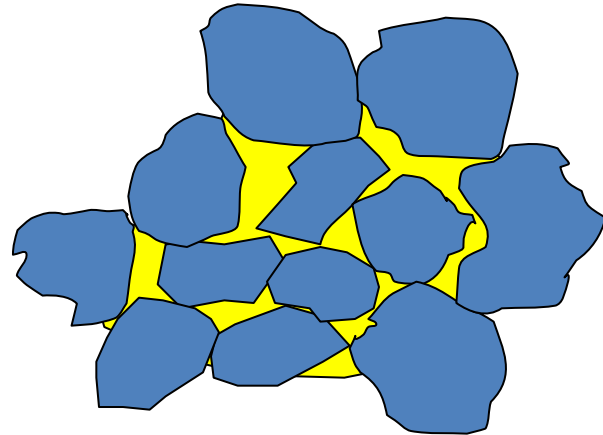
Quartz sand + particle re-
arrangement

Cementace

Sand



Cemented sand = sandstone



- Iron oxide
- Calcium Carbonate
- Clay minerals
- Silica

Diagenetické procesy

Nahrazování

- Nové minerály krystalizují na místě původních minerálů
- **Neomorfismus** – nové zrno je stejné fáze jako původní (sejný minerál)
- **Pseudomorfismus** – nové zrno napodobuje vnější tvar původního zrna
- **Alomorfismus** – nový minerál o jiném tvaru nahrazuje původní minerál

dolomitizace v karbonátech,
silifikace v lutitech,
fosfatizace,
sideritizace.

Látková migrace se uplatňuje i při fosilizaci zkamenělin, která je významnou součástí litifikačních procesů.

Bioturbace

- Zvíření sedimentu v důsledku činnosti živých organismů
- Při povrchu sedimentu
- Někdy doprovodná cementace

Diagenetické procesy

Prouhelnění (karbonifikace)

Postup prouhelnění se zpravidla dělí na několik stádií, které jsou však samostatné, vzhledem k tomu, že jsou závislé i na výchozím materiálu:

- **Stádium tlení, trouchnivění a hnití**
- **Stádium rašelinění** při němž bílkoviny kvasí na hnilik (sapropel). Důležitými podmínkami jsou tlak nadloží, teplota a dostatek vody
- **Stádium hnědouhelné** probíhá v redukčním prostředí a je charakterizováno relativním zvyšováním obsahu uhlíku v důsledku ochuzení o kyslík a vodík
- **Stádium černého uhlí** s dalším zvýšením obsahu uhlíku.

V dalších stádiích se podílejí metamorfní podmínky. Vzniká **antracit** a **grafit**, tvořený čistým uhlíkem. Zatím není jasné, zda i v podmírkách litosféry vzniká nejvyšší stádium – diamant, spíše však jde o proces probíhající v přírodě jen v pláště.

Při prouhelnění dochází v organických akumulacích ke **vzniku huminových kyselin**. **Klesá obsah vody, kyslíku a dusíku** (uvolňovaných z uhlovodíku) a proto se zvyšuje podíl uhlíku. Výrazná je **frakcionace izotopů H, C, N, O, S**, při čemž se **lehčí izotopy výrazně koncentrují**. Např. poměr $^{12}\text{C}/^{13}\text{C}$ se proti atmosférickému poměru zvyšuje o 1 – 2 % a opakováním může dosáhnout až 90 %.

Fáze diageneze

- Raná diageneze (eogeneze)
- Středí fáze diageneze (mesogeneze)
- Pozdní diageneze (telogeneze)
- Mělká diageneze (shallow-water)
- Diageneze pohřbením (burial)

Diagenetická historie horniny

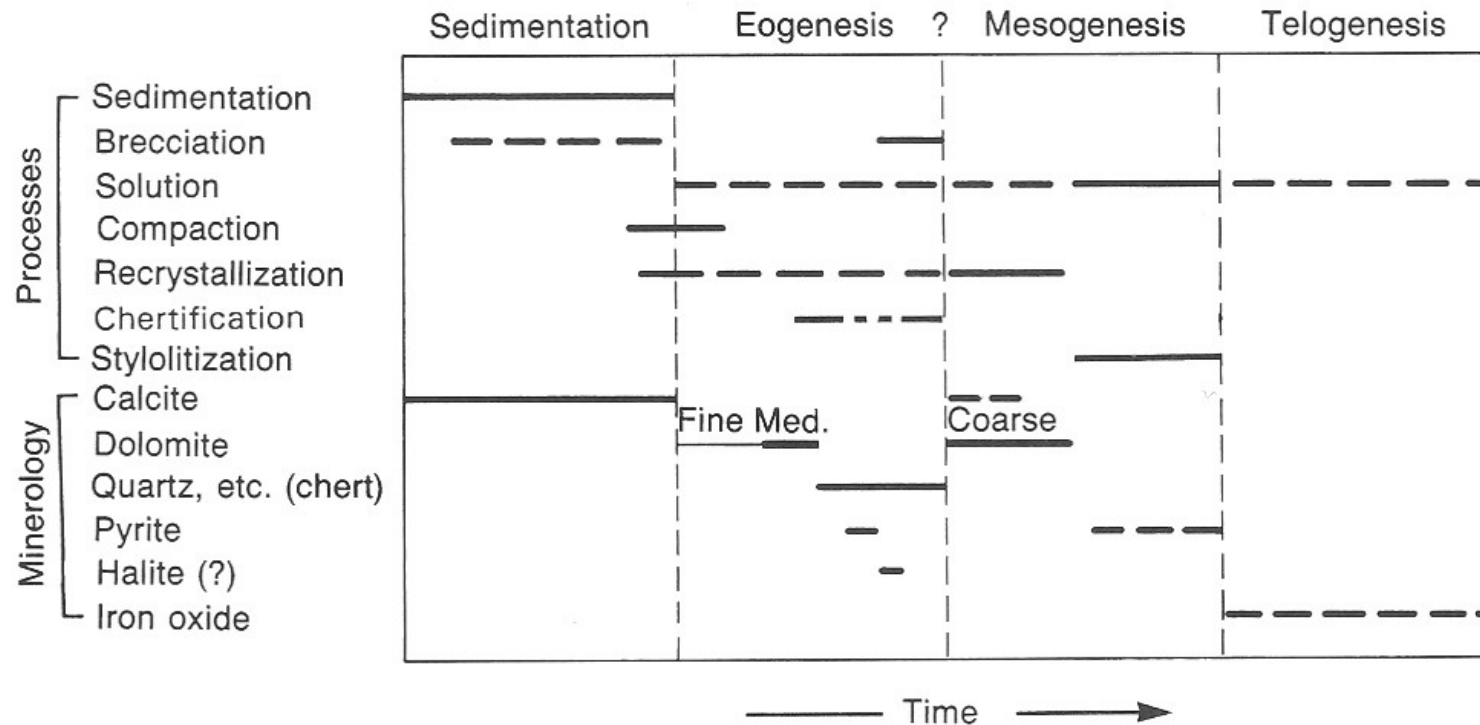


Figure 14.10

Diagram showing the diagenetic history of Upper Knox Group rocks (Ordovician) from the Nebo Quadrangle, southwestern Virginia.

- **Sekvence diagenetických procesů, jim odpovídající mineralogie a fáze diageneze**

Diagenetická historie horniny

- relativní datování diagenetických fází a událostí

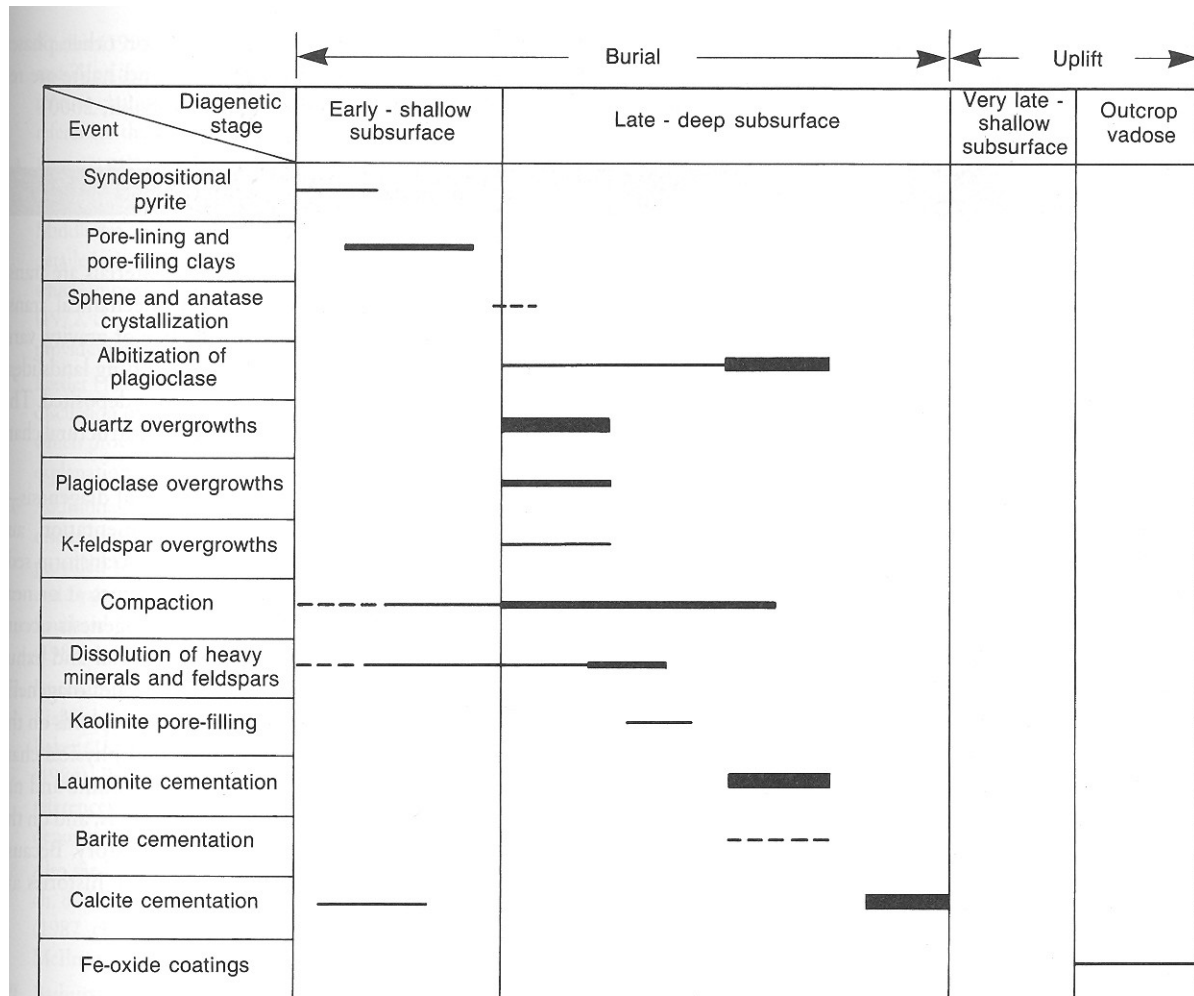


Figure 14.13

Diagram showing diagenetic stages and events in Paleogene sandstones of the Santa Ynez Mountains, California. Width of bars indicates relative abundance of diagenetic phases, whereas length indicates duration of diagenetic change.
(Source: From Helmold and van de Kamp, 1984.)

Fluida při diagenezi

Fluida přítomna v každém sedimentu

Funkce fluid

- Srážení cementů
- Tvorba autigenních a náhražkových minerálů
- Rozpouštění

změna složení fluid během diageneze

Typy fluid

- syndepoziční (voda)
- meteorická fluida (sladká voda)
- mořská voda
- dehydratační rozklad minerálů – další voda
- metan
- uhlovodíky

Diageneze psamitických a psefitických klastických sedimentů

Porozita a kompakce ekonomické hledisko – ropa a zemní plyn

- snižování porozity, deformace plastických litických zrn (droby), porozita (po uložení cca 40%), po diagenezi mnohem méně, minimum cca 3%

Bioturbace – místy hojná

Rekrystalizace

Rozpouštění

- snižování porozity nebo zvyšování sekundární porozity
- Změna minerálního a chemického složení horniny
- Stabilní minerály (křemen) → nestabilní minerály (živce)

Autogeneze

- Fylosilikáty, chlorit, živce, zeolity

Cementace

- Křemen, kalcit, živce, dolomit, illit, kaolinit, hematit

Typy cementu:

- Vlákňité
- Mikritické
- Izometrické zrnité (equant)

Diageneze pelitických hornin

Minerální složení:

- Illit, smektit, kaolinit, chlorit, křemen, živce, kalcit

Bioturbace:

- eogeneze, velmi hojná

Porozita a kompakce:

- uspořádání tabulkovitých zrn kolmo k tlaku nadloží, značná kompakce

Autigeneze, nahrazování, rozpouštění, rekrystalizace, cementace

- Nahrazování smektitu illitem závislá na teplotě („krystalinita illitu“) – „termometr“
- Nahrazování kaolinitu jinými fylosilikáty (dickit)
- Rozpouštění a nahrazování živců
- Rozpouštění a nahrazování kalcitu a dolomitu
- Snížení obsahu organického uhlíku

Diageneze karbonátů

Procesy směřující k ustanovení chemické rovnováhy:

Nestabilní minerály (aragonit, high-Mg kalcit) -> stabilní minerály (low-Mg kalcit, dolomit)

Procesy:

- Cementace
- mikrobiální mikritizace
- Neomorfismus
- Rozpouštění
- kompakce (+ tlakové rozpouštění)
- dolomitizace

Prostředí diageneze:

- Mořské
- Meteorické
- Hluboké pohřbení (burial)

Cementace

Výplň pórů minerálními fázemi

Cementační minerály:

- Běžně: Aragonit, kalcit, dolomit,
- Méně často: Ankerit, siderit, kaolinit, Q, anhydrit, sádrovec, halit

Původ iontů ve fluidech:

- z mořské vody
- z rozpuštěné horniny

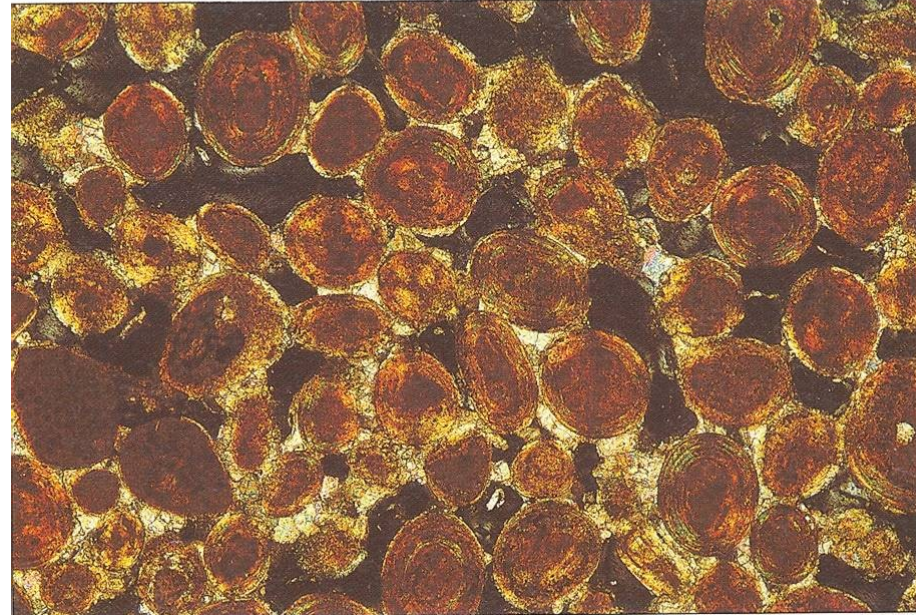
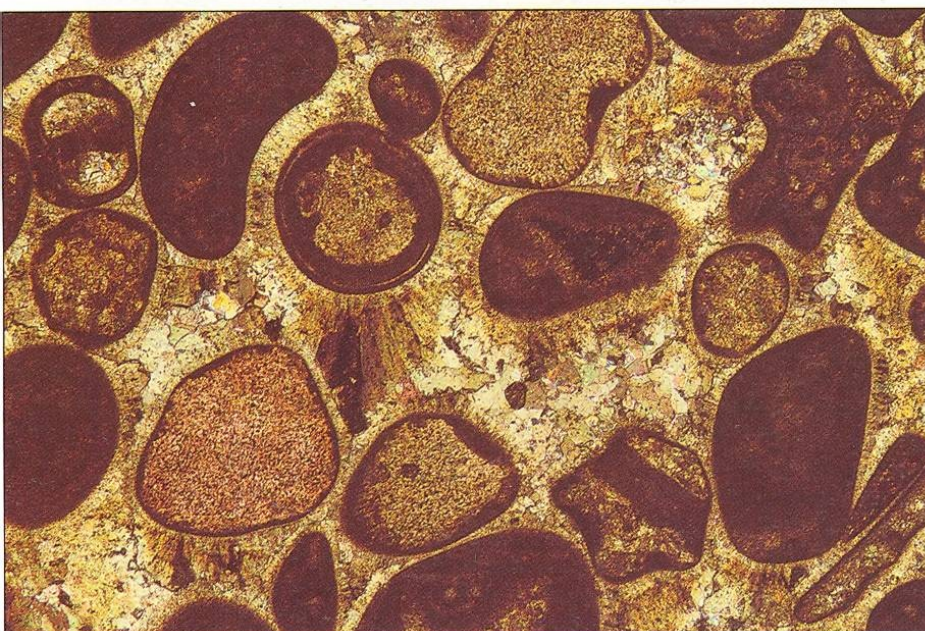
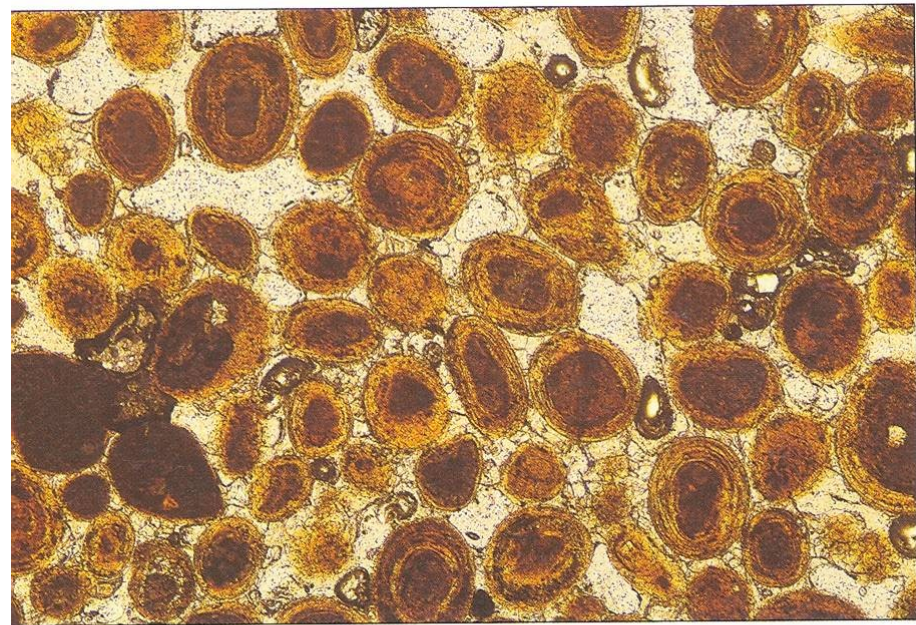
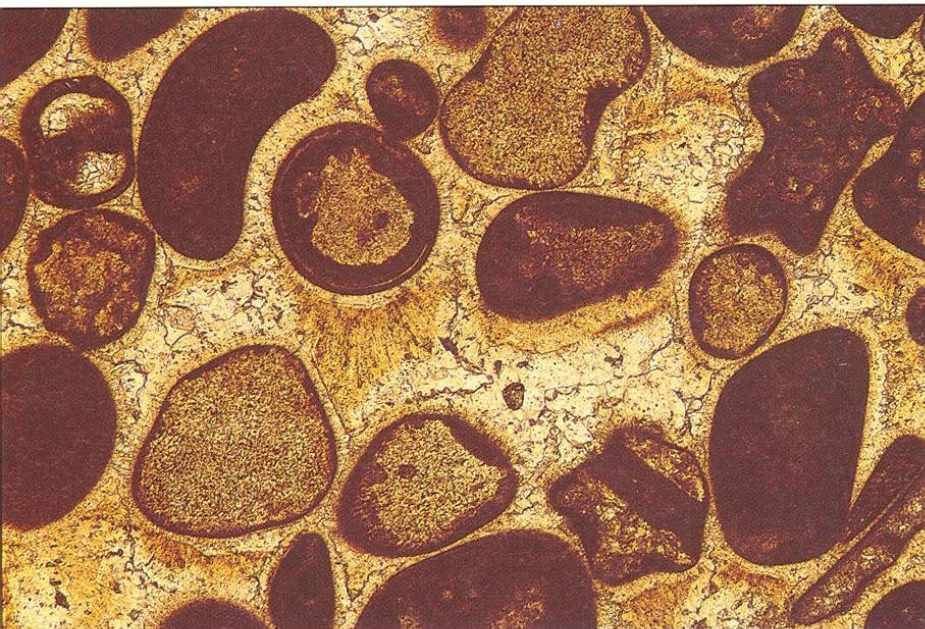
Morfologie cementu (tvar krystalových individuí):

Jehlicovitý, izometrický (equant), mikritový

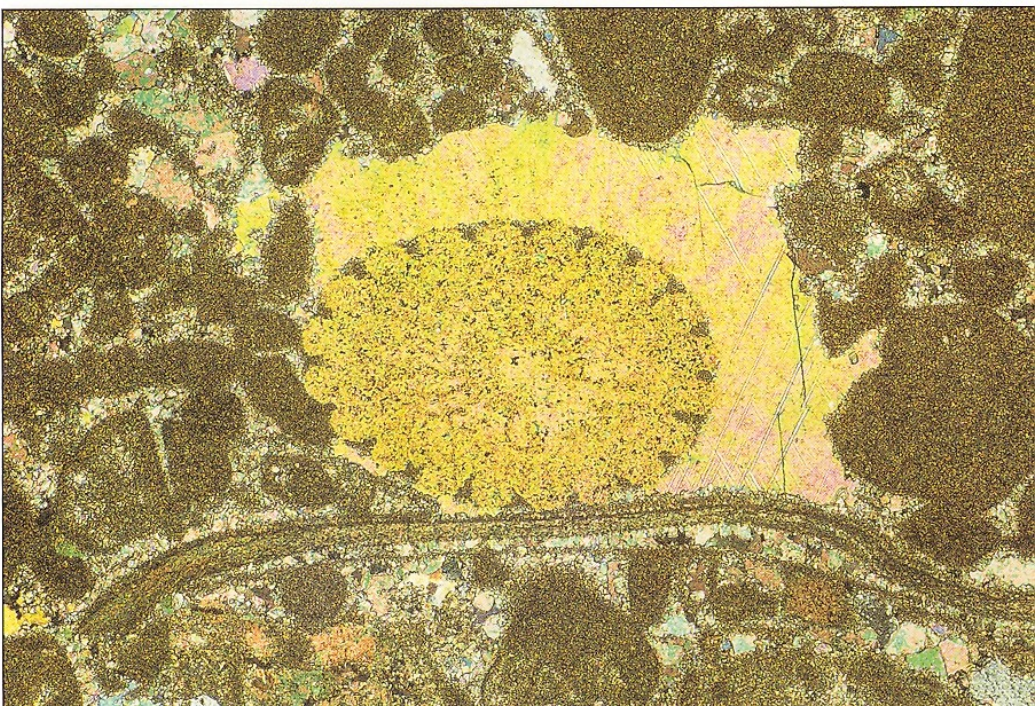
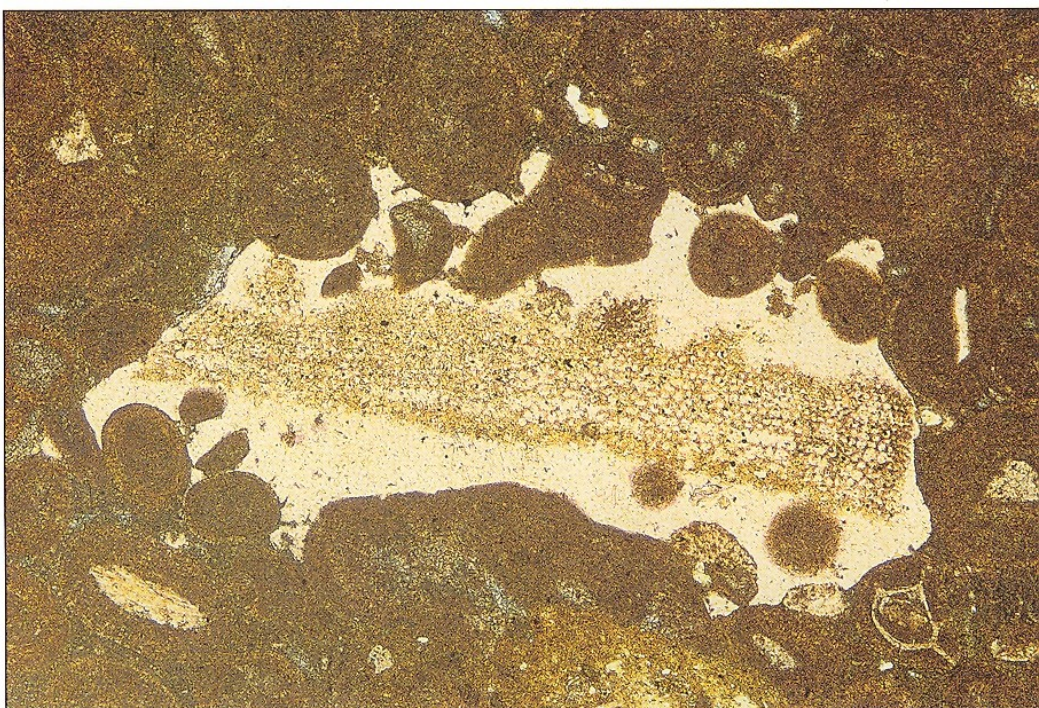
Geometrie cementu (uspořádání krystalů v prostoru):

Izopachový, meniskový, polygonální, syntaxiální

Cementy: izopachový, blokový (vlevo), meniskový (vpravo)



Syntaxiální cement



Mikrobiální mikritizace

Chemické leptání substrátu mikroorganismy

Výplň leptaných dutin mikritem

mikritické obálky, úplné nahrazení zrna

Substrát: skeletální alochemy (echinodermata, mollusca), ooidy

Vrtavé mikroorganismy: (vápnité houby /Cliona/, endolitické řasy, aktérie)

Neomorfismus

Změna velikosti zrna a změna chemismu zrn

- ▶ Agradace: zvětšování velikosti zrna (mikrit -> mikrosparit)
- ▶ Kalcitizace: nahrazení aragonitu kalcitem

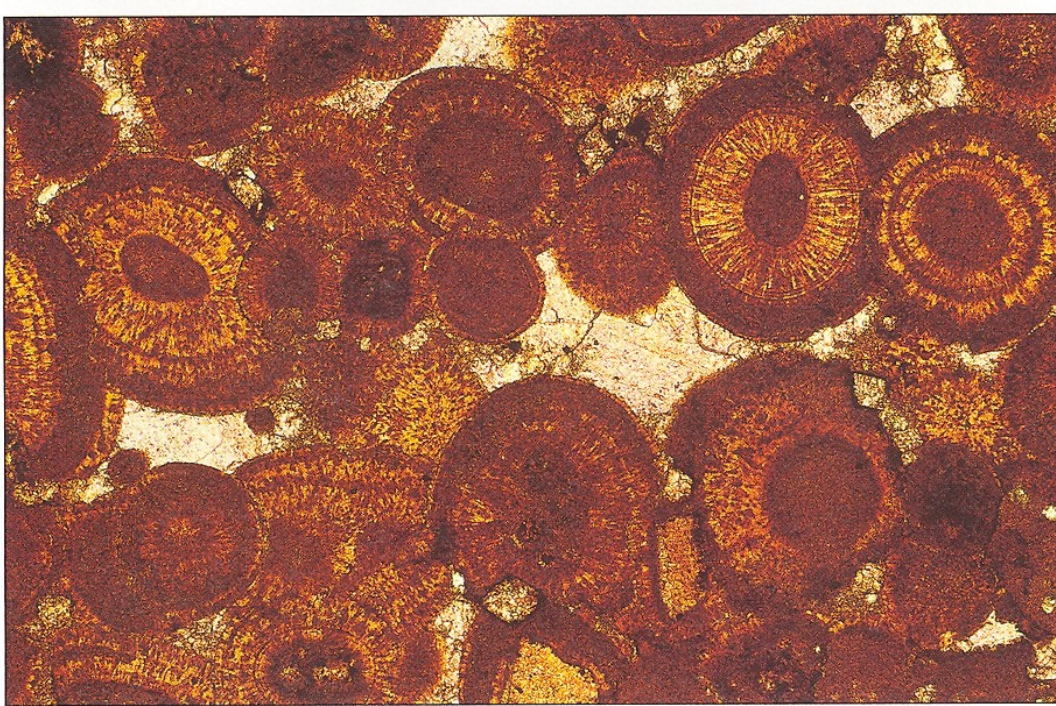
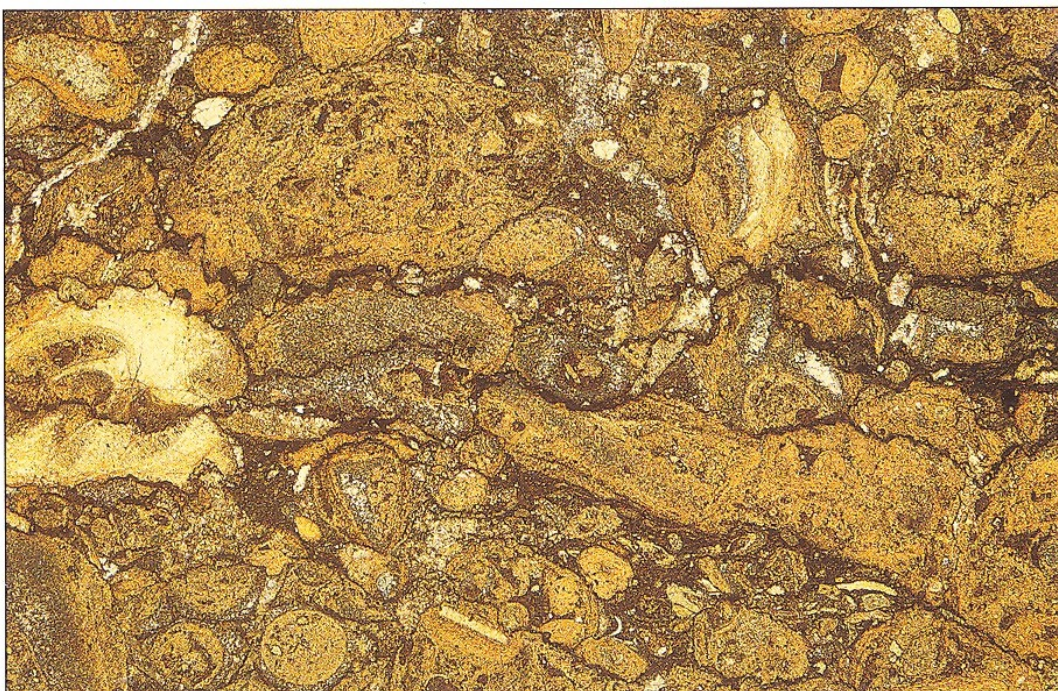
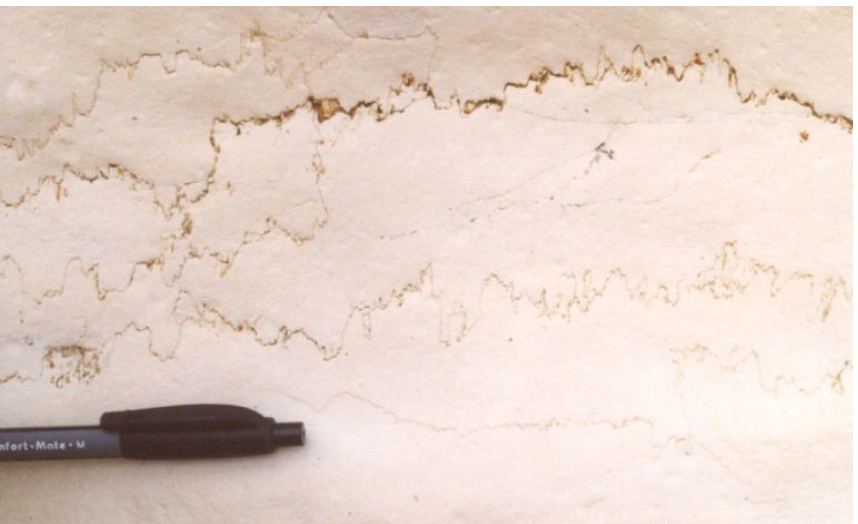
Rozpouštění

Nestabilní minerály: aragonit, high-Mg kalcit

Kompakce

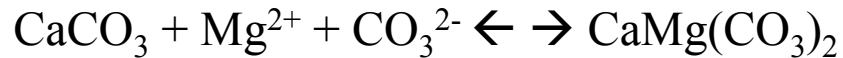
Snižování celkového objemu horniny (včetně pórů)

- Rozpouštění na kontaktu zrn v necementovaných sedimentech
- Tlakové rozpouštění v cementovaných sedimentech (tlakové švy - stylolity)



Dolomitizace a dedolomitizace

Nahrazování CaCO_3 dolomitem



Zdroj Mg^{2+} : mořská voda, jíly obohacené o Mg^{2+}

Procesy dolomitizace:

- Cementace (vzácně)
- Nahrazování

Míra nasycení kalcitu a dolomitu ve směsi sladké a mořské vody (% mořské vody)

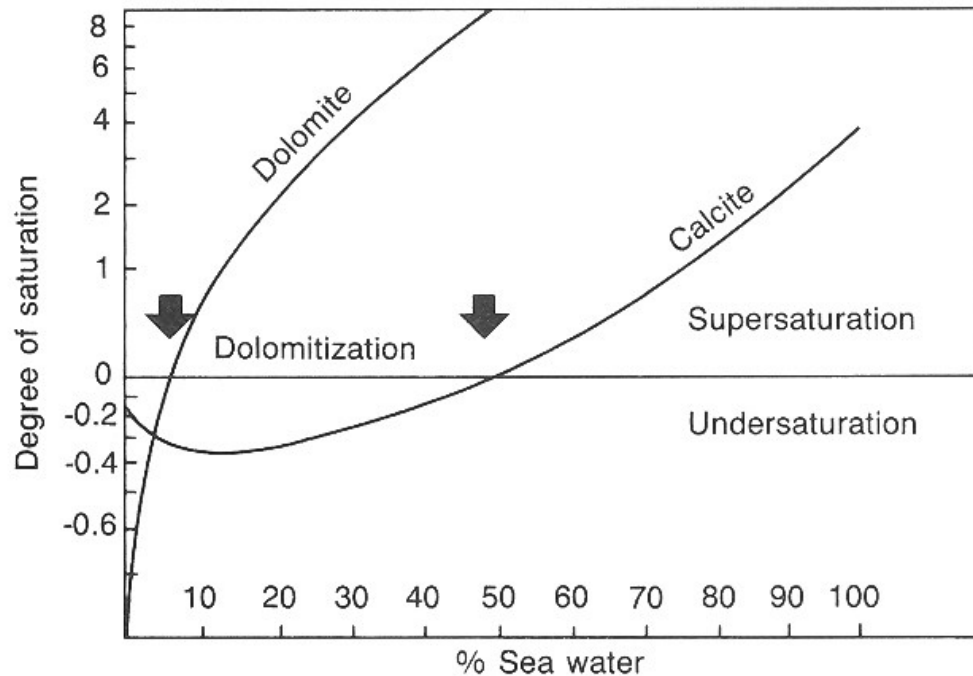
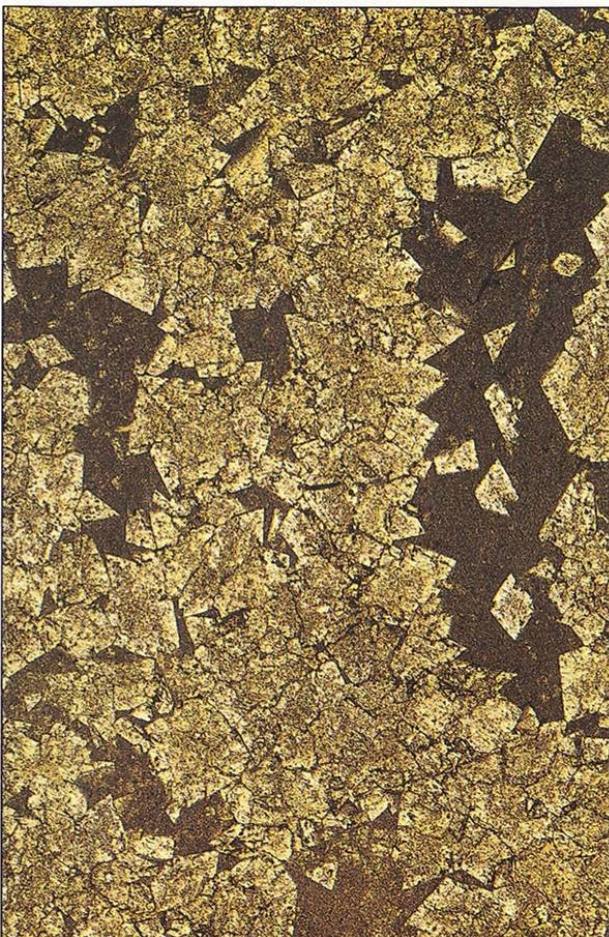
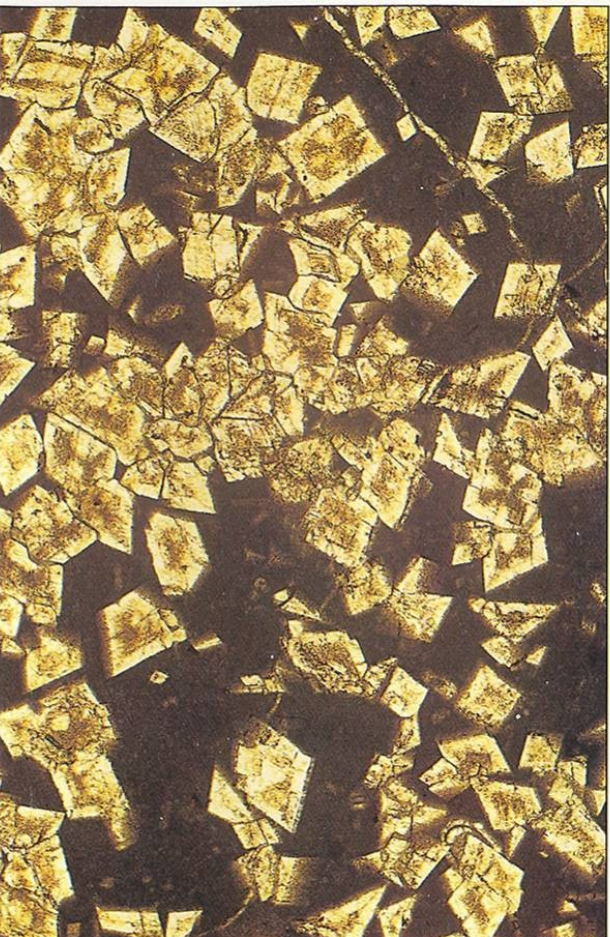
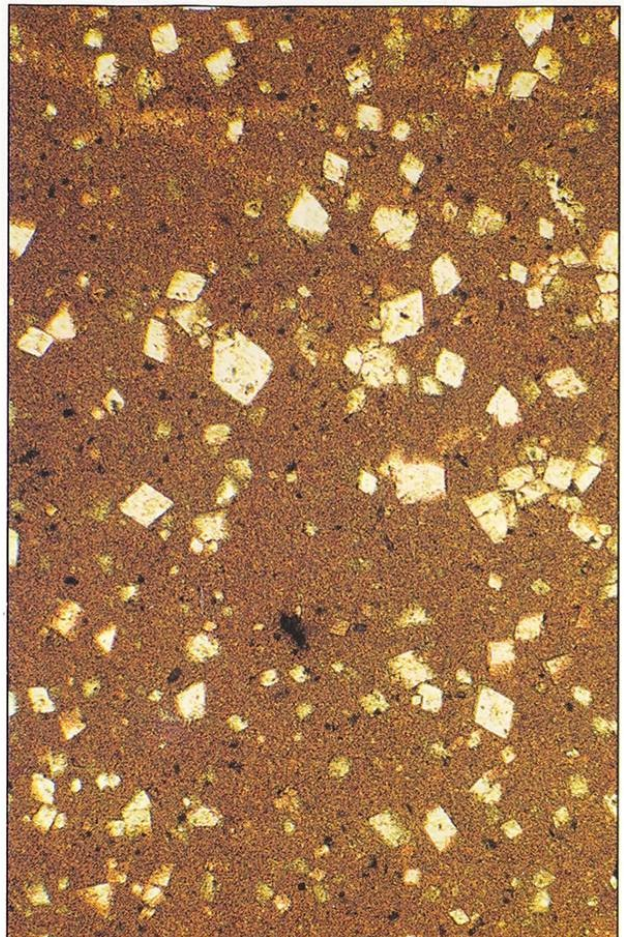
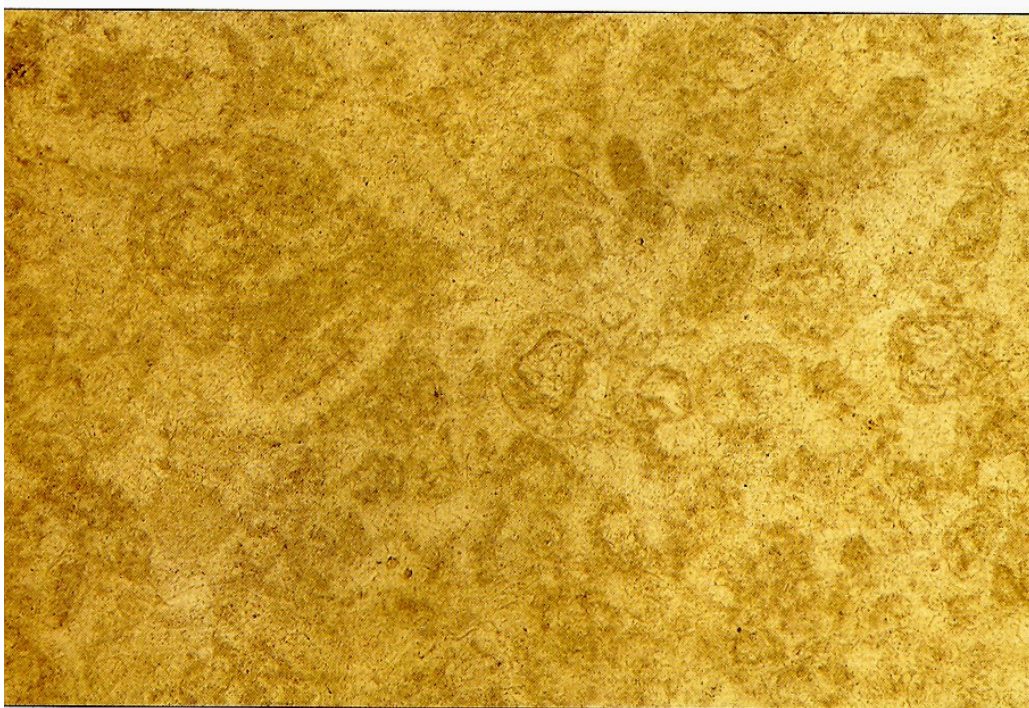


Figure 14.9

Graph showing the degrees of saturation of calcite and dolomite in mixtures of fresh water and seawater with varying percentages of seawater.

(Source: Modified from Badizamani, 1973.)





Modely dolomitizace

Evaporační dolomitizace

Aridní prostředí (sebchy, solná jezera)

Kapilární vzlínání podzemní vody v důsledku odpařování vody

Míšení mořských a terigenních nasycených vod

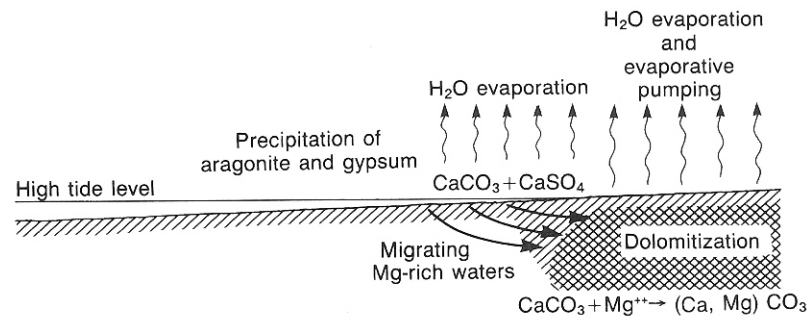


Figure 14.7

Sketch of Evaporite Brine Model of dolomitization. See text for a description of the process.

Dolomitizace v zóně míšení

Míšení mořských a sladkých podzemních vod

Mořská voda: zdroj Mg

Sladká voda umožňuje pohyb směsi, pumpuje fluida horninou

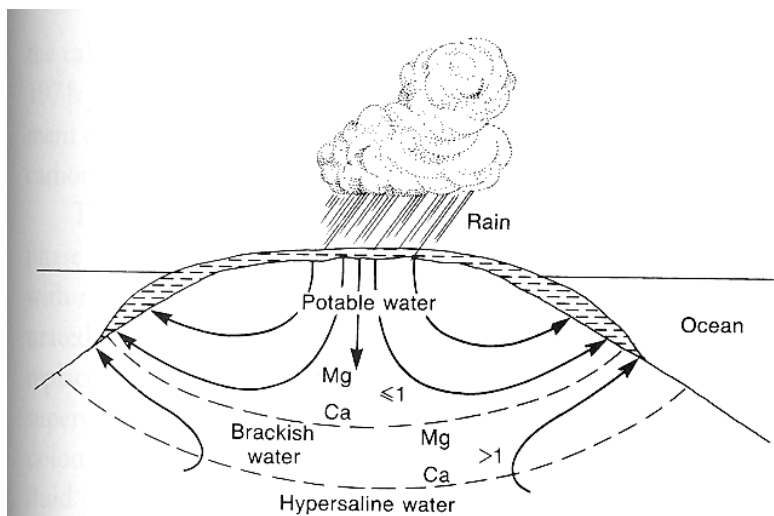


Figure 14.8

Sketch of the Groundwater Mixing Model of dolomitization.
(Source: Modified from Hanshaw, Back, and Deike, 1971.)

Dolomitizace v důsledku pohřbení

Ztráta vody kompakcí z jílových hornin a migrace fluid nasycených Mg

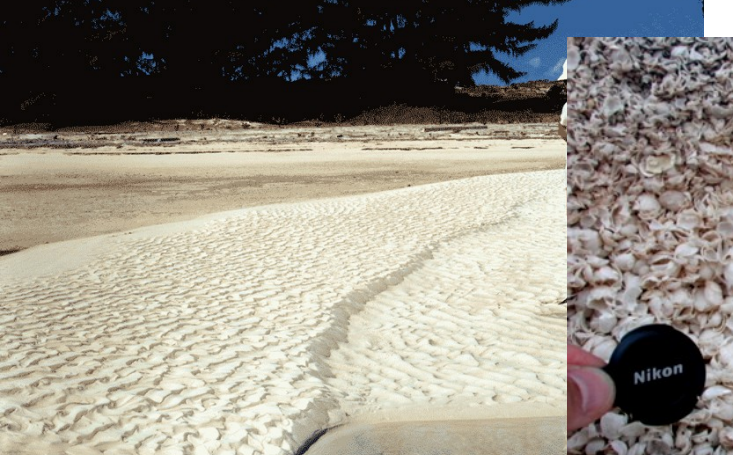
Dolomitizace vápenců okraje šelfu

Facie a depoziční prostředí

FACIE: soubor charakteristických znaků sedimentu:

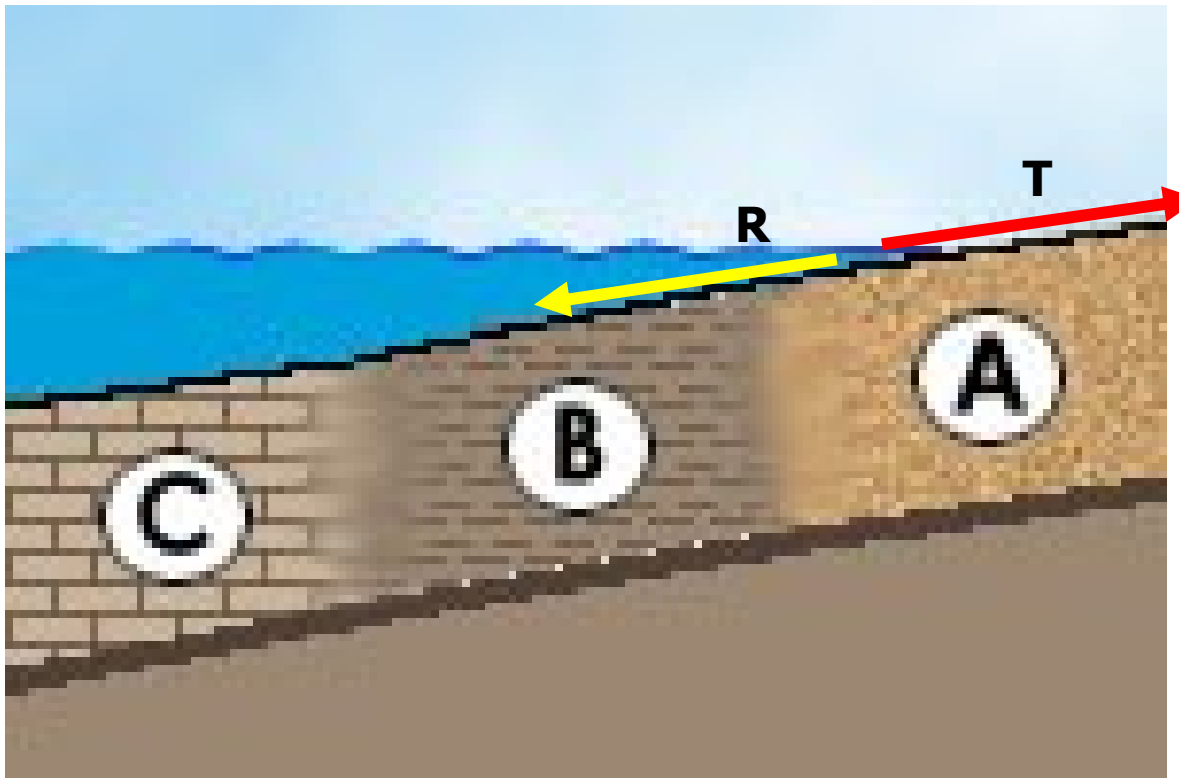
- sedimentární textury (vrstevnatost, zvrstvení, textury na vrstevních plochách) a sedimentární struktury (zrnitost, vytřídění, zaoblení) -> hydrodynamické podmínky ukládání – směr, rychlosť proudění, laminární / turbulentní proudění, vlnění, příliv, atd.
- minerální složení sedimentu (zdrojová oblast sedimentu, podmínky diageneze)
- paleontologický obsah a (ekologie, funkční morfologie fosilií)
- tafonomie (podmínky zachování fosilií po odumření)

Facie



(b)

Faciální změna, transgrese a regrese



A = facie písků (plážové prostředí)

B = facie jílů (hlubší mořské prostředí)

C = facie vápenců (mořské prostředí mimo dosah klastického materiálu z kontinentu)

Depoziční prostředí přecházejí jedno do druhého a totéž dělají i facie. V horninovém záznamu mluvíme o **faciální změně**

Waltherův zákon faciální sukcese

„facie, které vznikají v daném časovém okamžiku vedle sebe, jsou ve vertikálním profilu viditelné nad sebou“

Umožňuje studovat časoprostorové vztahy mezi faciami

Spolupůsobení dvou procesů:

- laterální posun procesů sedimentace (např. rozšiřování říčních meandrů, překládání říčních koryt, posun pouštních dun) které vedou ke vzniku facií,
- nepřerušované vertikální ukládání facií.

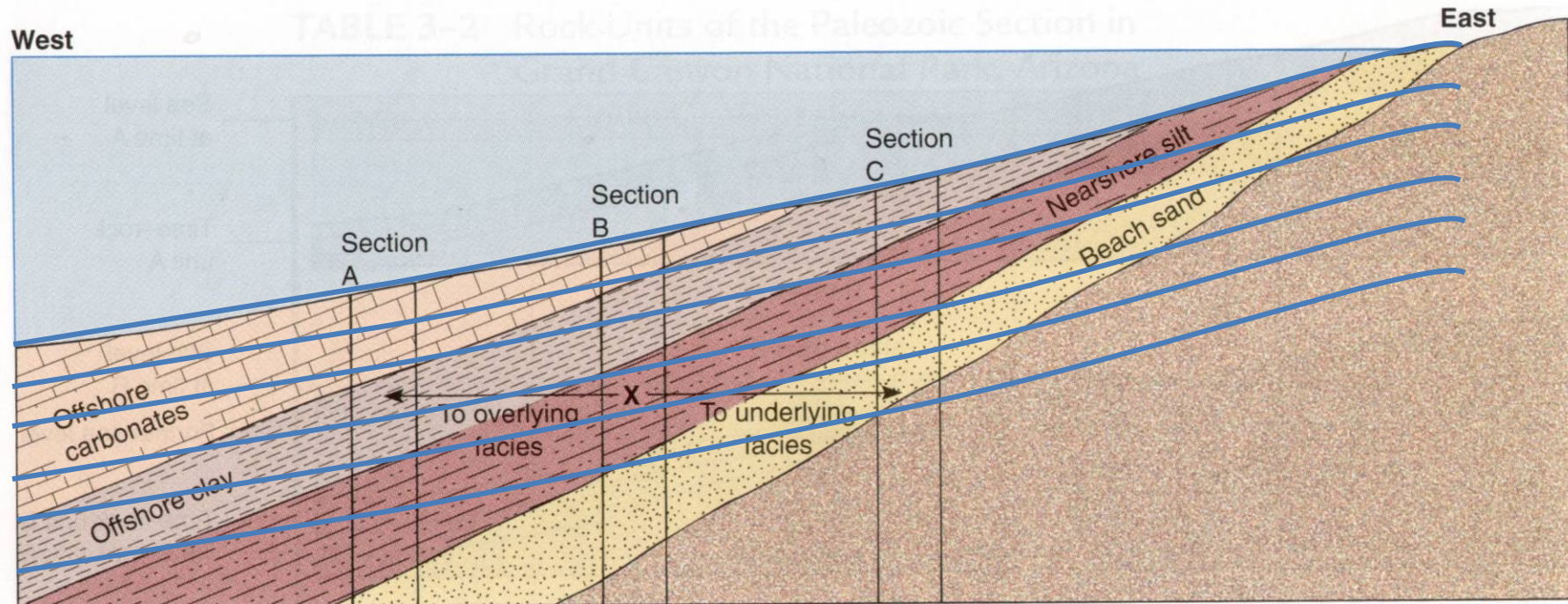
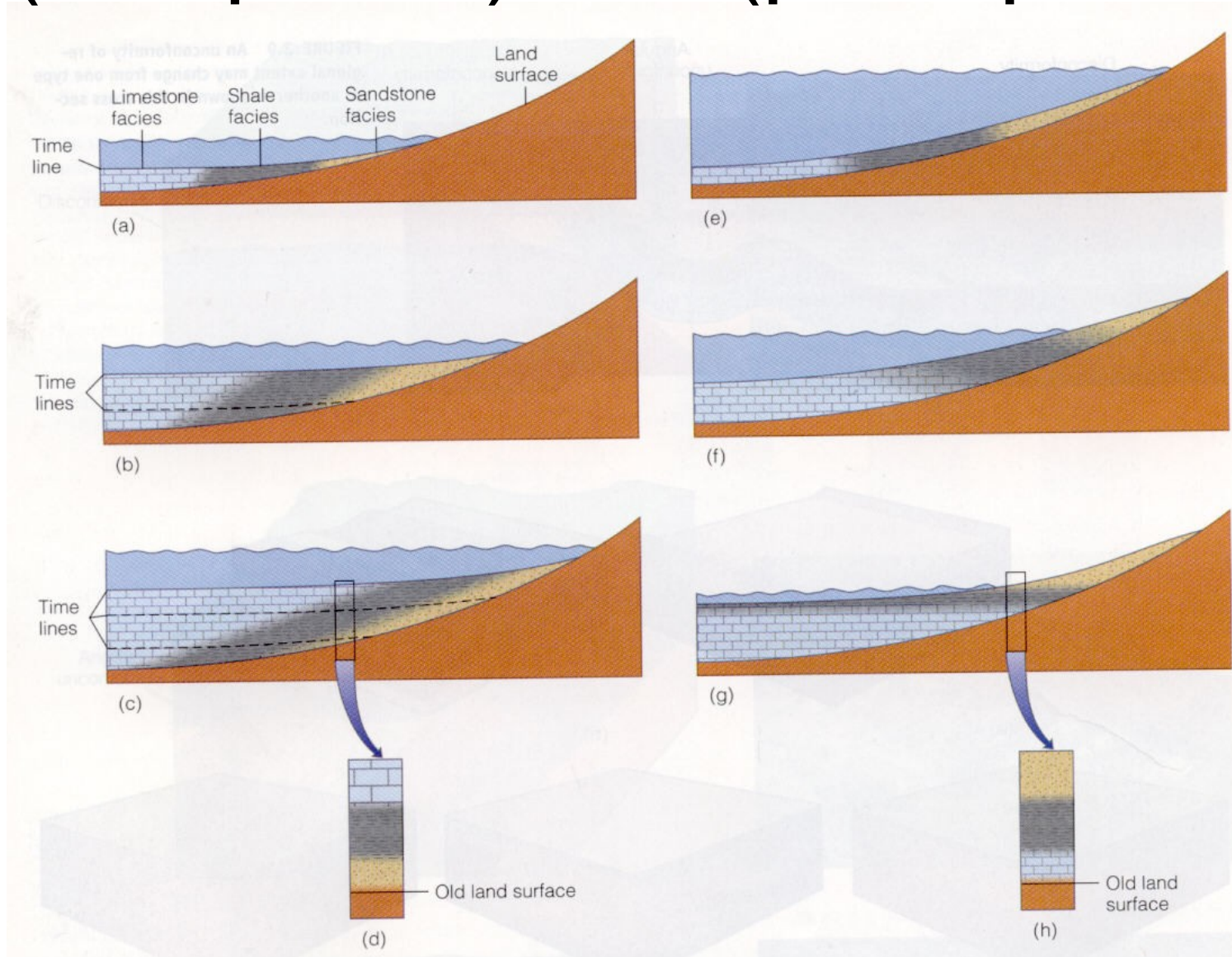


FIGURE 3–41 An illustration of Walther’s Principle, which states that vertical facies changes correspond to lateral facies changes. (After Brice, J. C., Levin, H. L., and Smith, M. S. 1993.

Laboratory Studies in Earth History, 5th ed. Dubuque, IA: William C. Brown.)

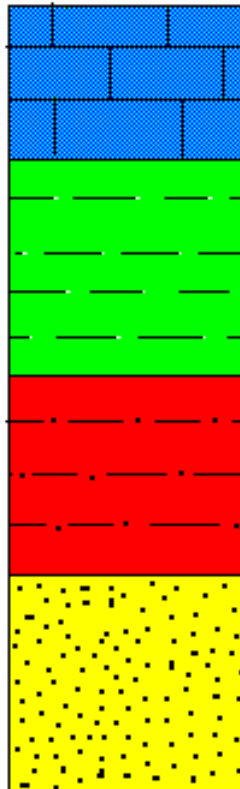
Retrogradace / progradace (ústup facií) (postup facií)



Transgresivní a regresivní sekvence

Transgresivní sekvence

Hlubokovodnější facie
v nadloží mělkovodních facií.



Regresivní sekvence

Mělkovodní facie
v nadloží hlubokovodnějších facií



Sedimentační prostředí

Geografický prostor, který je charakterizován specifickou kombinací exogenních geologických procesů

- Reliéf, topografie
- Typ, množství vody, hloubka vody
- Procesy transportu a sedimentace
- Biologická aktivita

Interpretace ze souborů facií

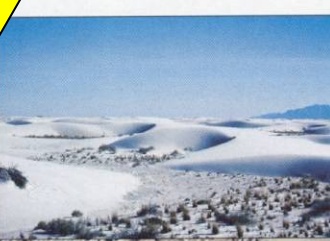
Sedimentační prostředí

pobřežní prostředí



Beach

eolické prostředí



Sand dune

Aluviální vějíř



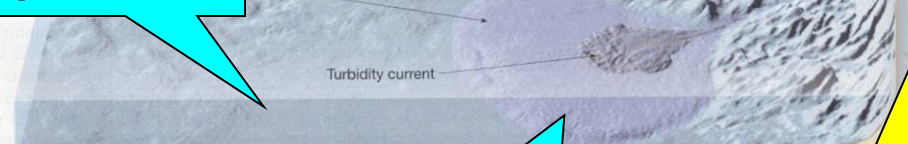
Glacial deposits

šelf



Spit

pelagické prostředí



Turbidity current

podmořský vějíř

říční delta

bariérové ostrovy

přílivové plošiny

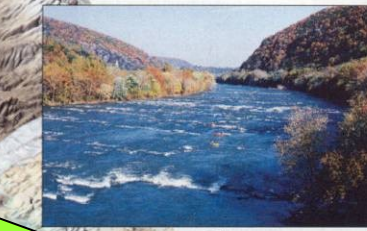


Salt flat

Playa lake

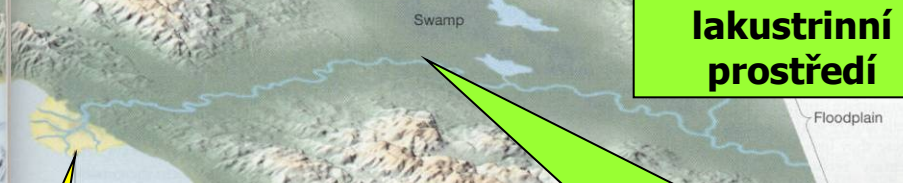
Lake

Estuary



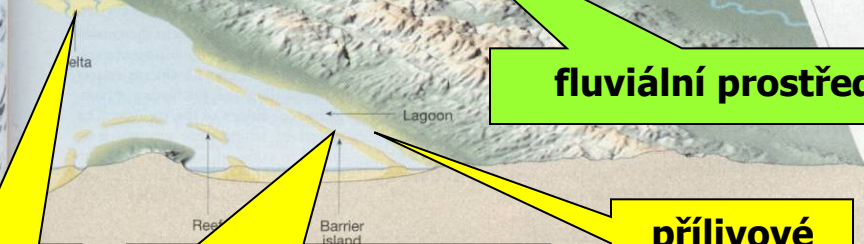
Stream

lakustrinní prostředí



Swamp

fluviální prostředí



delta

Reef

Barrier island

Lagoon

Kontinentální prostředí

fluviální (říční)	meandrující řeka divočící řeka aluviální vějíř
eolické	aluviální vějíř erg sprašové
glaciální	subglaciální englaciální pro- (peri-)glaciální glacilakustrinní/glacimarininní
lakustrinní	otevřené systémy uzavřené systémy
sesuvná (sesuvy)	
jeskynní	

• Klasifikace sedimentačních prostředí

TABLE 15.1 | Classification of Sedimentary Environments

Major Categories	General Environment	Specific Environments
Continental	Fluvial (river)	Channel and bar Overbank, high-energy (e.g., levee) Overbank, low-energy (e.g., swamp) Alluvial fan Playa Erg Subglacial Englacial Supraglacial Cryolacustrine Proglacial fluvial Proglacial aeolian Cryolacustrine Playa lake (salina) Freshwater lacustrine (each of the above may have associated deltaic and shoreface environments)
	Desert	
	Glacial	
	Lacustrine	Intrapaludal Deltaic paludal
	Paludal (swamp)	— —
Transitional	Landslide Spelean (cave) Coastal deltaic	Channel bar Overbank-crevasse splay Deltaic paludal Deltaic lacustrine Prodelta Delta front Estuarine Lagoonal Salt marsh Beach foreshore Beach backshore Beach dune (and berm) Tidal channel Tidal flat Low-energy open Low-energy restricted High-energy Glaciomarine
	Estuarine-lagoonal	
	Littoral-beach	
Marine	Shelf-shallow sea	Reefal Forereef Reef lagoon
	Reef	— Open slope-rise Slope basin
	Submarine canyon Slope and rise	(submarine fan may occur in either of the above) Basinal or abyssal plain Oceanic plateau Trench slope Trench slope basin Trench floor
	Pelagic	(submarine fan may occur in the latter two environments)
	Trench	
	Rift-fracture zone	

Fluviální prostředí: dělení podle spádové křivky

- Aluviální vějíře
- Divočící řeky
- Meandrující řeky
- Říční delty

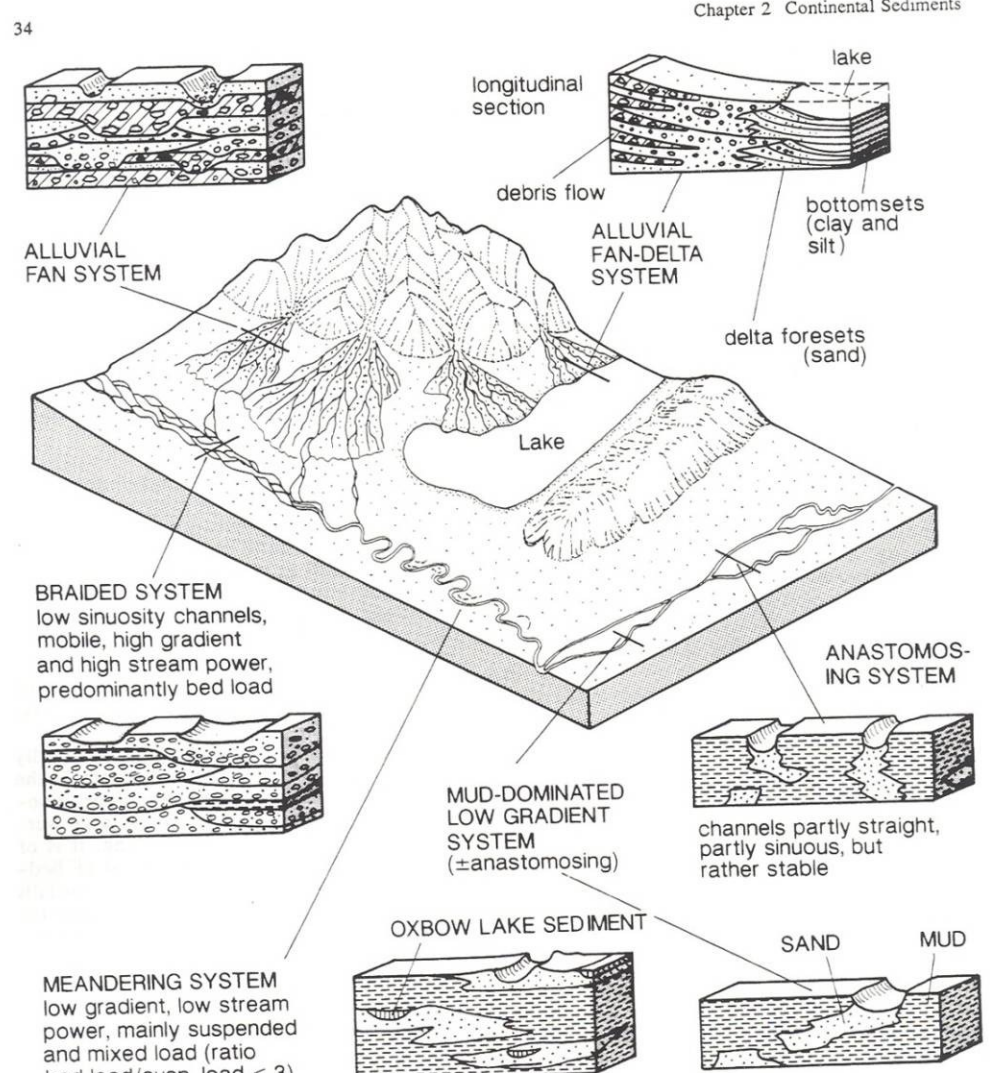
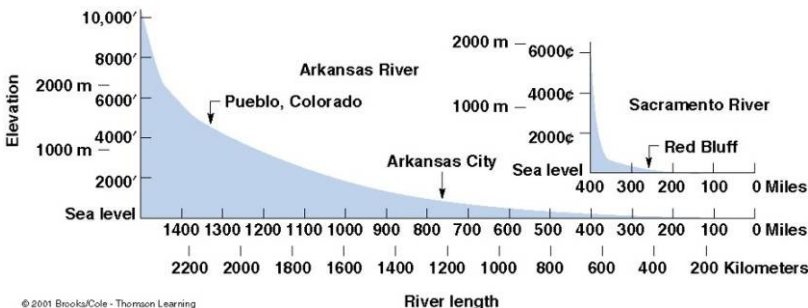


Fig. 2.8. Principal types of fluvial systems and generalized characteristics of their cross sections (vertical scale exaggerated)

Aluviální vějíř

38

Chapter 2 Continental Sediments

- úpatí horských pásem
- Aluviální kužely**
- značný sklon povrchu
- povrch pokryt sítí koryt říčních toků
- hrubozrnné, špatně vytříděné a chemicky nezralé klastické sedimenty

sedimentace z vodních toků

- dobře vytříděné štěrky a píska
- výmolové šikmě zvrstvení**
- čeřinovým zvrstvením**

sedimentace z gravitačních toků

- úlomkotoky a bahnotoky**
- netříděné** směsi balvanů, štěrku, písku a jílu
- okrajové poklesové zlomy
- obrovské mocnosti sedimentu** (10 km více).

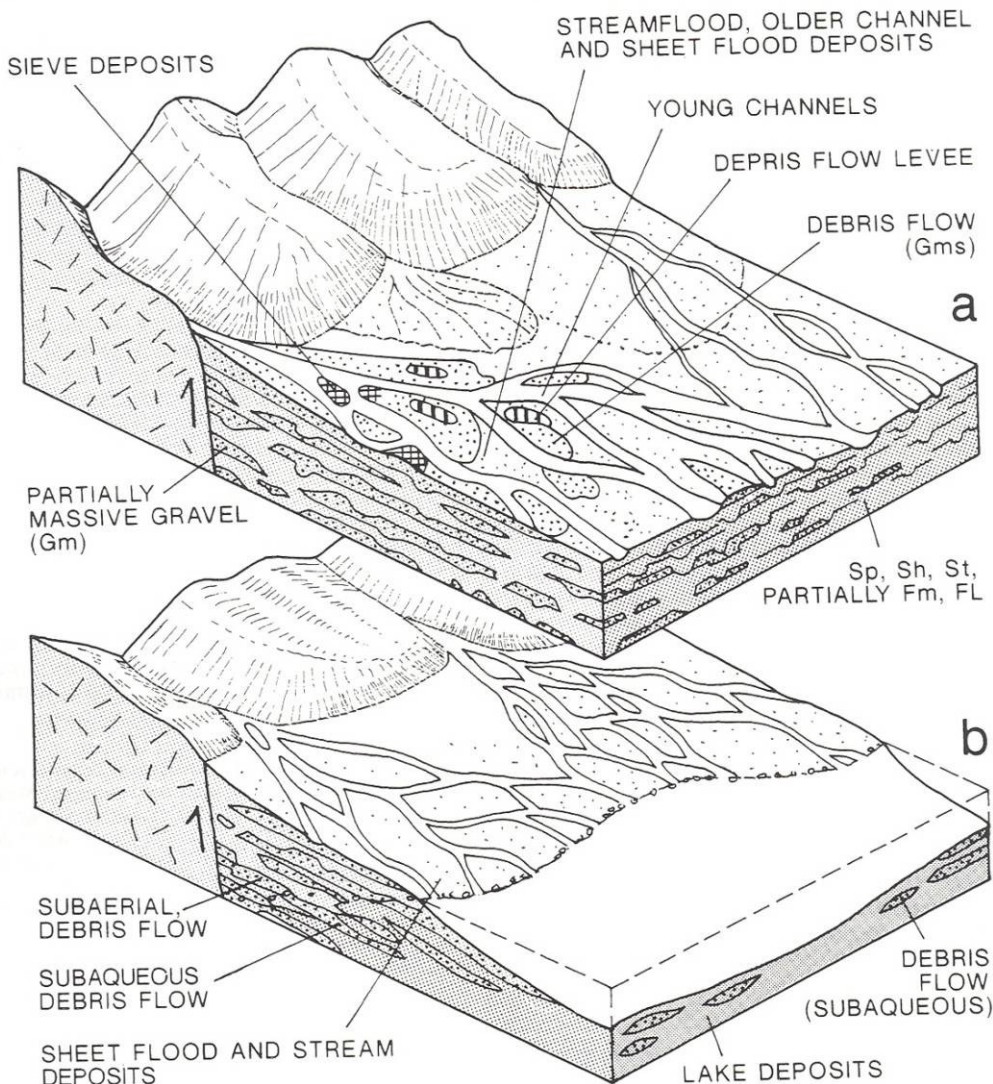


Fig. 2.11. Simplified facies models of a alluvial fan (proximal to mid fan region) and b fan delta. See Table 2.1 for explanation of symbols

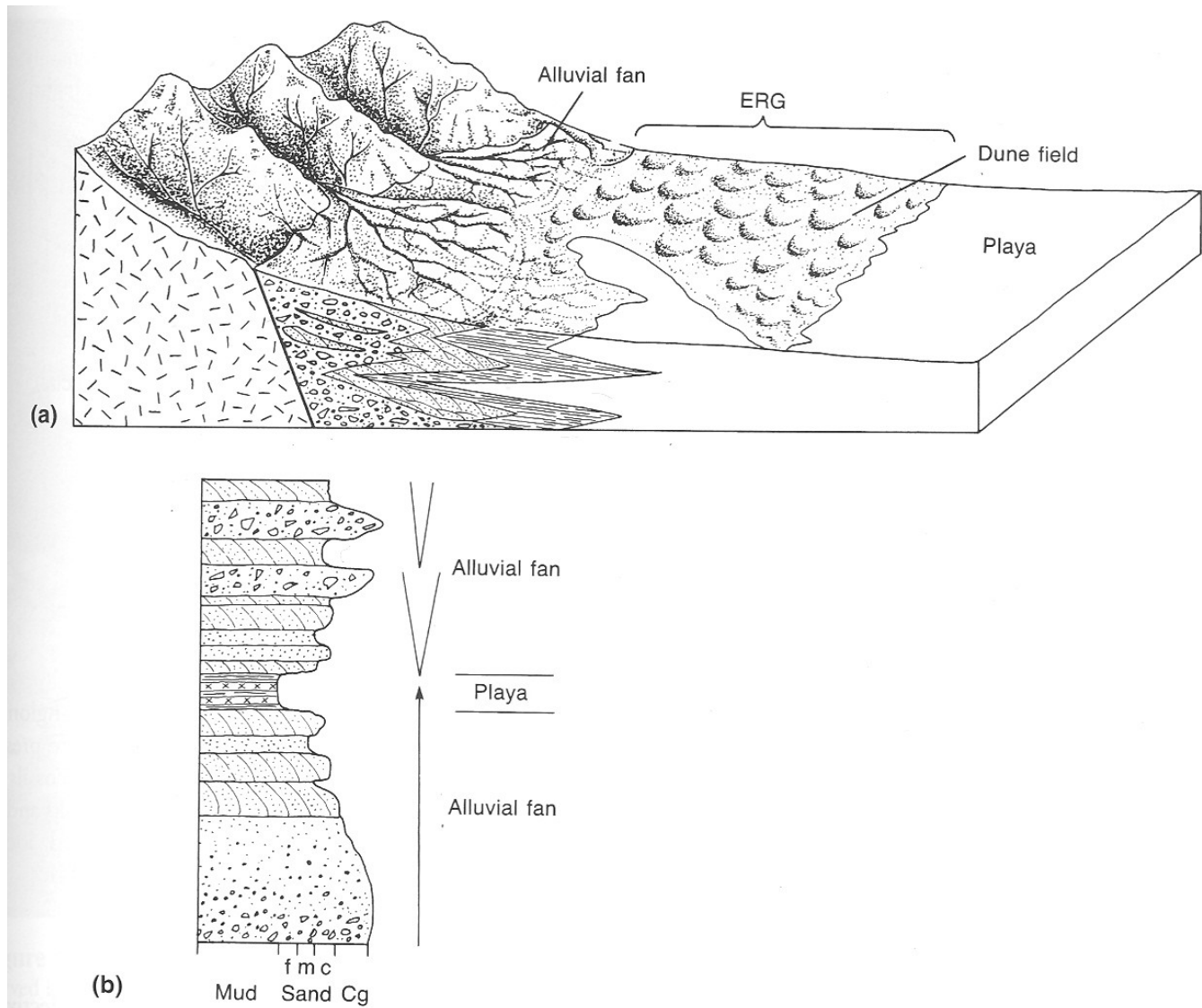


Figure 15.2

Sketch of the desert environments—alluvial fan, erg, and playa (a), with diagrammatic section through the fan-playa section (b). Angular fragments show diamictite and fanglomerate. Long Vs at right show coarsening upward sections. Arrow shows fining upward sequence.



ALLUVIAL FANS

Meandrující řeka

- Zákruty (**meandry**)
- odchylující síla zemské rotace - Coriolisova síla
- rozšířováný boční erozí - odstředivou silou vody

morfologické tvary a facie

- říční koryto - ukládání reziduálních štěrků
- jesepní val - písky s šikmým zvrstvením – laterální akrece
- niva někdy s močály silt, jíl, organické zbytky (záplavy vertikální akrece).

Migrace meandrů

- nahoru zjemňující cykly

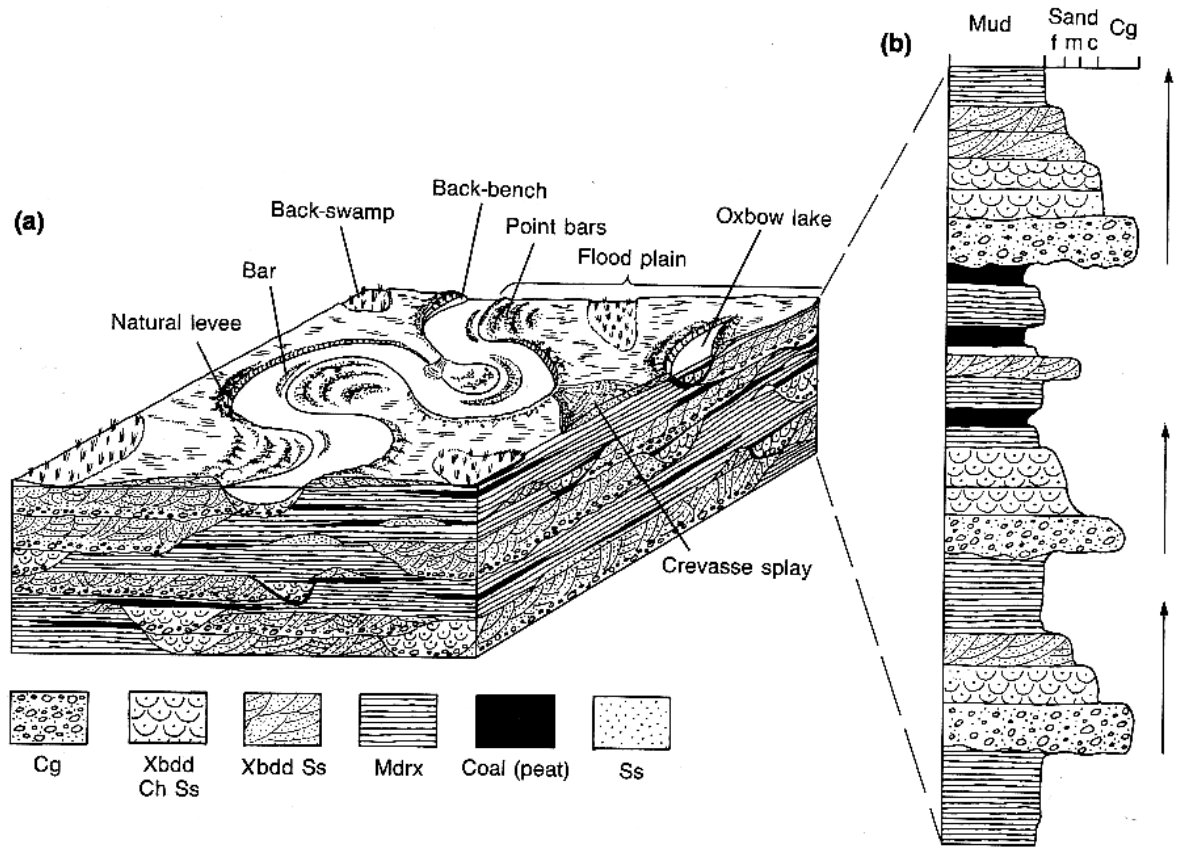
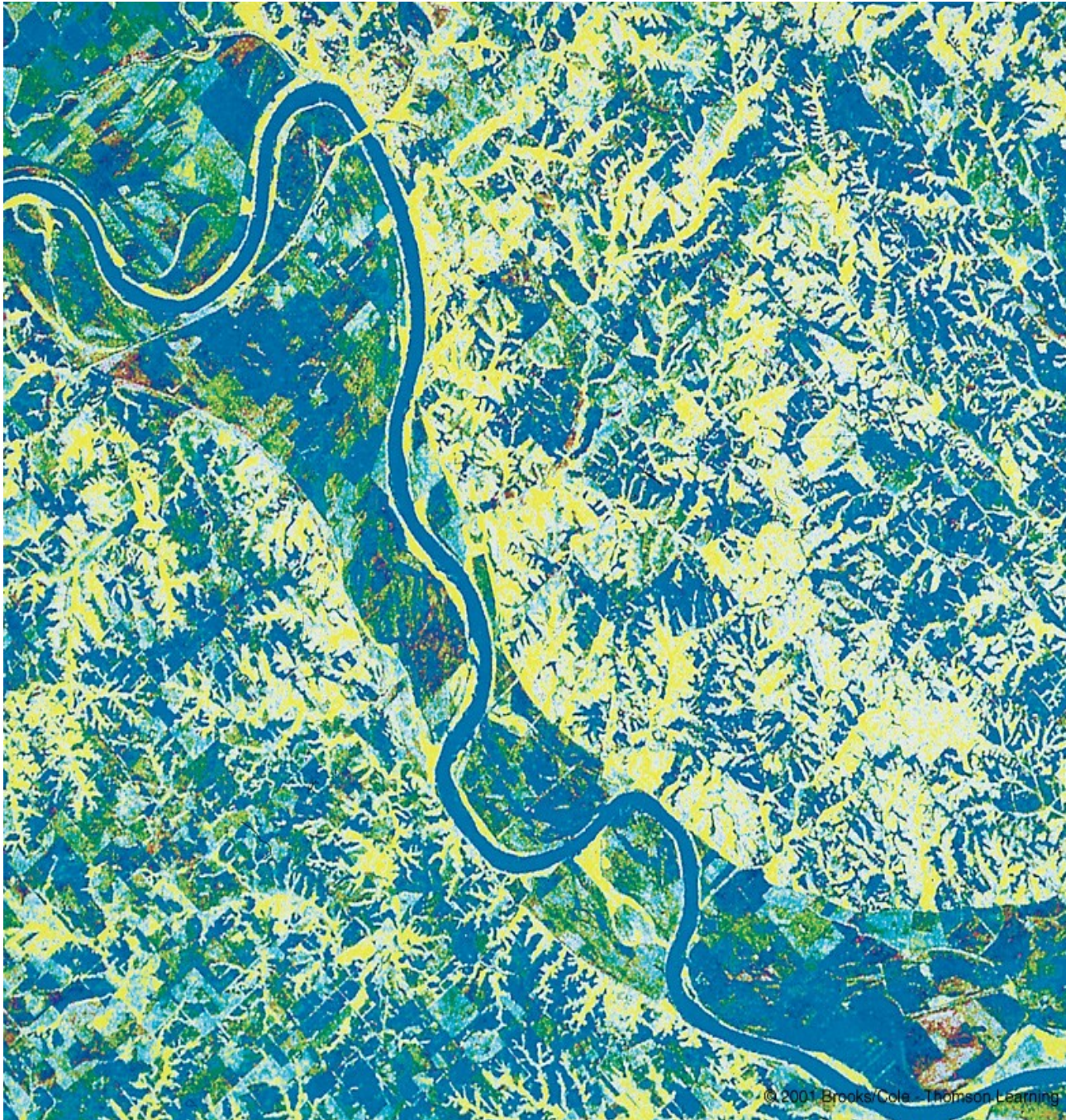


Figure 15.1

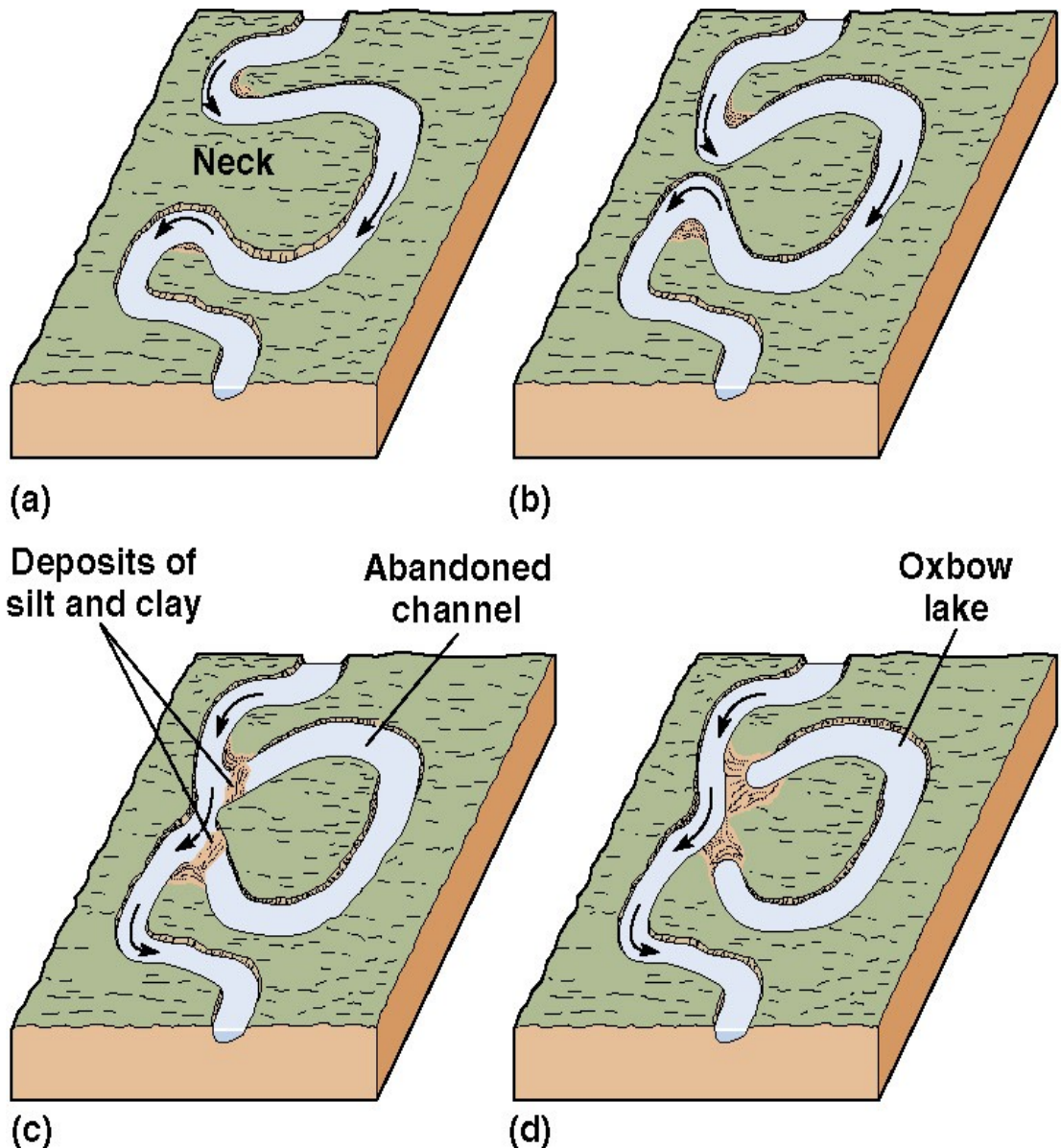
Simplified sketch of a meandering stream environment and cross section. (a) Block diagram showing various subenvironments and the stratigraphy developed in them. Cg = conglomerate, Xbdd = cross-bedded, Ss = sandstone, Xbdd Ch Ss = cross-bedded channel sandstone, Mdrx = mudrocks. (b) Columnar section showing stratigraphy of a meandering stream environment. Note fining upward sequences indicated by arrows. f = fine sand, m = medium sand, c = coarse sand, cg = conglomerate.

(Source: Based in part on Selley, 1976, and R. G. Walker and Cant, 1984.)



© 2001 Brooks/Cole - Thomson Learning

Mrtvé rameno (Oxbow lake)



Mrtvá ramena



Glacigenní prostředí

Horské ledovce – eroze
Kontinentální ledovce.

Subglaciální prostředí:

bazální moréna
boční moréna
terminální moréna
souvky (eratika), **till** (sedimenty morén), **tillity** – zpevněné tilly

Proglaciální prostředí:
odtok tavných vod
zvrstvené štěrky a písky

Glacilakustrinní prostředí

jednozrnné sezónně laminované sedimentů – **varvity**
sezónní odtávání ledovce
v zimě: jemnozrnnější laminy s množstvím organického materiálu
v létě: laminy hrubozrnnějšího materiálu uvolňovaného při tavení ledovce

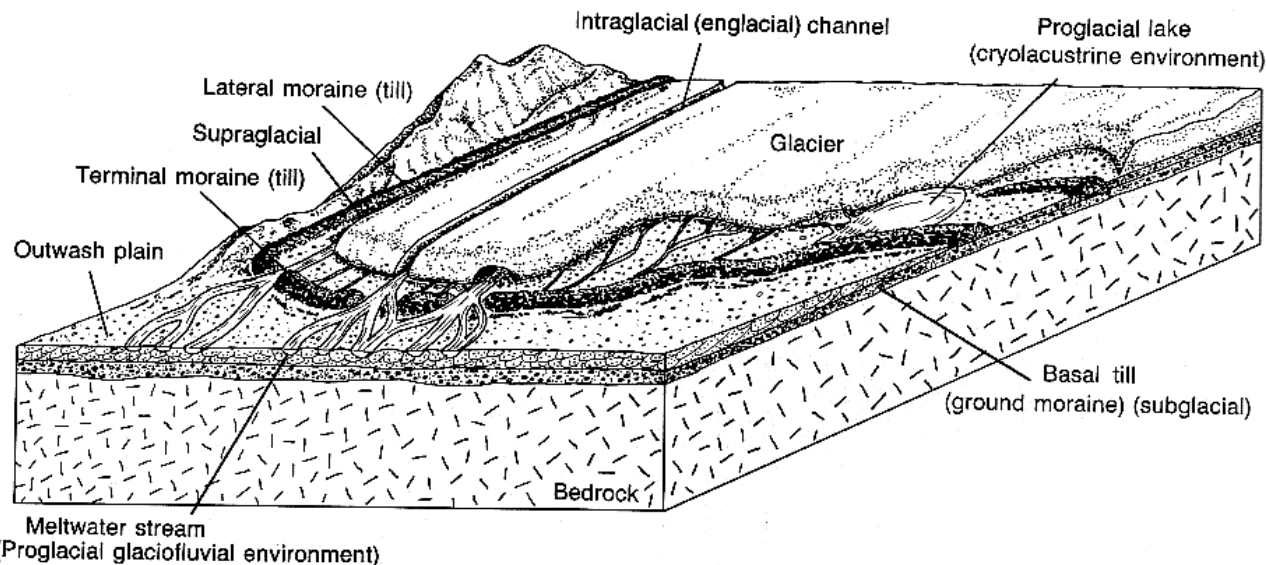


Figure 15.4

Sketch showing various glacial subenvironments surrounding a mass of glacial ice.

Glacimariní prostředí: Kry odtržené z ledovce, plovoucí na hladině, uvolňují odtáváním valouny a balvany, které padají ke dnu - **dropstony**

Přechodná prostředí

pobřežní deltaické	delta
estuarinní	estuárie
	laguna
	solné marše
Litorální – plážové	plážové
	peritidální (přílivové plošiny)
	ostrovní bariéry

Delta

Procesy

- zpomalení až zastavení proudu řek
- akumulace sedimentu

Morfologie

- Deltová platforma
Hrubozrnná klastika, štěrky – písky, šikmé zvrstvení, meandrující řeka, organické zbytky, močály

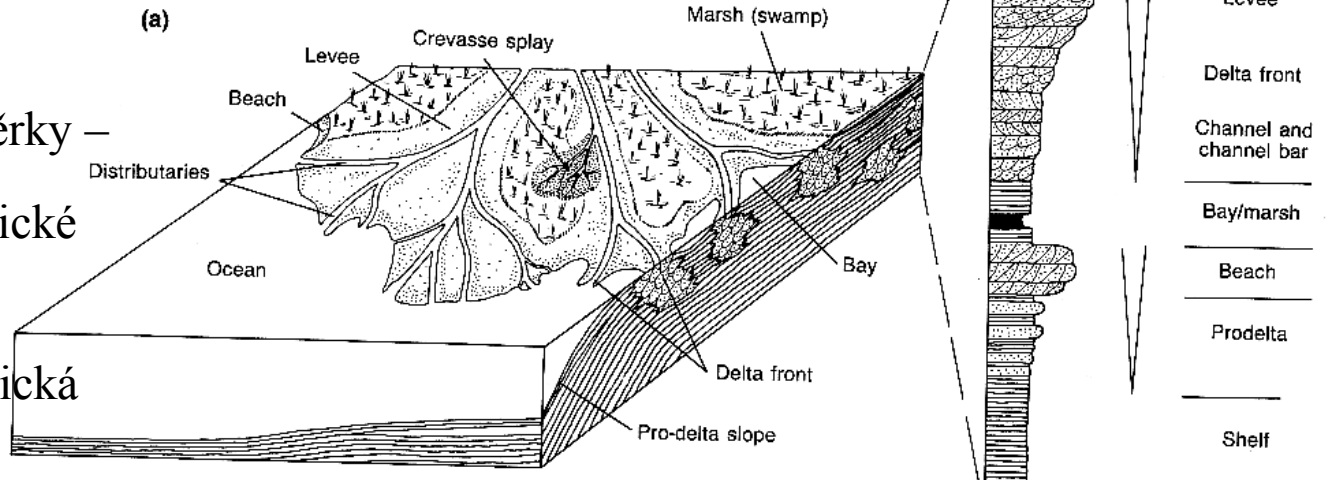


Figure 15.6

Sketch showing simple deltaic environment (a) and columnar section (b). Note crevasse splay, distributaries, delta front, and prodelta slope. In (b), large Vs show coarsening upward sequences.

- **Progradace delty:**
Regresivní sekvence

Progradující delta

PROGRADUJÍCÍ DELTA

- V případě, že hladina moře zůstává ve stejné pozici, musí být materiál nepřetržitě přinášený řekou ukládán stále dále a dále směrem do moře, a delta **prograduje**. Ve vertikálním sledu progradující delty se objevuje **nahoru hrubnoucí sled** od bazálních jílů prodeley, siltů a jílů deltového svahu až k písčkům, siltům, jílovcům a uhlonosným sedimentům deltové platformy. Nahoru hrubnoucí cykly se vertikálním průřezu často opakují, což je způsobeno plynulým poklesáváním delty v důsledku přetížení přinášeným sedimentem.

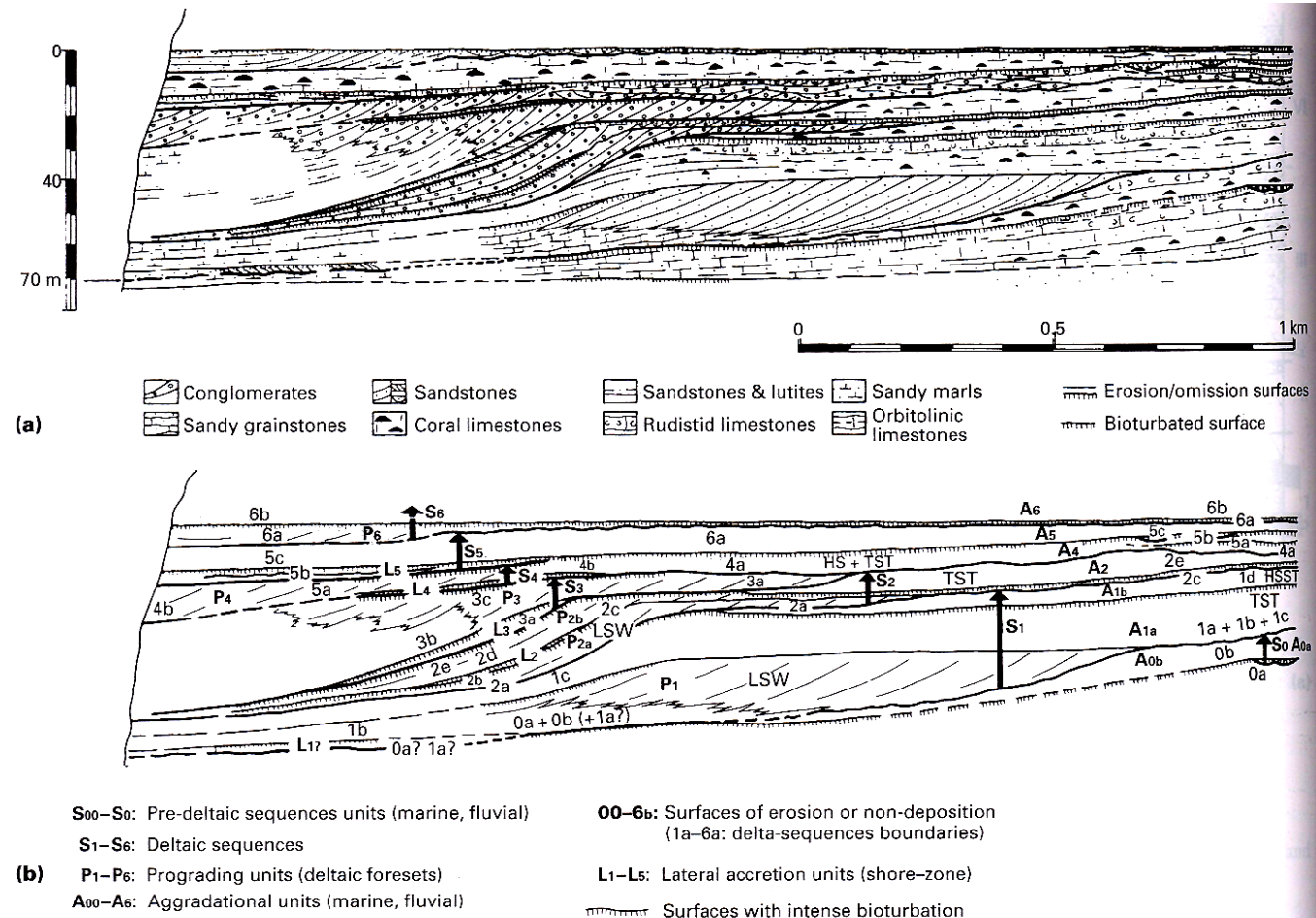


Figure 6.30 Cross-section through the Albian La Miel Member of northern Spain to show (a) arrangement of facies and (b) interpretation of lateral and vertical sequence in terms of deltaic sequences, aggradational units, prograding units and lateral accretion units (from García-Mondéjar, 1990).



Pobřeží

- Báze vlnění
- Báze bouřkového vlnění

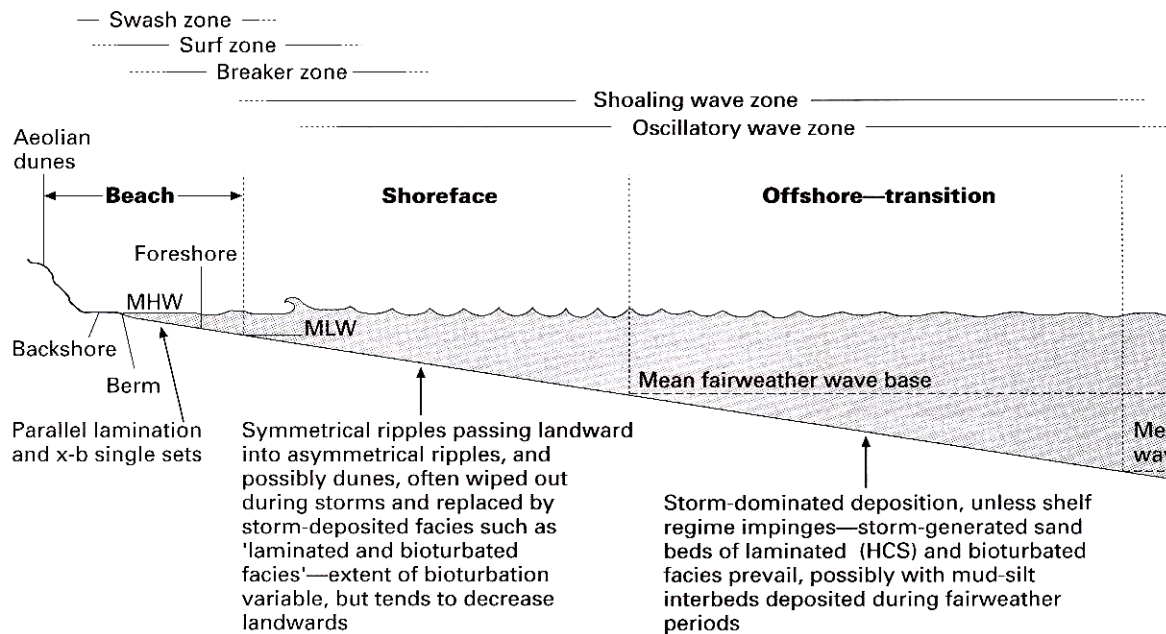


Figure 6.6 Generalized shoreline profile showing subenvironments, processes and facies.

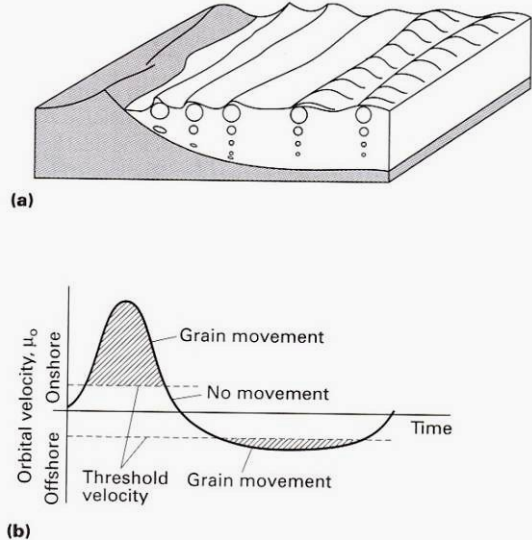


Figure 6.7 The littoral energy fence. (a) Wave transformation as a shoreline is approached. The orbital diameter decreases with depth, moving to-and-fro as it nears the bottom and frictional drag increases. (b) The effects on sediment movement during the passage of a shoaling wave. The onshore stroke of the wave as the crest passes carries more sediment than the offshore stroke associated with the passage of the trough (from Swift & Thorne, 1991).

Bariérové ostrovy

Morfologie

- Ostrov: vzniká akumulací písků mořskými proudy běžícími podél pobřeží
- Zóna mezi ostrovem a pevninou je zalita vodou : **laguna**
jemnozrnný materiál: jsou od vysokoenergetického prostředí pláží chráněny komplexem ostrovů.

Facie:

- Břehy ostrovů : **písčité sedimenty, šikmě zvrstvení, čerňinové zvrstvení**
- V centrální části ostrova : **eolické písky** (duny).
- Laguny : **jíly a písčité jíly brakické**, nebo **hypersalinní -> evaporyt**.

Progradace ostrovní bariéry:

Regresivní sekvence

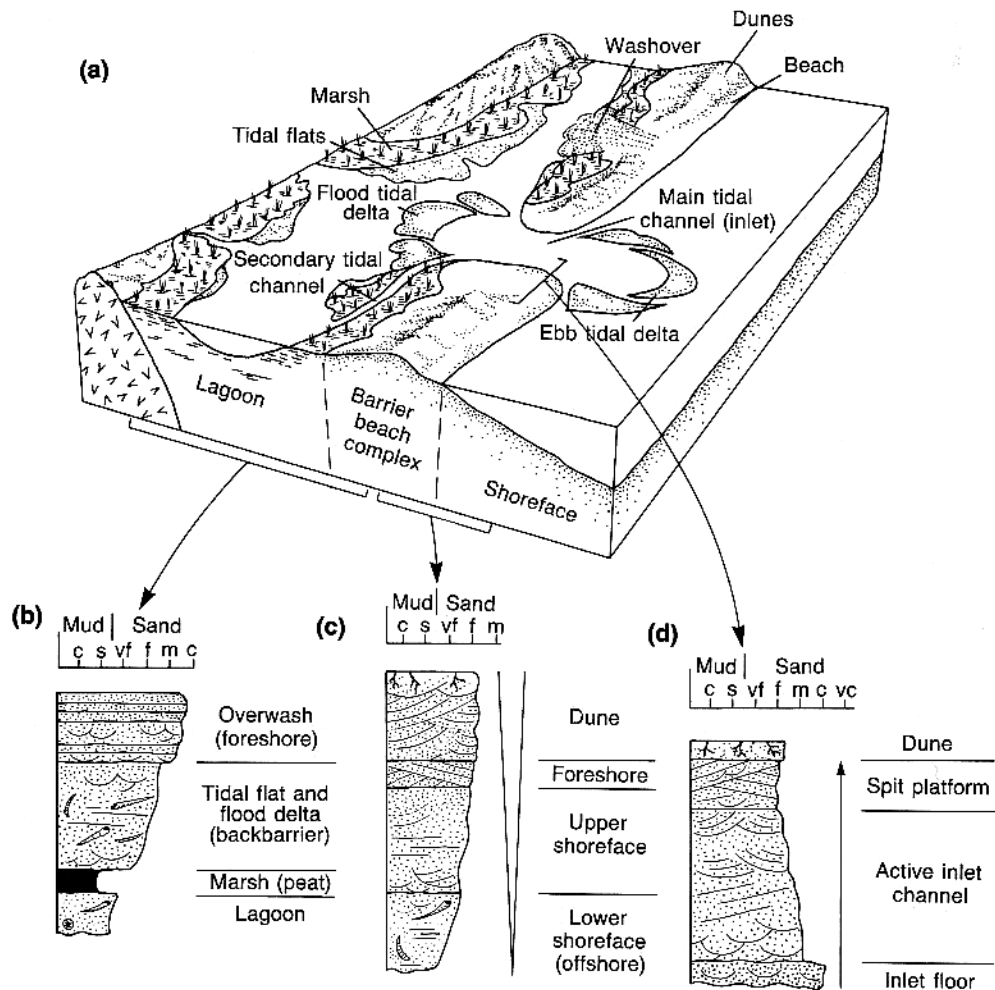


Figure 15.7

Sketch showing littoral and related environments, and representative stratigraphic sections of a coastline with a barrier beach complex. (a) Block diagram showing various subenvironments (modified from Reinson, 1984). (b) Stratigraphic section of the back-barrier region. (c) Stratigraphic section of dune-foreshore-shoreface area. (d) Stratigraphic section of the tidal inlet area.

(Source: [(b)-(d)] from Heron et al., 1984.)

Marinní prostředí

šelf s převahou bouřkové činnosti

s převahou přílivovo-odlivové činnosti

karbonátový útes
útes
předútesové prostředí
zaútesové prostředí

kontinentální svah a úpatí
podmořský vějíř
kontinentální svah

Pelagické prostředí
abysální rovina / dno pánve
podmořské plató

Marinní prostředí

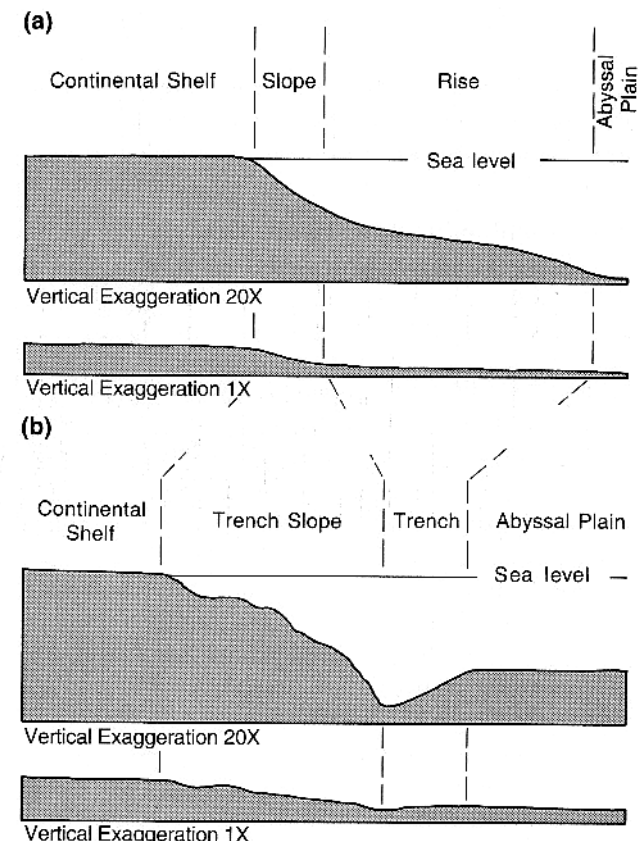
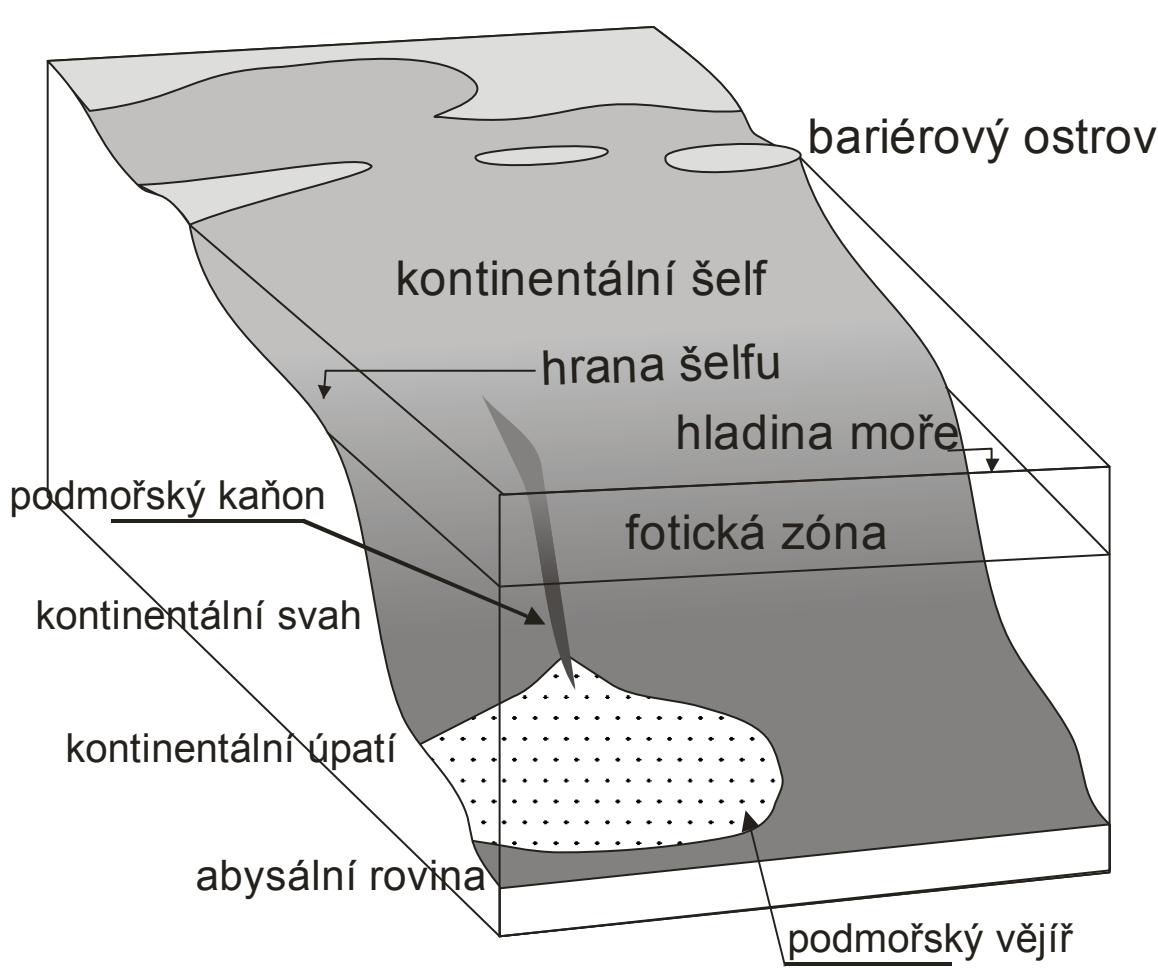


Figure 15.8

Generalized profiles of major marine environments of deposition.
 (a) Passive margin (modified from C. L. Drake and Burk, 1974; Cook, Field, and Gardner et al., 1982). (b) Active margin.

Šelfy

šelfy s převažujícím vlivem dmutí (Severní moře)

písčité hřbety - rovnoběžně s přílivovými a odlivovými proudy
tříděné písky, šikmě zvrstvení

šelfy s převažujícím vlivem bouřkové činnosti.

bouřkové resedimentované vrstvy – **tempestity**

silné tropické bouře,
voda o vysoké energii eroduje již jednou usazený sediment, zvíří jej do suspenze a opětovně ukládá.

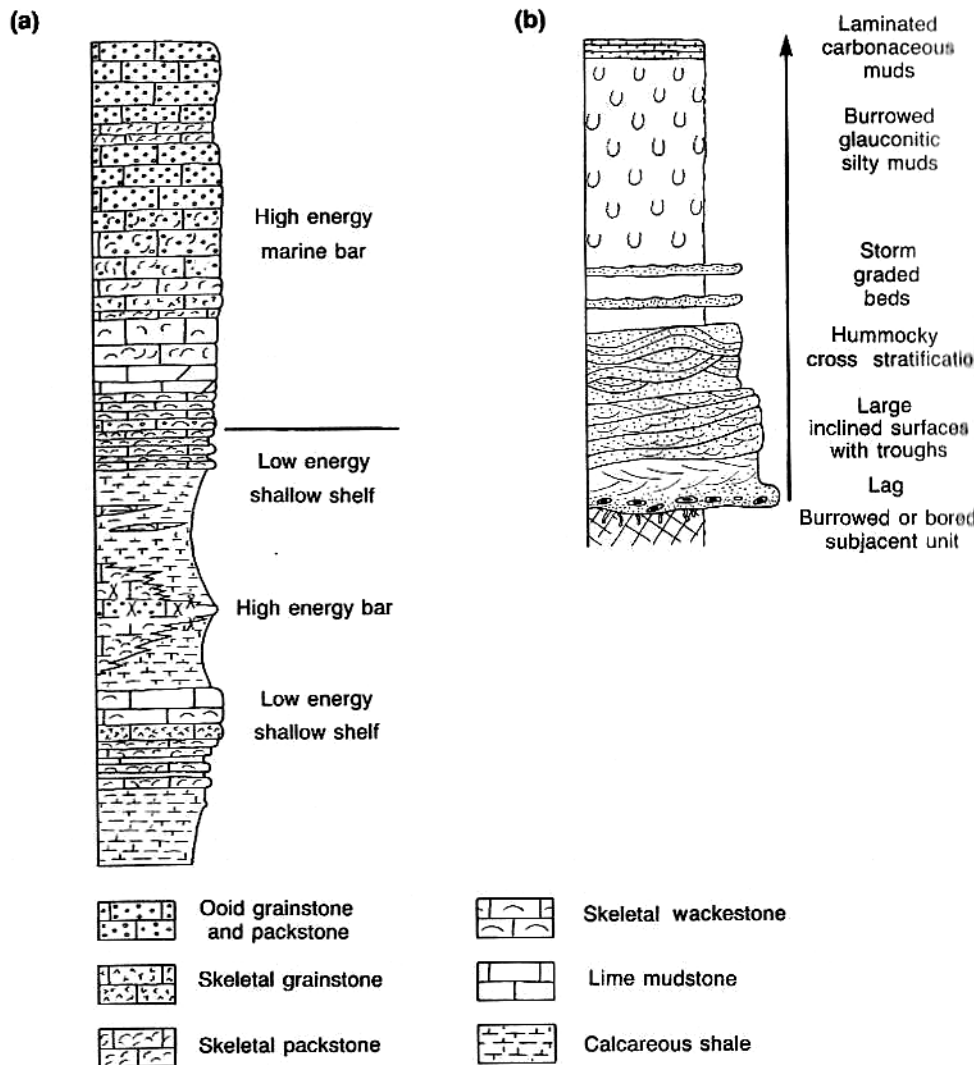
erozní výmoly na bázi vrstev

gradační zvrstvení

hřbitkovité zvrstvení neboli **HCS**

(hummocky cross stratification – speciální typ vlnových čeřin)

Tempestity se dělí na proximální a distální.
Distální tempestity se ukládají v hloubkách 30 až 100 nebo i více metrů.



Karbonátová sedimentace: útesy

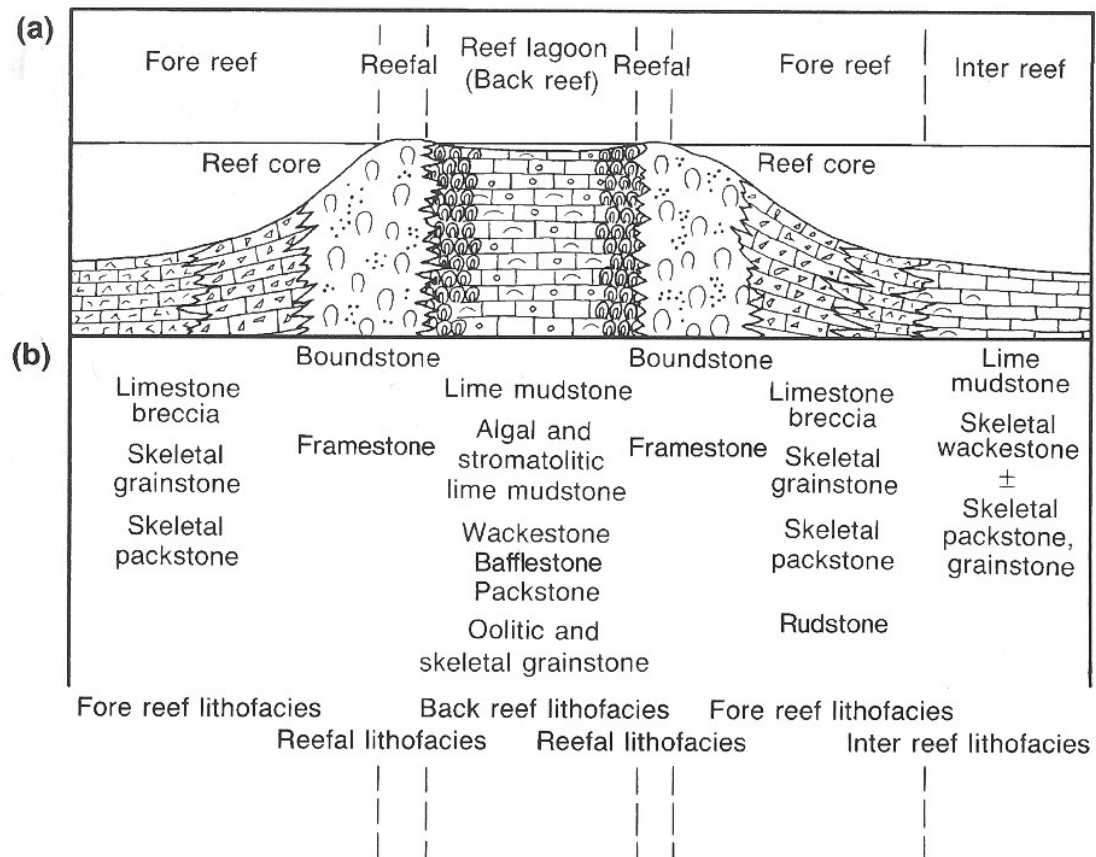


Figure 15.12

Reef environments and facies. (a) Schematic reef model showing positions of subenvironments. (b) Rock types and lithofacies common in reef subenvironments. Sketch assumes vertical growth of reef. Migration to right or left would superpose various rock types, one upon another. Rock symbols as in figure 15.11. Boundstone and stromatolite symbols added here.

(Source: Based in part on Enos and Moore, 1983; N. P. James, 1983, 1984a, 1984b, 1984c.)

Environment	Deep basin	Slope and rise	Foreslope	Shelf margin	Build-up (Reefs)	Shelf	Shoal	Ramp	Platform (Epeiric seas)
Rock types	Lime Mudstone, Wackestone, \pm Packstone	Lime Mudstone, Wackestone, \pm local Grainstone, + base of Slope Breccia, Diamictite and Packstone	Skeletal Packstone, Skeletal Grainstone \pm Wackestone Rudstone, Breccia and Diamictite	Skeletal Grainstone \pm oolites and pellets, and local Packstone	Boundstone with Lime Mudstone, Wackestone, Packstone, and Grainstone containing skeletal clasts, oolites, and pellets Bafflestone, Floatstone	Wackestone, Packstone, \pm Lime Mudstone and Grainstone composed of skeletal clasts and oolites \pm pellets, local Packstone	Grainstone composed of skeletal clasts and oolites \pm pellets, local Packstone	Grainstone, Packstone, Wackestone, and Lime Mudstone with skeletal clasts and pellets	Lime Mudstone, Wackestone, \pm Packstone with oolites, pellets, and skeletal clasts
Structures and associated facies	Laminated beds, Mudrock interbeds, laminated to thin bedded Chert, Facies C and D (fan facies) near margins	Thin to massive beds, hardgrounds, fan facies at base of steep slopes, transported skeletal clasts, local grading, Mudrocks	Local cross bedding, local chaotic beds, thin to massive beds	Thin to thick bedded, cross-bedded units	Thin to massive beds, local stromatolites, whole fossils, local Sandstone and Mudrock	Laminated thin to medium beds, Mudrock interbeds, burrows, hummocky cross strata, whole fossils, local Sandstone and Mudrock	Thin to thick bedded, cross bedded units	Thin to thick beds, local grading, burrows, whole fossils, local interbedded Shale and Sandstone	Burrows, local stromatolites, Dolostone, Evaporites (landward), hardgrounds, restricted fauna with whole fossils, thin to thick beds, Quartz arenite

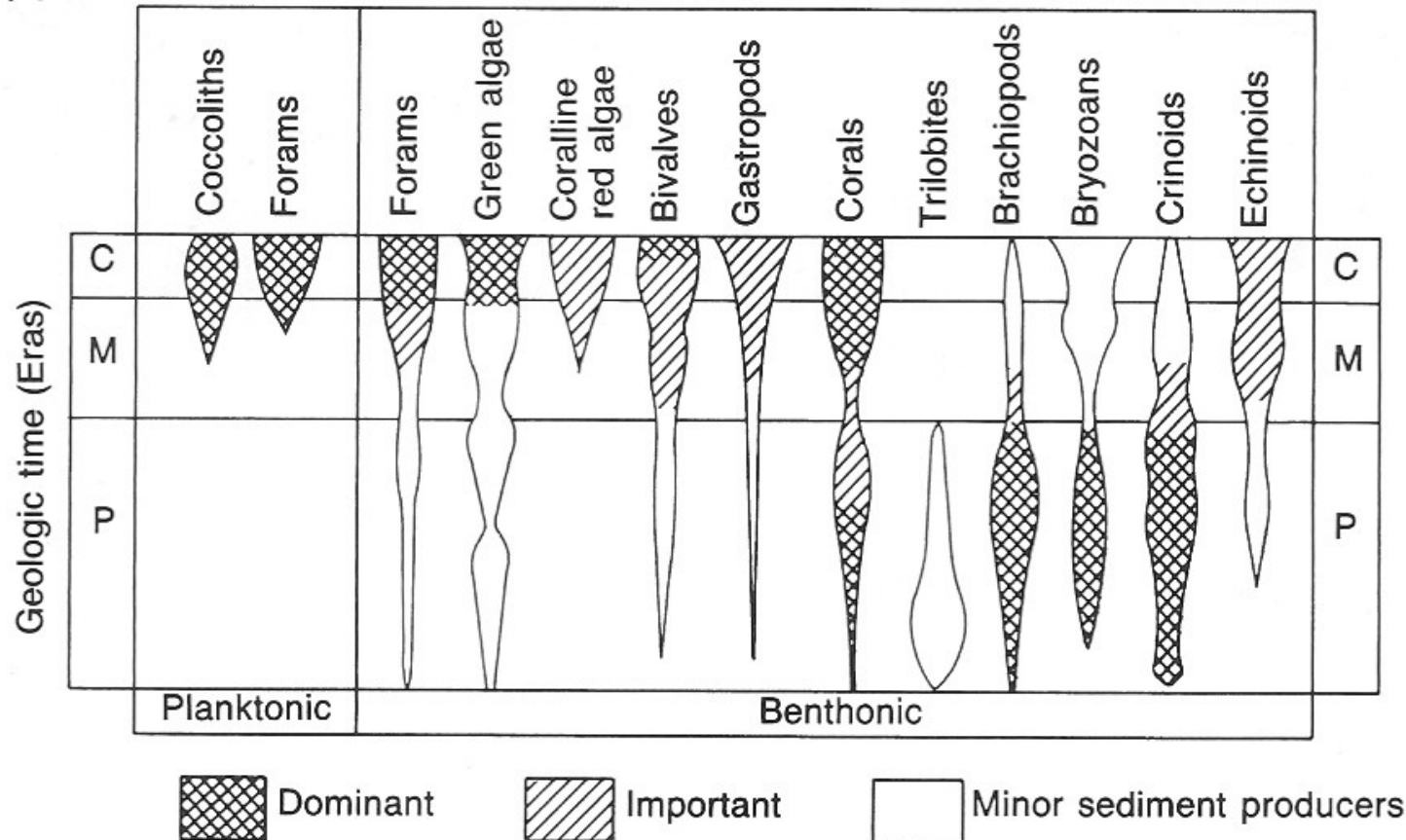
Figure 19.4

Diagram showing some characteristics of the nine major marine environments of carbonate rock formation. Slashes and dots highlight depositional surfaces of two possible margin shapes.

(Source: Based on J. L. Wilson, 1975, and J. F. Read, 1980a.)

Hlavní skupiny producentů CaCO₃ ve fanerozoiku

(a)



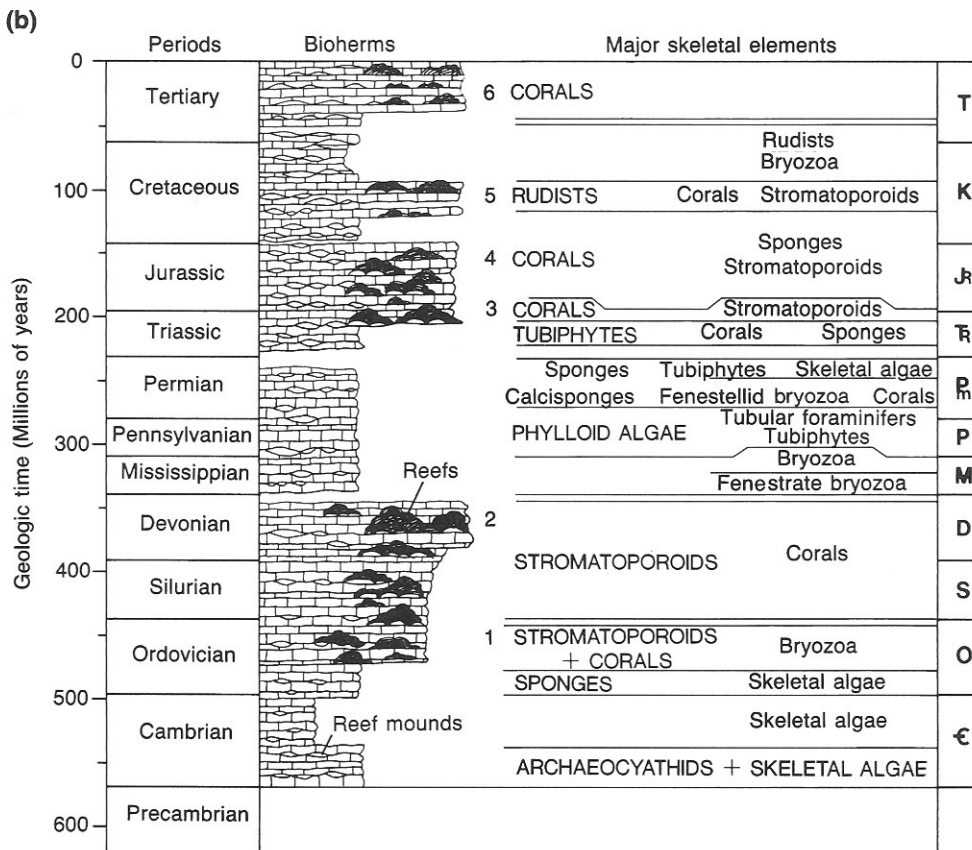
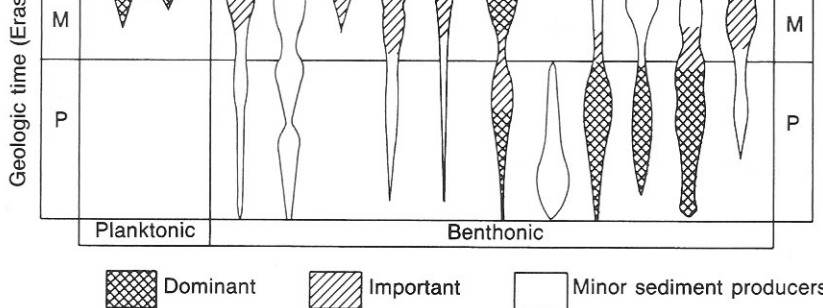


Figure 19.2

Illustrations of changes in abundances and dominance of marine, calcareous skeletal-producing organisms over time. (a) Variations in abundance and dominance of various groups of organisms (b) Dominant reef-forming organisms during various Phanerozoic periods.

(Source: (a) After Wilkinson, 1979, (b) After James, N. P., 1983.)

Podmořský vějíř

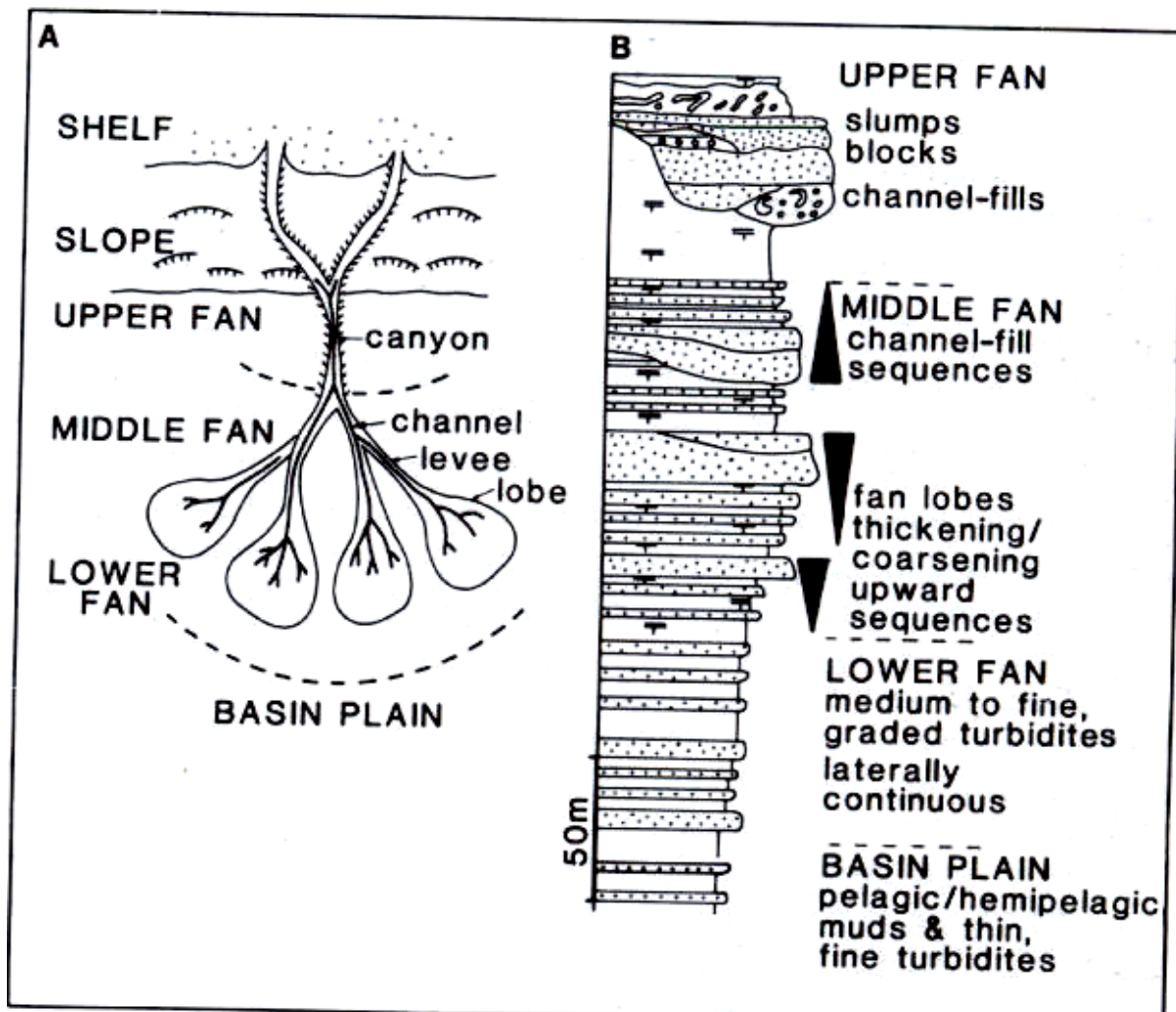
Prostředí sedimentace:

- Podmořský vějíř
 - Vnitřní vějíř (proximální, úlomkotoky, hrubozrnné turbidity, sesuvy, skluzy)
 - Střední vějíř
 - Vnější vějíř (distální, jemnozrnné turbidity)

Procesy sedimentace:

progradace vějíře (do nadloží: distální -> proximální)

Turbidity: Boumova sekvence



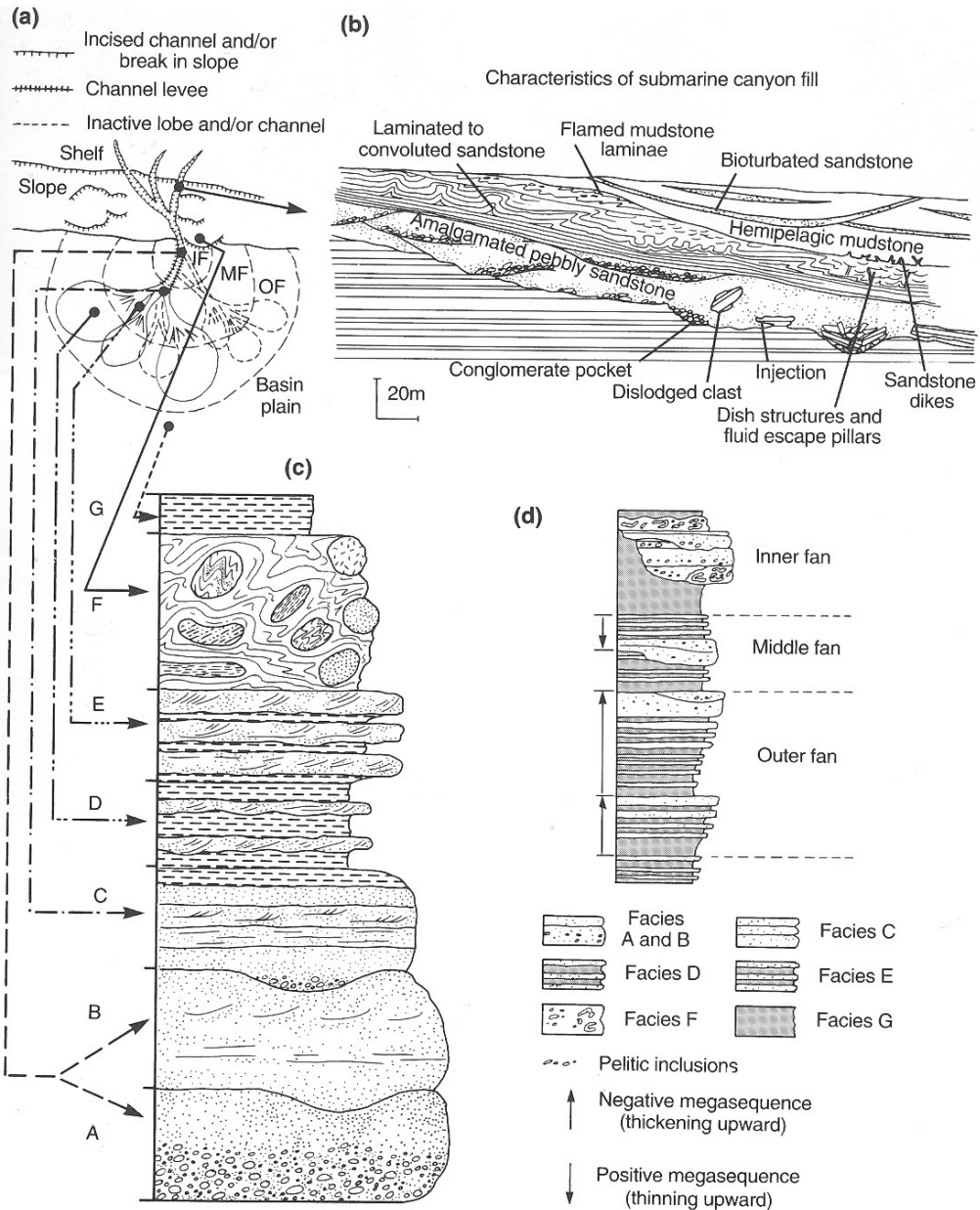


Figure 15.13

Submarine fan with channel and fan lithofacies. (a) Map view of model submarine fan (after Ricci-Lucchi, 1975; modified from Ingersoll, 1978c). (b) Submarine canyon fill (from May, Warne, and Slater 1983). (c) Section showing Mutti and Ricci-Lucchi submarine fan facies A through G (based on Mutti and Ricci-Lucchi, 1972, 1975; Ingersoll, 1978c). (d) Idealized stratigraphic section through a submarine fan (redrawn from Mutti and Ricci-Lucchi, 1972).

Pelagické prostředí

- Pelagické sedimenty:
 - > 95% materiálu ze suspenze (spad z vodního sloupce)
 - Karbonátový materiál biogenního původu - planktonní a nektonní organismy
 - Eolický materiál (zrnka Q siltové frakce)
 - Kosmogenní materiál (kosmický prach)
 - Vulkanogenní materiál (jílové mnerály a zeolity – produkty rozkladu vulkanických hornin oceánské kůry)
 - < 5% terigenního materiálu
- Prostředí vzniku pelagických sedimentů:
 - oceánské pánve
 - Podmořské plató a aseismické podmořské hřbety
 - šelfy a intrakratonní pánve
- Rozpouštění CaCO_3 v závislosti na hloubce (CCD, lysoklina, ACD)
(Obsah CO_2 ve vodě: závislost na teplotě vody, proudění)
- Hydrodynamická energie prostředí u dna (proudění)

Lyzoklina a CCD

stupeň nasycení

